

لجمهورية لجزائرية لديمقراطية لشعبية

وزارة لتعليم لعللي ولبحث لعللي

جامعة منتوري قسنطينة



N° Ordre.....

N° Série.....

كلية علوم لطبيعية ولأحياء

قسم لبيولوجيا وعلم البيئة

فرع بيولوجيا لنبات

تخصص وراثتة وتحسين لنبات

رسالة لنيل شهادة دكتوراه في لعلوم

عنوان الأطروحة

شروط ومصير تراكم لبرولين في الأنسجة لنباتية تحت نقص لماء : انتقال صفة

لتراكم لى الأجيال

من إعداد : شايب غنية

لجنة لمناقشة:

رئيسا	أستاذ لتعليم لعللي بجامعة منتوري قسنطينة	السيد: مرغم رشيد
مقررا	أستاذ لتعليم لعللي بجامعة منتوري قسنطينة	السيد: بن لعربي مصطفى
مقرر مساعد	أستاذ لتعليم لعللي بجامعة لعلوم ولتكنولوجيا (لقاهرة)	السيد: علي زين لعابدين عبد لسلام
عضوا	أستاذ لتعليم لعللي بللمدرسة لعليل لأساتذة لقبة (لجزائر لعاصمة)	السيد: كاملي عبد لكريم
عضوا	أستاذ لتعليم لعللي بجامعة باتنة	السيد: أوجيح بشير
عضوا	أستاذ محاضر بجامعة 20 أوت سكيكدة	السيد: حزمون لظاهر

لسنة لدراسية 2011-2012

إلى روح والدي الطاهرة
إلى والدي الغالية نور بصري و بصيرتي أطل الله عمرها
إلى جميع أفراد أسرتي الأعمام كئيبا و صغيرا خاصة المحبوبة صافية
و الكناكيب الصغار محمد الطاهر ، هبة الرحمن و أسيل
و إلى أرواح الأعمام الذين تخادروني إلى الأبد.
إلى روح الأستاذ الراحل حمزة عزيز

التشكرات

أنجز هذا البحث بمخبر تطوير و تميمين المصادر النباتية الوراثية (D.V.R.P.) بالمجمع البيولوجي Bio pôle بشعبة الرصاص و بمشئلة دائرة النحل سابقا جامعة منتوري قسنطينة الجزائر و بمركز الهندسة الوراثية و التكنولوجيا الحيوية قسم الوراثة كلية الزراعة (ACGEB) جامعة عين شمس القاهرة و بمخبر كلية التكنولوجيا الحيوية بجامعة مصر للعلوم و التكنولوجيا (MUST) القاهرة مصر .

أتقدم أولا بالشكر إلى من يعدد إليه الطم الطيب، الدعاء الخالص، الماتنه الصادق والدمع البريء. إلى الله أحسن الأسماء وأجمل الحروفه وأصدق العبارات وأتمن الكلمات الله عز وجل. فاللهم لك الشكر على ما أعطيت وعلى ما منحك ولك الشكر حتى ترضى ولك الشكر إذا رضيته

أتقدم بأسمى عبارات الامتنان و العرفان لأستاذي الفاضل المشرف على هذه الرسالة الأستاذ بن لريبي مصطفى أستاذ جامعة منتوري قسنطينة على توجيهاته القيمة و مداومته المستمرة خلال سنوات الرسالة بالمتابعة عن كثب و استمرار لتوجيه هذا العمل و رعايته منذ بدايته بكل صدق و أمانة و مساهمته بالكثير من وقته وجهدهم كرمه بالافتراحات البناءة والتوجيهات السديدة بتيسر الكثير من الصعاب و التشجيع على المواصلة رغم المحن و النكبات للوصول به إلى مساره المرجو.

كما أتقدم بخالص شكرى و تقديري لأستاذي القدير على زين العابدين عبد السلام أستاذ بجامعة مصر للعلوم و التكنولوجيا القاهرة مصر على كل المساعدات و إذلال الصعاب في طريقي بالإشراف المساعد لإتمام هذا البحث بوضع كل تجهيزات مخبر التكنولوجيا الحيوية كلية الزراعة بجامعة عين شمس تحت تصرفي ، بالإضافة إلى ملاحظته و نصائحه الثرية و القيمة .

أتقدم بأسمى معاني الشكر و العرفان لأستاذي الكريم مرعم رشيد أستاذ بجامعة منتوري قسنطينة الذي تفضل بتأسي لجنة المناقشة و إثراء الأطروحة بنصائحه القيمة و الهادفة و الشاملة.

أتقدم بخالص الشكر والعرفان للأستاذين الفاضلين كامل على عبد الكريم أستاذ بالمدرسة العليا للأساتذة بالقبعة الجزائر العاصمة و الأستاذ أوجيد بشير أستاذ بجامعة باتنة على تكريمهما بقبول مناقشة الأطروحة و إثرائها بخبراتهم العلمية و مكتسابتهم الثرية و القيمة.

كما أتقدم بخالص الشكر و العرفان للأستاذ حرمون الطاهر أستاذ محاضر بجامعة 20 أوت سكيكدة على مساعداته الدائمة و نصائحه المستمرة على طول مشوار الأطروحة و كذا قبوله مناقشة الرسالة و إثراءها بالمزيد من خبراته الميدانية.

كما لا أنسى شكري الجزيل لأساتذة كلية الزراعة جامعة عين شمس القاهرة ، الأستاذ الدكتور خالد سليمان ، الدكتور أشرف بكري و الدكتور محمد و الدكتورة حسناء أبو جبل و كل الأحباب الذين قدموا لي يد العون والمساعدة منى إبراهيم ، أسماء ، أسامة ، وإمام . تشكراتي الخالصة لأساتذتي بقسم البيولوجيا و علم البيئة: الملائم جمال، باقة مبارك ، خروشة حسين ، بن جيكو محمد المنصوف و بعزير ناصر . زميلاتي و صديقاتي الأساتذة: بعزير نصيرة، كانوني مليكة ، شردوح أسيا ، محمودة دنيا و بدور ليلي. ولكل طلبةتي DES و المهندسين الذين مروا بمخبر تطوير و تميمين المصادر النباتية و الوراثة. أتقدم بشكر خاص إلى صديقتي الأستاذة كانوني راشد مليكة و زوجها الأستاذ محمد على المساعدات الجبارة التي قدماها لي أثناء أيام محنتي.

تشكراتي و امتناني الذي لا يقدر بثمن لوالدتي الحبيبة على صبرها وتجلدها و مكابحتها لإنهاء هذه الرسالة لاستمرار في النجاحات المتوالية. تشكراتي الدفينة و العميقة لكل أفراد أسرتي إخوانتي و أخواتي ، أزواجهم و زوجاتهم و أبناءهم على صبرهم على و مساندتهم لي في الأوقات الصعبة وعلى مقدمتهم أخي الأستاذ رشيد ، شمرزاد نور الهدى ، جلال الدين وحمزة. تحياتي القلبية و الدافئة لهؤلاء جميعا و لكل من كان له يد العون أو النصيحة خلال مشوار إنجاز هذا البحث.

لفهرس

1	المقدمة.....
	I. استعراض لمراجع
4	I. النموذج النباتي
4	1. تعريف القمح
4	2. الأصل الجغرافي للقمح.....
5	3. الدراسة المرفلوجيية للقمح.....
6	4. دورة حياة القمح.....
9	5. تصنيف القمح.....
12	II. دراسة الإجهاد
12	1. تعريف الإجهاد.....
14	2. الأساليب المختلفة في دراسة التكيف مع الجفاف عند النجليات و اختيار الأصناف المقاومة.....
15	3. تكيف النبات مع حالات نقص الماء.....
19	III. معايير التحسين الوراثي (طبيعة التباين الحيوي و دوره على الإنتاج و التأقلم).....
19	1. مفهوم التأقلم (التكيف).....
20	2. معايير التأقلم.....
20	1.2. المعايير الفينولوجية.....
21	2.2. المعايير المرفلوجية (الظاهرية).....
23	IV. مفهوم التحسين عند النجليات و طرق التحسين.....
23	1. خطة (استراتيجية) تحسين النبات.....
23	2. أنماط التهجين
24	3. قوة التهجين.....
24	1.3. آلية قوة التهجين
25	2.3. الأساس الفيزيولوجي لقوة التهجين.....
26	V. تراكم المنظمات الأسموزية osmoticums
28	1. تراكم البرلين.....
29	2. العوامل المؤثرة في تخليق البرلين
32	3. هدم البرلين.....
33	4. التفسير الإنزيمي لتراكم البرلين.....
33	3. التعبير الجيني أو التفسير الوراثي لتراكم البرلين
35	VI. الخصائص الجزئية.....

1. البصمة الكيميائية 35
2. البصمة الوراثية لبروتينات البذور 36
3. عملية التفريد الكهربائي للبروتين بتقنية SDS PAGE 36
4. المشابهات الإنزيمية. Isozyme polymorphism. 37
5. لدراسات الجينية على PCR : تفاعل سلسلة بلمرة خيط ADN (RAPD.PCR) 38
6. لكشف عن المعلومات تحت تأثير مختلف أنواع الإجهاد 40

II. طرق ووسائل لبحث

- II لدراسة المرفوفينولوجية 42
1. المادة النباتية 42
2. سير التجربة 43
3. لقياسات المتبعة خلال دورة الحياة 47
- 1.3. تصميم بطاقات وصفية 47
- 2.3. لخصائص الفينولوجية 47
- 3.3. لخصائص المرفولوجية 48
- 4.3. للمعايير الوراثية 48
- 5.3. عملية الاتصال 50
- 1.5.3. عملية نزع المثبر 50
2. 5.3. عملية التأبير 51
- 6.3. حساب قوة لهجين 53
- II. عنصر التعديل الأسموزي 54
1. المادة النباتية 54
2. سير التجارب 55
- 1.2. التجربة الأولى: تقدير محتوى البرلين عند الآباء في وقت مبكر من دورة الحياة 55
- 2.2. التجربة الثانية: تقدير محتوى البرلين عند الآباء خلال مراحل دورة الحياة 55
- 3.2. التجربة الثالثة: لتداخل بين نقص الماء عامل الحرارة و الإضاءة 57
- 1.3.2. المعاملة الحرارية 57
- 2.3.2. الإضاءة 58
- 4.2. التجربة الرابعة : تراكم البرلين عند أفراد الجيل الأول 58
- 5.2. التجربة الخامسة : تراكم البرلين عند أفراد الجيل الثاني 59
- 6.2. التجربة السادسة: مصير البرلين بعد إعادة السقي 59
3. معايرة البرلين 59

المقدمة

تمت دراستنا على نبات القمح الصلب (*Triticum durum* Desf.) نظرا لأهميته الغذائية في حياة الشعوب عامة و الفرد الجزائري خاصة. ينتمي هذا النبات إلى عائلة النجيليات التي تضم ما يقارب 1000 جنس و تعد النجيليات من الزراعات السنوية المعروفة عالميا حيث تحوز الجزائر على مساحات واسعة لزراعة القمح الصلب في مناطق بيولوجية توافق المناخ لشبه الجاف و الجاف.

فتتعرض النباتات لعوامل متعددة من الإجهاد الذي يسبب عدم التوازن في الوظائف الحيوية للعضوية وتتمثل هذه العوامل الالهلا حيوية في نقص الماء، الحرارة المرتفعة، البرودة، شدة الإضاءة و الملوحة أو حيوية كلكائنات للممرضة و التي يمكن أن تؤثر بصورة فردية كما يمكن أن يؤثر عاملان أو أكثر بصفة جماعية إذ ما كانت متلازمة.

أجل، يتميز المناخ الجزائري بفترات من الجفاف ودرجات حرارة مرتفعة، التي يمكن أن تظهر بصفة متزايدة و غير منتظمة، في بداية، منتصف و نهاية الدورة الحيوية للنبات. تكون فترات الجفاف أحيانا جادة و متباعدة من سنة إلى أخرى. مما يجعل كل المزروعات بما فيها القمح الصلب الذي يتعرض من فترة إلى أخرى إلى إجهاد مائي. يسبب اضطرابات في دورة حياته و يؤثر نسبيا على إنتاجياته على الرغم من الاختلاف الموجود بين الأصناف في التكيف مع الحالات المائية المعاجزة .

وتحت هذه الظروف توجد مؤشرات لنقص المائي تتمثل في تحورات مرفلية وحيوية، اضطرابات فيزيولوجية و تعديلات بيوكيميائية و كثافات جزئية. تسمح معرفة هذه المؤشرات بتوجيه عمليات التحسين الوراثي بهدف الحصول على موارد بيولوجية متكيفة مع ظروف الزراعة بالنسبة لنقص المائي.

تترجم التعديلات الجزئية على مستوى الأنسجة النباتية خاصة الأوراق بالاستجابة الجزئية في ثلاث مظاهر أساسية (Mastrougel et al, 2000):

- تراكم المنظمات الاسموزية مثل البرولين Polyamines , Polyol , Glycine betaine , عديد الأمينات، السكريات الذائبة و أيونات البوتاسيوم K^+ التي تساهم في تعديل الأسموزي و تحفظ البروتينات والأغشية الخلوية.

- تراكم البروتينات النوعية المسؤولة عن التغيرات في تعبير الجينات.

- تغيير تعبير الجينات المسؤولة عن الإنزيمات التي لها دورا أساسيا في الأيض الخلوي تحت نقص الماء. ليحافظ و تقييم المادة الوراثية المتوفرة يجب دراسة الخصائص الوراثية أولا للمثلة خارجيا بلشكل الظاهري ، مراحل دورة الحياة ، الخصائص الفيزيولوجية و التي تستعمل مسبقا لتحسين الصنف. ثم دراسة الصفات الوراثية لمعرفة الجينات المسؤولة عن هذه الصفات.

و هدفنا من هذه الدراسة هو معرفة الخصائص المرفوفينية وحيوية ، الفيزيولوجية و الوراثية لهذه الآباء بوضع بطاقات وصفية و بصمات كيميائية و استنباط كشافات جزئية لخصائص الصنف تحت الظروف العادية و تحت نقص الماء بمعايرة عنصر التنظيم الأسموزي الحمض الأميني البرلين الذي تزيد نسبته في النبات المعرض للجفاف بنسب قد تكون عالية مقارنة بالمؤشرات الأخرى و قد أتبعنا في دراستنا الخطوات التالية:

- التعرف على الأنواع الجيدة من القمح سواء كانت أباء أو هجن بارصاء بطاقات وصفية لتوضيح الفروق المرفولوجية لإثبات مدى تأثير العامل الوراثي على الأصناف لهجن و بلنثلي يمكن للباحث أن يستغل هذه النتائج سواء في الزراعة أو في تهجينات أخرى للحصول على أصناف ذات كفاءة إنتاجية عالية .
- إخضاع الآباء إلى جفاف خلال مراحل دورة حياة النبات بتعرضه لظروف بيئية مختلفة من نقص الماء ، حرارة و إضاءة متباينتين لفرز الأصناف في مجموعات و معرفة مدى استجابته لهذه الظروف بمراقبة تراكم عنصر التعديل الأسموزي للحمض الأميني البرولين و تتبع مسار هذا التراكم تحت الشروط المناسبة.
- إخضاع الآباء إلى تهجينات في اتجاه واحد للحصول على أفراد الجيل الأول التي تسمح بالحصول على أفراد لجيل الثاني بعد التلقيح الذاتي.
- تعريض كل من أفراد الجيلين إلى إجهاد مائي لمعرفة مدى قدرتها على تراكم المنظم الأسموزي البرولين ومنه استنباط فعالية انتقال هذا التراكم عبر الأجيال اعتماد على الخصائص المرفولوجية و التوصيف الوراثي لهجن و المكتسب من طرف الآباء المنتجة لها ارتكازا على مدى قوة الهجين عند الجيلين.
- تسقى النباتات من جديد بعد التعرض للجفاف وإعادة قياس محتوى البرولين لمعرفة مصير التراكم بعد رجوع الأنسجة النباتية إلى حلها الطبيعية و مدى استرجاعها لدورة الحياة العادية.

I. لنموذج لنباتي

1. تعريف لقمح

القمح نبات نجيلي حولي، يستعمله الإنسان في غذائه اليومي على شكل دقيق لاحتوائه على الأبوبمين النشوي. يعتبر القمح (*Triticum sp*) من أغنى فصائل (عائلات) النباتات ذوات الفلقة الواحدة وهي أعشاب سنوية تضم 800 جنس وأكثر من 6700 نوع. يضم جنس *Triticum* 19 نوعا منها أربع برية و البقية زراعية. (حامد، 1979).

القمح نبتة ذاتية التلقيح ، تساعد على حفظ نقاوة الأصناف من جيل لى آخر حيث تمنع حدوث التلقيح الخلطي. يصل طول نبات القمح لى أقل من متر و أكبر من 1.40 مترا و تزن حبة قمح واحدة ما بين 45 إلى 60 ملغ وتأخذ شكلا متطاولا وهي ثمرة لتصق بها الغلاف الثمري مما يجعلها لا تفتح عند نضجها (Soltner,1980) . تعتبر نورة القمح سنبله مركبة من عدة سنبيلات تحتوي كل منها من 2 لى 5 أزهار أو أكثر، ثنائية للصف سفوية أو عديمة للسفاة (الخطيب، 1991).

2. الأصل لجغرافي لقمح

يحتل القمح المكان الأول بين محاصيل الحبوب التي يستعملها الإنسان في غذائه اليومي وهو من أعظم المحاصيل انتشارا و يزرع في جميع أقطار العالم تقريبا (شكري، 1994) و يعتقد أن زراعة القمح بدأت أثناء العصر الحجري بحوالي 6000 سنة قبل الميلاد. وحسب الدراسات الجيولوجية و باتفاق العديد من الباحثين أن الموطن الأصلي لزراعته هو دجلة و الفرات (حامد، 1979)، ثم انتشرت زراعته لى وادي النيل بمصر حيث يحكي التاريخ المصري قصة القمح في الصور و الرسومات التي تزين المعابد و المقابر التي ترجع لى 4500 سنة برسوم رجالا يحصدون الحبوب و حمير تدرسه ثم تحمله لى صوامع الحبوب، التي تكون على شكل مخروطات مجوفة تبلغ ارتفاع الإنسان وهي مصنوعة من الفخار (شكري، 1975).

كما تشمل قصة سيدنا يوسف عليه السلام في عصر الهكسوس 1700 قبل الميلاد على وقائع عن تاريخ تجارة الحبوب في الزمن القديم و عن سنوات الرخاء و القحط (القرآن الكريم). ثم توسعت زراعته لى الصين ، أوروبا و أمريكا، وقد عثر فعلا على القمح البري في مناطق بلقار العربي السوري كسفوح جبال الشيخ و جبال القلمون (William,1970). و حسب Vavilov (1934). أن الموطن الأصلي هو أحد المناطق لثلاث:

1- لمنطقة سورية Foyer Syrien: ويضم شمال فلسطين و جنوب سوريا وهي للمراكز الأصلية لمنشأ أنواع الأقمح الثنائية للصيغة الصبغية (2n) diploïdes .

2- لمنطقة الأثيوبية Foyer Obgsein: (الحبشة) و تعد المركز الأصلي لمنشأ أنواع الأقماح رباعية الصيغة لصبغية (4n) tétraploïdes.

3- لمنطقة الأفغانية لهندية Foyer Afghano-Indien: (جنوب الهند) و هي المركز الأصلي لمنشأ مجموعة الأقماح سداسية المجموعة الكروموزومية (6n) Hexaploïdes.

و قد اعتقد وجود منطقة رابعة كمنطقة القوقاز التي نشأت فيها الأقماح بكل أنواعها، إلا أن هذه النظرية تعرضت للنقد من طرف (Mac Fadden. and Sears, 1946) للذان وضعوا نظرية نشوء الأقماح اللينة و الصلبة عن طريق التهجين بين الصنفين ولم يعرف القمح الصلب شمال إفريقيا و الجزائر قبل مجيء العرب وهذا ما يؤكد أن العرب هم مستخدمو القمح الصلب إلى الجزائر (Laument et Erroux, 1962). كما أوضح بعض المهندسين بمنطقة شمال إفريقيا على أنها المركز الأصلي الثانوي لبداية انتشار زراعة القمح.

3. لدراسة لمرفل ووجية لقمح

يتميز القمح الصلب على العموم بجهاز جذري حزمي و هو قليل التطور له ساق جوفاء أو ممتلئة، سهلة الكسر، أما الأوراق فهي عريضة شريطية تخلق بين العقد. سنبله قوية كثيفة و هي ذات أغلفة حتى القاعدة، أما بذوره فهي كبيرة جدا يتراوح وزنها من 45 إلى 60 ملغ.

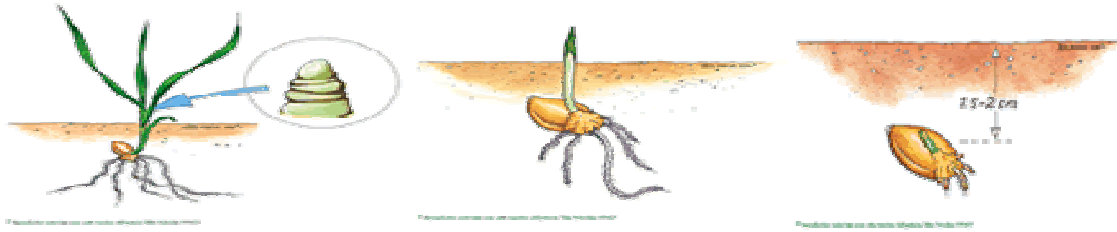
يمتاز بحبوه غير الملتصقة بلقنابح و بسهولة فصلها بلل دراس كما أن إسطاؤه ضعيفا و تتكون أغلفة البذرة التي تمثل من 14-15% من وزن الحبة من 60% من البروتينات (Soltner, 1982).

يكون المجموع الجذري لنبات القمح ليفي متطور تحت سطح التربة، يتوقف عمقه على مستوى عمق الماء في التربة و يتكون من نظامين نظام ابتدائي و هو نظام الجذور الجينية و تكون متماثلة و نظام ثانوي هو نظام الجذور العريضة تظهر عند النضج لتأمل لنبات. يتركب الجهاز الهوائي من تشعبات متفرعة كل منها يدعى شطء و كل شطء يكون ساقا بعد إتمام نموه.

لا تقاس أهمية الورقة بحجم كل ورقة على حدى بل تقاس بلل سطح الكللي للأوراق المعرضة للشمس كما وجد أن الأنواع القادرة على إنتاج و إعطاء أكبر عدد من الإسطاء للخصبة تكون ناجحة في مردودها.

تتكاثر معظم المحاصيل الحقلية جنسيا و الأعضاء المسؤولة عن التكاثر موجودة في الزهرة و هي: اللطع و هو عضو التذكير يتركب من الأسدية و كل سداة تتركب من خيط طويل في نهايته متك، حامل لحبوب اللقاح. و لمتاع و هو عضو التأنيث يتكون من كربلة أو أكثر وكل منها يتكون من مبيض و قلم و ميسم مهياً لاستقبال حبوب اللقاح. تتكون كل سنبلة عموما من 3 إلى 5 أزهار توجد داخل العصيقات. تكون زهرة القمح خنثي وحيدة

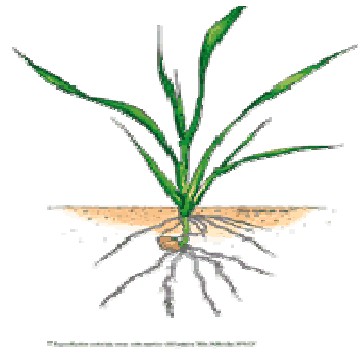
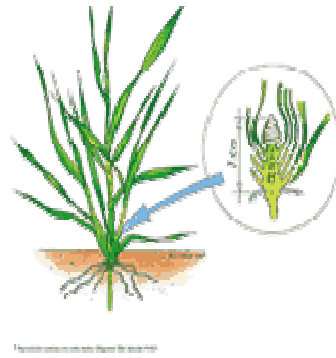
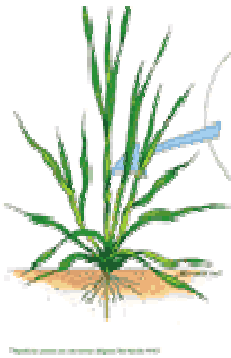
التناظر . يتكون غلافها الزهري من حشفتين صغيرتين يطلق عليهما اسم الفليستين. تعتبر ثمرة نبات القمح من لثمار الجافة متفتحة تحتوي على بذرة بيضاوية صلبة غلافها ملتحم (شكل I).



أوراق r s r

الفوز M

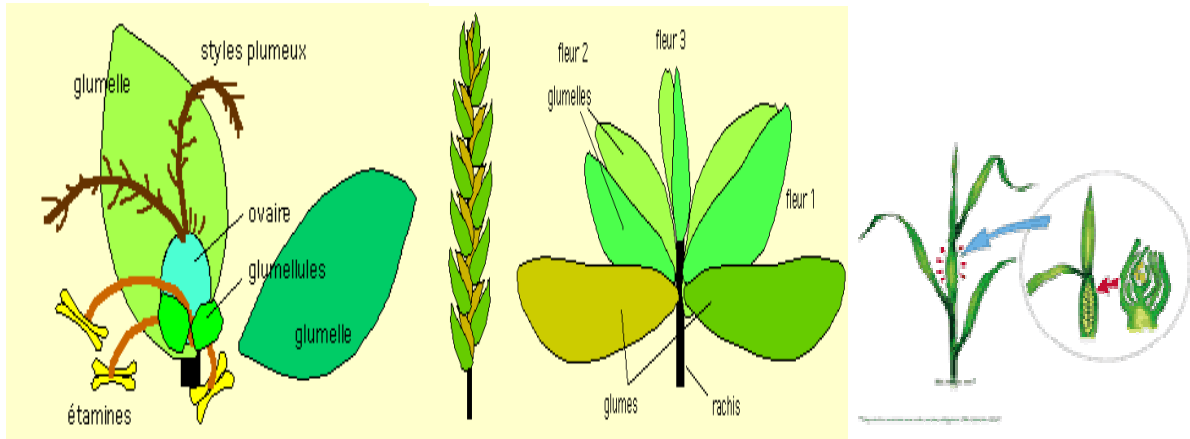
التيات M



الاعود M

الكزاي ال اعود M

الكزاي الكوي M



الغرفة MIO

الذرة M

الذرة M

الذرة 7 -

شكل I: مختلف مراحل دورة حياة القمح (Henry et De Buyser, 2000)

4. دورة حياة لقمح

يتميز اللقمح بزراعة سنوية ، تمر دورة حياته بتتابع مراحل دقيقة من زراعته حتى حصاده .تتمثل في عدة أطوار فيزيولوجية متتالية من بداية الإنبات حتى نضج البذور . يترجم هذا التطور بمجموعة تغييرات مرفولوجية و فيزيولوجية نمو، عرفت بمظاهر النمو و التطور .
وقد قسم الباحثون في الميدان الأطوار الفيزيولوجية للقمح إلى ثلاثة أطوار رئيسية تتمثل في الطور الخضري، الطور لتكاثري و طور تشكل الحبة و النضج (Soltner,1980 ; Geslin,1965 ; Grignac, 1965) .

1.4.1. لطور لخضري (Période végétatif)

تتميز فيه الأوراق و الجذور ويمتد من مرحلة الإنبات حتى بداية ظهور السنبل ، حيث يصحب تمايز الأوراق عملية الإشطاء على مستوى البرعم القمي وينتهي هذا الطور عند وصول الأوراق إلى شكلها النهائي حيث ترتبط نهاية هذا الطور مع بداية الإزهار و ينقسم هذا الطور إلى ثلاثة مراحل :

1.1.4.1. مرحلة زرع – إنبات (phase semisève)

تبدأ هذه المرحلة بمرور البذرة من الحياة للبطينة إلى الحياة للنشيط حيث تمتص البذرة الماء فتنتفخ و يتمزق غشائها في مستوى الجنين و تظهر في منطقة coléorhize أو الجذير كتلة بيضاء تخرج في البداية ثلاثة جذور أولية ثم تستمر إلى أن تصل إلى 5 جذور و تسمى الجذور البذرية و التي تكون محاطة بشعيرات ماصة إلى أسفل التربة .وفي الفترة نفسها تستطيل الريشة على المستوى الخضري في الاتجاه المعاكس معطية لكل بيتيل (coléoptile) الذي يحمل الورقة الأولى و الكون و الكون و الكون دفع النبات لظهور فوق سطح الأرض % 90 و الكون و الكون (Heller, 1982 ; Boufenar Maghouane et Zaghouane, 2006) .

تنشط هذه المرحلة بتوفر الشروط الداخلية المتمثلة في سلامة البذرة وقدرتها على الإنبات، و الخارجية المتمثلة في توفر الظروف المحيطة من حرارة رطوبة و تهوية. يتراوح محتوى الماء الأدنى الذي يسمح لبذرة بالإنبات ما بين 35 % إلى 40 % . فتمتص البذرة من 20 إلى 25 % من وزنها و تحتاج درجة حرارة مثلى تتراوح ما بين 5° و 22° م ومستوى أقصى يقدر ب 35° م .

2.1.4.1. مرحلة زرع – بداية الإشطاء (phase germination début tallage)

يعتبر الإشطاء شكل خاص بتطور النجيليات حيث يتطور المحور الحامل للبرعم النهائي لساق الأرضية rhizome التي يتوقف نموها عند 2 سم أسفل التربة و يظهر بها انتفاخ يكبر و يتضخم مشكلا مستوى الإشطاء .

تبدأ مرحلة الإشطاء عند ظهور الورقة الثالثة للنبته لفتية وتتكون لساق الرئيسية في قاعدة الورقة الأولى والفرع الثاني في قاعدة الورقة الثانية وهكذا.... حيث تظهر الأفرع في مرحلة الورقة الثالثة إلى الخارج و تظهر جذور جديدة معوضة للجذور الأولى التي تدبل و يتوقف نشاطها في نفس مرحلة الورقة الرابعة مع خروج أول شطفه في مستوى قاعدة التفرع .

3.1.4. مرحلة بداية الإشطاء – بداية لصعود (phase début tallage début montaison)

تتميز هذه المرحلة بتشكيل الأشطاء و بداية نمو البراعم المتميزة في إبط الورقة الأولى التي تعطي برعم لساق الرئيسي. يخضع عدد الأشطاء بكل نبات إلى نوع النباتات، لاصنف ، وسط لنمو ، لتغذية الأزوتية و عمق للزرع (Soltner, 1990). كما تتميز هذه المرحلة بتشكيل البداية الزهرية التي تترجم بظهور التصميم الأولى للسنبلة. يسبب النقص المائي في هذه الفترة انخفاض بعدد الحبوب في السنبلة (Martin M Plevel, 1984) .

2.4. لطور لتكاثري (Période productrice)

يبدأ لطور لتكاثري عندما يتمايز البرعم الخضري القمي Apex إلى برعم زهري. يتميز هذا لطور بنمو و تكوين السنبلة حيث تتوجه المادة الجافة المتكونة كليا خلال هذه المرحلة إلى التراكم لتزهر بللمخزونات (Rival et Geslin, 1965). تتراوح هذه الفترة بين 15 و 18 يوما أين يكون نشاط عملية التركيب الضوئي مكثفا. وينقسم لطور لتكاثري الذي يعتبر إنتاجا إلى طور لتخلق الزهري الذي يتصل بهيكل السنيبلات و طور تكون الزهرة أين تنظم للزهور و تمتد لسبقان. يضم هذا لطور أربعة مراحل :

1.2.4. لمرحلة A (stade A)

تمثل مرحلة ظهور المعلم الأولى للسنبلة و تتميز بتباطؤ طفيف لنمو القمح للنواتج عن تحول البرعم الخضري إلى برعم زهري.

2.2.4. لمرحلة B (stade B)

تمثل مرحلة نهاية الإشطاء (tallage) وبداية لصعود (montaison) حيث تتفتح العصافات (glumelles) على للسنبلة لفتية بعد انتهاء نمو الأفرع (talles) مباشرة. تترجم بداية لصعود بتباعد لسلاميات. تؤثر لتغذية الأزوتية والفسفاتية للقمح على أهمية الإشطاء في هذه الفترة. يؤدي الامتصاص غير الكافي لعنصري N و P إلى إصفرار الأوراق.

3.2.4. مرحلة لصعود و الانتفاخ (montaison et gonflement)

تستطيل سلاميات الأفرع العشبية بعد المرحلة B بنشاط فيما تحمل العقدة الأخيرة للسنبلة في حين تتراجع و تتلاشى الأشطاءات أو الأفرع التي تتقدم بصورة غير طبيعية وتمتد هذه الفترة من 28 لى 30 يوم وتنتهي عند تمايز الأزهار (Soltner,1980) .

4.2.4 مرحلة الإسبال و الإزهار (épiation et floraison)

ينتهي خلالها تشكل الأعضاء الزهرية، ينفجر الغمد و يسمح بخروج السنبلة التي تبدأ في التحرر تدريجيا و هو ما يعرف بالانتفاخ و هي الفترة المناسبة لظهور نهايات السفاة في قاعدة ligule للورقة الأخيرة (الورقة العلم) Feuille étendard وقبل ظهور السنبلة نلاحظ انتفاخ الغمد. يتم التلقيح داخليا ثم تظهر الأسدية خارج العصاف في الثلث المتوسط لسنابل دلة على نهاية الإزهار . وتستغرق مدتها حوالي 32 يوم. يظهر المأبر للون الأصفر وتصبح الأسدية بيضاء عند تعرضها لشمس. وقد تبقى بعض الأسدية لجافة على السنبلة في نهاية الإزهار. يبدأ القمح في تغيير لونه 15 يوما بعد مرحلة الإزهار بفقد اللون الأخضر و لتلون بللون الأصفر الذهبي أو البرونزي.

3.4 طور تشكل لحبة و لنضج (Période formation du grain et maturation)

تنتهي دورة حياة القمح بلنضج الذي يدوم 45 يوما. تبدأ لحبوب في الامتلاء تدريجيا و تمر بمختلف المراحل مثل المرحلة اللبنية و العجينية أين يرتفع محتوى النشا و ينخفض محتوى الماء. تهاجر المدخرات من الأجزاء الخضراء لى لحبوب. فيصبح القمح ناضجا و النباتات جافا و حبوب لسنابل محملة بلمدخرات. يتم تشكل للحبة عندما تصل نصف لحبوب لى نصف التطور و تمر بمرحلتين :

1.3.4 مرحلة انتفاخ لحبة (gonflement du grain)

تتميز هذه المرحلة بنمو البويضة و بنشاط مكثف لتمثيل الضوئي، وهي فترة قصيرة تمتد بين 15 لى 18 يوما يزداد فيها نشاط عملية التركيب الضوئي حيث تهاجر في نهاية المرحلة نسبة ما بين 40 لى 50 % من المدخرات لى للحبة و الباقي يتراكم في الأوراق التي تبدأ في الاصفرار فيما بعد. وبهذا يتشكل شكل الحبة لانهائي و تكون خضراء لينة وهي مرحلة للحبة الحليبية Grain laiteux.

2.3.4 مرحلة لنضج (maturation)

Classe :Liliopsida(Monocotylédones)
S/Classe : Commelinidae
Ordre :Poales(Glumiflorale) Cyperales
Famille : Poaceae (Graminées)
S/Famille : Pooideae (Festucoideae)
Tribue :Triticeae
S/tribu : Triticinae
Genre : *Triticum*
Espèce : *T.durum* Desf.
Variétés : Bidi 17
: Oued Zenati 368

2.5 . لتصنيف حسب عدد الكروموزومات

يصنف جنس القمح على أساس عدد كروموزوماته إلى ثلاثة مجاميع (الشكل 2 و 3). يمكن تمييزها عن بعضها مظهريا على أساس صفات عدد الزهورات في السنبله، تغليف البذور، شكل القنابح و قوامها و طول القنابح بالنسبة للعصاف ومحوور السنبله . و تتمثل المجاميع الثلاثة في :

1.2.5 الأقماع لثنائية Diploïdes

فهي ثنائية المجموعة الكروموزومية ($2n = 14$) تحتوي السنبله على حبة واحدة تظل مغلفة بلعصاف صيغتها الوراثية (AA) و تضم الأنواع التالية :

Mriticum monocum
Triticum spontaneu
Mriticum algilopoides Lurk .

2.2.5 الأقماع لرباعية Tétraploïdes

فهي رباعية المجموعة الكروموزومية ($2n = 28$) تمتاز بأن محوور السنبله قوي و الحبوب عادية بعد لدراس وهذه الصفات تخص الأنواع المنزرعة . أما الأقماع الرباعية غير المنزرعة فيكون محوور السنبله هشاً و تظل الحبوب مغلفة و تضم الأنواع التالية (غسان، 1981) :

- *T.dicoccoides* Koen - *T.dicoccu* Scrant .
- *T.polomtain* - *T.durum* Desf .
- *T.pyramidale* - *T.persicum* Boiss
- *T.timopheener* - *T.compactum* Stend.
- *T.turgdun*L.

- *T.turgidum* : لنوع AABB (Mackey,1966) صيغتها الوراثية

T.timopheevizak لنوع AABB

3.2.5. الأقماح لسداسية Hexaploïdes

هي سداسية لمجموعة الكروموزومية ($2n = 42$) صيغتها لوراثية حسب (Macky, 1966)

هي (AA BB DD) أو (AA AA GG) على حسب الأنواع التلية :

<i>M.speltal</i>	<i>M.vulcare most</i>
<i>M.sphoerococum</i>	<i>M.compoctum</i>
<i>M.machadek</i>	<i>M.aesturml</i>

نتج أول قمح سداسي ببلتهجين بين *Aegilops squarrosa* و *Triticum dicocum* (MacFadden et Sears,

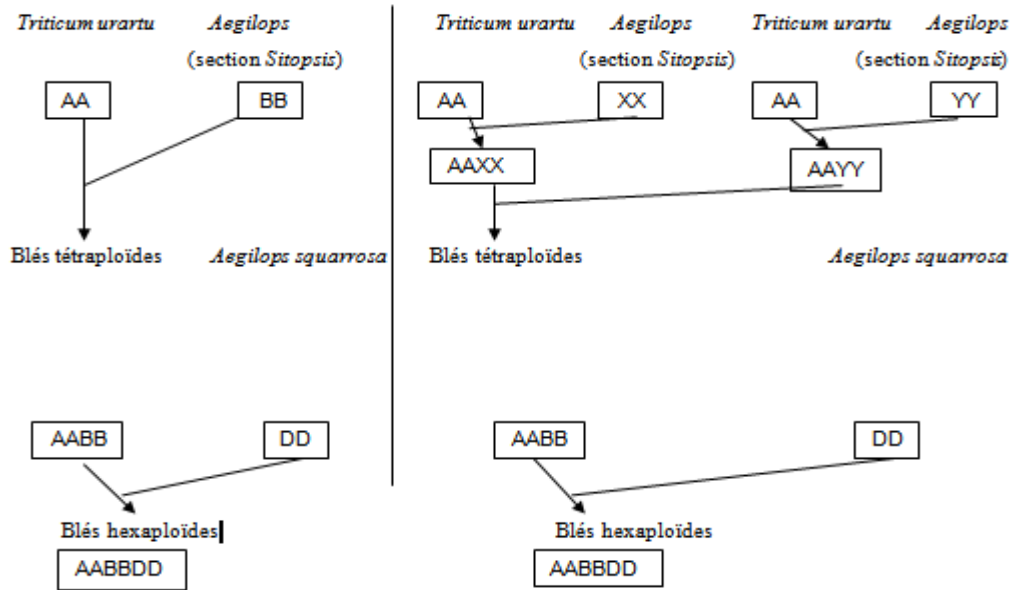
1946، أما كيال (1979) فأقر أن أصل الأنواع هي لمجموعة الكروموزومية للواحدة ($x = 7$) génome

حيث نشأت الأنواع من بعضها عن طريق التهجين أو لمجموعة الثنائية (Diploïdes) هي A,B,D

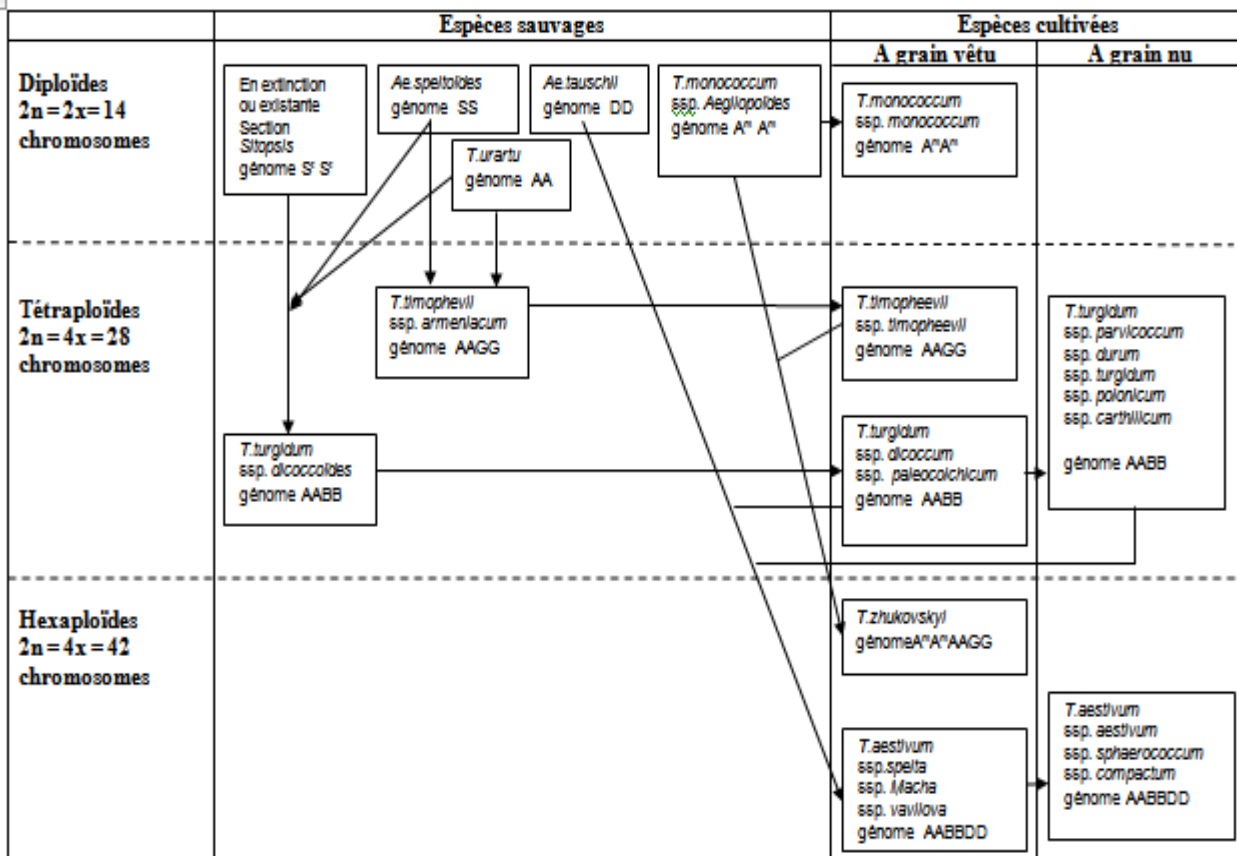
- فتركيب لمجموعة الثنائية Diploïdes هو (AA) أي (14 كروموزوم = $2 \times 7 = 14$)

- تركيب لمجموعة الرباعية Tétraploïdes هو (BBAA) أي (28 كروموزوم = $4 \times 7 = 28$)

- تركيب لمجموعة السداسية Hexaploïdes هو (AABBDD) (42 كروموزوم = $6 \times 7 = 42$).



شكل 2: لمصادر لمختلفة للقمح (Gallais et Bannerot ,1992)



شكل 3: شجرة سلسلة لنسب للقمح (Feldman, 2001)

II. دراسة الإجهاد

1. تعريف الإجهاد

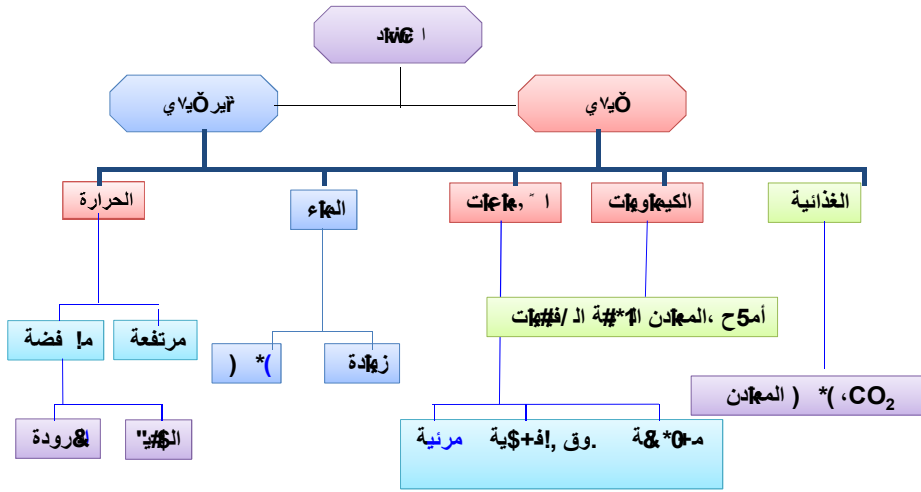
الإجهاد البيولوجي هو تصور ميكانيكي معين إذ يعتبر قوة مطبقة علي شيء في وحدة مساحة استجابة لهذه القوة الخارجية .

يعرف الإجهاد على أنه أثر أو فعل عمل ضار و ردود أفعاله التي تسبب الضرر في الجسم، وهي لقوة التي تميل إلى أن تكبح الأنظمة الطبيعية (Jones *et al.*, 1989) أو كشرط غير أعظميا ناتجا عن عامل يميل إلى تغيير وظائف العضوية. أما من حيث بيولوجيا لنبات فيمكن ترتيب الاجهادات للرئيسية وفعال طبيعة لضغوطات للمجهدة إلى أربع فئات: فيزيائية، كيميائية، بيولوجية و بشرية (Orcutt *et al.*, 2000) .

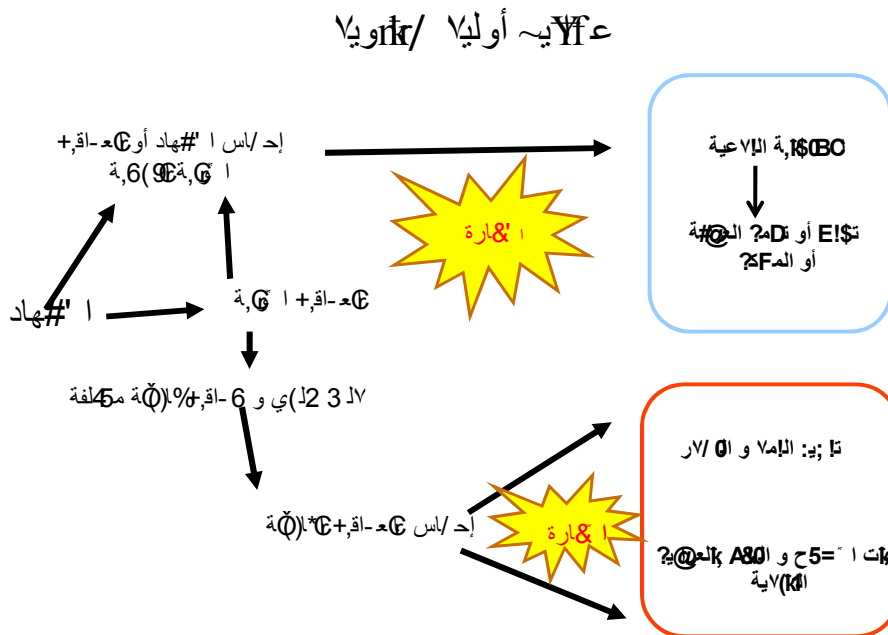
تخضع أوراق النباتات أثناء عملية التركيب الضوئي و لتبادلات الغازية إلى العديد من الاجهادات كلجفاف ، للمياه الزائدة، الملوحة، الإجهاد الحراري ، الصقيع ، رص التربة و نقص التغذية (Farquhar, 1989) .

نادرا ما تتفاعل عوامل الإجهاد وحدها أو بطريقة ثابتة على مدى مرحلة تطور النباتات، الأمر الذي يعقد من دراسة الاجهادات الفسيولوجية عند هذه النباتات. كما يعقد من الاستجابة للبيولوجية التي تصعب فهم سبب وأثر الإجهاد. فقد تتغير الخصائص الفيزيولوجية لنبات تحت تأثير ثابت عامل إجهاد على المدى الطويل و تتكيف معه النباتات ، مما يعني أنه نفس شدة الإجهاد تكون الأجيال اللاحقة أقل تأثرا و إصابة (Orcutt *et al.*, 2000). فتتأثر استجابة النباتات لضغوطات المختلفة بطبيعة وشدة الإجهاد ، كما تتأثر بتاريخ الأنواع ، الأصناف و الأجناس للممثلة ، فكل منها يتلاءم مع الظروف المحددة من التطور و الانتخاب الطبيعي (Grime , 1989).

يتم تصنيف مجمل الإجهاد الذي يتعرض له النباتات إلى إجهاد حيوي و إجهاد غير حيوي و يمكن لهذه العوامل منفردة أو مجتمعة أو متداخلة فيما بينها أن تنتج تنوعا في الإجهاد، مما ينجم عنه التنوع في أنواع التأقلم على مستويات مختلفة جزيئية ، خلوية و عضوية لشكل I و I5.



شكل 4: تصنيف الإجهاد (Gravot, 2007)



شكل 5: نوعية الاستجابة للإجهاد (Gravot, 2007)

1.1. الإجهاد لحراري

تلعب الحرارة دورا أساسيا في حياة النباتات و تعتبر العامل الرئيسي المحدد لنمو فهي إما أن تشجعه أو تؤخره . تعتبر الدرجة (20-22) م ° من أفضل الدرجات لحرارية النباتات, ينبت القمح على درجات حرارية منخفضة ليكن ببطء إما في المراحل المتقدمة فيصبح لدرجة الحرارة أكثر فعالية فهي تحدد كمية المادة الجافة المتكونة خلال لفترة الإنتاجية والتي تكون في علاقة مباشرة إيجابيا مع كمية الحرارة .

أما بعد مرحلة الإزهار فان ارتفاع درجة الحرارة عن الحد الأقصى يعني زيادة الانتح وإخلال في التوازن بين نسبة الماء الممتص والماء المفقود مما يؤدي إلى ضمور الحبوب ,أما انخفاضها عن حد معين فانه يؤدي إلى تأخير الإزهار وخفض نسبة الرطوبة (كيال , 1978) .

تنمو معظم المحاصيل عموما بين درجة 15,5 و 32 م ° وتتوقف عن النمو إذا زادت أو انخفضت الحرارة عند ذلك كثيرا حيث وجد أن معظم المحاصيل تموت إذا ارتفعت الحرارة إلى المجال (43 - 54) م °.

2.1. الإجهاد لضوئي

يعتبر الضوء أهم عامل من عوامل البيئة تأثيرا على النباتات و هو العامل الأساسي في عملية التمثيل للضوئي. تحصل النباتات على الطاقة اللازمة لاستمرار حياتها عن طريق ضوء الشمس , يقوم الكلوروفيل في النباتات بامتصاص الطاقة الشمسية و تحويلها إلى طاقة كيميائية و تدخل في تكوين السكريات البسيطة كما في المعادلة:



أثبتت التجارب أن طول الفترة الضوئية يؤثر بشكل كبير على موعد الإزهار و الإثمار وعلى نضج النباتات. كما يؤثر نسبيا على عملية الإنتاج , على حجم النباتات و تفرعها , على طريقة تفصيل أوراقها , على صلابة النباتات و قابليتها للإصابة بالآفات (عزام , 1977).

تم الحصول على التمثيل للضوئي الأقصى بإضاءة تتغير عموما حسب الأنواع , و يتم التمثيل الجيد ببلوغ ورقة القمح عندما تتلقى ¼ الضوء الكامل في الصيف , لا تؤدي معظم الأوراق تمثيلا ضوئيا مناسباً إلا إذا بلغت الإضاءة 5000 إلى 6000 لوكس (Deysson,1981) .

3.1. الإجهاد لمائي

يمثل الماء العامل الأساسي المسؤول عن الاختلاف الكبير في المردود, إذ تقدر كمية الماء في الأوراق بـ 800 غ مقابل 200 غ مادة جافة. يعرف المحتوى النسبي للماء كتلة المادة الطازجة مقارنة بالمادة الجافة المتحصل عليها بعملية التجفيف لإخراج كل الماء, بالإضافة إلى الماء المرتبط بـ جزيئات و بـ نثلي فنقص الماء يمثل الحلة

التي يصبح فيها معدل نتح الماء أكبر من معدل امتصاصه مما يؤثر على نمو و تطور النباتات من الناحية للمورفولوجية ، لتشريحية و البيوكيميائية .

يعتبر الماء لداخل في تركيب محلول التربة ، لقاعدة الأساسية في تغذية النباتات مما يعطيه نوعا من للصلابة و زيادة في الحجم ، و قد أثبتت الدراسات أنه لابد من توفر كمية من الماء 300ل/كغ مادة جافة. يتبخر عن طريق النتح كمية كبيرة وتبقى كمية قليلة تقدر بـ1.5% داخل النباتات، تساهم في العمليات الأيضية وتدخل في تكوين الخلايا الجديدة. و تختلف الحاجة للماء باختلاف الأعضاء النباتية فالأعضاء الفتية تحتاج إلى 30 % ماء بينما نجد أن للبذور قد تصل حاجتها للماء إلى أقل من 10%.

و رغم أن النباتات تتحمل حدودا واسعة من التغيرات في محتواها المائي بين حلة الإنتاج الكاملة والنقص المائي للميت للنبات فان للتكيفات للمورفولوجية و التنظيمات الفيزيولوجية تصبح ضرورية لتكيف المبادلات المائية مع تغيرات للوسط الخارجي سواء الجوية أو الترابية. ويعرف النقص المائي بأنه كل تغيير نسبي ذو شدة معينة يحدث تأثيرا معاكسا على نمو النباتات(Levitt 1972).

2. الأساليب المختلفة في دراسة لتكيف مع لجفاف عند لنجليات و اختيار الأصناف لمقاومة

وفقا ل(1991) Monneveux توجد ثلاث مناهج:

1.1. المنهج لتجربي

كان يستخدم سابقا من قبل المرين و ينظر إليه على أنه يفضل للخصائص الفينولوجية لتكيف و خاصية للتبكير. و يعطي نتائج جوهرية، لكن ينطوي على إنشاء الاختبارات المتعددة للمتكررة كأداة رئيسية للبحث و للدراسة من تدخلات صنف - بيئة باعتبارها عاملا لتفسيريا. وهو ما يعرف بللمنهج الوصفي و يهتم أساسا بللمردود للمتحصل في الاختبارات و وظيفة للنبات وتعميره.

2.2. المنهج لشامل أو متعدد للخصائص

يعتمد هذا للمنهج أساسا على الاعتراف بللصعوبة للمربي لتحديد و توصيف للصنف من خلال مراقبة للنمط الظاهري. تتخفف دقة التوصيف مع زيادة تعقد هذه للخاصية و تصبح ضعيفة للغاية من أجل صفات معقدة جدا مثل للمردود. واستنادا لهذه للملاحظة فإن للمنهج الشامل يحاول تعريف اتحاد للصفات و انتخابها على هذا الأساس لزيادة الإنتاجية و تحسين ثباتية الإنتاج (جدول 1).

جدول I: لمرحلة الأساسية للمنهج شامل أو متعدد لخصائص. (Monneveux, 1991)

رقم المرحلة	الخطوات
1	اختبار تعريف الوسيط (البيئة والتقنية) و التقدير الكمي للإجهاد والقياس الكمي لتحمله.
2	تحديد و توصيف صفات النمط النموذجي idéotypes (المعايير المرفوفيزيولوجية لتكيف المتدخلة في تحمل النقص المائي وكفاءة استخدام المياه).
3	اختبار علاقة معايير التأقلم مع المردود المتحصل عليه في بيئات ذات نقص مائي حاد أو مع دلالة تحمل النقص المائي.
4	تقييم تباين هذه المعلمات في إطار النظم التي تتضمن أعداد من الأصناف ذات أصول مختلفة.
5	التحقق من صلاحية هذه المعلمات من خلال تجارب الانتخاب غير المباشر، متعدد المعايير أو الانتخاب المتبادل.
6	دمج هذه المعايير في مجموعات وراثية أحسن تأقلا.

3.2. المنهج التحليلي لتفسيري

يبحث هذا الأسلوب في دراسة آلية تأقلم معينة مرتبطة بمؤشر مورفولوجي أو فسيولوجي. تعتبر هذه المنهجية تحليلية في معنى عزل الآلية ودراستها مفردة وتفسريه في معنى أنها تسعى إلى فهم و تفسير لظواهر البيوفيزيائية و البيوكيميائية التي تكمن وراء آليات التحمل أو المقاومة (جدول I2). يهدف هذا المنهج خاصة إلى المستوى الخلوي، العضوي و حتى النباتات إلا أن التكامل بين هذه المستويات ليس سهلا دائما. كما يسمح بتقييم دور الخصائص الفردية مثل اتحاد الخصائص في التهجينات الرجعية المختلفة. كما أنه يعطي معلومات عن توارث الصفات. ويسمح كذلك بمقارنة فعالية الانتخاب القائم على المردود والخصائص المرفوفيزيولوجية.

جدول I2: رسم تخطيطي لمنهج تحليلي

مهام واسعة	المعايير المرفوفيزيولوجية المدروسة	تقنيات الدراسة
امتصاص الماء	خصائص الجذور: الحجم، الكتلة، العمق و التفرع	قياسات في الموقع أو في للزراعات المائية
التعديل الأسموزي	- قياس للجهد المائي - قياس للجهد الأسموزي، دراسة مرونة الأغشية - معايرة منظمات الأسموز (البرلين، لسكرات الذائبة (Betaine , Na ⁺ , k ⁺)	Psychrométrie, Osmomètre
النتح	-النتح القشيري (دور الكيوتين Cire و Glaucence) -النتح الثغري	- فقد الماء - دراسات مرفولوجية دقيقة للورقة - Porométrie
التركيب الضوئي تحت الإجهاد المائي	- آثار ثغرية - آثار غير ثغرية	- قياس التبادلات الغازية (Licor, Irga) - الفلورة

3. تكيف لنبات مع حالات نقص لماء

تتغير الاستجابة للعجز المائي عند لنبات حسب لنوع و الإجهاد للمطبق (الشدة و المدة). يترجم عجز مائي مطبق فجأة بذبول عام للنبته في حلة عدم ربهها من جديد. عرف التكيف بأنه مقدره لنبات على البقاء في فترات نقص لماء في التربة أو مقدره لنبات على لنمو وإعطاء مردود مقنع أو مقبول في المناطق المتأثرة بالإجهاد المائي، حيث يسلك لنبات عدة طرق و آليات تسمح له بلبقاء و من هذه الآليات:

1.3. لتهرب (لتبكير)

يسمح لنبات بخفض أو لإلغاء آثار الإجهاد المائي و لك بتجنبه خلال دورة حياة لنبات و خصوصا خلال لفترات الحساسة و يتسنى له لك باستعمال أحد للطرق التالية:

أ= لتبكير في لنضج: و يكون عند لحبوب للمزروعة في المناطق الاستوائية (القمح، الشعير).

ب= تقصير الدوره لزراعة الشتوية للمطرة في المناطق الاستوائية للجافة (الكمانج) لاذرة اللبيضاء، لفول السودانى، لفستق (Turner, 1986).

2.3. لتجنب Evitement

يتعلق بقدره لنبته على للمحافظة على جهد مائي مرتفع بخفض عملية لنتح . و يلاحظ عند لنباتات المقابلة لاستعادة الحياة عند حلول الظروف للملائمة و التي تقاوم حلة للجفاف الزمنية و لك بمرورها بحلة الحياة للبطينة فقد ينزل محتواها المائي لى 10% أو أكثر و هذا ما يلاحظ عند الأشتات، لحرزيات، لسرخسيات غير أنه بالمقابل لا يمكن للمحتوى المائي أن ينزل لى أقل من لحد الأدنى للبيلوجي 10 % و القيمة التي أدناها تثبط لنشاط الحيوي و تكون غير عكسية.

يحافظ لنبات على جهد مائي مرتفع برفع قدرته على امتصاص لماء مما يتميز بعدة خصائص مورفولوجية للجذر (عمق، تشعب) فتميز هذه لنباتات بكونها تتوسع في نمو مجموعها الجذري مع اختزال مجموعها لخضري لشيء لذي يحقق توازنا مائيا سليما . أثبتت بعض لدراسات بأن احتياط نبات للقمح من لماء تحت للجفاف أو لنقص المائي كان لسبب في رفع للمردود من 40% لى 90 % (Levitt, 1980).

تجعل خاصية للمرونة لنبات ينقل أكبر كمية من ناتج التركيب للضوئي لذي يقوم لنبات بتخزينه في لجذور ولسيقان عندما يشتد لنقص المائي.

تعتبر خاصية فعالية استعمال الماء خاصية تجنب للجفاف أثناء توضع الإجهاد المائي ، فهي خاصية جد مهمة لتحمل للجفاف. و تعرف بقدرة النبات على إنتاج كميات جد معتبرة من المادة الحيوية في وجود كميات ماء محدودة. قليلا ما تستعمل هذه الخاصية في برامج الانتخاب عند العديد من الأصناف .

قلقياس المباشر لاستعمال الماء داخل الأصيل أو في الحقل يعتبر عملا منتجا و مكثفا ولا يسمح بتقديرات على نطاق واسع و حتى على معطيات أكثر على التغييرات الوراثية لفعالية استعمال المياه الكافية . و يتم لك بتقليل من لفقد المائي، ويتمثل في غلق الثغور ويكون مصحوبا بتشكيل طبقة من الكيوتيكل (Cuticle) للزيادة من المقاومة كلك صغر حجم خلايا الورقة .

من جهة أخرى فإن 50 % من الطاقة الشمسية التي يتلقاها النبات لا يستعمل منها إلا 1% في عملية التمثيل و 49% تستعمل لإحداث عملية الانتج. كما يمكن للنبات أن يحد من لفقد المائي و لك بتقليل الأشعة الضوئية الممتصة كما يمكن أن يقلل أو يختزل مساحة التحيز.

يحافظ للنبات على الانتج في حلة للجهد المائي المنخفض و يمكن إرجاع لك إلى ظاهرة لتعديل الأسموزي وهي آلية فعالية لتحمل للجفاف أو الإجهاد المائي و هي تسمح بحماية الأغشية و لانظم الإنزيمية خاصة على مستوى الأعضاء الفتية، وتتمثل في قدرة النبات على تجميع بعض المدخرات على المستوى الستيو بلازمي و لفجوي.

3.3. مقاومة Resistance

إذالم يتمكن للنبات من تجنب أو لهروب من لفقد المائي، فلا بد له من مقاومته و الذي لا يمكن إلا في بعض الحدود (Lerlec, 1999). يمتلك للنبات المقاوم لفقد المائي ، خصائص مرفولوجية و أيضا تسمح له بلحفاظ على محتوى مائي مرتفع داخل أنسجته و ترتبط هذه الخصائص بطبيعة الميتابوليزم الخاص بها وبلخصائص الكيمائية لبروتوبلازمها (Levitt, 1972).

يعتبر للنبات مقاوم لفقد المائي عندما يكون قادرا على الحفاظ على وظيفته الأيضية تحت جهد مائي منخفض إلى نقطة معينة. و يكون تحمل لفقد المائي مرتبطا بتأقلم ذو طبيعة فيزيولوجية، أين تتباين درجته حسب الأصناف و مرحلة النمو (El hassani et Persoons, 1994).

يتغير محتوى المواد العضوية للمشكلة للخلية الحية بعد تعرض للنباتات لمختلفة لعوامل الطبيعية غير الملائمة من نقص الماء، ارتفاع و انخفاض درجة الحرارة، تغير شدة الإضاءة و تركيز الأملاح. يكون هذا لتغير استجابة

لهذه العوامل بتراكم بعض المحلوليل العضوية ذات الوزن الجزيئي المنخفض مثل البرولين، السكريات الذائبة، محلليل أخرى مثل Sorbitol و قد تم دراسة هذا التراكم من طرف عدة باحثين.

أسند (1999) Lerlec طبيعة التأقلم و مقاومة لنقص المائي داخل النباتات إلى خصائص تأقلم التراكيب و الجزيئات نذكر من بين أيضاً التأقلم مايلي:

- تحمل الجفاف الذي يوافق قدرة الغشاء الاستوبلازمي على الحصول على الأيونات السالبة electrolytes و بلثلي للحفاظ على تكامله في حللة الجفاف.
- الحفاظ على الانتقال Translocation.
- لتعديل الأسموزي osmorégulation و الذي يتميز بانخفاض في الجهد المائي بلثلي للحفاظ على جهد الانتاج. يمكن لتعديل الأسموزي أن يتحقق بتراكم الأيونات المعدنية داخل الفجوة و المركبات العضوية سكريات ذائبة و برولين .

4.3.4 تحمل Tolérance

تسمح آليات المقاومة عند النبات بلضمان العادي لوظائف الفسيولوجية رغم لتدهور في حلته المائية الداخلية بسبب الجفاف (De raissac, 1992). قل تحمل الذي أظهره النبات في حللة انخفاض في الجهد المائي بلثلي للحفاظ على الإنتاج يكون ممكناً وفعالاً ظاهرة لتعديل الأسموزي (Blum, 1988). و هو القدرة على الحفاظ على نشاط أيضاً ككف رغم انخفاض الجهد المائي (Turner, 1986) مما يتطلب توازناً بين الشروط السائدة في النبات و شروط البيئة الخارجية. فتحمل الجفاف يعني أن العضوية تستطيع العيش رغم تعرضها لجفاف لا يعمل على تلف بروتوبلازمها و التي تملك القدرة على استئناف النمو عندما يكون البروتوبلازم رطباً.

يقلل الإجهاد المائي من توافر العناصر الغذائية في التربة و يؤثر على عملية التمثيل الضوئي كالتخليق ، التراكم و نقل النواتج الأيضية.

تمتلك بعض النباتات آلية تحمل أحسن من البعض الأخر اتجاه العجز المائي مما يكون السبب في بقاء النباتات العصارية على قيد الحياة تحت ظروف الجفاف الشديد بسبب محتواها من المادة الجافة و عملية الأيض المختزل لديها و احتياجها لكميات قليلة من الكربوهيدرات (Levitt, 1990) و بروتوك يمكنها تحمل سرعة التمثيل الضوئي الذي يمكن أن يكون مميتاً بلنسبة لنباتات ذات الأيض النشط.

أظهرت العديد من الدراسات دور غشاء الخلية في المقاومة للبروتوبلازمية للنباتات اتجاه الجفاف. عند الأصناف الحساسة للجفاف ، يمكن أن يتأثر التنظيم العام للخلية ويؤدي إلى تجزئة و تدمير بعض العضيات الخلوية (Vieria Da Silva, 1976). مع العلم أن هذه التغييرات فوق الخلوية يمكن أن تعطل العمليات الثانوية لعملية التمثيل الضوئي و تتلف المكونات الخلوية الأساسية.

يمكن تعريف نبات متحمل للجفاف بأنه نبات له ثباتية كبيرة للتراكيب الغشائية. يشير هذا التحمل إلى أن لهجمات الكيمائية و الإنزيمية الموجهة ضد الأنظمة الغشائية تكون أكثر فعالية أو أن هذه المركبات (الليبيدات البروتينية) تكون أكثر حساسية لهجمات وفعال تكوينها أو أكثر فعالية لحمايتها ضد الجفاف (Bennaceur, 1994; Assem *et al.*, 2006).

اقترح Seyle و Lerlerc (1999) مفهوم أعراض الإجهاد التي تغطي لتوازن بين سياق التدمير distress والتي تعتبر الأثر المباشر لعائق المائي على الخلايا وسيرورة التأقلم Eustress من ناحية أخرى والتي تميل إلى تجنب النهاية للميتة و إيجاد حللة الأصلية المستقرة أو حللة قريبة منها . فاعتمادا على منضور حركية Seyle يمكن ملاحظة تسلسلية متتالية تنتج من المراحل المبينة على قوى الهدم و لتأقلم. (distress et eustres).

تبدأ مرحلة الإنذار بعدم الاستقرار لبعض التراكيب وخاصة الأغشية والبروتينات وبعض الوظائف عندما يصل للضرر إلى المستوى الخلوي معلنا الإجهاد بتغلب الهدم على البناء مما ينتج عنه المقاومة. فيظهر سريعا درب الإصلاح وترميم الحللة الألية وتخليق جزئيات الحماية، وعموما البناء الذي يصبح أكبر من الهدم فنصل إذن إلى الحللة الألية. إذا استمر عامل الإجهاد يزيد للنبات من عمليات الحماية فنمر إذن إلى المرحلة التلية المعروفة بمرحلة المقاومة والتي تتجلى خاصة في التصلب. فينتج ما يسمى بلتأقلم .

طورت للنباتات سلوكيات و استراتيجيات تأقلم مختلفة ضد المراقيل البيئية المناخية (جفاف، برودة) والإنسانية (مستوى التسميد الأزوتي ، التطبيقات الزراعية). مثلا تترجم طريقة تجنب فقد الماء على المستوى المرفولوجي و الوظيفي بانخفاض المساحات للطارحة لبخار بتحول للورقة إلى إبر بشيخوخة أو حذف Abscission مبكر للأوراق و حتى الأغصان بحماية للثغرات و بتدعيم للطبقة الكتونية cuticule بغلق مبكر للشغور و بنمط الأيض CAM (Huber, 2007).

يسمح انخفاض معامل مرونة الخلايا على المستوى الخلوي بلحفاظ على جهد علي رغم شدة الجفاف، بزيادة امتصاص للنظام الجذري خاصة. وتكون هذه الزيادة نتيجة امتداد الامتصاص في العمق و المساحة و

لسرعة نمو و تفرع الجذر لتحسين النقل للمائي داخل النبات و لانخفاض العلاقة بين الأعضاء الهوائية و الأعضاء الترابية. (Benlaribi *et al.*, 1990).

يسمح لتعديل الأسموزي على المستوى الخلوي بتراكم المحلول داخل الفجوة و تقلص حجم الخلايا ، مما يسبب انخفاضا في الجهد الورقي لنفس المحتوى المائي و بلتالي للحفاظ على جهد مائي مهم من التربة نحو الورقة.

III. معايير لتحسين لوراثي (طبيعة لتباين لحيوي و دوره على الإنتاج و لتأقلم)

ترمي كل التقديرات التي تهدف إلى وصف أو تعريف التباين لوراثي، إلى استدعاء الخصائص الفينولوجية و المرفولوجية. تشكل هذه المعلومات المختلفة و الامتكاملة دراسة موضحة لخصائص الإنتاج و لتأقلم فهي تمثل إذن نقطة البداية لتحسن لوراثي في ميدان الانجليات.

1. مفهوم لتأقلم (لتكيف)

يعتبر التباين في الوسط مصدر كل الاستجابات لوراثية المختلفة التي تترجم بتغير في ترتيب التراكيب لوراثية وفعال لوسط المحيط. فيمثل كل صنف نباتي وفقا لأوساط النمو بأنماط بيئية مختلفة *écotypes* معلمة بخصائص مختلفة مما يوحى بمفهوم لتأقلم.

يعتبر لتأقلم البيولوجي خاصية تشريحية و معالجة فيزيولوجية أو أثر سلوك تطور تحت تأثير الانتخاب الطبيعي للبقاء على قيد الحياة و لتحسين الإنتاج على فترة طويلة عند الكائن أو العضوية.

فلتأقلم هو تعديل تركيب أو وظيفة أو معالجة تعديل تركيب أو وظيفة، أين يمكن أن تقترح أو نوضح أنه من الممكن حياة الفرد و تضاعفه داخل وسط معطى. يوجد نوعين من لتأقلم:

1.1. تأقلم لتكوين لوراثي *Adaptation génotypique*

و هو تعديل جينوم عشيرة في وسط معين مما يزيد من احتمال انتقاله إلى الأجيال. يترجم بصفة عامة بنمط ظاهري أحسن لتأقلم بقاء الأفراد حية. وقد يكون غير ملائم لحياة لكنه ملائم لتكاثر و إنتاج الأفراد حيث يمثل الجينوم هذا لتأقلم. و الذي يكون نتيجة لطفرات العشوائية المتبوعة بالانتخاب.

2.1. تأقلم لنمط لظاهري *Adaptation phénotypique*

يعرف بتعديل لنمط لظاهري لفرد ما تحت تأثير لوسط لحيوي (لتطفل، افتراس *predation*) أو غير لحيوي (درجات الحرارة المنخفضة و المرتفعة، الجفاف) بزيادة احتمال بقاءه حيا أو إعطاء أنسال. و يترجم بتعديل لخصائص المرفولوجية، الأيضية و الفيزيولوجية لبعض الأعضاء (خصائص مكتسبة) و ليس لها تأثير على الجينوم.

2. معايير لتأقلم

تتأثر معظم الخصائص الخضريّة للمدروسة بلشروط المناخية و الزراعيّة و التي يمكن أن تتلقى تعديلات وراثيّة أو غير وراثيّة (Godon et Loisel, 1997 ; Boufenar Meghouane et Zaghoun, 2006):

- تعديلات غير وراثيّة تكون بسبب تأثير الوسط (طول النبات، الغبار على الأوراق glaucescence، طول السفافة، طول السنبلّة ، خصائص المنقار و Trancture ملمس العصفات و العصيفات).
- تعديلات وراثيّة: بمعنى أنّه مهما كانت ظروف الوسط و تداول السنون إلا أن المظهر يبقى كما هو مثل لون وشكل الحبة.

1.2.1. معايير لفينولوجية

الفينولوجي هو دراسة تسلسل مراحل حياة النبات بعلاقة مع الزمن و المناخ تسجل فيه المعطيات الزمنية للنجليات ابتداء من تاريخ للزرع ، تواريخ البروز ، الإشطاء، الصعود، الإسبال و الانضج و أحيانا تسجل تواريخ لمراحل أخرى أكثر دقة (Clément, 1981).

يعتبر Monneveux (1989) للفينولوجي خاصية تأقلم ، تعتمد على تأقلم للدورة البيولوجية مع العراقيل المناخية. يجري للبحث تحت للظروف المتوسطة على خاصية للتبكير، التي تعتبر للوسيلة الأكثر استعمالا لتجنب آثار النقص للمائي على وزن للحبوب . و قد أعطت هذه الإستراتيجية نتائجها تمثل حدودا مثل نقص الإنتاجية بسبب تقليص فترة للدورة للحيوية ، زيادة مخاطر للجليد على السنبلّة في المناطق القارية أو المرتفعة و تقلص للنظام للجزري للمسبب، للاستعمال للسيئ للماء .

يعرف Bethet (2006) للفينولوجي بأنه دراسة للعلاقات بين للمتغيرات المناخية الفصلية و الظواهر البيولوجية للدورية (الإنبات، الإزهار، لهجرة و للتكاثر). تحدد المعايير للفينولوجية لتأقلم أو معايير للتبكير بضبط للدورة إزاء للعوائق البيئية. و يمكن تجنب للتصادف أو للترامن بين للمراحل للدرجة للدورة و تواريخ للحوادث القصوى و بعض الكوارث للمناخية (درجات حرارة مرتفعة ، للنقص للمائي) للتحكم في هذه المعايير، فتلجأ إلى مظهر للتجنب أو للهروب أو للتحمل (Levitt , 1972).

يشكل للتبكير آية مهمة لتجنب، و يمكن أن يحقق لك سواء بطريقة للتقنيات الزراعية (اختيار تاريخ للزرع) و للبطريقة للوراثيّة (اختبار الأصناف المبكرة). يمكن أن تستعمل خاصية للتبكير في مرحلة الإسبال كميّار أو كاختبار انتخاب من أجل تحسين الإنتاج في للمناطق للجافة. (Benlaribi, 1990 ; Ben Salem et al., 1997)

تعتبر المرحلة الأكثر حساسية لنقص المائي الحاد عند الانجليات هي المرحلة الممتدة من تشكل حبوب لطلع (مرحلة الانتفاخ) إلى مرحلة التلقيح (الإخصاب). فكل نقص مائي في هذه المرحلة يصيب عدد الحبوب/السنبلة (Gate *et al.*, 1990).

2.2. معايير لمرفلوجية (لظاهرة)

يعتبر طول النبات معيار انتخاب مهم لتحمل الجفاف خاصة في المناطق الجافة و يفسر لك بثلاث نقاط:
* الأصناف ذات ساق طويلة: لها تأقلم جيد مع نقص الماء (Ben Abdallah et Ben Salem, 1993) لأنه في هذه الشروط تكون لها القدرة على ملأ الحبة المرتبطة بهال لصنف المعطى لكميات النواتج الممثلة و المخزنة في الساق و خاصة على مستوى عنق السنبلة و على القدرة على إعادة تعبئة هذه المذخرات (Blum, 1988).

* لطول المرفل لساق chaume غالبا ما يكون مرتبطا بلانظام الجذري العميق وبلانثلي اقتلاع جيد لمستخلص ماء التربة (Bagge *et al.*, 1970).

* تشكل وزن الحبة إنطلاقا من نشاط التركيب الضوئي وانتقال المذخرات المكتسبة و المخزنة خلال مرحلة الصعود خاصة على مستوى الساق (Gate *et al.*, 1990).

يعتبر طول عنق السنبلة معيار انتخاب للأصناف المحتملة لنقص المائي (Fisher et Maurer, 1978) و الذي له دورا مهما في تحسين الإنتاج. يمكن أن يفسر دوره من ناحية بلتركيب الضوئي و من ناحية أخرى بهجرة كميات من المذخرات المخزنة على مستواه (Gate *et al.*, 1990).

اقترح Kirkham و آخرون (1980) أن المساحة الورقية المختلطة يمكن أن تكون مفيدة لأنها تختزل فعلا لطرخ المائي الكلي للنبات، في حين لخص (Johanson *et al.*, 1983) أن النباتات ذات المساحة الورقية الكبيرة يمكنها أن تتحمل الجفاف بلحفاظ على جهد مائي مرتفع. فلورقة العلم (Feuille étandard) هي العضو الأساسي المعطى لنواتج التركيب الضوئي للضرورة لتطور حبة القمح (Patrick et Wardlaw, 1984). تقدر فترة حياة الورقة العلم بللمساحة الخضراء التي تحتويها ككاشف للمستوى الوظيفي لجهاز التركيب الضوئي في وجود النقص المائي (Gate *et al.*, 1992).

تحدد المساحة الورقية بفترة دورة حياة النبات، بلشكل المرفل ووجي لساق ، بمتوسط لبزوغ الورقي و بمستوى الجهد المائي الورقي. و يعتبر للتباين في المساحة الورقية وسيلة مهمة عند النباتات المعرضة للجفاف و التي تحاول لحفاظ على رقابة استعمال الماء (Blum, 1988). وضح (Borojovic et Deninie, 1986) أن الأوراق العمودية والأوراق الضيقة هي الأوراق الأكثر تأقلمًا و تحملا لإجهاد المائي من الأوراق الطويلة.

يتحكم في الاستيعاب لاصافي للورقة العلم للمساحة الورقية ، عدد الثغور ، محتوى الكلوروفيل و عمر الورقة (Planchau, 1993). و أحسن مثال انخفاض التركيب الضوئي للملاحظ عند نبات الشيلم Sorgho بمعدل 14% إلى 26% بسبب الجفاف والذي يرجع بصفة كبيرة إلى اختزال المساحة الورقية أكثر منه لاستجابة الشغرية. و يفسر هذا الانخفاض بنقص نشاط امتداد الخلايا المرستمية للراجع لانخفاض الانقسام الخلوي.

تلعب السنبله وظيفه مهمه في عمليه التركيب الضوئي خلال ملأ الحبوب تتباين مساهمتها في عمليه التركيب الضوئي للنبات ككل من 13% (Biscope *et al.*, 1997) إلى 76% (Evans et Rawson, 1970) .

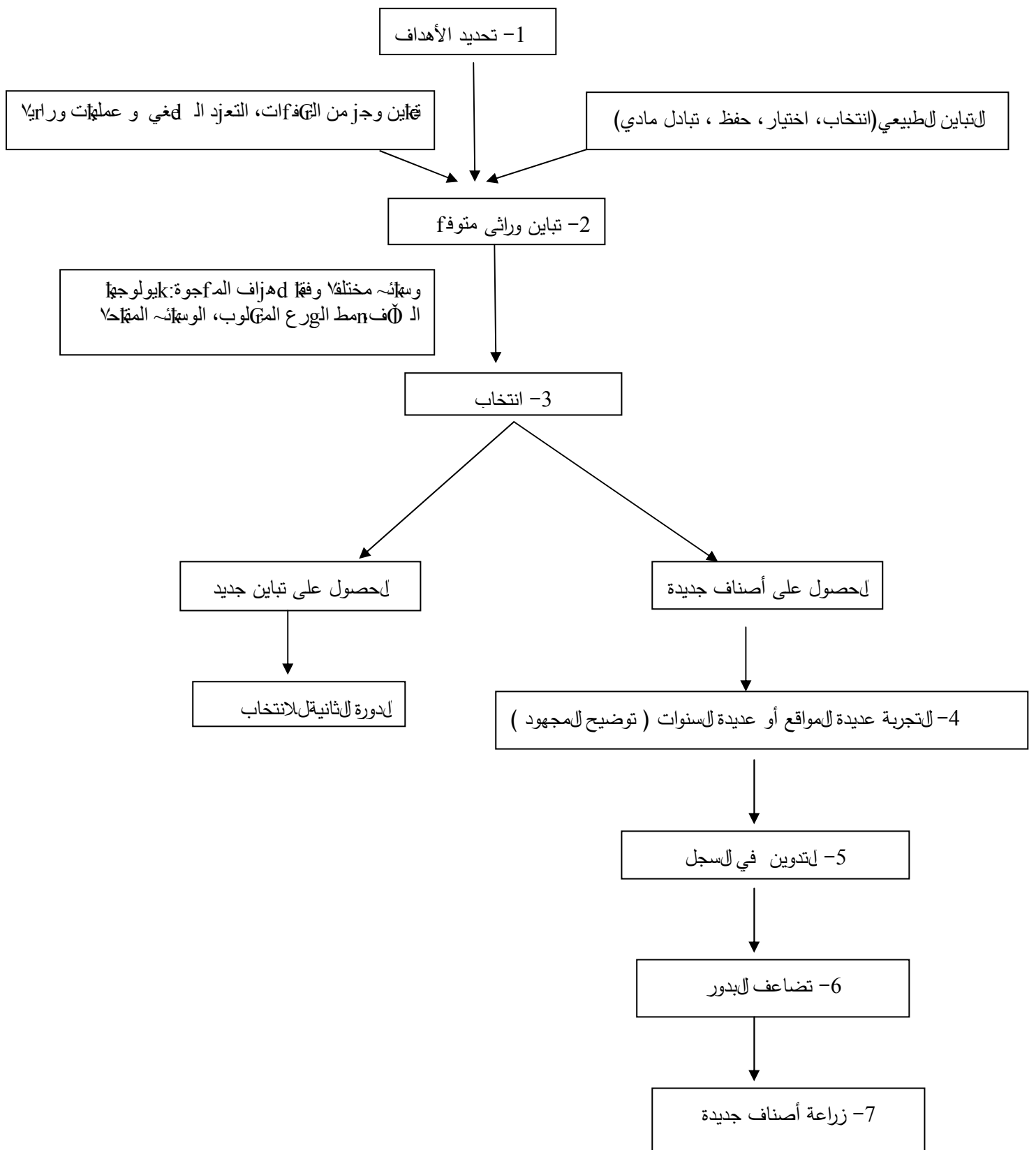
يساهم طول السنبله في حله الإجهاد المائي بنشاط أكثر في التمثيل الضوئي أكثر من الورقة العلم (Johanson et Moss, 1976) بسبب شيخوخة الأوراق و خصائص مميزة لوظيفتها التركيبية الأيضية (Febrero *et al.*, 1990) ، خاصة نتحها المرتفع بالقرب من مصدر المنبع (Carre et Wardlaw, 1985) و قدرتها العلية على التعديل الأسموزي للسنبله (Morgan *et al.*, 1984) و قد أمكن توضيح الدور الأساسي للسنابل و خاصة العصيفات كأعضاء مهمه في التركيب الضوئي عند القمح الصلب بواسطة التمييز النظيري للكربون (Romagosa *et al.*, 1992 ; Bergarouche *et al.*, 1990).

IV. مفهوم لتحسين عند لنجليات و طرق لتحسين

يعرف تحسين النباتات بلاتعديل المطوع للنباتات من طرف الإنسان لجعلها أكثر تأقلماً لمصلحه. و اعتمد منذ زمن تحسين النباتات على الهندسة الوراثية ، التي تهدف لإعطاء أقصى معلومات وراثية ملائمة للصنف المعطى (Gallais, 1992).

1. خطة (استراتيجية) تحسين لنبات

على المنتخب الذي يسعى لتحسين صنف مالخاصية مختارة أو منتقاة (مثل المقاومة لمرض ما أو لأي خاصية كمية) أن يحضر أولاً نبات من نفس النوع ، منزرع أو بري يمتلك هذه الخاصية التي يجب إدراجها بواسطة التهجين في الصنف المنزرع أو بطريقة أخرى. و اعتماداً على التهجين المتحصل عليه ، يمكن إدراج العديد من التهجينات مع هذا الصنف المنزرع و المنتخب من الأجيال المتتالية لهذه النباتات و التي تمتلك معا خصائص الصنف الأصلية و الخاصية الجديدة المطلوبة (INRA, 2001). و تمر خطة تحسين لنبات بعدة مراحل كما هو موضح في الشكل I.6.



شكل I6: خطة تحسين النباتات (Grignac, 1986)

2. أنماط التهجين

يوجد نوعين من التهجين:

1.2. التهجين بين الأنواع (hybridation interspécifique)

يعتمد على إجراء التهجين بين صنفين ينتميان إلى نوعين مختلفين. فكلما كانت العلاقة بعيدة بين الصنفين، كلما كان من الصعب إنتاج هجين نوعي. يؤدي غياب أو ضعف تكرار التزاوج بين الصبغيات غالباً إلى الأشكال العقيمة لأفراد الجيل الأول. تكمن مشاكل التهجين في التعقيد البيولوجي و عدم التوافق (Demarly, 1977).

2.2. 456789 أو 89 <9> 45 (AB) ف (Hybridation intraspécifique)

و تسمى كذلك hybridation interMariétale و هي الناتجة عن التهجين الاصطناعي لصنفين تكون الصفات المختارة عند كلا الأبوين (Flandrin, 1949).

يرتكز اختيار الآباء على قاعدتين أساسيتين هما:

- ✓ للحصول على آباء نقية و ثابتة أين تكون مختلف الخصائص معروفة و جيدة.
- ✓ اختيار أحد الآباء من بين العشائر المحلية الأكثر مقاومة لظروف الوسط.

3. قوة لهجين

اقترح مصطلح قوة لهجين Hétérosis أو Vigueur hybride أول مرة من طرف Shull (1914) و يعني قوة التنبيه الناتج من لحظة لهجينة الناتجة من التصلب. ومن بين هذه التنبيهات الخصائص المرفولوجية (الطول، نظام جذري أكثر كثافة ..) و الخصائص الفيزيولوجية مثل زيادة سرعة النمو، تحسين التبيكو و يترجم لكل في الظروف الملائمة بزيادة المردود.

تحدث قوة لهجين عند تلقيح نباتات من نوع واحد، تختلف عن بعضها وراثياً، ويكون ارتباطها للوراثي قليلاً أو معدوماً. و برغم من أن الزيادة في قوة النمو تعد من أبرز مظاهر لهجين إلا أن مصطلح قوة يتضمن أيضاً أية زيادة في المحصول، وفي صفات الجودة الاقتصادية و مقاومة الأمراض و التأقلم على الظروف البيئية السائدة. ولا يشترط ظهور قوة لهجين أن تكون آباء السلالات المستعملة في إنتاج لهجن ضعيفة النمو، أو تعاني

التدهور المصاحب للتربية الداخلية ، فقوة الهجين تظهر في معظم أنواع النباتات ، بما في ذلك النباتات الذاتية التلقيح والنباتات الخلطية التلقيح التي لا تضار بالتربية الداخلية . وقد وجدت قوة الهجين في جميع النباتات التي درست فيها هذه الظاهرة (عبد المنعم حسن ، 1991).

1.3. آلية قوة الهجين

قدمت نظريتان أساسيتان لتفسير قوة الهجين ، هي نظرية لسيادة لفائقة ، و نظرية لسيادة (Gallais, 1990)

• نظرية لسيادة لفائقة Superdominance

تقدم كل من East و shall على انفراد في عام 1908 بنظرية لسيادة لفائقة لتفسير ظاهرة قوة الهجين ، وهي تقترض أن لفرد الهجين يكون خليطاً ، مما يزيد من النشاط اليفسيلي وحي للنبات و يؤدي إلى ظهور قوة الهجين . وتعال هذه النظرية فإن لفرد الخليط يفوق كلا من التركيبين الوراثيين الأصليين . ويفترض East وجود سلسلة من الآليات لكل جين A_1 و A_2 و A_3 .. الخ ، يزداد فيها الاختلاف بين كل أيلين بزيادة المسافة بينهما في السلسلة ، وأن قوة الهجين تزداد كلما زاد الاختلاف بين الأيلين لمتجمعين في التركيب الوراثي مما يعني وجود درجات مختلفة من السيادة لفائقة تعال للآليات التي تدخل في التركيب الوراثي . وقد ذكرت أربعة أسس يمكن أن تفسر بها نظرية لسيادة لفائقة .

1- لتفاعل الأيلي المكمل .

2- القدرة على تمثيل المركبات لضرورية في ظروف بيئية متباينة.

3- القدرة على تمثيل التركيز للمثلي من المركبات لضرورية .

تعال هذا لتفسير ، فإن أحد التركيبين الوراثيين الأصليين ليكن A_1A_1 يكون قادراً على إنتاج تركيزاً منخفضاً مما يلزم من مادة ضرورية X ويكون التركيز الوراثي الأصيل الآخر A_2A_2 قادراً على إنتاج تركيزاً أعلى مما يلزم من نفس المادة ، بينما يكون التركيب الوراثي الخليط A_1A_2 قادراً على إنتاج التركيز للمثلي من هذه المادة .

• نظرية لسيادة لتامة Dominance

تأخذ نظرية لسيادة في الحسبان احتمال حدوث تفاعلات غير أيلية يمكن أن تساعد على التغلب على مشاكل أيضاً معينة . فلو فرض أن الجينين A_1 و B_1 ضروريين لإتمام تفاعل حيوي معين ، فإن أياً من التركيبين الوراثيين A_1A_1, B_2B_2 و A_2A_2, B_1B_1 لا يمكنه إكمال هذا التفاعل ، بينما يستطيع ذلك الهجين لنواتج منهما ،

الذي يكون تركيبه الوراثي $A_1A_2 B_1B_2$. أي أن قوة لهجين تظهر تلقائياً، في لهجين، نتيجة لتغلب على مصادر للضعف الموجود في السلالات الداخلة في إنتاج هذا لهجين.

تكون قوة لهجين نتيجة توزع الجينات السائدة المكملة عند كلا الأبوين (Lecoche et Soreau, 1992). و تفسر هذه النظرية ظهور الصفات المراقبة فقط من طرف الجينات العظمى (Demarly, 1977).

بالإضافة إلى ذلك أقترح Zahour (1992). نظرية التفوق Epistasie التي تغطي مجموع النشاطات الجينية، أو الجينات المكملة لتفاعل بين الأثر التجميعي أو السائد، أو الجينات المعلىة. و يمكن أن يكون التفاعل بين جينين متممين مصدر القوة لهجين (Demarly, 1977).

2.3. الأساس لفيزيولوجي لقوة لهجين

ربط بعض الباحثين بين نشاط الميتاكوندريا وقوة لهجين فوجد مثلاً أن خلط الميتوكوندريا الأبوية لتسعة هجن من القمح (أي خلط ميتوكوندريا أبوي كل هجين معاً) يجعل نشاط المخلوط متوافقاً مع قوة لهجين الناتجة من تهجين الأبوين على حدى وعليه .. فقد اقترح استخدام هذا الاختبار - وهو الذي يعرف باختبار Mitochondria Complementation - في التنبؤ بالتجينات التي يمكن أن تعطي قوة هجين عالية إلا أن هذا الاختبار لم يكن ذا فائدة في حالات أخرى: حيث لم يمكن استخدامه في التنبؤ بقوة لهجين في بنجر السكر مثلاً (عبد المنعم حسن، 1991).

V. تراكم لمنظمات الأسموزية osmoticums

الانتاج معناه وجود ضغط على الخلايا و هو أمر ضروري للحفاظ على نمو النباتات. تسمح زيادة تركيز المحلول للماء الداخلة للخلايا للحفاظ على الحجم الخلوي و على ضغط انتاج على. وهذه الطريقة أرجح للاستجابة القوية للعديد من النباتات لتحمل الإجهاد المائي و التي تتمثل في انخفاض الجهد الأسموزي وتعرف هذه العملية بالتعديل الأسموزي ajustement osmotique أو التنظيم الأسموزي osmorégulation أو التنظيم التناظفي. يعتبر التنظيم الأسموزي تأقلاً أو تكيفاً خلويالعوائق بيئية و هو عملية بيولوجية تمكن العضوية من حماية نفسها ضد آثار نقص الماء.

تعمل زيادة التراكيز المحيطة بالعملية الأيضية الناتجة بسبب الإجهاد على خفض الجهد المائي و جعله سلباً و مما يحفظ حركة الماء نحو الأوراق. كما يمكن لعملية التعديل الأسموزي مساعدة الأوراق الذابلة جزئياً على استعادة إنتاجها عندما يعود إمداد الماء إلى وضعه الطبيعي مما يسمح للنباتات بالحفاظ على ثغراتها مفتوحة وعلى أخذ

ثاني أكسيد الكربون لأداء عملية التركيب الضوئي تحت ظروف الإجهاد المائي المعتدل. ترتبط قدرة التعديل الأسموزي للنبات على كفاءته بصورة نشيطة على تراكم بعض الملحليل في محتواه الاستوبلازمي (Blum, 1988) و التي تسمح بصيانة الأغشية و الأنظمة الأنزيمية (Santarius, 1973) و للحفاظ على جهد الإنتباج خاصة على مستوى الأعضاء لفنية (Morgan *et al.*, 1988).

تسمي الملحليل التي يمكن أن تراكم داخل الأنسجة النباتية بلل منظمات الأسموزية . يمكن أن تكون كربوهيدرات (سكروروز أو جلوكوز)، أمحاض أمينية (برلين،..) أو جزيئات عضوية غالبا ما تستعمل في الأيض الثانوي أو فينولات و صبغات ذائبة مائيا (phénols et pigments hydrosolubles).

تشكل الأيونات المعدنية وعضوية معظم المنظمات الأسموزية عند أغلبية النباتات . يمثل البوتاسيوم K^+ لكاتيون الكثير للتراكم في الفجوة العصارية . كما يمكن أن يتراكم كل من المغنيزيوم Mg^{+} و الكالسيوم Ca^{++} داخل الفجوة. يعتبر (Salsac et Monneveux, 1991) أن تراكم الأيونات آلية أساسية لعملية التنظيم الأسموزي و أن امتصاص و تراكم الأيونات المعدنية (K^+ , Na^+) و تخليق الأحماض العضوية تلعب دورا هاما في عملية التعديل الأسموزي الفجوي. في حين أن التنظيم الأسموزي على مستوى الاستوبلازم يكون مرتبطا بتراكم الملحليل لموافقة osmolytes compatibles يعني للجزيئات التي تبقى مستبعدة من مساحة البروتين ومن مساحة التمييه القريب مما يجذب إلى استقرار التركيب (Rhodes, 1987) و التي تتراكم داخل الهيكل الخلوي cytosol و هيلوبلازم الخلية لأن تراكيز عالية من الأيونات تكون سامة للاستوبلازم ولعضيات الخلية ومنه فإنه يتم التعديل وفعال تراكم الملحليل لموافقة حياة الخلية أو ما يسمى بالحاميات الأسموزية مثل البرلين، glycine betaine أو polyols لسكريات الكحولية (mannitol, sorbitol, donnitol, Tréalose) و لسكريات (fructose, saccharose). (Kishor *et al.*, 1995 ; Hayashi *et al.*, 1997 ; Zhang *et al.*, 1999 ; Gorg *et al.*, 2002 ; Ahebe *et al.*, 2003)

ذكر Kameli et Mahdid (1997) أن الملحليل غير العضوية تساهم بصورة كبيرة في عملية التعديل الأسموزي بنسبة 99.3% عن الملحليل العضوية التي تشارك بنسبة 22.65%. وفي هذه اللحظة تساهم لسكريات بنسبة 12.47% و البرلين بنسبة 7.98% عند نبات الشعير مع أنه يبدو أن عملية التنظيم الأسموزي تمثل استجابة عامة لنقص المائي و لكل يشكل الأصناف القادرة على تعديل تراكيز ملحليلها. فلنسبة للعظمى من الملحليل للمشاركة في عملية التنظيم الأسموزي لها خاصية عدم لتداخل بصورة مهمة مع الطرق الأيضية.

تمثل عملية التعديل الأسموزي أحد الاستجابات الدفاعية للنباتات ضد الاجهادات غير الحيوية مثل الإجهاد الملحي ، لنقص المائي، درجات الحرارة المرتفعة و الشدة المرتفعة للإضاءة.

(Delauney et Verma, 1993 ; Wang, 2003 ; Jiang, 2004 ; Shao hong Mo, 2006)

تلعب المنظمات الأسموزية مثل البرلين و glycine betaine دورا مهما في التعديل و الثباتية الأسموزية داخل خلايا النباتات (Hare *et al.* , 1999) . و من بين كل الأنظمة الدفاعية يعتبر التنظيم الأسموزي الآلية الأكثر أهمية (Erdie, 2002 ; Maathius ,2003 ; Vendruscola *et al.* , 2007). فهو يضم مختلف المحللين للموافقة ، ولاتي تعتبر مؤشرات فيزيولوجية تقدير قدرة التعديل الأسموزي

(Monneveux et This,1997 ; Li *et al.* , 2003 ; Costa *et al.* , 2004 ; Dhanda *et al.* , 2004 ; Hernendrz ,2004 ; Sumn *et al.* ,2005 ; Tan *et al.* , 2006).

قدرة النبات على الحفاظ على انتباجه في حلة الإجهاد للمائي يكون في علاقة موجبة مع معدل المنظمات الأسموزية المتركمة مما يسمح لنبات بمقاومة جيدة (Apel *et al.* , 2004 ; Chen *et al.* , 2004).

1 . تراكم لبرلين

البرلين هو أحد الأحماض الأمية المكتشفة من طرف Wilsteltenn ,1900 خلال معايرة الأورنتين فهو يختلف عن بقية الأحماض الأمية الأخرى بوجود الوظيفة Imine مكان الوظيفة الأمية المعروفة. يرتفع محتوى البرلين عند أوراق الأنسجة النباتية نسبيا مع انخفاض محتوى الماء في وسط التربة. و قد لوحظت هذه العلاقة الإيجابية بين محتوى البرلين و نسبة الرطوبة في التربة عند القمح الصلب (Monneveux et Nemmar, 1986 ; Benlaribi et Monneveux, 1988 ; Chaib, 1998) ، عند الشعير (Lwin *et al.* ,1978 ; Stewart *et al.*, 1978) ، عند البرسيم (Hireche,2006) la luzerne ، عند l'arganier (Bessala,2006) و حتى عند نباتات الكليبتوس Eucaliptus (Chunyaung,2003). كمال و حظت هذه العلاقة الإيجابية عند أنماط أخرى من الإجهاد الأسموزي: إجهاد حراري (Dorfling, et Askman,1989 ; Bellinger *et al.*, 1991; Oben et Sharp, 1994; Kanouni et Alatou,2006) إجهاد ضوئي (Joyce *et al.*,1984 ;1992) ، إجهاد ملحي عند نبات الطماطم (Zid et Grignon,1991). تجلى التراكم السريع لسريع البرلين في أوراق النباتات نتيجة لنقص المائي عند الشعير (Savitskaya,1967) ، القمح (Tyankova, 1967 ; Vlasyuk *et al.*, 1968) بإتباع تطور مستويات البرلين خلال الدورة البيولوجية لنبات حيث أكد Monneveux et Nemmar.(1986) أن القوى المحركة للتراكم كانت مستقلة عن مرحلة النمو، بينما تتصل اتصالا وثيقا بكمية التساقط . أظهرت نفس الدراسة تقلبات كثيرة لخاصية التراكم عند القمح اللين (مستويات ما بين 150 و 280 ميكرومول/ملغ مادة جافة مما كان عليه عند القمح الصلب (مستويات تتراوح ما بين 210 و 380 ميكرومول /ملغ مادة جافة).

يبدو أن كمية البرولين المتراكم ترتبط بمستوى تحمل النمط الوراثي. تكون مستويات البرولين و الأرجنين عالية عند الأصناف المقاومة عند نبات القمح (Protsento *et al.*, 1986) وعند نبات الشعير (Singh *et al.*, 1973(a)). و باختصار يعتبر تراكم البرولين داخل الأنسجة الورقية ظاهرة مرتبطة بعملية نقص الماء داخل صنف معين ، ولتي تعكس تباينا كبيرا و جليال يرتبط بمستوى تحمل الصنف لعائق المطروح. فتباين تراكم البرولين بين أصناف القمح الصلب يعكس التنوع البيولوجي بين هذه الأصناف (Malki *et al.*, 2002). تراكم البرولين عند النباتات للخاضعة لعوائق الفيزيائية كان موضوع الدراسة بل و حظي من طرف العديد من الباحثين كاختبار مبكر لانتخاب الأصناف المحتملة لنقص المائي (Singh *et al.*, 1973(b) ; Chaib, 1998).

في الواقع لا يزال دور التراكم غير واضح، هل هو مجرد عرض للمعاناة (Singh *et al.*, 1972) أو آلية حقيقية لتحمل (Hubac *et al.*, 1972) أين تكون الأسباب عديدة : تحفيز لتخليق الناتج عن نقص تثبيط التغذية الرجعية، تلف تدريجي في القدرة على تخليق البروتين، انخفاض معدل انتقال الحمض الأميني عن طريق اللحاء. تثبيط الأكسدة للناتج عن تأثير الميتوكوندريا (Bogges et Koeppe, 1977). لا يقتصر تراكم البرولين على الإجهاد المائي فقط ، بل يتم التراكم أيضا تحت تأثير الإجهاد الملحي (Stewart et Lahrer, 1980)، تحت تأثير البرودة و درجات الحرارة المنخفضة (Chu *et al.*, 1978) و المرتفعة (Paleg *et al.*, 1981).

لوحظت ارتباطات سلبية بين تراكم البرولين و لعجز المائي عند نبات الشعير (Hanson *et al.*, 1977). و يمكن تفسير ذلك على قدرة بعض الأصناف على التراكم بسرعة ولكن ليس بل ضرورة كميات كبيرة للبرولين. مما يجعل نتائج المعايرة تعتمد اعتمادا كبيرا على الفترة الممتدة بين تاريخ بداية الإجهاد و تاريخ جمع العينات (Benlaribi et Monneveux, 1988).

يكشف غالبا لتباين في خاصية تراكم البرولين التي أثرت في إطار صنف معين أو ضمن عينة من أصناف متباينة جدا في سلوكها اتجاه مواجهة الإجهاد المائي بنسبة ضعيفة جدا عندما يتعلق الأمر بمقارنة الأصناف في اتجاه الانتخاب (Quarrie, 1980).

يمكن أن تتحول التركيبة الطبيعية لجزيئة البرولين إلى DMroline وفعال حللة توضع للمستوى. يتم لهدم بواسطة إنزيم Proline racémase (Garret et Grisham, 2000).

أشار Paquin (1986) إلى أن البرولين يخلق في الأوراق ويحمل نحو مواقعه. يمثل البرولين المتمركز أساسا داخل السيتوبلازم أحد المظاهر الأكثر ملاحظة تحت تأثير الاجهادات غير الحيوية (Molinari *et al.*,

(Zhu *et al.*, 2005; 2004) فهو يتفاعل كحامي cryoprotectant أثناء تعرض النباتات لدرجة الحرارة المنخفضة جدا (الجليدية) (Delauney et Verma, 1993 ; Galiba, 1994).

أقر العديد من الباحثين دوره كمنظم إنزيمي (Stewart et Lee, 1971 ; Voetbereg et Sharp, 1991)، كحامي أسموزي (Kishor *et al.*, 1995 ; 2005)، كمضاد لتأكسد (Scharma et Dietz, 2006)، فهو عبارة عن حامي و حافظ جزئي كبير (Vanrensburg *et al.*, 1993)، كما يمثل أيضا منظم لحموضة الهيكل الخلوي (Sivakumar, 2000).

أشار كل من (Sing *et al.*, 1973 ; Monneveux et Nemmar, 1986) إلى أهمية تراكم البرولين ومساهمته في تكوين المخزون الأروتني و الأوكسيجيني للمستعملين في النمو بعد إعادة السقي. يمكن للبرولين أن يكسب النباتات تحملا لإجهادات بتطوير نظام ضد الأكسدة من أن يلعب دورا مؤشرا لتنظيم الأسموزي (Vendruscola *et al.*, 2007).

يظن بعد الباحثين أن تراكم البرولين مجرد عرض من أعراض تأثير نقص الماء (Hanson *et al.*, 1987) في حين اعتبره (Waldern *et al.*, 1974) مؤشرا لتأثير نقص الماء وليس لدرجة نقصه بسبب أهمية تراكمه خلال شدة الجفاف. في حين يعتبر باحثون آخرون أن تراكم البرولين مؤشرا حقيقيا لمقاومة ضد الجفاف بلحفاظ على جهد مائي داخلي مرتفعا (Tall et Rosental, 1979). فقد تتعرض أنواع أو أصناف مختلفة إلى نفس شروط التربة و الوسط ولكنها لا تتلقى نفس درجة الجفاف بسبب التباين بين الأصناف intraspécifique. يقترح عند النجليات إمكانية الانتخاب على أساس خاصية التراكم تحت تأثير نقص الماء. لذا اقترح (Bellinger *et al.*, 1991) تراكم البرولين كتقنية أو طريقة لانتخاب أصناف لشعير المقاومة للجفاف.

استعمل العديد من الانتخابين و الفيزيولوجيين قدرة التراكم على فرز الأصناف المقاومة لمختلف الإجهاد عند مختلف الأصناف: حلة نقص الماء عند القمح الصلب و (Benlaribi et Monneveux, 1991) ، و درجات الحرارة المنخفضة عند الذرى (Bellinger *et al.*, 1987)، الإجهاد الملحي عند نبات *Aetemissa huba alba*. (Hubac et Viera Dasilva, 1986).

في الأخير هناك موافقة على أن البرولين يلعب دورا في تأقلم الخلايا للإجهاد الأسموزي ولكن هل تراكم هذا لحمض يكون نتيجة دوره كمنظم أسموزي أو كنتيجة لتغيرات في نواتج الأيض بسبب الإجهاد. و هو ما يبقى دائما محل جدل (Seraaj et Sinclair, 2002).

2. لعوامل مؤثرة في تخليق البرولين

يخلق البرولين انطلاقاً من الحمض الأميني جليتاميك حيث تتفاعل مجموعة (γ Marboxyle du glutamate) مع جزيئة ATP لتشكيل (acyl phosphate) فنتحصل على (γ Glutamyl phosphorique acide) الذي يتحلزن بدوره مع فقد جزيئة ماء H_2O لتشكيل (pyrroline carboxylique) الذي يختزل بدوره مرة أخرى بجزيئة NADPH للحصول على البرولين (Lehninger , 1982; Streyer ,1992 ; Taylor, 1996).

و في حقيقة الأمر وضع مسلك تخليق البرولين منذ 40 سنة من طرف (Vogel and Davis, 1952) ثم عدل هذا المسلك من طرف مجموعة أخرى من الباحثين بتوضيح جميع الإنزيمات المتدخلة و المراحل المتتالية (Delauney and Verma, 1993). و في سنة 1987 وضع Leisinger مسلك تخليق البرولين عند البكتريا الذي يشابه مسلك تخليق البرولين عند النباتات .

يعمل لهدم البروتيني على تعديل التوازن بين تركيز كل من البروتينات و الأحماض الأمنية لصالح هذه الأخيرة، مما يوجه بصفة خاصة التفاعلات في اتجاه سيادة عملية التحلل البروتيني، فقد لاحظ Todd. (1972) أن الجفاف ينشط عملية لهدم مما يؤدي إلى تناقص كمية البروتينات ذات الوزن الجزيئي العلي، في حين يزداد مستوى البروتينات الذائبة. وتسجل زيادة معتبرة لمحتوى البرولين، بظاهرة التمييه (hydrolyse) و هي عملية تكسير للجزيئات المعقدة لقليلة إلى جزيئات كثيرة و بسيطة تزيد من تركيز الوسط (Heller, 1982). في حين يرى Hubac et Vieiria Da Silva. (1980) أن التراكم يكون نتيجة العملية المضاعفة لكل من ظاهرتي التحلل البروتيني (hydrolyse) و التخليق (synthèse).

و قد بين Navari *et al.* (1990) خلال دراسة أجريت على عباد الشمس تحت ظروف العجز للمائي، أن الزيادة في محتوى الأحماض الأمنية يمكن أن ينتج عن تأخر تخليق البروتينات أو زيادة التحلل السريع لها مما يؤدي إلى تثبيط دمج الأحماض الأمنية داخل البروتين.

يكون تراكم البرولين التابع للجفاف نتيجة انخفاض في تخليق البروتينات (Stewart et Bogges, 1978) أو عن تخليق البرولين نفسه (Handa *et al.*, 1986) أو عن تعطيل تفاعلات الأكسدة المؤدية إلى تشكيل حمض الجليتاميك أو عن إعادة تحول البرولين إلى النواتج الأيضية (Stewart *et al.*, 1977) حيث وجدوا أن للمواد الأيضية الناتجة عن أكسدة البرولين (بقياس H_2O المتحصل عليها من قياس الموقع 3H) للبرولين تكون جد

منخفضة بالمقارنة مع النسب المقدر لدمج C_{14} في النواتج المؤكسدة و فقد C_{14} من البروتين الكلي (Stewart et Boggess, 1978).

أشار Stewart. (1981) لاحقا أن تثبيط أكسدة البرولين يكون ضروريا لتراكم البرولين رغم أن هذا التثبيط لا يكون وحده سببا في التراكم. و قد بين Barnett et Naylor. (1966) أن التحول البطيء للبرولين تحت ظروف الجفاف يوضح تثبيط هدمه. كما يمكن أن ينتج عن الاضم للبطيء للبرولين داخل البروتين تراكم البرولين (Boggess et Stewart, 1976) الذي يكون أقل أهمية (Hanson and Hitz, 1982).

بين Stewart. (1972 ; 1978 b) أنه في بعض الأحيان تكون الكربوهيدرات عاملا أساسيا لتراكم البرولين، و قد استنتج ذلك من تجويع الأوراق التي تراكم البرولين بنسب ضئيلة مما يعمل على تثبيته تخليق البرولين من glutamate مما يتطلب مستوى عليا من الكربوهيدرات لأن تخليق البروتين مرتبط حتما بأبيض السكريات و بل تتفس من دورة كريس Krebs (TCA) عن وسط (α -ketoglutarate) الذي يشكل الهيكل الكربوني لتخليق البرولين (Venkamp et Koot, 1988).

و اعتمادا على أبحاث Lahrer et al. (1993) أمكن توضيح أثر السكرز كعامل مسبب لتراكم البرولين في الأقراص الورقية لنبات السلجم (colza) المحضنة مخبريا.

إن تثبيته تخليق البرولين بفعل الإضاءة، ينتج بفعل المركبات الغنية بالطاقة (NADPH) لعملية التركيب الضوئي (Joyce *et al.*, 1992) فجزئتين من (NADPH) كافية لتخليق 1 مول من حمض جليتاميك (Adames et Frank, 1981).

Glutamate NADPH pyrroline 5 carboxylate NADPH proline

ففي الأقراص الورقية المعاملة من قبل بالضوء، ترجع الزيادة في تراكم البرولين إلى الضوء خلال الجفاف. فالأكسدة الكلية لكل جزيئة جلوكوز تكون ذات مردود 6 NADH ، 2 NADPH ، 4 FADH_2 و جزئتين من ATP، في حين أن الأكسدة الجزئية لحمض 2oxoglutarate تمتلك مردود 2 NADPH و جزئتين ATP. و بافتراض أن الأكسدة الجزئية مع بقية الهيكل الكربوني للمتبقلي لتخليق البرولين لكل من جزئتين برولين مختلفتين انطلقا من 2oxoglutarate (المتطلب 6 NADPH) و بلثلي 3 جزيئات من الجلوكوز لتوفير هذه الطاقة (Joyce *et al.*, 1992). ففي الخلايا غير ذاتية التغذية (hétérotrophique) فإن طلائع الكربون ATP و

كذلك NADPH تتطلب لتخليق الحيوي للبرولين والتي تنتج من أكسدة الجلوكوز من دورة الجلكزة glycolyse و دورة البنتوز (Argandona et Pahlich, 1991).

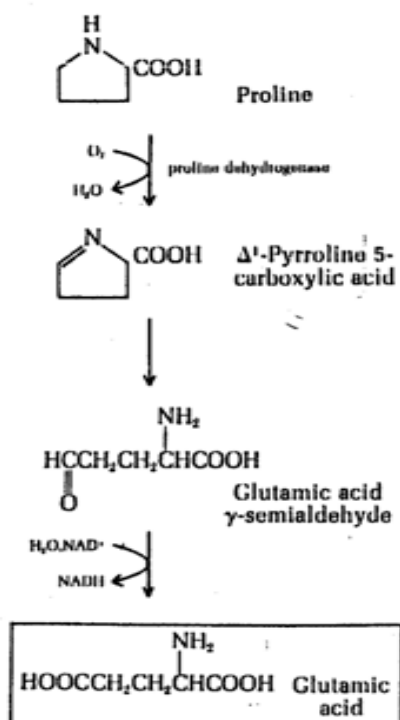
إن تخليق NADPH بفعل الطاقة للجهاز من عملية التركيب الضوئي يصل إلى 75 مرة أكثر من الإنتاج المطلوب لتخليق البرولين؛ ويمكن أن يؤثر الجفاف على انخفاض إنتاج الطاقة (NADPH)، ولكن أوضحت لقياسات أنها لا تثبط بقوة إلا إذا كان الجفاف قويا (Joyce *et al.*, 1992).

توصل (Ledily *et al.* 1993) إلى أن استعمال مادة gabaculine يكشف عن تخليق كل من الكلوروفيل و البرولين للذان يتنافسان على glutamate لأنه يمثل مسبق أو طليعة (précurseur) مشترك بينهما . و في دراسة مقارنة بين تراكم البرولين عند عباد الشمس و عند الذرى أشار (Navari *et al.* 1992) إلى تتنافس الإنزيمات المسئولة عن تخليق البرولين على مادة التفاعل، مما يسمح لهذا التراكم بالاعتماد جزئيا على التوازن لحساس بين نشاط الإنزيم و المادة المتوفرة التي أتلفت بفعل نقص الماء. كما أن إضافة الأورنثين في وسط الزراعة يزيد من مصدر البرولين عن طريق إنزيم ornithine amino transferase (Delaunay *et al.*, 1993 ; Ledily *et al.*, 1993).

إن تنبيه تخليق البرولين يمكن أن ينتج من فقد المراقبة العادية لعملية التثبيط العكسي لتخليق البرولين عن طريق البرولين نفسه، مع أن الانخفاض في استعمال البرولين يتبع ظاهريا كل من عمليتي تثبيط تخليق البروتين وأكسدة البرولين (Bogges *et al.*, 1976; Bogges et Stewart, 1980)، و كذلك من زيادة استنساخ الجينات للمحثة على تخليق الحيوي للبرولين (Hu *et al.* 1992).
في النهاية نلخص التمثيل الحيوي للبرولين في الشكل I 7 اعتمادا على جميع المعطيات السابقة.

3. هدم البرولين

يؤكسد البرولين إلى P5C في مركز الاسترومال لغشاء الداخلي لميتوكوندريا النبات بواسطة إنزيم proline oxidase (Pro DH) ثم يحول P5C إلى glutamate بإنزيم P5C dehydrogenase شكل I g
(Boggess *et al.*, 1976 ; 1978).



الشكل I 8 : تحول البرولين إلى حمض الجلوتاميك
(Lehninger, 1972)

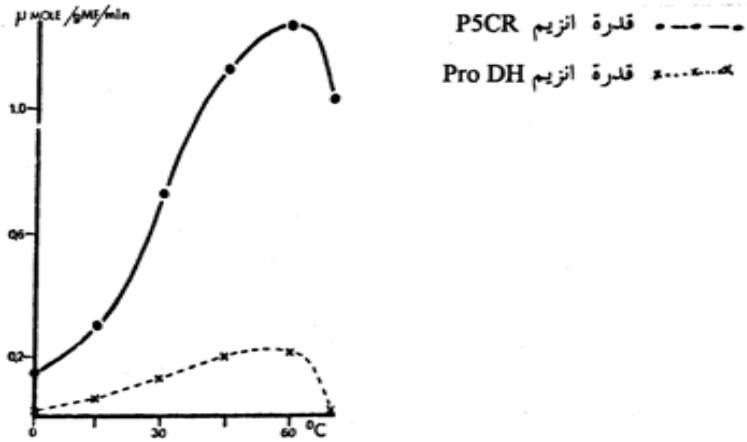
و حسب ما ذكره Boggess and Koepe. (1978). عن مجموعة من الباحثين الذين سبقوه، أن أيض البرولين عند كل من الثدييات، الحشرات و البكتريا يبدأ بتحويلها إلى P5C أو في بعض الحالات إلى P2C في وجود إنزيم (proline oxidase) داخل الميتوكوندريا في وجود O₂ و flavoprotein.

إن عزل جين proline oxidase يساهم في تفهم دور Pro DH في تراكم البرولين، ولكن يصعب عزل هذا الإنزيم بصورة نقية و بكميات معتبرة، لأن نشاطه مرتبطا بناحية الحشوة (الستروما) من الجهة الملاصقة للغشاء الداخلي للميتوكوندريا و يبدو أن هذا الإنزيم يعطي إلكترونات تدخل مباشرة في السلسلة التنفسية (Kiyosue *et al.*, 1996).

و حسب (Kiyosue *et al.*, 1996; Royapati and Stewart, 1991; Stewart *et al.*, 1977) تثبط عملية أكسدة البرولين أثناء تراكمه تحت ظروف الجفاف عند النباتات و تنشط من جديد بعد إعادة السقي.

4. لتفسير الانزيمي و لوراثي لتراكم لبرولين

يتحكم في أيض البرولين إنزيمان هما pyrroline 5 carboxylate reductase (P5CR) و proline dehydrogenase (Pro DH)، فالأول يسمح بتخليق البرولين و الثاني باستهلاكه (Vansuyt *et al.*, 1979). إن القدرة الانزيمية لـ P5CR تكون ضعيفة خلال المرحلة المظلمة و في بداية المرحلة المضيئة، ولكن تكون سريعة خلال المرحلة المضيئة و تزيد لتصل إلى أقصاها حوالي الساعة السادسة بعد بداية الإضاءة، ثم تتناقص بعد ذلك لحفاظ على مستوى ثابت خلال بقية النهار. في حين أن القدرة الإنزيمية Pro DH تكون ضعيفة سواء خلال المرحلة المضيئة أو المظلمة و هي ثابتة على طول النهار. كما أن نشاط كلا الإنزيمين يعتمد بصفة كبيرة على درجة حرارة وسط التحضين، فعند 10°م يكون نشاط Pro DH ضعيفا جدا و صعب القياس، في حين يكون نشاط P5CR جد معتبرا، و مع رفع درجة الحرارة إلى 60°م يرتفع نشاط كلا الإنزيمين ثم يتناقص بعد هذه الدرجة (شكل Iو).



شكل I 8 : تأثير حرارة وسط التحضين على القدرة الإنزيمية لتخليق البرولين

(Vansuyt *et al.*, 1979)

يعدل التعبير الجيني بصفة مختلفة عن طريق الجفاف وحده أو مصاحباً لإجهاد حراري عند نبات *Arabidopsis thaliana* (Rizhsky *et al.*, 2004). درست تحليل أخرى أكثر دقة ديناميكية الاستجابة و الفروق بين الأصناف عند الأزرل هذه لديناميكيات (Kawasaki *et al.*, 2001). وجدت اختلافات مهمة بين الاستجابات داخل الأعضاء تحت لنقص المائي في المشيمة و الأوبومين عند بذرة الذرة. توجد ثمة إشارة تضع في الحسبان الاتصال بين الجينات و هرمونات الإجهاد. يراقب التعبير الجيني بعوامل نسخ عبارة عن بروتينات تثبت على المستبد Promoteur (قطعة ADN في الأمام في الجزء لمنسوخ) للجينات المراقبة (Yu et Setter, 2003).

أشار Saint *et al.* (1991) إلى أن التحمل للجفاف يخضع لجينين أو أربع جينات و عزز ذلك من طرف Bray (1993 ; 1997) التي بينت أن العديد من الاستجابات لنقص المائي تكون مراقبة من طرف مجموعة جينات تمتلك بدورها العديد من الوظائف المختلفة، حيث تراقب بعض الجينات للمردود (الإنتاج) خلال ظروف الجفاف، و تضمن صيانة التراكيب الخلوية و المحافظة على الجهد المائي بتعديل الضغط الأسموزي. ولقد بين Ingram and Bartels (1996) حدوث العديد من التغيرات في تعبير عدد كبير من الجينات أثناء نقص الماء. إن تعبير الجين المشفر لانزيم P5CR يكون قويا للحث و لالتنبيه خلال فترة نقص الماء عند النباتات (Yoshida *et al.*, 1995) مما يعتبر رد فعل لانزيم المحفز للمستوى المحدد لتخليق الحيوي للبروتين (Delauney and Verma, 1993). وضح (1995) Kavi kishor *et al.* أن التعبير الفوقي (surexpression) لانزيم P5CS يؤدي إلى زيادة تراكيز البروتين في نباتات التبغ المعلىة وراثيا (plantes transgéniques) مما جعل Verma and Hong (1996) يريان أن ذلك يزيد من تحمل النباتات للجهد المائي.

و طبقا لأبحاث Rentch *et al.* (1996) هناك جينات خاصة بنقل البروتين و هي النواقل proline transporter 1 et 2 (Prot 1, Prot 2) المنتمة لعائلة (amino peptidase). يتواجد Prot 1 في جميع أعضاء النبات و بمستويات عالية عند الجذور و السيقان، لكنه يكون بطيئا عند الأزهار و المستوى الأقصى لتعبير Prot1 يكون في الحزم الوعائية المركزية المشكلة دورال نقل Prot 1 للبروتين أثناء تطور العضو الزهري. و جين Prot 2 يتواجد كذلك في كل النبات، لكن تعبيره يكون قويا تحت شروط الجفاف و الملوحة مما يشير إلى أن

Prot 2 له دور مهم في المساهمة في توزيع النتروجين خلال نقص الماء؛ مما يدل على أن توزيع البرولين على طول أجزاء النبات يمكن أن يكون مظهرا مهما في وظيفة تعديل الأسموز (Bray, 1997). بين Kiyosue *et al.* (1996) أن جينات (ERD) Early Response to Dehydration تشفر لطلائع إنزيمات Pro DH و التي تنظم مستويات تراكم الحمض النووي الريبوسول (ARNm) في كل من النباتات الخاضعة للجفاف و المسقية من جديد، لأن نقص الماء يعمل على تثبيط جينات ERD5 في حين إعادة لسقي من جديد تتبه عمل جينات ERD5 و التي تلعب دورا قطعيا في هدم البرولين.

VI. خصائص لجزيئية

1. لبصمة ليميائية

عرفت لبصمة ليميائية منذ العديد من السنوات السابقة واستعملت كأداة لدراسة وراثية لعشائر. ومع تطور تقنيات التفريد الكهربائي (Ferguson, 1980) و التي استعملت بشكل واسع كاختبار سريع ودقيق لتعريف ووصف الأصناف المختلفة. تعتمد تقنيات التفريد الكهربائي لبروتينات، لامتشابهات الأنزيمية و لتفاعل بلمرة سلسلة خيط ADN على توصيف الأصناف ببصمات كيميائية ووراثية لتقدير التجانس و النقاوة و لكفاءة الزراعة للأصناف ولسلالات.

(Targ *et al.*, 1988 ; Summers *et al.*, 1988 ; AbdEL Taweb *et al.*, 1993 ; Redaelli, 1993; Farooq *et al.*, 1994 ; Nxomani *et al.*, 1994 ; Hasaballah, 1997; Abdelsalam *et al.*, 1998 ; Zoghlami *et al.*, 2001 ; Wang *et al.*, 2003).

2. لبصمة لوراثية لبروتينات لبذور

تتراكم معظم بروتينات التخزين للقمح و للحبوب الأخرى داخل بذور Caryopses أثناء نضجها و التي تعتبر مصدرا أزوتيا مهما للحياة الجنينية المقبلية بل تحليل الأنزيمي السريع أثناء الانتاش. لبروتينات هي الناتج النهائي لجينات و التركيب البروتيني لعضية ما، هو انعكاس للمعلومة الوراثية المعبر عنها.

تنقسم بروتينات البذرة إلى أربعة أقسام و يقال خاصية ذوبانها :

الأبومينات albumines ذائبة في الماء و للمطيل للمخفة للمعتلة، لجلوبينات globulines ذائبة في للمطيل للملحية و غير ذائبة في الماء، لجليوتين gluténines ذائبة في الأحماض المخفة و للمطيل للقاعدية و لجليتات gliadines ذائبة في الكحولات للمائة 70-90 %.

وتمثل هذه البروتينات نسب محددة وقصوى عند القمح : 9% لأبومين و 5% جلولين ، 40% جليتين و 46% جلوتين (Frey, 1977).

وضح تحليل البروتينات القمح بأقسامها الأربعة على جل النشا من طرف (1987). Bietz الذي أوضح أهمية هذه التقنية لتصنيف الأصناف ودراسة العلاقات الوراثية بينها وابتداء بنوعية القمح حيث أصبح لتفريد الكهربي للبروتينات ولامتشابهات الأنزيمية التقنية الأكثر اختبارة في المخابر لتعريف وتميز الأصناف المختلفة. أن تقنية SDS PAGE وتحت وحدات الجلوتين gluten أصبحت مؤثرات نوعية أساسية للتربية الحديثة للقمح الصلب ولاختيار وترتيب الأقماح ذات الجودة العلية غذائيا وصناعيا. (Galterio *et al.*, 1993).

3. عملية لتفريد كهربي للبروتين بتقنية SDS PAGE

أظهرت الدراسات البيوكيميائية تزايدا ملحوظا في دقة المعلومات المستوفاة لقرارات الحفظ Conservation من أجل تقييم التباين الوراثي داخل العشائر وبين الأصناف.

تتوافق تقنية البروتينات الكلية مع التحليل الجيني لخيطة ADN في حين تحدد طريقة RAPD عددا كبيرا من متعددات الأشكال كاشفات ADN المنتشرة في الجينوم بمنطقته المشفرة وغير المشفرة ، هذا يعني أن RAPD و البروتين الكامل يمكنها إعطاء تغطية مختلفة لكن مجانية للجينوم (Gottlieb, 1981). يمكن تعدد الأشكال في مقاطع التشرذم الكهربي للبروتينات من تقديم معلومات خاصة حول التماثلات و الاختلافات الموجودة بين لفصائل النباتية، يعتمد عليها علماء الوراثة لقياس البصمة الجينية عند النباتات (Paradies and Ohms 1987).

وضح (1991). Ram et Singh أن بروتينات البذور القابلة للذوبان في الماء في نبتة الفاصولياء بتقنية SDS PAGE تكشف عن 14 حزمة من 120 سلاية وراثية تمت مقارنتها ب82 سلاية لها بند فريدة أو أحادية المظهر أما 38 سلاية الباقية فقد أدرجت في 14 مجموعة مختلفة.

درس (2004). Nour ElNDin *et al.* خمسة أصناف من نبتة Zygophyllum spp تحت ظروف مختلفة في جنوب سيناء. أظهرت الأصناف اختلافات طفيفة في خصائص الفيزيولوجية والجينية وهذا راجع إلى قدرة تأقلمها في هذه الأوساط.

4. لامشابهات الإنزيمية Isozyme polymorphism

تعتبر حلليا دلائل لامشابهات الإنزيمية هي أفضل الوسائل للإجابة على أسئلة الكثير من البحوث في تحليل المتغيرات الجينية. ساهمت دلائل الإيزوزيم في دراسة بيولوجيا النبتة عن طريق توفير طرق لتحديد الفوارق

الجينية لدى الأفراد. يوجد بعض المواضيع الإيكولوجية المهمة التي غالبا ما تشغل الإيزوزيمات كدلائل قوية. إن فهم توزيعات الاختلافات الجينية داخل وبين لفئات غالبا تكون له علاقة مع البنية الجغرافية تشعباتها عبر مجال واسع من الأصناف من أجل الاستفادة من الطبيعة المسيطرة للإيزوزيمات في إظهار التنوع الجيني (Brown 1980).

أظهرت العديد من المحاصيل الاقتصادية زيادة محسوسة في السنوات الأخيرة عند الاعتماد على تطبيقات تقنيات المشابهات الإنزيمية كبصمة والتي تعتبر وسيلة مهمة في إعطاء أليات مسيطرة في مواقع دلائل وحيدة والتي يمكن استغلالها في اتجاهات عديدة منها تصنيف المزروعات والفضائل. أظهر كثير من الباحثين القيمة الكامنة للإيزوزيمات كدلائل على تحديد الهوية الجينية، استخراج مؤشرات التشابه وبناء مخططات dendogramme للعديد من الأصناف النباتية.

أوضح (Plomion et al. 1995) أن كل من البروتينات و الإيزوزيمات تتطابق مع تشفير ADN في حين تعرف تقنية RAPD عددا كبيرا من معلمات متعددة أشكال ADN الموزعة في الجينوم بشقيه المشفر وغير المشفر.

درس (Ahmed et al. 2003) ثمانية أنواع من السنط *Acacia* في مستويات مختلفة من مقاومة الجفاف تم جمعها من ثلاثة مناطق جغرافية. تم استعمال بذور هذه الأصناف في تحليل بيوكيميائية للبروتينات متعددة أشكال الإيزوزيمات من أجل تقييم المتغيرات الجينية للبيوكيميائية في *Acacia*. أظهرت النتائج المحصل عليها من التحليل الكاملة للبروتين أن أصناف السنط تعطي 21 رابطة بروتين بوزن جزيئي يتراوح بين 137.75 و 16.66 كعددا أقصى.

استعمل (Zheng et al. 2001) المشابهات الإنزيمية لإنزيم Esterase و كواشف gliadin و RAPD لتوصيف الوراثي ل 40 صنف من القمح الصلب. فوجدوا أن الانزيم كان متماثلا 80% عند الأصناف المدروسة في حين كان للتباين عند استعمال كواشف gliadin و RAPD.

5.5 دراسات جينية على PCR : تفاعل سلسلة بلمرة خيط ADN (RAPD.PCR)

توجد دراسات عديدة تم فيها تقييم المتغيرات الجينية بالاعتماد على كل من الدلائل الجينية على البروتين غالبا الإيزوزيمات والدلائل الجينية على RAPD دائما في العموم فإنه توجد متغيرات جينية أكثر عند استخدام الدلائل الجينية على ADN تم تحقيق حلم علماء الجينيات أخيرا بواسطة الدلائل الجينية بإعطاء طريق سريع مدesh ومؤثر في تحصيل كم هائل من المعلومات الجينية لإبلاغ عمليات المحافظة والحفظ.

مكنك الدراسات الجزيئية من تحصيل معلومات حول فصائل المحاصيل وتطورها في المجالين الجيوغرافي و الإيكولوجي وفي توزيع التنوعات الجينية .

زيارة لك ، فإنها ساعدت على تعريف المضاعفات في المخازن الجينية الخارجة عن الوضع الطبيعي على اختيار رزاة ونزاهة لفئات وعلى دعم التطورات في نواة التجمعات .

تم استعمال تقنية RAPD بشكل واسع نظرا إلى الميزات التالية :

- = لا تتطلب RAPD أي تحقيقات من ADN أو من تسلسل المعلومات من أجل تصميم جزيئات معينة
- = التقنية لا تتطلب أي خطوات تنشيف أو تهجين إذاعي سريعة بسيطة وفعالة.
- = تستعمل RAPD كمية ضئيلة من ADN 100 نيوكليوتيد لكل تفاعل ولطريقة يمكن برمجتها .
- = تثبت RAPD أيضا أنها تعطي مستويات عالية من تعدد الأشكال مقارنة ب RFLP مثلا في حالات تم فيها تطبيق نفس المواد (Sambrook *et al.*, 1989)

إضافة إلى ذلك أظهر Welsh and McClelland. (1990) ان الميزات الرسمية RAPD هي :

- 1- ملائمتها في العمل على جينومات غير معروفة .
- 2- فعاليتها في الحالات التي تكون فيها كمية ADN المستعملة محدودة.
- 3- نجاعتها وكلفتها البسيطة .

دلائل RAPD مبينة على التضخيمات للمواقع العشوائية لسلسلة تفاعل البوليميراز PCR في جينوم النبات

باستخدام هذه التقنية ، جزيء وحيد عديد النيوكوتيد يتم استعماله لتحسين تضاعف الجينوم لأن هذه الجزيئات بطول 10 جزيئات ، فإن لها إمكانية للتغير في عدد من المواقع غالبا 150-4000 وحدة .
الميزة الرئيسية للطرق الجينية على PCR أنها يمكن تطبيقها بشكل سهل على عدد كبير من العينات كما يمكن برمجتها (Abd allah, 2008).

استعمل Hasaballah.(1997) التحليل بمعلمات RAPD ل 11 جينوم من القمح ولاشليم Seigle لتقدير التباين الوراثي بينها ، أمكن الكشف عند 8 معلمات جزيئية لاشليم 3 معلمات جزيئية لشعير و 3 معلمات لجينوم A وواحد لجينوم B وأخر لجينوم D.

تمكن Cao *et al.* (2000) من تقدير العلاقة الوراثية 15 مجموعة accession من القمح التي أمكن تجميعها في خمسة مجموعات للقمح السداسي. كما أمكن ربط معلمات RAPD في 5 مجموعات واضحة ذات علاقة مع لترتيب المرفولوجي .

استعمل Freitas *et al.* (2000) تحليل RAPD لتقدير التباين بين 14 صنف من القمح البرازيلي باستعمال 50 بادئ. لاحظ مستويات عالية من النقاوة ومستوى منخفض من التعدد المظهري Polymorphisme. توصل AbdelMawab *et al.* (2001) باستعمال 51 بادئ لتحليل RAPD ل 8 أصناف من الشليم المصري من تقدير المسافات الوراثية و إيجاد علاقة بين التقاطعات الوراثية وبعض الخصائص التكنلوجية مثل الكتلة الحيوية و السكريات المختلطة.

استعمل Cao *et al.* (2000) تحليل RAPD لتعريف شجرة سلسلة النسب ل 29 صنف من القمح اللين باستعمال 31 بادئ. تحصل على مجموع 214 قطعة . تتباين عدد القطع عند كل بادئ من 3 إلى 12 قطعة بمعدل 6.9 قطعة لكل بادئ. تمثل من مجموع 214 قطعة 54.7 % حزمة أحادية المظهر monomorphe و 45.3 % حزمة متعددة المظهر Polymorphe.

درس Sivolap and Trebel'skii. (2001) 12 سلالة نقية و 6 هجين للشعير لتعريف أصناف الشعير باستعمال تقنيات RAPD و ISSR و SSR التي أعطت طرق جديدة معتمد على PCR التي أعطت التمايز الفريد و لتعريف لأصناف الشعير .

استعمل AbdelMawab *et al.* (2003a) معاملات RAPD لتقييم التباين الوراثي ول بصمة الوراثية ل 10 أصناف من الطماطم ، باستعمال 10 بادئات وتك بتقدير المسافة الوراثية وبعض المعلمات الجزيئية ذات العلاقة مع كل من المرود وخصائص النوعية عند الطماطم.

استعمل Mohamed *et al.* (2003) كل من المشابهات الأنزيمية وتحليل RAPD لتحديد وتوصيف بعض أصناف القمح . فوجد أن معاملات RAPD تكون قادرة على تمييز العلاقات بين الأصناف التي يصعب التمييز بينها باستعمال المشابهات الإنزيمية.

درس Munshi *et al.* (2003) التباين الوراثي بين بعض مجاميع القمح ثنائية الصيغة الكروموزومية يتحليل RAPD باستعمال 10 بادئات لإعادة ترتيب خمس مجاميع من القمح الصلب ،رتبت من قبل بشكل غير منتظم كان مجموع البند 320 متحصل عليها مع 10 البادئات وكانت النتائج موافقة لترتيبات السابقة.

استعمل Teshale *et al.* (2003) تحليل RAPD لوضع البصمة الوراثية ل 17 صنف من القمح السداسي و 10 أصناف من القمح الرباعي . فوجد أن قيم التشابه بين أصناف القمح الرباعي كبير جدا مقارنة بلقمع السداسي .

استعمل (2004) EL Marsy et Saied. تحليل RAPD لتقدير التباين الوراثي عند 8 أصناف من *Acacia* واستعمل لتركيب 15 بادئ RAPD . فوجدوا أنه مهما كان عدد الحزم الكلية والنسبة المئوية فإنها تتباين بين التعداد المظهري Ploymorphisme و البادئات المستعملة . حيث تراوح عدد الحزم من 14 إلى 3 حزم كل بادئ والنسبة المئوية بين 88.9% و 37.5% .

وقد استعمل (2005) Hassan. تحليل تقنية SDS PAGE للبروتينات و RAPD و ISSR لنوعين من نبات *Moringa* وثلاثة أنواع من النعناع لكشف من المعلومات الجزيئية فوجد من بين الثلاثة تحليل أن المعلومات RAPD هي الأحسن لتقدير التباين وتقييم العلاقة الوراثية بين النباتين .

6.6. كشف عن معلومات تحت تأثير مختلف أنواع الإجهاد

إن برامج التربية وتحسين النباتات الكلاسيكية تأخذ وقتا كبيرا للحصول على صنف جديد، فقد يتطلب 15 سنة للحصول على صنف قمح جديد و 18 سنة لصنف البطاطس في حين أن التقنيات الحديثة وخاصة التحليل الوراثية الجزيئية ADN Polymorphe RAPD و ISSR و SSR تستعمل كثيرا لكشف عن المعلومات الجزيئية المرتبطة بالعوامل غير الحيوية كالملوحة ، الجفاف ، درجات الحرارة المرتفعة والمنخفضة و نقص المعادن تعمل على اختزال فترة برامج الانتخاب النباتي (Farooq et Azam, 2002).

فقد استعمل (2003) AbdelMadedk. تقنية RAPD لكشف عن الكاشفات الجزيئية لمقاومة الملوحة ل 11 مجموعة من *Stevia rebaudiana* باستعمال 7 بادئات فتحصل على 20 كاشف ايجابيا و 2 سلبيا لكشف عن المقاومة للملوحة.

وفي دراسة أخرى (2003b) Abdel . Tawab *et al.* باستعمال RAPD و SSR لتحديد الكاشفات الجزيئية لتحمل للجفاف عند القمح باستعمال 24 بادئ ل RAPD و 15 بادئ SSR أمكن تحديد كواشف RAPD و 3 كواشف SSR لتحمل للجفاف.

في دراسة ل. (2004) MehboobMrRahman et coll . استعمل تحليل RAPD لكشف عن المعلومات الجزيئية لتحمل الملوحة عند القمح باستعمال الجيل الثالث للنواتج من تراوح بين آباء متحملة و أخرى حساسة للملوحة لتحديد التحليل بين النباتات المنعلة 15 نبات متحملة ومتشابهة و 15 نبات حساس متماثل. أمكن الحصول على قطعة كاشفة واحدة ذات الوزن الجزئي تقريبا 680 زوج قاعدة ككاشف لتحمل الملوحة.

وقد استعمل Rashed *et al.* (2004) في دراسة تحمل بعض أصناف القمح الملوحة تقنيات التفريد الكهربي ،
للمتشابهات الإنزيمية و RAPD لكشف عن بعض المعلومات الجزيئية باستعمال 6 بادئات ، نتج عن التحليل 9
كاشفات ايجابية و سلبية.

وفي دراسة أخرى. Malik *et al.* (2000) استعمل تحليل سلسلة بلمرة خيط ADN لكشف عن المعلومات الجزيئية
لتحمل الجفاف عند القمح .من بين استعمال 160 بادئ في تحليل سلسلة بلمرة خيط ADN ثم تحديد 87 كاشف
لتحليل الجفاف عند القمح.

تمكن نوح (2006).Noh من الحصول على 29 كشافا جزيئيا لجينومات القمح باستخدام 32 بادئا تابعة لتقنيات:
RAPD, ISSR و SSR منها 18 كشافا لجينوم A وكشاف واحد فقط لجينوم B وعشرة كشافات لجينوم D.
تم استخدام 12 بادئا في تقنية RAPD وكان العدد الكلي للحزم هو 80 حزمة مختلفة في حين تراوح عدد الحزم كل
بادئ من 5 إلى 9 حزم بمتوسط 6.67 حزمة للبادئ واختلفت نسبة التباين Polymorphisme للحزم الناتجة
باختلاف البادئات حيث تراوحت بين صفر بللمائة في اثنين من البادئات (A12 و A17) إلى مائة بللمائة في أربع
منها (A02, A05, A06 , A09) وكان المتوسط العام 61.5 %.

طرق و وسائل البحث

1. لمادة لنباتية

تمت الدراسة على 10 أصناف من القمح الصلب (*Triticum durum* Desf.) على مستويين هما الحقل والمخبر لمعرفة خصائصها الفينولوجية، المورفولوجية والفيزيولوجية بهدف استعمالها كأباء في عمليات تزاوج فيما بينها للحصول على هجن تسمح بمعرفة مدى توريث صفات تراكم البرلين.
والجدول II: يعرض الأصناف (الآباء) وأصلها الجغرافية والهجنت الناتجة من التزاوج بينها.
جدول رقم II: الأصناف (الآباء) والهجنت الناتجة من التزاوج بينها.

2006 \ 9 LES PARENTS (2006) ZUQ \ 9			
N°	الرمز (Abréviation)	الأنواع (Variétés)	الأصل الجغرافي (Origine géographique)
V ₁	17 Bidi	Bidi 17	I.T.G.C./Guelma/Algerie
V ₂	3 Hed	Hedba3	I.T.G.C./Algerie
V ₃	368 OZ	Oued Zénati 368	I.T.G.C./Algerie
V ₄	GGR	Guemgoum Rkhem	I.T.G.C./Tiaret/Algerie
V ₅	MBB	Mohamed BenBachir	I.T.G.C./Setif/Algerie
V ₆	DK	Djennah Khetifa	I.T.G.C./Algerie
V ₇	Vit	Vitron	Espagne
V ₈	Kor	Korifla	Syria
V ₉	Hau	Haurani	Syria/Libanie
V ₁₀	69 INRAT	INRAT69	Tunisie
2005 \ 2004 ZUQ dRGM \ 9 4679			
N°	الرمز (Abréviation)	الهجن (Hybrides)	
H1	Bid x Kor	x Korifla 17Bidi	
H2	Bid x Hau	x Haurani 17Bidi	
H3	Hed x Vit	x Vitron 3 Hedba	
H4	Hed x Kor	x Korifla 3 Hedba	
H5	Hed x Hau	x Haurani 3 Hedba	
H6	GGR x INRAT	69Guemgoum Rkhem x INRAT	
H7	MBB x Vit	Mohammed Ben Bachir x Vitron	
H8	MBB x Kor	Mohammed Ben Bachir x Korifla	
H9	MBB x INRAT	69Mohammed Ben Bachir x INRAT	
H10	DK x Kor	Djennah Khetifa x Korifla	
H11	Dk x Hau	Djennah Khetifa x Haurani	
H12	Dk x INRAT	69Djennah Khetifa x INRAT	
2006 \ 2005 ZUQ dRGM \ 9 4679			
N°	الرمز (Abréviation)	الهجن (Hybridess)	
H1	Bid x Vit	x Vitro 17Bidi	
H2	Bid x Kor	x Korifla 17Bidi	
H3	Bid x INRAT	x INRAT 17Bidi	
H4	Hed x Vit	x Vitron 3 Hedba	
H5	Hed x Kor	x Korifla 3 Hedba	
H6	Hed x Hau	x Haurani 3 Hedba	
H7	Hed x INRA	x INRAT 3 Hedba	

H8	OZ x Vit	Oued Zénati 368 x Vitron
H9	OZ x Kor	Oued Zénati 368 x Korifla
H10	OZ x Hau	Oued Zénati 368 x Haurani
H11	OZ x INRAT	Oued Zénati 368 x INRAT
H12	GGR x Vit	Guemgoum Rkhem x Vitron
H13	GGR x Kor	Guemgoum Rkhem Korifla
H14	GGR x Hau	Guemgoum Rkhem x Haurani
H15	GGR x INRAT	69Guemgoum Rkhem x INRAT
H16	MBB x Vit	Mohammed Ben Bachir x Vitron
H17	MBB x Kor	Mohammed Ben Bachir x Korifla
H18	MBB x Hau	Mohammed Ben Bachir x Haurani
H19	MBB x INRAT	69Mohammed Ben Bachir x INRAT
H20	DK x Kor	Djennah Khetalfa x Korifla

أختيرت الأصناف المستعملة على أساس الدراسات السابقة (شايب 1998، مشاريع البحث 2005، 2001)، و قسمت إلى مجموعتين:

- المجموعة الأولى للأصناف المتأخرة وتمثل الآباء الإناث وهي Bidi17، Hed 3، OZ 368، GGR، MBB و

و DK.

- المجموعة الثانية للأصناف المبكرة وتمثل الآباء الذكور وهي Vit، Kor، Hau و 69 INRAT.

2. سير تجربة

تم للزرع على مرحلتين حرصا على توافق مرحلة الإزهار من أجل التحكم في عملية التصلاب. كان للفرق بينهما 15 يوما وفي كل مرحلة اخترنا تاريخين للزرع كان للفرق بينهما 10 أيام من أجل توافق فترة الإزهار بين الأصناف على أساس خاصية التكبير والتأخير لهذه النباتات (شكل II_{1a}، II_{1b} و II_{1c}). أما للهجن مع الآباء فقد زرعت بللتوازي مع المرحلتين الأولىيتين.



شكل II_{1a} : تصميم تجربة الآباء

Bidi V ₁₁	Hed V ₂₁	OZ V ₃₁	GGR V ₄₁	MBB V ₅₁	DK V ₆₁	Vit V ₇₁	Kor V ₈₁	Hau V ₉₁	INRAT V ₁₀₁
Bidi V ₁₂	Hed V ₂₂	OZ V ₃₂	GGR V ₄₂	MBB V ₅₂	DK V ₆₂	Vit V ₇₂	Kor V ₈₂	Hau V ₉₂	INRAT V ₁₀₂
Bidi V ₁₃	Hed V ₂₃	OZ V ₃₃	GGR V ₄₃	MBB V ₅₃	DK V ₆₃	Vit V ₇₃	Kor V ₈₃	Hau V ₉₃	INRAT V ₁₀₃
Bidi V ₁₄	Hed V ₂₄	OZ V ₃₄	GGR V ₄₄	MBB V ₅₄	DK V ₆₄	Vit V ₇₄	Kor V ₈₄	Hau V ₉₄	INRAT V ₁₀₄

شكل II_{1b} : مخطط أول تاريخ زرع

Bidi V ₁₁	Hed V ₂₁	OZ V ₃₁	GGR V ₄₁	MBB V ₅₁	DK V ₆₁	Vit A ₁	Kor B ₁	Hau C ₁	INRAT D ₁
Bidi V ₁₂	Hed V ₂₂	OZ V ₃₂	GGR V ₄₂	MBB V ₅₂	DK V ₆₂	Vit A ₂	Kor B ₂	Hau C ₂	INRAT D ₂
Bidi V ₁₃	Hed V ₂₃	OZ V ₃₃	GGR V ₄₃	MBB V ₅₃	DK V ₆₃	Vit A ₃	Kor B ₃	Hau C ₃	INRAT D ₃
Bidi V ₁₄	Hed V ₂₄	OZ V ₃₄	GGR V ₄₄	MBB V ₅₄	DK V ₆₄	Vit A ₄	Kor B ₄	Hau C ₄	INRAT D ₄

شكل II_{1c} : مخطط ثان تاريخ زرع

أعيدت تجربة الدراسة المرفوفينيلوجية للآباء لمدة ستة مواسم زراعية متتالية

(2000-2001، 2005-2006) لإثبات خصائص الأصناف المدروسة التي ظلت متغيرة نسبيا تحت البيت

البلستيكي. كما قمنا بعملية التهجين سنة 2003-2004 وتتبعنا نتائج الهجن سنة 2004-2005 مع متابعة

عملية التهجين في موسم 2004 - 2005 ثم استغلنا نتائج هجن هذه السنة خلال موسم 2005-2006

(شكل II_{2a} و شكل II_{2b}).



٧٠٢٠١٢٣ : ت١ ام١٢ تج١٣ الهجن

DK	DK x Kor	Kor
MBB	MMB x INRAT	INRAT
MBB	MBB x Hau	Hau
MBB	MBB x Kor	Kor
MBB	MBB x Vit	Vit
GGR	GGR x INRAT	INRAT
GGR	GGR x Hau	Hau
GGR	GGR x Kor	Kor
GGR	GGR x Vit	Vit
OZ	OZ x INRAT	INRAT
OZ	OZ x Hau	Hau
OZ	OZ x Kor	Kor
OZ	OZ x Vit	Vit
Hed	Hed x INRAT	INRAT
Hed	Hed x Hau	Hau
Hed	Hed x Kor	Kor
Bidi	Hed x Vit	Vit
Bidi	Bidi x INRAT	INRAT
Bidi	Bidi x Kor	Kor
Bidi	Bidi x Vit	Vit
P1 ♀	H H	P2 ♂

شكل II_{2b}: مخطط زرع الهجن

جرت التجربة في بيت بلاستيكي تتراوح حرارته ليلا بين 5° أو 12° م ونهارا بين 15° م و 30° م و رطوبته بين 60% إلى 70%.

تمت الزراعة في أصص مستطيلة الشكل، ذات الأبعاد الثلثية 27 سم طولاً و 18 سم عرضاً و 21 سم عمقاً أي بمساحة 486 سم² في تربة زراعية متجانسة ذات قوام طيني سلتى، جلبت من مشتلة شعبة الرصاص (دائرة الانحل سابقاً). كان للزرع على عمق 2 سم بكثافة 8 حبات في الأصيص مع أربع مكررات لكل صنف. عرضت الأصص مباشرة بعد البروز لظروف الطبيعية لمدة 15 يوماً حتى تتم عملية الإرتباع و الإشتاء. ثم أدخلت لبيت البلاستيكي مجدداً.

قمنا بسقي البادرات مرتين في الأسبوع بمعدل 250 مل لكل أصيص في بداية التجربة ثم ارتفع عدد المرات إلى ثلاثة ابتداء من مرحلة الصعود بمقدار مضاعف أي 500 مل. قمنا بمتابعة النباتات خلال دورة حياتها بإزالة الأعشاب الضارة.

3. لقياسات لمتبعة خلال دورة حياة لنبات

قمنا في هذه المرحلة بلقياسات الثلثية :

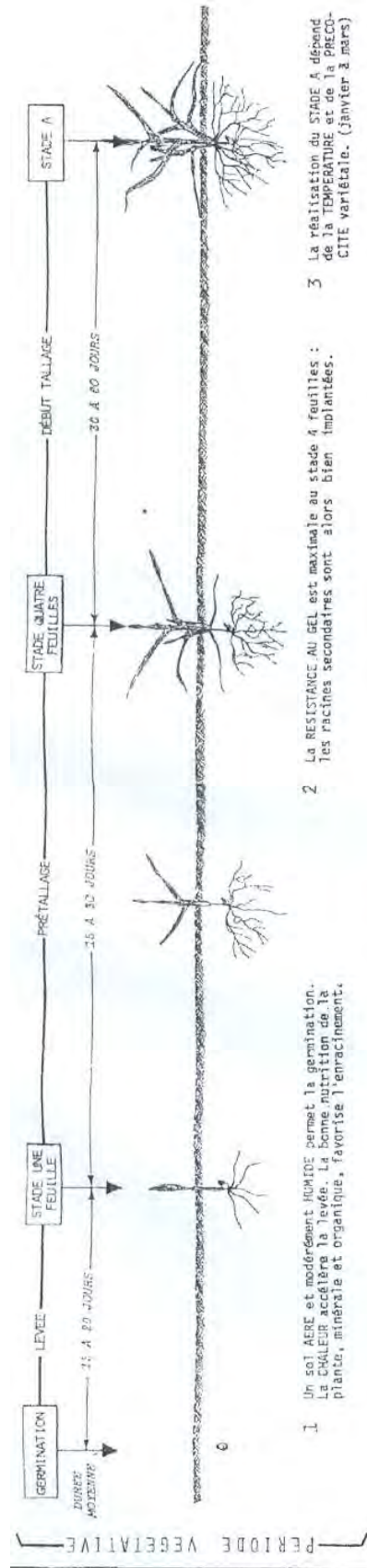
1.3. تصميم بطاقات وصفية

تتبعنا مختلف مراحل لدورة البيولوجية لمختلف الأصناف المدروسة وبقال توصيات الإتحاد العلمى لحماية الاستنباطات النباتية (U.P.O.V.,1994). وتتعلق هذه الخصائص بكل من الجهاز الخضري، الجهاز التكاثرى ولاثمرة (Caryopse). وتنحصر هذه الخواص في 28 خاصية لقمح الصلب (*Triticum durum Desf.*).

2.3. لخصائص لفينلوجية

تمثل الدراسة لفينلوجية سلوك مختلف مراحل دورة حياة الأصناف المدروسة تحت تأثير العوامل المناخية. و قد حالىنا تحديد فترة كل مرحلة تطور من مراحل دورة حياة النبات وبقال مخطط (Soltner, 2005) (شكل II₃). ، بحساب عدد الأيام لمختلف المراحل. وقد أخذت للقياسات خلال الدورة البيولوجية ثلاث مرات في الأسبوع من بداية الإنبات إلى مرحلة النضج.

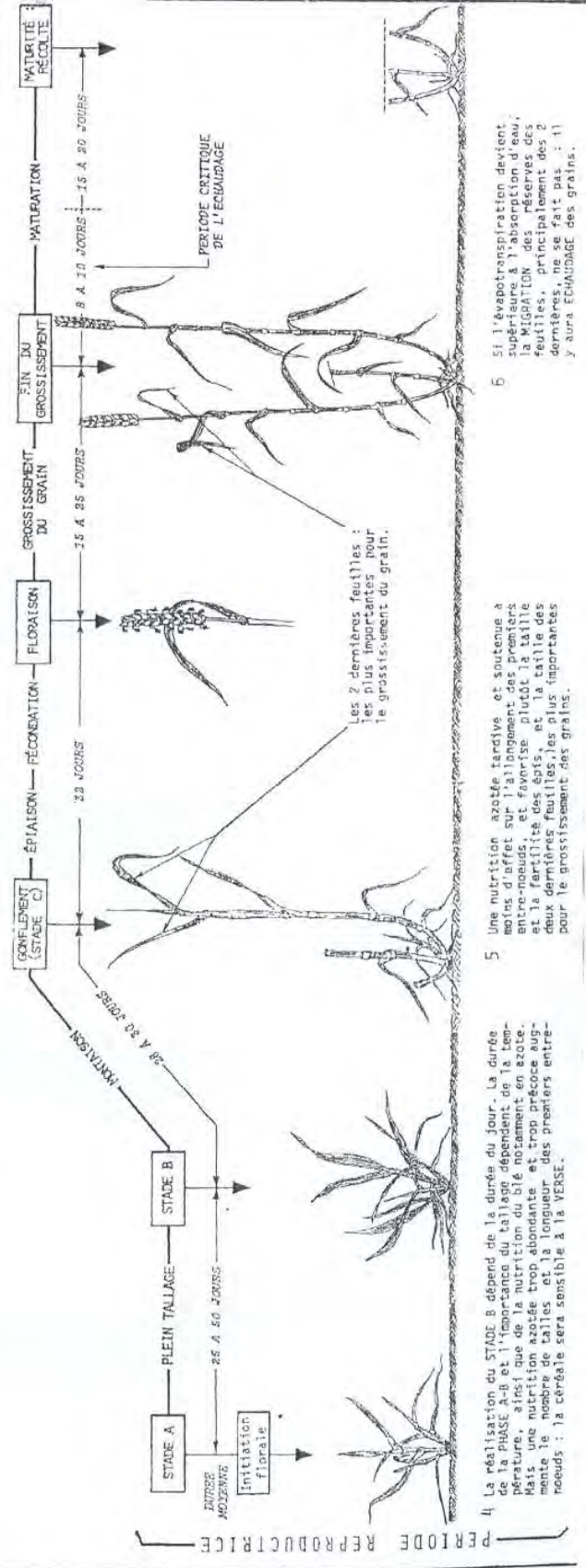
للزرع ← للبروز SL ، للزرع ← للإشتاء ST ، للزرع ← للصعود SM ، للزرع ← الانتفاخ SG
للزرع ← الإنبال SE ، للزرع ← الإزهار SF ، للزرع ← الامتلاء SR و للزرع ← النضج Sma.



1 Un sol AERE et modérément HUMIDE permet la germination. La CHALEUR accélère le levée. La bonne nutrition de la plante, minérale et organique, favorise l'enracinement.

2 La RESISTANCE AU GEL est maximale au stade à feuilles : les racines secondaires sont alors bien implantées.

3 La réalisation du STADE A dépend de la TEMPERATURE et de la PRECO-CITE variétale. (Janvier à mars)



4 La réalisation du STADE B dépend de la durée du jour. La durée de la PHASE A-B et l'importance du tallage dépendent de la température, ainsi que de la nutrition du blé notamment en azote. Mais une nutrition azotée trop abondante et trop précoce augmente le nombre de tiges et la longueur des premiers entrenœuds : la céréale sera sensible à la VERSE.

5 Une nutrition azotée tardive et soutenue a moins d'effet sur l'allongement des premiers entrenœuds et favorise plutôt la taille des 2 dernières feuilles épaisses, et la taille des deux dernières feuilles, les plus importantes pour le grossissement des grains.

6 Si l'évapotranspiration devient supérieure à l'absorption d'eau, la MIGRATION des réserves des feuilles, principalement des 2 dernières, ne se fait pas : il y aura ECHAUDAGE des grains.

شکل 11 : مراحل الدورة البيولوجية لمقح الصلب (Soltner, 2005)

3.3. لخصائص لمرفلوجية

تتبعنا سلسلة من القياسات لخمسة خصائص مرفلوجية ولنتائج المحصل عليها أخذت بسم و تمثل متوسط 10 مكررات للآباء و 5 مكررات للهجن. وتمثلت هذه القياسات في خصائص التأقلم (طول النباتات HP ، طول السنبله LE ، طول لسفاة LB ، طول عنق السنبله LCB و المساحة الورقية SFO). و مكونات الإنتاج (الأشطاء الخضري TH ، الأشطاء السنبله TE ، معامل الإشطاء IT ، عدد السنابل في المتر مربع E/m^2 ، وزن 1000 حبة PMG و حساب المردود RDT) .

4.3. لمعايير لوراثية (croisement)

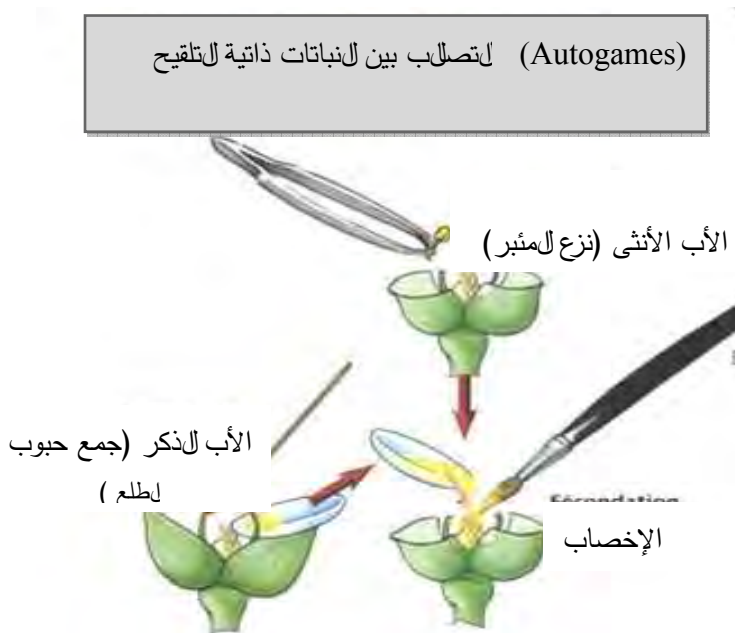
1.4.3. أشكال لتأبير أو إزالة حبوب لطلع Castration

وضع محسنو القمح ثلاثة تقنيات لأشكال لتأبير :

• لعملية ليدوية

تكون بإزالة المأبر من أزهار السنبله بواسطة ملقط و حفظها داخل الكيس. ثم يتم جلب غبار لطلع من السنابل للذكر لإجراء عملية الإخصاب (Gallais, 1990).

يتم تأبير الصنف المختار كأب أنثى. تخفف السنابل بحذف الزهرة الوسطية الأقل نموا و تترك الزهرتين اللتين على الجانبين و الأكثر نموا . نقوم بقص ثلث العصافات و العصيفات ، ثم نزيل الأسدية الثلاث بكل زهرة و نحتفظ بالسنبله الأنثى داخل كيس حافظل منعها من أي تلقيح خارجي.



شكل II 4 : التهجين أو التصلاب بين النباتات ذاتية التلقيح (القمح)

• لعملية ليميائية

تتطلب هذه التقنية استعمال مبيد جاميطي gamétocide أو بعض منظمات النمو المطبقة في مرحلة محددة من النمو. تسبب هذه المواد عقما ذكريا دون إحداث ضرر بالأعضاء الأنثوية (Bonjeau et Picard, 1990).

2.3. لعملية لوراثية

تستعمل هذه الطريقة للعقم الذكري باستعمال جينات أو سيتوبلازم (Bonjeau et Picard, 1990) و يترجم هذا للعقم بغياب المئبر أو بعقم غبار لطلع (Ferrière, 1981).

2.4.3. الإخصاب Pollinisation

من الممكن إجراء الإخصاب عند العديد من الأصناف دون وضع غبار لطلع بليد بواسطة فرشاة على المياسم كل زهرة. فل تطبيق غير المباشر لحبوب لطلع بنشر لغباب بلقرب من الزهرة الأنثى حتى يصل جزء لا بأس به إلى مياسم الزهرة الأنثى. في حين التلقيح المباشر لغباب لطلع للأصناف ثنائية المسكن ، يتطلب أن تنزع الأكياس لحافظة عن الزهرة الأنثى و يوضع غبار لطلع مباشرة على المياسم وطريقة غير مباشرة تتمثل بدمج حقنة تحت لبشرة داخل الكيس و بحقن غبار لطلع داخل الزهرة الأنثى ثم يغطي الثقب بشريط لاصق، هذه و يحرك الكيس لمساعدة انتشار غبار لطلع (Walter et Henry, 1980).

5.3. عملية لتصلب (croisement)

تتمثل عملية لتصلب في مرحلتين أساسيتين:

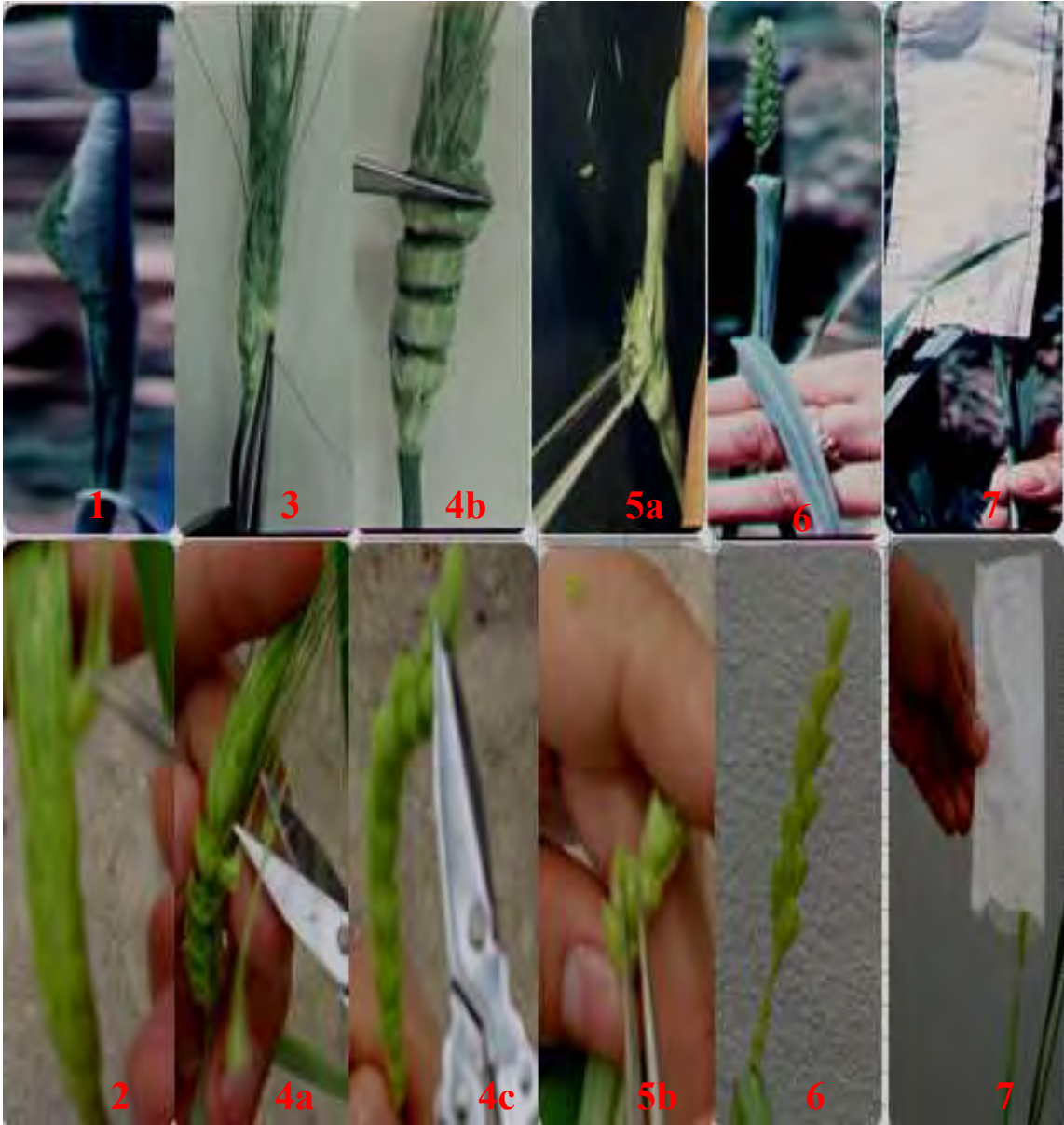
✓ 1.5.3. عملية نزع لمئبر (castration)

و يمكن تلخيص هذه العملية في الخطوات التالية للموضحة في الشكل II 5 :

- 1- اختيار لسنبل في بداية الإسبال و هو المرحلة المطلوبة.
- 2- نزع لسنبيلات القاعدية ولقمية لسنبل لأنها تكون عقيمة في غالب الأحيان.
- 3- نزع الأزهار لوسطية في كل سنبل بهدف تخفيف الأزهار.
- 4- قطع ثلث العصفت و العصيفات وهي أغلفة الأزهار مع السفاء.
- 5- نزع الأسدية لثلاث لكل زهرة بملقط رقيق مع أخذ الاحتياط لالازم لعدم عطب للمبيض أو

استئصله .

- 6 - تغليف السنبللة للمهياة (الأنثى) بكيس واقى بهدف حمايتها من أي حبوب لقاح خارجية.
7- كتابة اسم الصنف و تاريخ عملية نزع الأسدية (castration) على الكيس الواقي.



شكل II 5: عملية نزع المئبر (castration)

2.5.3. عملية لتأبير : Pollinisation

تتم عملية لتأبير بعد يومين أو ثلاثة أيام بعد عملية نزع الأسدية مع الملاحظة أن هذه المدة تقل مع ارتفاع درجة الحرارة و تزيد مع انخفاضها. أجريت هذه العملية بثلاث طرق:

1- بتقريب الأوص للسنابل الخنثى (الذكورية) إلى الأوص الحاملة للسنابل الأنثى. تهيئ للسنابل الذكورية للتلقيح بقطع ثلث الأغلفة (العصافات و العصيفات) للسماح للأسدية بالاستطالة و تحرير حبوب اللقاح (شكل II 6).



شكل II 6: عملية التأبير بتقريب السنابل من بعضها لبعض

ثم إدخال السنبل الخنثى في الكيس الواقي بجانب السنبل الأنثى شريطة أن يكون وضع السنبل الذكوري قليلا من السنبل الأنثى. يكتب اسم الصنف الذكوري و تاريخ التأبير بجانب اسم الأنثى مع فصلهما بإشارة.

2 - باستعمال الأنابيب ويكون ثك بقطع السنبل الخنثى (الذكر) و ربطها مع السنبل الأنثى بحامل يحتوي على أنبوب اختبار به ماء لإبقاء السنبل الذكوري في نشاط لمدة أطول لزيادة نسبة الإخصاب مع حفظ كلا السنبلتين في نفس الكيس الواقي مع إضافة كتابة للصنف الذكوري و تاريخ التأبير بشرط أن يكون حامل السنبل الذكوري أعلى من السنبل الأنثى لضمان نجاح أكبر لعملية الإخصاب (شكل II 7).



شكل II 7 : عملية التأيير باستعمال الأنابيب

3- نثر حبوب الطلع الناضجة للمجموعة من السنابل الخنثى على ميسم السنبله الأنثى بشق الكيس الواقي بفتحة من الأعلى ثم غلقه ثانية مع تدوين اسم الذكر و تاريخ التأيير (شكل II 8).



شكل II 8 : التأيير بحبوب الطلع

6.3. i ءب ؤة 4579 (Vigueur hybride =effet hétérosis)

ويعرّف الكوكالغ (Sinha et Khanna, 1975): $H_{F1} = (M_F - M_p) / M_p * 100$

$$M_p = (M_{p1} + M_{p2}) / 2$$

M_F = القيمة المسجلة عند التهجين

M_p = القيمة المسجلة عند الأب الوسطي

M_{p1} و M_{p2} القيم المسجلة عند الأبوين.

7.3. الالرا i p الالرا

تم تحليل كل النتائج المتحصل عليها بدراسة المكونات الأساسية ACP بالاستعانة ببرنامج Exel stat

.2010

II. المصنفات الجغرافية

1. مادة لنباتية

تمت الدراسة في ستة تجارب :

تمت التجربة الأولى والثانية على عشرة أصناف تمثل الآباء المستعملة في الدراسة للمورفولوجية، و تمت التجربة الثالثة على الصنفين الجزائريين واد زناتي 368 و هدبة 3 .

في حين أجريت التجربة الرابعة والخامسة على الجيل الأول للتهجينات الثلاثية:

(Hed x Vit), (Hed x Hau), (Hed x INRAT), (Dk x Hau).

وعلى أفراد الجيل الثاني بعد فصلها Disjonction . وفي الأخير مست التجربة السادسة أربعة أصناف 2 محلية و 2 مستوردة .

يعرض الجدول II 2 الأصناف المستعملة في كل تجربة من التجارب الستة المنجزة:

الجدول II 2: الأصناف المستعملة في الدراسة.

رقم التجربة	رقم لصنف	الرمز	اسم الصنف	الأصل الجغرافي
التجربة 1 و 2	V ₁	17 Bidi	17 Bidi	Guelma/Algérie
	V ₂	3 Hed	Hedba3	Algérie
	V ₃	368 OZ	Oued Zénati 368	Algérie
	V ₄	GGR	Guemgoum Rkhem	Tiaret/ Algérie
	V ₅	MBB	Mohamed Ben Bachir	Setif/Algérie
	V ₆	DK	Djennah Khetifa	Algérie
	V ₇	Vit	Vitron	Espagne
	V ₈	Kor	Korifla	Syria
	V ₉	Hau	Haurani	Syria/Libanie
	V ₁₀	INRAT 69	INRAT69	Tunisie
التجربة 3	V ₂	Hed 3	Hedba3	Algérie
	V ₃	OZ	Oued Zénati 368	Algérie
التجربة 4 و 5	F1	(Hed x Vit), (Hed x Hau), (Dk x Hau).		
	F2 أفراد	(Dk x Hau) _{G1} , (Dk x Hau) _{G2} , (Dk x Hau) _{G3} (Hed x Hau) _{G1} , (Hed x Hau) _{G2} , (Hed x Hau) _{G3} , (Hed x Vit) _{G3} , (Hed x Vit) _{G2} , (Hed x Vit) _{G1}		
التجربة 6	V ₂	3 Hed		
	V ₃	OZ 368		
	V ₆	DK		
	V ₁₀	INRAT 69		

2. سير لتجارب

1.2. لتجربة الأولى : تقدير محتوى لبرولين عند الآباء في وقت مبكر من دورة لحياة (لصف لورقي لرابع)

أجريت لتجربة في أصص ذات وزن 3 كلغ في تربة زراعية تحت بيت بلاستيكي (مخبأ) في مشتل شعبة لارصاص معهد لنحل سابقا حيث تتراوح لحرارة ليليا من 9° م إلى 15° م ونهارا بين 24° م و 35° م. و نسبة لارطوبة بين 75% إلى 100%.

أقيم الإجهاد بتوقيف سقي لنباتات عند لصف لورقي لثاني و حددت مستوياته بللمتابعة ليومية لوزن الأصص للاحملة لنباتات لالمخصصة للتحليل بميزان ذو وزن أقصاه 30 كلغ وأدناه 10 غ بخطأ معياري يقدر ب5 غ حتى لوصول إلى نسب رطوبة لالتربة لالتالية: 75% ، 35% ، 25% و 12.5% من لالسعة لالحقلية .

2.2. لتجربة لثانية: تقدير محتوى لبرولين عند الآباء خلال مراحل دورة لحياة

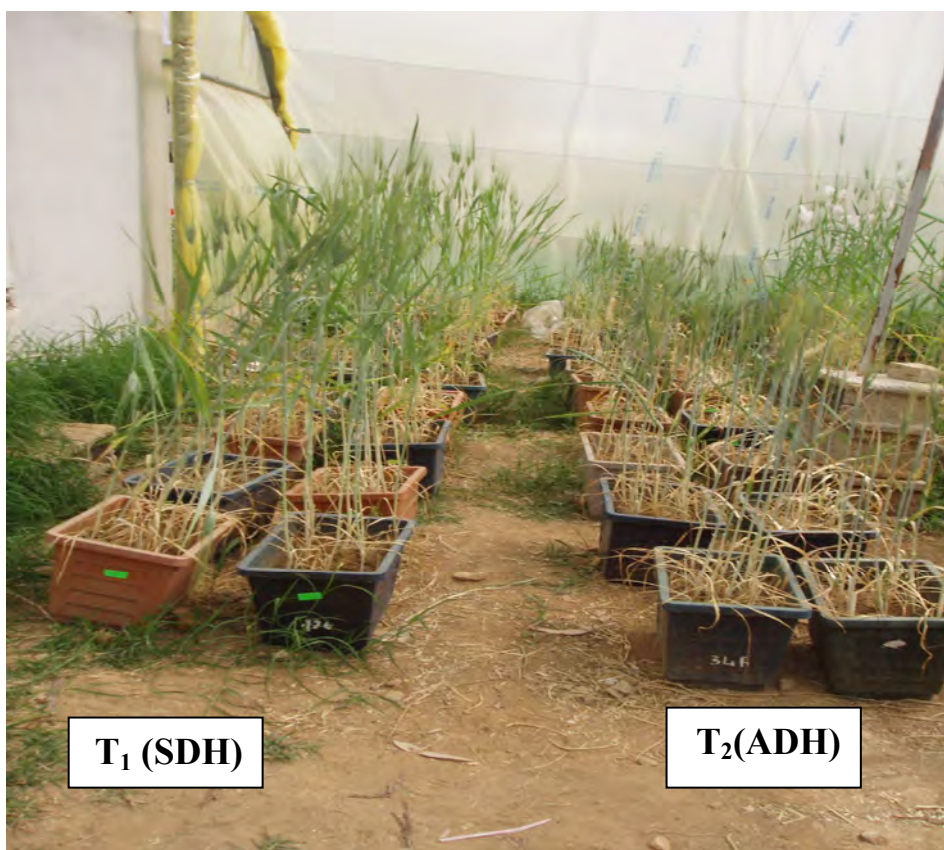
أجريت لتجربة تحت بيت بلاستيكي (مخبأ) في مخبر لبحث لالمجمع لالبيلوجي بشعبة لارصاص جامعة منتوري قسنطينة. تمت لزراعة في أصص مستطيلة لالشكل، ذات الأبعاد لالتالية 27 سم طولا و 18 سم عرضا و 21 سم عمقا أي بمساحة 486 سم² في تربة زراعية متجانسة ذات قوام طيني سلتي، جلبت من مشتل شعبة لارصاص (دائرة لنحل سابقا). كان للزرع على عمق 2 سم بكثافة 8 حبات في الأصيص. رتبت الأصص بشكل منشقة لأربع مكررات لكل صنف بمعدل 8 حبات في كل أصيص.

بعد نمو لباذرات ، تم سقيها ثلاثة مرات في الأسبوع بكمية 50% من لالسعة لالحقلية حتى لوصول إلى الورقة لالخامسة لالمكافئة والتي توافق في تجربتنا نهاية الإشطاء و بداية لصعود. قسمت لنباتات في هذه لمرحلة إلى مجموعتين (شكل II 9):

- لالمعاملة T₁ و تتمثل في لنباتات غير لالمعرضة لالجفاف SDH وهي الأصناف التي يواصل سقيها بمعدل 50% من لالسعة لالحقلية.

- لالمعاملة T₂ و تتمثل في لنباتات لالمعرضة لالجفاف ADH وهي الأصناف التي تم سقيها بمعدل 25%

من لالسعة لالحقلية مع تعريضها لفتترات جفاف مختلفة خلال مراحل دورة لحياة وبقال لجدول II 3.



شكل II 9: تصميم تجربة محتوى البرولين عند الآباء خلال مراحل دورة الحياة

تم توقيف السقي بعد 4 أشهر من زرع البذور في مرحلة نهاية الإشتاء وبداية للصعود مرورا من مرحلة نمو إلى المرحلة التي تليها، تسقي النباتات المعرضة للجفاف لمدة أسبوع كاملا ثلاث مرات بمعدل 25 % من السعة الحقلية للحصول على المرحلة المراد إجراء المعايرة عليها (شكل II 10) اعتمادا على النباتات المسقية. ولهدف من هذه التجربة الاقتراب بما يجري في الحقل.

لجدول II 3. : فترة تعريض النباتات إلى النقص المائي وفعال مراحل دورة حياة النبات.

للمعاملة للمرحلة	لنباتات غير المعرضة للجفاف SDH	لنباتات المعرضة للجفاف ADH	أيام للجفاف
لصعود	لسقي 3 مرات في أسبوع	فرق أسبوع لسقي بمعدل	10
الانتقاح	بمعدل 50%	3 مرات في الأسبوع	5
الأسبال	من السعة الحقلية.	بمعدل 25 %	10
الأزهار		من السعة الحقلية	7
الامتلاء			12



لصعود الانتفاخ الإسبال الإزهار الامتلاء

لشكل II10 : مراحل تطور النباتات عند النباتات المسقية ولمعرضة للجفاف .

3.2. تجربة لثلاثة : لتداخل بين نقص لماء ، عامل لحرارة و عامل الإضاءة

تم للزرع في أصص ذات وزن 2 كلغ وقطر 16 سم بمعدل 6 حبات في كل أصيص في غرفة زراعية ذات درجة حرارة $20 \pm 2^\circ \text{C}$ م وإضاءة 16 ساعة بشدة 8000 لوكس Luxe .

سقيت للباذرات بمعدل 25% من للسعة للحقلية في الأسبوع حتى للوصول للى للصف للورقي للثلاث على نفس منهاج للتجربة الأولى ، تم حددت درجات للنقص للمائي عند للمستويات 50% ، 35% ، 25% و 12.5% من للسعة للحقلية.

قسمت للنباتات للى مجموعتين: مجموعة إجهاد مائي متزامن مع إجهاد حراري و مجموعة إجهاد مائي متزامن مع إجهاد ضوئي.

1.3.2. لمعالجة لحرارية

تم تعريض النباتات للخاضعة لمختلف درجات الإجهاد للمائي إلى إجهاد حراري متزامن بوضع الأصص في حاضنة لمدة 4 ساعات تحت مستويات لحرارة الأتية: 30° م، 35° م، 40° م و 45° م. أما النباتات لشاهدة فقد بقيت في غرفة للزراعة تحت درجة حرارة 20 ± 2° م.

2.3.2. لمعالجة لضوئية

علت النباتات للخاضعة لمختلف درجات الإجهاد للمائي عن الإضاءة بوضعها في ناحية من غرفة للزراعة و تغطيتها بغطاء بلاستيكي أسود لمنعها عن ضوء الغرفة لمدة 16 سا و 20 سا. أما النباتات لشاهدة فبقيت تحت فترة 8 ساعات للظلام. وبلل التلي كانت فترات تعرض النباتات للضوء 8 سا، 4 سا و 16 سا على الترتيب.

4.2. لتجربة لرابعة: تراكم لبرولين عند أفراد لجيل الأول

تمت للزراعة في أصص ذات وزن 2 كلغ بمعدل 6 حبات في كل أصيص و ثلاث مكررات لكل صنف حسب عدد لحبوب للمتوفرة وسقيت بمعدل 25% من السعة للحقلية في غرفة زراعة تحت شروط نصف متحكم فيها . كانت فترة الإضاءة 16 سا بشدة 8000 لوكس ودرجة حرارة تتراوح ما بين 21° م و 35° م (شكل II).
(II).

حددت درجة نقص الماء حسب الطريقة المعهودة لمستويات المطلوبة 40%، 30%، 20%، 10% و 6.5% من السعة للحقلية عند الصف الورقي الرابع بلقياس لليومي للأصص بميزان ذو وزن أقصاه 30 كلغ وأدناه 10 غ بخطأ معياري يقدر ب5 غ.



الشكل II: مخطط تجربة تراكم لبرولين عند أفراد لجيل الأول

5.2. تجربة لخامسة: تراكم لبرولين عند أفراد لجيل لثاني

أجريت التجربة تحت نفس ظروف التجربة الرابعة.

6.2. تجربة لسادسة: مصير لبرولين بعد إعادة لسقي

أجريت التجربة تحت بيت زجاجي تحت شروط نصف مراقبة. زرعت الأصناف بنفس كيفية التجريبتين لسابقتين في أصص ذات وزن 2 كغ بمعدل 6 حبات في كل أصيص و 4 مكررات لكل صنف (شكل 12II)، سقيت النباتات بمعدل 25% من السعة الحقلية مرتين في الأسبوع . حددت درجة لنقص المائي عند مستويات الرطوبة: 50 % ، 30 % 10 % و 6.5 % من السعة الحقلية ثم إعادة لسقي من جديد ما يقارب 75% من السعة الحقلية .



شكل 12II: تصميم تجربة لبرولين بعد إعادة لسقي

3. لمعايرة

1.3. معايرة لبرولين :

تمت معايرة لبرولين وفقاً لطريقة (Troll et Lindsly , 1955) وللمعونة من طرف (Goring et Drier , 1974).

1.1.3. عملية الاستخلاص

- المرحلة الأولى : نأخذ 100 ملغ من المادة النباتية ،نضعها في أنابيب محكمة الغلق ، نضيف 2 ملل من الميثانول بتركيز 40%، نسخن الأنابيب لمدة 30 دقيقة عند درجة حرارة 85°، نبرد بعدها الأنابيب ونأخذ 1 ملل من المستخلص، نضيف إليه 2 ملل من حمض الخل ، 25 ملغ من لانينهدرين و 1 ملل من الخليط المتكون من (120 ملل ماء مقطر ، 300 ملل حمض الأسيتيك، 80 ملل من حمض الأرتوفوسفوريك) ثم يغلى الخليط في حمام مائي لمدة 30 دقيقة ، فنحصل على محلول ملون وثق حسب نسبة لبرولين في المادة النباتية .

2.1.3. عملية لفصل

بعد عملية التبريد نضيف 5 ملل من التولوين Toluène ثم نرج فنتحصل على طبقتين . نتخلص من الطبقة السفلى و نحتفظ بالطبقة العليا ، نضيف 50K من Na₂ SO₄ بملعقة صغيرة . نقرأ الكثافة الضوئية لعينات على طول موجي 528 نانومتر و نك بواسطة جهاز الطيف (Spectrophotomètre) . تقدر كمية البرولين بعد تحويل النتائج للمتحصل عليها الى تراكيز البرولين بلاميكرومول / ملغ مادة جافة و نك باستعمال المعادلة :

$$y = 0.62 * D.O / MS \quad (\text{Benlaribi, 1990})$$

Y: محتوى البرولين ، D.O: الكثافة الضوئية ، MS: المادة الجافة.

III. لدراسة لوراثية

1. لمادة لنباتية

تم في المرحلة الأولى من التجربة للعمل على العشرة أصناف الآباء من القمح للصلب (*Triticum durum Desf.*) الستة الأولى جزائرية الأصل و الأربعة لمتبقية مستوردة. بعد التهجين استعملنا أربعة أصناف تمثل بذورها أفراد الجيل الثاني. حيث يمثل كل هجين الأبوين مع جميع السنابل للمتحصل عليها بعد زرع بذور الجيل الأول وهذه الأصناف موضحة في الجدول II.4.

لجدول رقم II.4: اسم لهجين آباء و أفراد الجيل الثاني.

رقم لهجين	لرمز	الأب الأنثى	أفراد لجيل الثاني لنتاجة من التزاوج لذاتي لأفراد لجيل الأول			الأب لذكر
		P1	G1	G2	G3	P2
1	Bidi x Kor	Bidi	G11	G21, G22, G23, G24	G31, G32	Kor
2	Bidi x Hau	Bidi	G11	G21, G22	G31,	Hau
3	Hed x Vit	Hed	G11, G12	G21, G22	G31, G32, G33	Vit
4	Hed x Kor	Hed	G11, G12	G21, G22	G31, G32, G33	Kor

2. لتحليل لمجرة

- لمشابهات الإنزيمية Isozymes

- لبروتينات لكلية. Proteines totales

- تفاعل سلسلة بلمرة ADN RAPDMCR

طبقتنا لالتحليل لالثلاث على الآباء، في حين طبقتنا على الالهجن لالتحليل لالثاني فقط .

1. لمشابهات الإنزيمية Isozyme .

1. تحضير لمحلل

1.1. محلول الإستخلاص Extraction Buffer

Tris(pH = 7.5) 1g

Glycerol 5ml

Mercaptoethanol 100 ML

M إذابة 1 غ Tris في H₂O 700 ml ثم يعدل على pH = 7.5 بإضافة حمض HCl.

M لإضافة 5 ml من Glycerol و 100 ML من Mercaptoethanol.

- يكمل الحجم لى 100 ml من الماء المقطر .

جل للمحلول: Gel Buffer

يتكون من 5 l (4l H₂O + 1l (4.45 Tris +1.295 Borique acid)

0.18 M tris (pH = 8.6) 21.8 g

0.1 M Borique acid 5.18 g

يكمل الحجم لى 1000 ml (لتر)

2.1. تحضير لجل Gel préparation

	10%	9%
Acrylamide (30%)	35 ml	32 ml
Gel buffer	26 ml	26 ml
d H ₂ O	44 ml	50 ml
APS	3 ml	3 ml
TEMED	100 ML	100 ML

3.1. تحضير لعينات

- تطحن لحبوب المنتشة بعد إخراج الجذير بعد يومين إنبات في ماء عادي تحت درجة حرارة و شدة إضاءة عالية- 5 حبات لكل عينة.

- تطحن لحبوب المنتشة فوق الثلج درجة حرارته منخفضة بإضافة قليلا من الرمل المعقم و 0.5 ml (500µl) من محلول الاستخلاص أي وزن 5 حبات 0.5 g يلزمها 0.5 ml من محلول الاستخلاص.

- توضع في المجمد ليلية كاملة ويمكن لضيق الوقت وضعها في الثلجة ساعة ثم إخراجها ثم إرجاعها لى الثلجة عدة مرات حتى نحدث لها صدمات تمكنا من انفجارها.

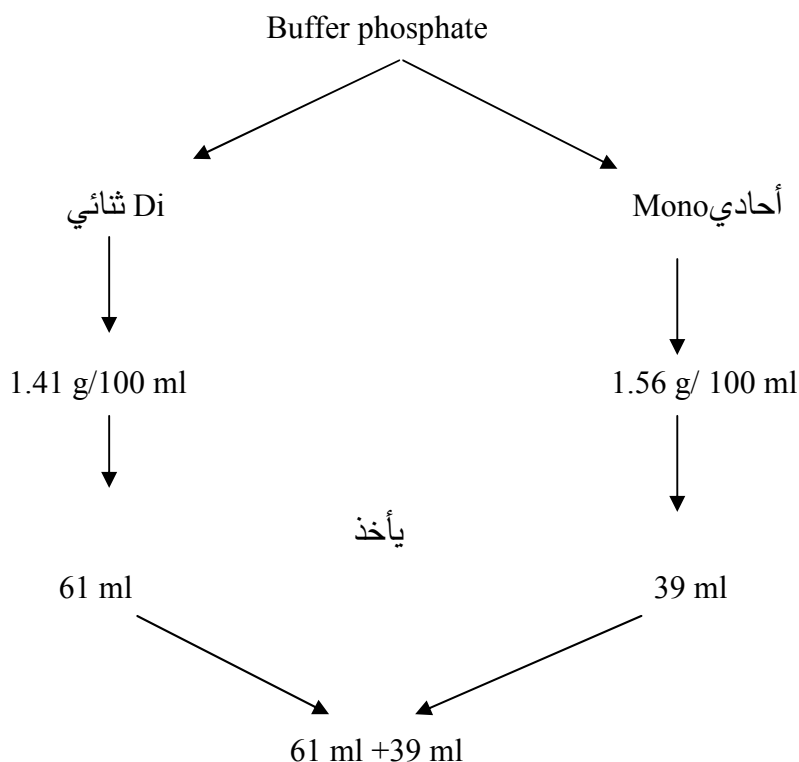
- نحضر جل بتركيز 10% لكن بكميات قليلة جدا لأن الجهاز صغير. ولجل عبارة عن طبقة واحدة لكن نفس فكرة جل التفريد الكهربي gel electrophoresis لكن دون طبقتي Staking و Resolving.
- تمرر العينات لعملية الطرد المركزي 10/10000 د.
- يأخذ الجزء الطافي وتعاد عملية الطرد المركزي 10/10000 دا.
- تترك العينات في المجمد ليلة كاملة.
- تخرج العينات في اليوم التالي و تقسم بعد ذوبانها إلى قسمين:
- يأخذ 100µL من كل عينة ويضاف له 20µL من الصبغة المكونة من 50% Glycérol + 50% BPB.
- التفريد الكهربي لجل الإنزيمات
- يتم تحضير اللجل وفعال معطيات تحضير اللجل .

4.1. صبغ العينات ولفريد كهربي للعينات

- يتم صبغ العينات وفول لجدول 5II
- الجدول 5II : مطايل صبغ العينات

α Mst	100 mM Na ₂ HPO ₄ , pH 6.0 α Maphthyl acetate Fast blue RR salt	50 ml 25 mg 50 mg	(Jonathan and Wendel, 1990)
Adh	50 mM trisHCl, pH 8.0 NAD Ethanol NBT or MTT PMS	50 ml 10 mg 0.2 ml 10 mg 2 mg	(Jonathan et al., 1990).
Mdh	50 mM TrisHCl, pH 8.5 NAD Malic acid (L or DI) NBT PMS	50 ml 10 mg 150 mg 10 mg 2 mg	

5.1. تحضير صبغة Est-enzyme



يأخذ منها 0.02 g Fast blue تحمل منها شوائب و تصفى.

لمرافق الإنزيمي: Coenzyme

- α -Naphthylacetate يأخذ منه 0.01 g في 1 ml Aceton و 1 ml H₂O . يعطي اللون الأزرق.
- β -naphthylacetate يعطي اللون الأحمر.
- يحضن في الظلام على 37° لمدة 15 د ، ثم نرمي للصبغة و نغسل بالماء.
- ملاحظة : طريقة الصبغ هي التي تحدد نوع الإنزيم.
- يكون توقيف التفاعل بالماء العادي.
- يدوم التحضين 24 ساعة في المحلول : ماء : جليسرول بحجم 1 : 1 بغرض تثبيت الصبغة.
- يكون الحفظ بالماء العادي.
- تغسل الخلفية إذا كانت غامقة بحمض Acid acetic بتركيز 30 % لعدة مرات ثم بالماء العادي.
- تدوم أقصى مدة تفاعل إنزيمي ساعة من الزمن .

2. لتفريد لكهربي للبروتينات (SDS PAGE electrophoresis (Sodium Dodicylesulfate polyacrylamide Gel Electrophoresis))

تم إجراء عملية التفريد الكهربي في عمود شاقولي بحجم (6 cm x 8 cm) من نوع BioRad Mini Gel وفعال لعلم (Laemmli, 1970) و المعلقة من طرف (Studier, 1973) ، ويكون تفريد البروتينات على أساس الوزن الجزيئي.

1.2. تحضير لمحلل

تم تحضير المحلل لمختلفة لعملية استخلاص البروتين وفقا ل (Hames, 1981)

1M Tris HCl (pH :8.8) ã

لتحضير 100 مل من المحلول ، نذيب 12.1 غ من Tris Base في 50 مل من الماء المقطر و نعدل pH بواسطة HCl إلى 8.8 ثم نكمل للحجم إلى 100 مل بالماء .

0.25 M EDTA (pH :8.0) ã

لتحضير 100 مل من المحلول ، نذيب 9.4 غ من EDTA (Etylenediamine tetracetic acid) رباعي للصوديوم في 50 مل من الماء المقطر و نعدل pH بواسطة NaOH إلى 8.0 ثم نكمل للحجم إلى 100 مل بالماء .

SDS(Sodium Dodicylesulfate) 10% W/V ã

لتحضير 100 مل من المحلول ، نذيب 10 غ من SDS(Sodium Dodicylesulfate) في 70 مل من الماء المقطر ويكمل للحجم إلى 100 مل بالماء تحت درجة حرارة الغرفة.

Glycerol 50% ã

نحضر محلول 50% Glycerol من الجليسرول المخزن 100 % ، نأخذ 50 مل من Glycerol ثم يكمل للحجم إلى 100 مل بالماء المقطر .

ملاحظة: تحضر هذه المحلل لاستخلاص البروتينات سواء الذائبة في الماء أو غير الذائبة في الماء .

محلل استخلاص لبروتينات لذائبة في الماء (0 X):

لتحضير 100 مل من المحلول:

1M Tris (pH 8.8)	6 ml
0.25 M EDTA	800 µl
H ₂ O	93.2 ml

- تبرد العينات و تحققن في الجل المحضر .

3.2. تحضير لجل

1.3.2. تحضير محلول لجل

يحضر لجل على مرحلتين:

مرحلة Stacking وهي المنطقة العليا من اللجل الخاصة بحقن المعلم Marker و حقن العينات. مرحلة Resolving وهي المنطقة السفلى من اللجل وهي المنطقة التي يتم فيها تفريد البروتينات وفق الوزن الجزيئي.

1.1.3.2. منطقة حقن لعينات

Acrylamide (30%) r

يذاب 29.2 غ acrylamide من و 0.8 غ Bis acrylamide في 50 مل من الماء المقطر . يكمل الحجم إلى 100 مل، ويغطي بورق سيلوفان لمنع تفاعله مع الضوء أو أي زجاج كاسر للضوء، ثم يرشح.

0.5 Tris r HCl (pH = 6.8) r

نذيب 6.05 غ من Tris في 50 مل من الماء المقطر نعدل pH بحمض HCl حت نقطة 6.8 ثم نكمل الحجم إلى 100 مل. مع الملاحظة أن ترك المحلول في درجة حرارة الغرفة، يمكن أن يزيد في pH للمحلول .
تم 10 % SDS r

تحضيره سابقا.

Ammonium per Sulfate (APS) 10% W/V r

يتم تحضير 10 مل من المحلول، بإذابة 1 غ من Ammonium per Sulfate في 10 مل من الماء المقطر . و يستحسن تحضير المحلول مباشرة عند العمل لأنه غير مستقرا.

TEMED r

تكون محضرة أصلا من المصدر.

- تحضير محلول 1M Tris r HCl (pH 8.8)

لتحضير 100 مل من المحلول:

1M Tris r HCl (pH 8.8)	0.5M	50 ml
10% SDS	0.4%	4 ml
H ₂ O		46 ml

نسب تحضير محلول بتركيز 5 % Staking gel

MAcrylamide	3.35 ml
MStacking gel	5 ml
M _l H ₂ O	11.5 ml
MAPS	150 µl
MTEMED	25 µl

2.1.3.2. منطقة لتفريد أو هجرة لبروتينات Resolving

– (30%) Acrylamide

يذاب 29.2 غ acrylamide من و 0.8 غ Bis acrylamide في 50 مل من الماء المقطر. يكمل الحجم إلى 100 مل، ويغطي بورق سيلوفان لمنع تفاعله مع الضوء أو أي زجاج كاسر للضوء، ثم يرشح.

– (8.8 : pH) 2M Tris HCl

يذاب 18.15 غ من Tris في 50 مل من الماء المقطر يعدل pH إلى 8.8 و يكمل الحجم إلى 100 مل.

M 10 % SDS

M APS

M TEMED

كلها حضرت سابقا

4.2 . نسب لمحلل لداخلة في تركيب طبقتي لجل

1. محلول فصل لجل ,: Separating gel Buffer

ل تحضير 100 مل من المحلول يلزم :

M Tris MCl (pH 8.8)	1.5M	75ml
M 0% SDS	0.4%	4ml
M H ₂ O		21 ml

نسب لمحلل لداخلة في تركيب طبقة لفصل Separating gel

يتم تحضير لجل بخلط لمحلل لتلية

Mixture	15%	12.5%
Acrylamide	50 ml	41.6 ml
Separating gel	25 ml	25 ml
H ₂ O	25 ml	33.4 ml
APS	1 ml	1 ml
TEMED	80 µl	80 µl

ملاحظة:

1- نزيد في حجم TEMED شتاء لتسريع من عملية البلمرة. ممكن ضعف الكمية .

2- هذه الكميات كافية لتحضير عمودين من جهاز الفصل ، نستعمل نصف الحجم لعمود واحد.

- 0.1 غ صبغة Gommasi birutal blue
 - 40 مل أو 45 مل من الميثانول Methanol
 - 10 مل من حمض الخل acetic acid
 - 50 مل أو 45 مل من الماء المقطر H₂O .d
- بعد انتهاء عملية اللون ، يوضع الجل في علب بلاستيك خاصة ويضاف عليها 100 مل من محلول الصبغ و يترك ليلة كاملة.

8.2. إزالة لصبغة Distaining gel

يلزم تحضير 100 ml من محلول إزالة لصبغ من الجل 80 مل ماء مقطر و 20 مل ميثانول. بعد تفريغ محلول الصبغ و الاحتفاظ به لاستعمله مرات أخرى، نسكب على الجل 100 مل من محلول إزالة لصبغ ، مع تحريك الجل داخل العلبة البلاستكية بكل حذر حتى لا يتمزق و تزال لصبغة بشكل منتظم ، يبدل محلول إزالة لصبغ عدة مرات على الأقل ثلاث مرات في أزمنا مختلفة حتى التأكد من زوال الزائد من لصبغة ولا تبقى إلا تلك الملونة لجزم البروتين. ثم يمرر الجل إلى آلة التصوير لالتقاط صورة.

9.2. تحليل لجل

تأخذ صور لجل بواسطة آلة تصوير مزودة بجهاز تحليل يسمى GelNDoc 2000BioRad system، وفي حالة انعدام البرنامج ، يصور لجل صورة عادية وتحلل لنتائج بطريقة تقليدية ، تعتمد على دقة ملاحظة العين و المسطرة استنادا إلى الأوزان لجزئية لMarker.

3. طريقة استخلاص ADN (Dellaporta,1981)

1.3. تحضير لمحلل ل لازمة لاستخلاص ADN

• DNA extraction buffer :

100 mM TrisBase (pH:8.0)	12.11 g / L
50 mM EDTA (pH: 8.0)	14.72 g / L
500 mM NaCl	29.22 g / L
10 mM Mercaptoethanol	8.33 ml /L

• SDS 20 % : ã

20 g SDS was dissolved in 100 ml distilled water.

- توضع في حمام مائي لمدة 20 د إلى 30 د على درجة حرارة 65°م.
- تمرر إلى طرد مركزي لمدة 10 د بسرعة 10.000 د.
- يفصل الجزء العلوي إلى أنبوبة جديدة Ependorf و يتخلص من الراسب.
- يضاف حجم متساوي من Phénol مع التقليل بحرص جيدا.
- طرد مركزي لمدة 10 د بسرعة 10.000 دورة /د.
- ينقل الجزء لطافي إلى أنبوبة جديدة و يلقى للراسب.
- يضاف نفس الحجم من خليط:

Phenol : chlorophorm : Isoamyle (25 : 24 : 1)

- طرد مركزي لمدة 10 د بسرعة 10.000 دورة/د.
- إضافة نفس الحجم Chlorophorm : isoamyle (24 : 1) لتخلص من بقايا الفينول Phenol.
- طرد مركزي لمدة 10 د بسرعة 10.000 دورة/د.
- إضافة ضعف الحجم Isopropanol لترسيب ADN.
- يحفظ ليلة كاملة في الثلج.
- يقلب جيدا مع طرد مركزي لمدة 10 د بسرعة 10.000 دورة / د.
- تقلب الأنابيب.
- يغسل ب 50 ml من Ethanol بتركيز 70 %.
- طرد مركزي مع تقليل الأنابيب.
- يعلق في 40 µl إما TE Buffer أو d H₂O معقمة.
- يضاف من 1 µl إلى 1.5 µl من انزيم RNase مع التحضين لمدة ساعة على درجة حرارة 37°م.

3.3. تحضير جل الأجاروز

- تحضير محلول TBE(Tris Boric acid Edta)

M Tris bas	0.01M	54 g
M EDTA	0.5 M	20 ml
M Boric acid	0.89 M	27.5 g

- نزن 54 g من Tris bas و 27.5 g من Boric acid توضع معا في نفس الدورق و تذاب في 500 ml ماء مقطر . ويتم الذوبان تحت درجة حرارة في جهاز Microwave .
- نضيف EDTA و يكمل الحجم إلى 1000 ml (1 لتر).
- نضيف للمحلول من $2\mu\text{l}$ إلى $3\mu\text{l}$ من صبغة ethidium bromide مع التقليب جيدا.
- يتم تحضير الصبغة بإذابة 10 mg في 1 ml من الماء المقطر وتحفظ في درجة $4\text{M}^\circ\text{C}$ في الظلام.
- يصب للجل و يترك حوالي 20 د حتى يجمد.

4.3 . تحضير العينات للحقن

- يأخذ $10\mu\text{l}$ من العينة و يضاف لها $10\mu\text{l}$ من الصبغة B.P.B .
- تحقن العينات.
- يتم توصيل التيار الكهربائي في 100 ml من المحلول (20 ml TBE + 80 ml H₂O).
- بعد تفريد للجل ، تختبر العينات تحت جهاز الأشعة فوق البنفسجية UV transilluminator مع ضبط تركيز ADN حتى خطوة ال PCR.

4 . تفاعل سلسلة بلمرة خيط ADN RAPD-PCR analyses:

PCR(Polymerase chain reaction)

تعريف: هو جهاز لغرض منه إكثار و تضاعف ADN

يعتمد هذا الجهاز على ارتفاع و انخفاض درجة الحرارة . وتكون درجة الحرارة التي ينفصل عندها خيطي ADN أعلى من 60°C حيث يوجد عندها خيط مزدوج من ADN و به قواعد ترتبط مع بعضها بروابط هيدروجينية. وتعمل الحرارة على كسر هذه الروابط.

تتم في هذا الجهاز 3 خطوات أساسية ، تعتمد على ثلاث أنواع من الحرارة:

- حرارة فك خيط ADN المزدوج و تسمى هذه العملية Denaturation .
- حرارة لإعادة اتحاد قطع من ADN تسمى بادئات Primer مع خيط ADN الأصلي و تكون منخفضة عن الحرارة الأعلى وتعمل على إعادة اتحاد القواعد مع بعضها لربط البادئات مع خيط Templet الخيط الأصلي وتسمى هذه العملية ب annealing .
- حرارة لازمة لبناء خيط ال ADN المكمل و تعمل عملية التمثيل Synthesis .
- يوجد نوعين من البادئات Primer (تتابع معتبر من النيوكليوتيدات) :
Primer Random 4M10nt -

- Specific primer 10M0 nt

ويزداد التخصص بزيادة عدد النيوكليوتيدات ATCCGTTACG مرة واحدة في الشريط.

درجة الحرارة الخاصة ب annealing تتوقف على نسبة ال CG SAT في البادئ حيث يحسب لكل من C أو

G ل 4 ° في كل A أو T ل 2 ° مثلا للتابع في البادئ AATGCCCGAT نجد أن مجموع

$$5 = AT \quad 5 * 2 = 10^\circ \text{م}$$

$$5 = CG \quad 5 * 4 = 20^\circ \text{م}$$

يعني يحتاج البادئ 30 °م وهذه الدرجة تعمل على تسريح metting للبادئ وهي درجة انصهار البادئ ، ليكن

تستخدم 25 °م لعمل Annealing للبادئ أي تقل 5 درجات.

- ADN Polymerase Taq بكتريا القليون E.coli لا يتحمل الحرارة العالية و يستخدم ADN Polymerase Taq.

يستخلص Taq من بكتريا القليون من صفاتها أنها تنمو في حرارة مرتفعة و انزيم ADN polymerase ثابت عند

درجة حرارة 95 °م.

بزيادة عدد الدورات تزداد عدد الخيوط ال ADN 4—8 وبلانثلي يحدث التضاعف.

يوجد في الجهاز عدد من الملفات :

- الملف 1 94 ° خاص بفك ADN أو إزالة الحلزنة Denaturation.

- الملف 2 غير ثابت ، خاص برفع و خفض درجة الحرارة annealing.

- الملف 3 72 ° خاص باعادة بناء خيط ADN المكمل.

- الملف 4 4 ° خاص بلحفظ.

وقد استعمل 14 بادئ مع الآباء، ستة فقط منها أعطت نتيجة و 5 بادئات مع الهجن كلها أعطت نتيجة و

البادئات المستعملة مدونة في الجدول II:6:

و الطريقة المتبعة هي طريقة (Williams et al. (1990.

لكي تتم عملية تضاعف ADN يلزم لكل عينة مكونة من 25 µl المحتويات التالية:

• Genomic DNA	2	° 1
• Each dNTPs (from pharماسيا)	2.5	° 1
• 10 x buffer	2.5	° 1
• Taq DNA polymorphism (from pharماسيا)	0.35	° 1
• Primer	2.5	° 1
• d H ₂ O	13.65	° 1

الجدول II:6: الابدانات المستعملة في التجربة، رمزها، تسلسل ونسبة القواعد G + C

Pimers code	séquences → 5'	% C + G نسبة القواعد 3'	Réaction التفاعل	
A17	A08 GTG ACG TAGG GAC CGG TTGT	60% 60%	أعلى النتيجة +	من أعلى
	B10 CTG CTG CGAC	70%		
	B16 TTT GCC CGGA	60%		
	C9 CTC ACC GTCC	70%		
	C13 AAG CCT CGTC	60%		
	60% A11 CAA TCG CCGT A12 TCG GCG ATAG	60%	أدنى النتيجة M	من أدنى
	60% A18 AGG TGA CCGT			
	B19 ACC CCC GAAG	70%		
	60% C12 TGTC ATC GCCC			
	C15 GAC GGA TCAG	60%		
	C17 TTC CCC CCAG	70%		

تحليل لجل

يتم تحليل لجل بنظام Documentation system 2000 BioRad model 620 USA.

لتحليل الإحصائي للنتائج الإجمالية :

يجرى لتحليل الإحصائي لجميع لنتائج (SDS PAGE, isozymes and RAPD PCR) بحساب مصفوفة التشابه

(Matrice de similarité) ورسم شجرة القرابة بين الأصناف باستعمال برنامج الحاسوب SPSS version 10.0 و

. version 14

النتائج و المناقشة

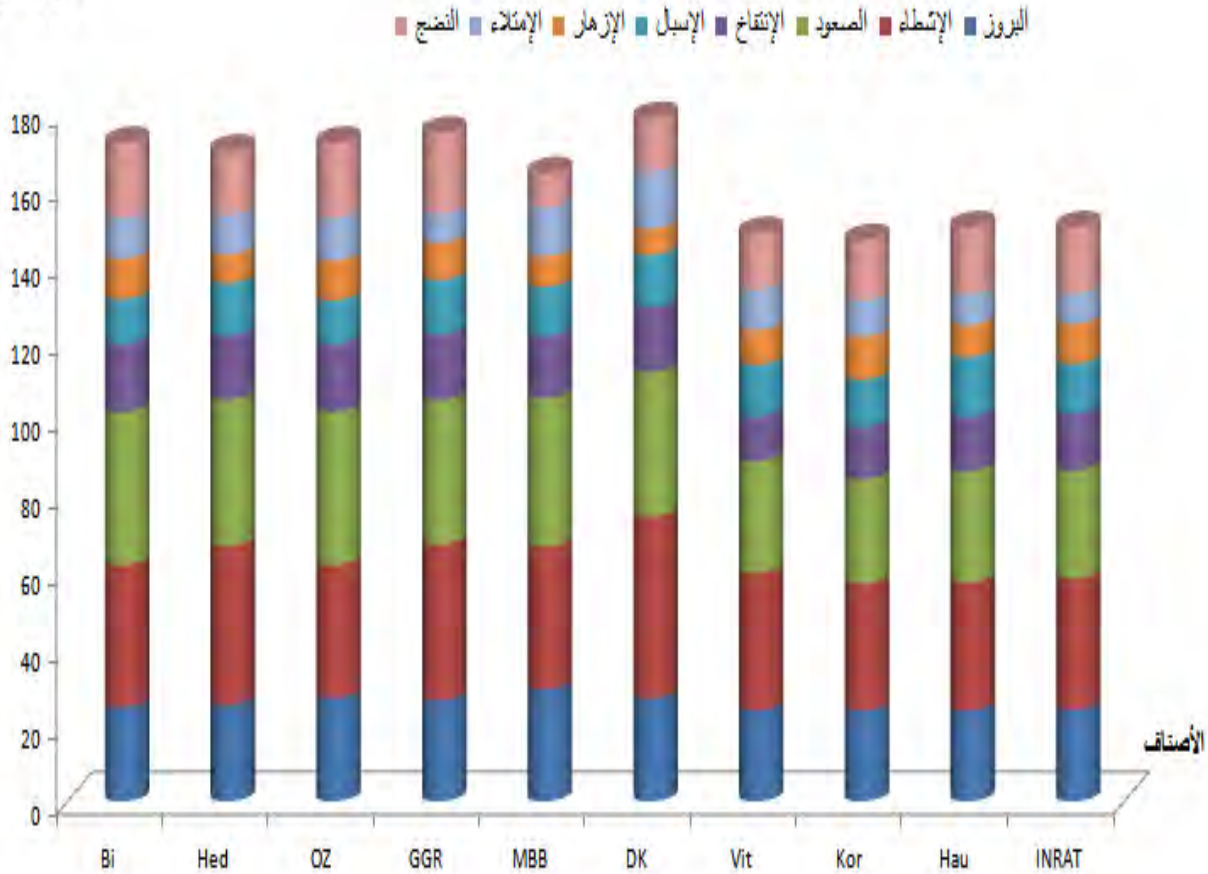
1. دراسة الأبناء

تمثل نتائج خصائص البطاقات الوصفية للأبناء وفعال إتحاد الدلي لحماية الإبتكار النباتي 1994 ولاتي تشتمل على فترة حياة النبات ، مدة المراحل البيولوجية وكل من خصائص التأقلم و الإنتاج .

1.1. تصميم بطاقات وصفية

توضح مجمل نتائج البطاقات الوصفية للأبناء (شكل III₁) عن وجود تباين مهما بين خصائص كل من الأصناف المحلية و الأصناف المستوردة. تشترك جل الأبناء في وجود الغبار على كل من غمد الورقة الأخيرة ، نصل الورقة ، على السنبل و على عنقهالكنه بدرجات متفاوتة و بشكل متناوب على هذه الأعضاء . يكون الغبار قويا على غمد الورقة ومتوسطا على السنبل عند الأصناف Hed ، GGR ، Vit و Hau. في حين يكون العكس عند الأصناف Bi ، OZ و INRAT.

الزمن (الأيام)



شكل III₃ : متوسط مراحل الدورة البيولوجية ل عشرة أصناف من القمح الصلب لستة مواسم زراعية (2000-2006)

ينفرد الصنف MBB بوجود غبار قويا على كل من الغمد و السنبله و الصنف Kor بوجود غبار متوسط . أما صنف Dk فإنه يتميز بغبار متوسط إلى قوي عند الغمد ، نصل و عنق السنبله لانه ينعدم على السنبله . يفسر تواجد الغبار على هذه الأعضاء بوجود مصدر وراثي عند هذه الأصناف لتأقلم مع النقص المائي أو توهل كمعلم مرفلوجي لتأقلم كما نصت عليه أبحاث كل من (Richard, 1983) و (Jordon *et al.*, 1984) ، (Clarke et Richard, 1988) و (Hakimi, 1992) .

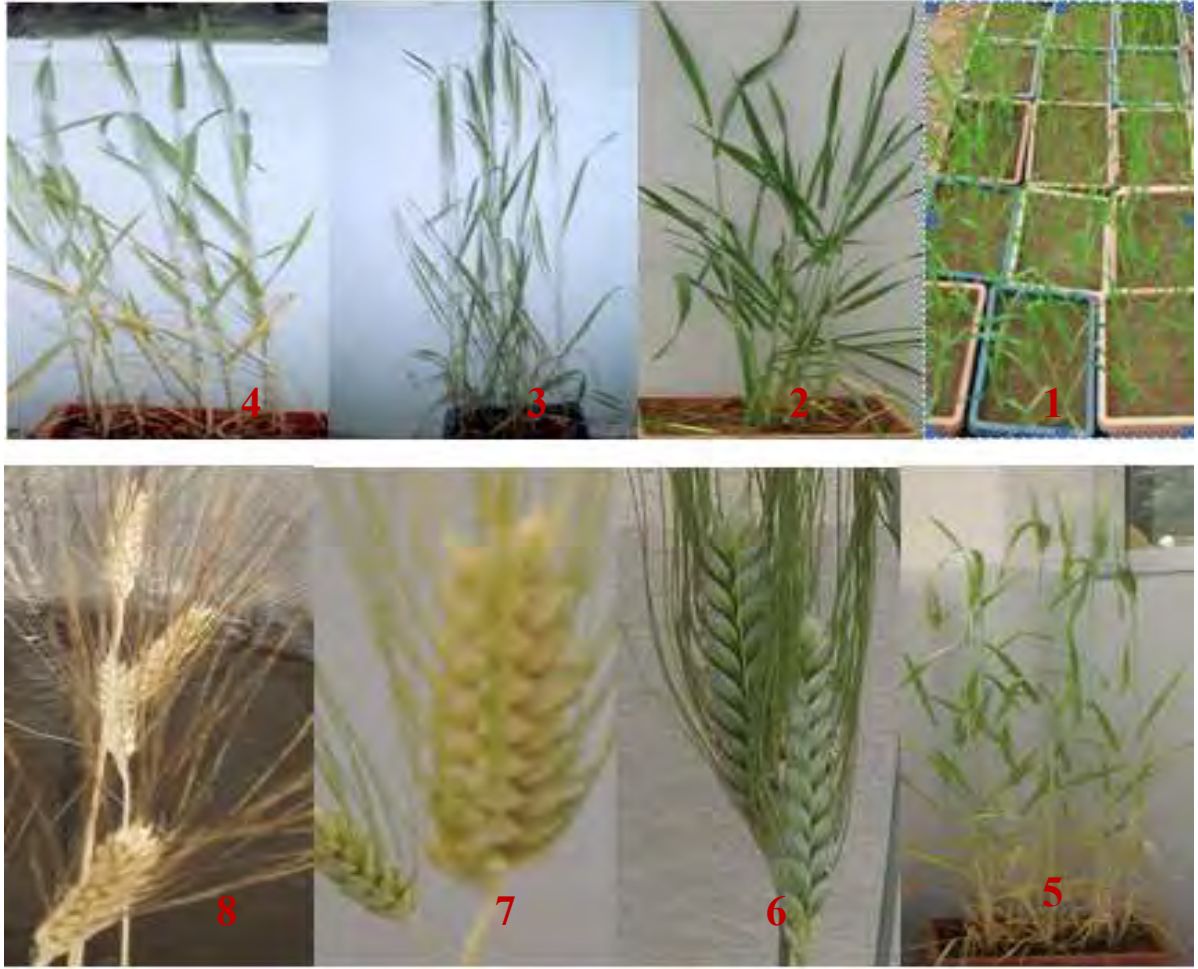
يكون تلون السفاة قويا جدا عند الصنف Dk، قويا عند الصنفين OZ و GGR، متوسطا عند الصنفين Bi و Hed، منعدما عند الصنف Kor. ويكون ضعيفا عند الأصناف الأربعة المتبقية (المستوردة). يسمح اللون البنفسجي للأصناف المحلية بلتأقلم مع درجات الحرارة المنخفضة.

فحسب (Bellout *et al.*, 1984) أن تلون الأدينات بلبنفسجي يعتبر مصدر وراثي لتأقلم مع البرودة . في حين تنعدم هذه الخاصية عند الأصناف المستوردة في تجربتنا إعتادا على ماتوصل إليه (BoufenarM) (2006) . (Zaghouane et Zaghouane, 2008) و Saouilah. (2008) عند ثلاث أصناف من الشعير غير المقاومة للبرودة نتيجة انعدام اللون البنفسجي.

ينعدم تزغب الجزء العلوي من المحور عند الصنف OZ ، يكون ضعيفا عند الصنف Vit و قويا عند الصنف INRAT و متوسطا عند بقية الأصناف . تكون هذه الخاصية مراقبة من طرف ثلاث أيلات لنفس الموقع الوراثي ويكون دورها الفيزيولوجي غير معروف في حين يفى (Panni, 1986) وجود علاقة بين الجينات و جينات النوعية البروتينية Gliadines.

2.1. خصائص لفينل وحية

تم تتبع مراحل دورة حياة نبات القمح من الزرع حتى الحصاد (شكل III₂) بلحساب اليومي لكل مرحلة من مراحل الحياة لكل صنف من الأصناف المدروسة .



شكل III₂ : مختلف مراحل دورة حياة القمح للصلب

1: للبروز 2: الإشتاء 3: الصعود 4: الإنتقاه 5: الإسبال 6: الإزهار 7: الإمتلاء 8: النضج

يمثل شكل III₃ مراحل للدورة البيولوجية لعشرة أصناف من القمح للصلب، مما يبين أنه تتم دورة حياة القمح للصلب داخل البيت البلاستيكي في مدة تتراوح أقصاها بين 5 أشهر و 27 يوم وأدناها 4 أشهر و 17 يوم. كما يمكن أن تتوسط بين 5 أشهر و 3 أيام إلى 5 أشهر و 21 يوم و لك بأخذ في الاعتبار لشروط النصف مراقبة في تجربتنا و الظروف المحيطة من رطوبة ، حرارة و سقي و خاصة تأثير درجة الحرارة المرتفعة على تسارع مراحل النمو للبيت البلاستيكي بشهر متقدم عن نفس النباتات في الحقل.

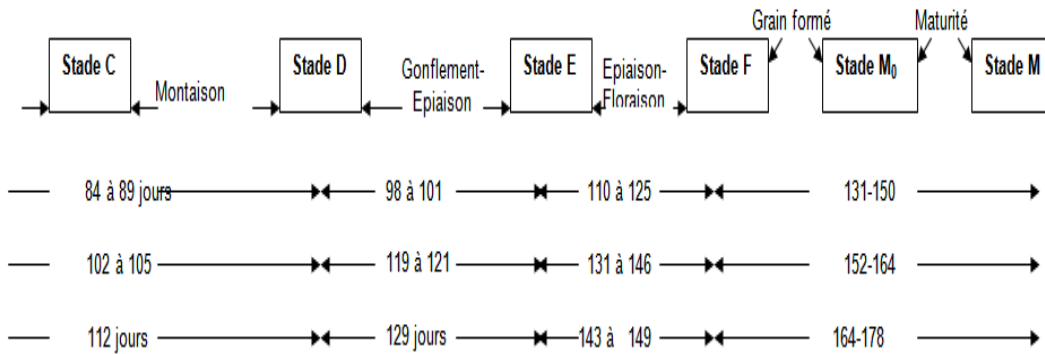
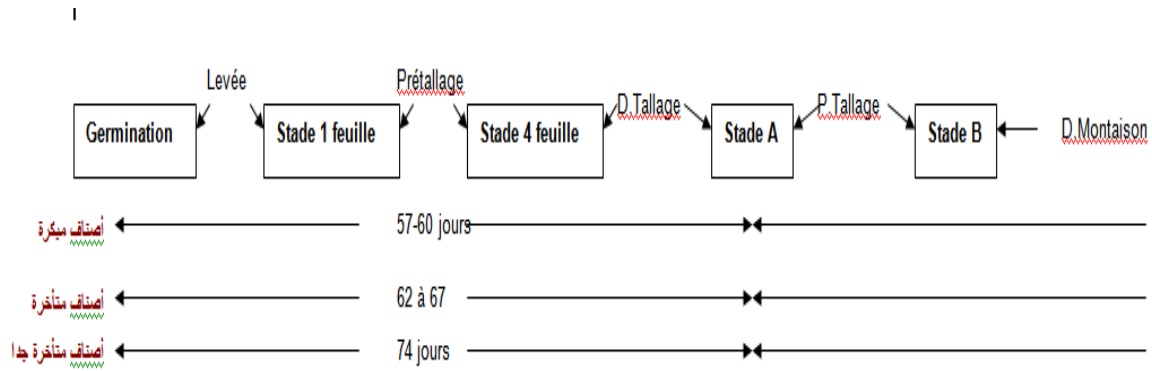
قسمت الأصناف لعشرة اعتمادا على الدورة الكلية و فترة الإسبال و فقا لمخطط Soltner (2005) إلى ثلاث مجموعات رئيسية (شكل III₄).

- مجموعة أولى تمثلها الأصناف المبكرة التي تنهي دورة حياتها في مدة تتراوح بين 131 إلى 150 يوم أي ما يعادل 4 أشهر و 21 يوم إلى 5 أشهر و وهي الأصناف kor, Vit, Hau و INRAT. تعتبر خاصية الإسبال المبكر مفيدة لتجنب مشاكل الجفاف و درجات الحرارة المرتفعة في نهاية الدورة للزراعية (Richards *et al.* (1997) : Monneveux et This (1996)

مجموعة ثانية تمثلها الأصناف المتأخرة بفترة حياة 152-164 يوم 170 يوم أي ما يعادل 5 أشهر و يومين إلى 5 أشهر و 20 يوم وهي الأصناف Bi, Hed, OZ, GGR و MBB.

- مجموعة ثالثة تمثلها الأصناف لجد متأخرة بفترة حياة تستغرق 178 يوم أي ما يعادل 5 أشهر و 27 يوم وهي الصنف Dk .

تحتاج الأصناف المتأخرة و المتأخرة جدال فترة ارتباج و فترة إضاءة طويلة مما يكسبها فترة إسبال متأخرة بلانسبة للمجموعة الأولى. و بلاتلي تكون أقل تأقلمال تجنب لنقص للمائي و درجات الحرارة المرتفعة في نهاية لدورةلكن أصناف للمجموعتين الثانية و لالثالثة عبارة عن أصناف محلية معروفة بمدى تحملها لنقص للمائي و لحرارة المرتفعة.



شكل III 4 : مخطط Soltner لعشرة أصناف من القمح الصلب (الآباء)

3.1. دراسة لمكونات الأساسية ACP

1.3.1. دراسة الارتباط بين لمتغيرات

أسفر تحليل مصفوفة الارتباط لعشرة أصناف من القمح الصلبة (شكل III 5) اللممثلة لآباء عن:

	SL	ST	SM	SG	SE	SF	SR	SMA	HP	LE	LCE	LB	SF	TH	TE	TT	E/m2	G/E	PMG	RDT
SL	1																			
ST	0,695	1																		
SM	0,785	0,924	1																	
SG	0,780	0,895	0,994	1																
SE	0,766	0,914	0,993	0,995	1															
SF	0,764	0,882	0,987	0,997	0,994	1														
SR	0,789	0,908	0,995	0,996	0,988	0,988	1													
SMA	0,664	0,826	0,953	0,971	0,963	0,981	0,962	1												
HP	0,693	0,867	0,937	0,927	0,939	0,927	0,915	0,870	1											
LE	0,078	-0,053	0,218	0,232	0,176	0,239	0,207	0,328	0,210	1										
LCE	0,212	0,428	0,549	0,582	0,591	0,590	0,574	0,625	0,644	0,170	1									
LB	0,576	0,490	0,642	0,647	0,622	0,676	0,624	0,669	0,689	0,624	0,263	1								
SF	0,360	0,435	0,587	0,595	0,602	0,589	0,555	0,520	0,729	0,171	0,476	0,361	1							
TH	-0,672	-0,382	-0,584	-0,567	-0,522	-0,527	-0,577	-0,505	-0,414	-0,536	-0,016	-0,414	-0,322	1						
TE	-0,457	-0,533	-0,702	-0,717	-0,745	-0,721	-0,678	-0,723	-0,712	-0,284	-0,670	-0,340	-0,642	0,461	1					
TT	-0,103	-0,596	-0,567	-0,583	-0,612	-0,602	-0,555	-0,592	-0,716	0,070	-0,691	-0,312	-0,673	-0,212	0,471	1				
E/m2	-0,414	-0,567	-0,692	-0,700	-0,710	-0,680	-0,688	-0,712	-0,603	-0,289	-0,663	-0,181	-0,425	0,546	0,900	0,355	1			
G/E	-0,276	-0,170	-0,040	-0,008	-0,050	-0,007	0,010	0,052	-0,021	0,084	0,203	-0,090	0,299	0,079	0,175	-0,254	0,167	1		
PMG	0,271	0,378	0,416	0,417	0,409	0,456	0,382	0,500	0,397	0,564	-0,001	0,813	0,013	-0,217	-0,211	-0,187	-0,126	-0,367	1	
RDT	-0,268	-0,329	-0,329	-0,303	-0,336	-0,266	-0,301	-0,255	-0,236	-0,034	-0,278	0,177	-0,103	0,445	0,668	-0,043	0,909	0,541	0,073	1

شكل III 5 : مصفوفة للارتباط لآباء

• يوجد ارتباط ايجابي و معنوي بين مختلف مراحل دورة حياة النبات من بداية للزرع حتى مرحلة للنضج و تراوح معامل الارتباط $0.988 > r > 0.695$ أي أن معظم الأصناف التي تسبل باكرا يتم إزهارها و نضجها باكرا و الأصناف المتأخرة في الإسبال تأخذ وقتا أطول لنضجها.

• نلاحظ كذلك ارتباط ايجابي و معنوي بين طول النبات و فترة للنضج $r = 0.870$ أي كلما كان النبات طويلا كلما استغرق فترة نضج طويلة.

• نلاحظ ارتباط سلبي و ايجابي بين فترة للبروز و الإشطاء للخضري أي كلما كانت فترة للبروز مبكرة كلما أمكن للحصول على عدد كبير من الإشطاء للخضرية $r = 0.672$.

• يوجد ارتباط ايجابي و معنوي بين طول للسفاة و مراحل دورة الحياة لطورى للتكاثر و للنضج و طول لنبات $r_2 = 0.689$; $0.679 > r_1 > 0.642$.

• نميز ارتباط سلبي و معنوي بين الإشطاء للسنبلي و مراحل طورى للتكاثر و للنضج أي أن كلما كان عدد للسنابل كبيرا كلما كانت الأصناف متأخرة في للنضج $r = 0.723$.

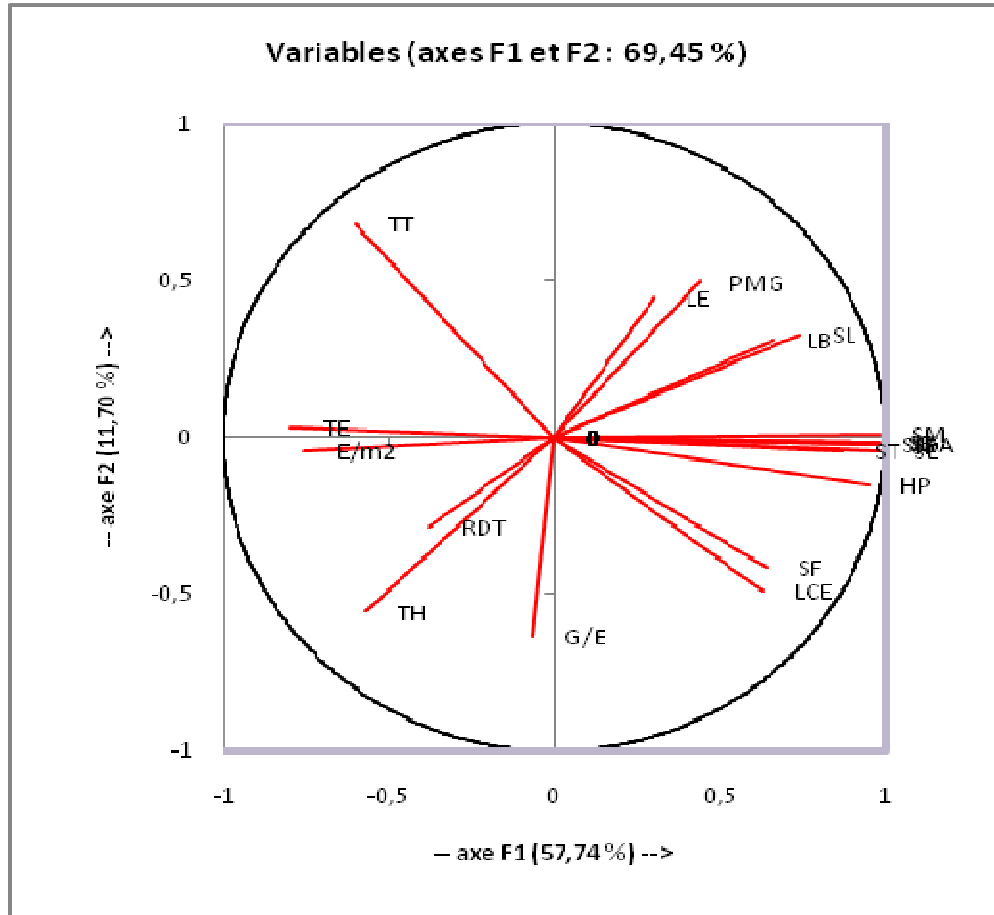
• يوجد ارتباط سلبي و معنوي بين عدد للسنابل /م² و طور للنضج أي كلما زاد عدد للسنابل في م² أي كانت الأصناف مبكرة $r = 0.712$.

• يوجد ارتباط ايجابي و معنوي بين وزن ألف حبة و طول للسفاة، أي كلما كانت للسفاة طويلة فإنها تسمح بزيادة وزن ألف حبة و ذلك لدور للفعال الذي تلعبه للسفاة بعد نفاذ مخزون الأوراق في تكوين للمدخرات للغذائية داخل للبذور $r = 0.813$.

• نميز كذلك ارتباط ايجابي و معنوي بين الإشطاء للسنبلي و عدد للسنابل /م و للمردود. فيرتبط وجود عدد كبير من للسنابل /م² ووفرة للمردود بارتفاع للإشطاء للسنبلي $r_1 = 0.900$, $r_2 = 0.809$.

2.3.1. دراسة لمتغيرات

يفسر للتباين بين الأفراد للمدرسة و للمتغيرات الكمية للمقاسة بللمحورين الأول F1 و الثاني F2 بنسبة 57.74 % و 11.70 % مما يعطي تعبيراً مفسراً في المعلم (F1, F2) بنسبة 69.45 %. و هي نسبة عالية لتفسير للتباين و الاختلاف بين الأصناف للمدرسة (شكل III 6).



شكل III: دراسة المتغيرات لمكونات الأساسية للآباء

المتغيرات HP و SM, SG, SE, SF, SR, Sma ممثلة جيد جدا في المعلم (F1,F2) حيث كانت $r^2 > 0.85$.

المتغير TT مفسر جيدا في المعلم 1-2 حيث $0.65 > r^2 > 0.80$.

المتغيرات TE, E/m2, TE, SF, TH, SL, ST, LCE, LB مفسرة بشكل متوسط في المعلم 1-2 حيث $0.65 > r^2 > 0.57$.

المتغيرات LE, G/E, PMG, RDT مفسرة بشكل رديء في المعلم 1-2 حيث $0.20 > r^2 > 0.40$.

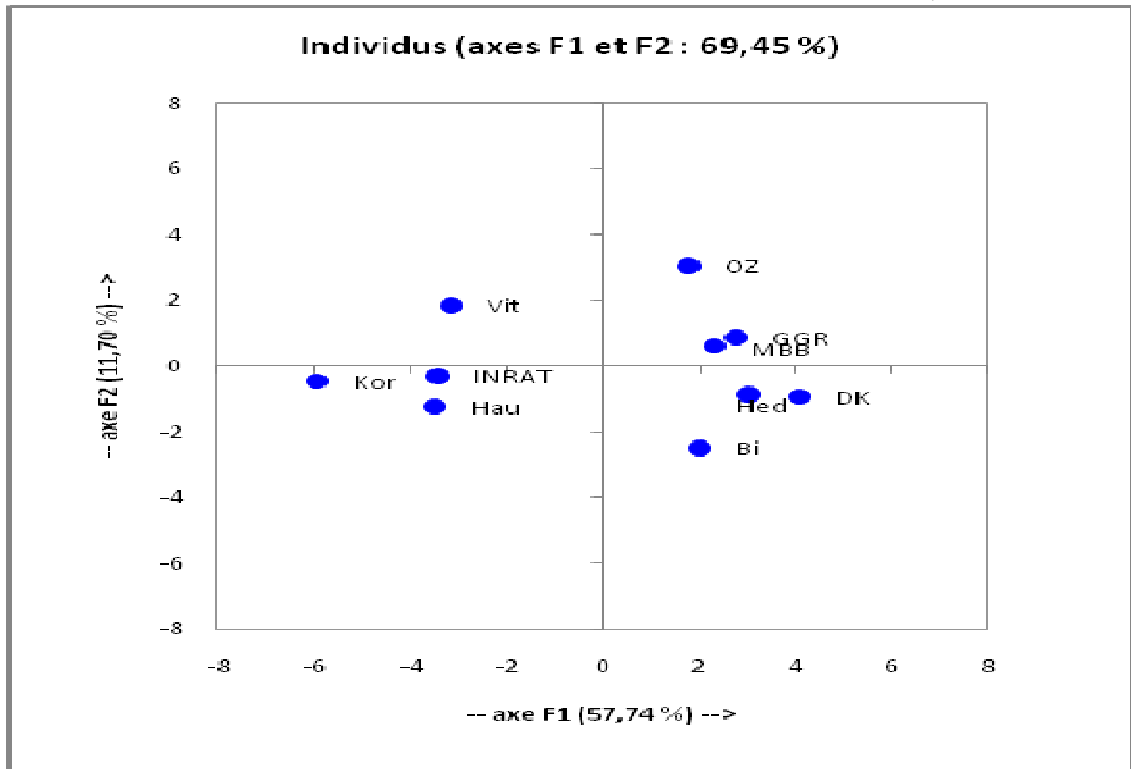
يمثل المحور الأول بل مراحل SM, SG, SE, SF, SR, Sma و مكونات الإنتاج TE, E/m² و HP مما يوحي أن الأصناف الموجودة على هذا المعلم تمتاز بفترة إسبال، إزهار، امتلاء و نضج طويلة فهي أصناف متأخرة أو شبه متأخرة مع إعطاء إشطاء سنبل مهم و طول نبات معتبر (الأصناف الطويلة).

إذن يهتم المحور الأول بل خصائص الفينولوجية و مكونات الإنتاج و بعض خصائص التأقلم كطول النبات. أما المحور الثاني فإنه يمثل ب RDT, TE, E/m², LE, PMG مما يوحي أن الأصناف الموجودة في هذه الجهة فإنها تتميز بمكونات إنتاج عالية و مردود ممتاز مقارنة مع بقية الأصناف. إذن يهتم المحور الثاني بتكوين المردود.

في حين يعطي تفسير للمعلمين الأول F1 والثالث F3 نسبة 57.74% و 11.12% أي مجموع 68.87% وهي نسبة معتبرة لتفسير المكونات الأساسية للتجربة.

3.3.1. دراسة الأفراد (الأصناف)

يمثل تقريبا 70% من الأفراد قيد الدراسة تفسيراً جيداً في المعلم (F1,F2) مما يجعل العشرة أصناف المدروسة توزع في مجموعتين أساسيتين (شكل III-7).



شكل III-7: دراسة الأفراد (الأصناف)

تمثل المجموعة الأولى الأصناف المتأخرة OZ, Dk, Hed, Bi, GGR, MBB التي تتميز بطول نبات معتبر و هي ممثلة أحسن تمثيل في المعلم 1-2 والتي تضم بداخلها ثلاث مجموعات تحت فرعية .
- تضم تحت المجموعة الأولى الصنفين OZ و Dk اللذان تكون دورة حياتهما أطول من بقية أصناف المجموعة.

- تضم تحت المجموعة الثانية الصنفين الجزائريين GGR و MBB اللذين يمتازان بوزن ألف حبة مرتفعا و طول معتبر للسنبلة.

- أما تحت المجموعة الفرعية الثالثة يمثلها الصنفين Bi و Hed اللذان يتميزان بطول نبات وطول عنق السنبلة معتبرين ومساحة ورقة كبيرة.

• تضم المجموعة الثانية الأصناف المبكرة Kor, INRAT, Vit و Hau والتي تمتاز بقصر طول النباتات ، كما أنها ذات مكونات إنتاج و مردود معتبرين. وتنقسم إلى تحت مجموعتين:

M تضم تحت المجموعة الأولى الصنفين Vit و Kor

2. هجن موسم 2004 - 2005

1.2. تصميم بطاقات وصفية (شكل III₈).



Code	الخواص	H1	H2	H3	H4	H5	H6	H7	H8	H9	H10	H11	H12
1	Port au tallage فوام الإسطواء	1	1	1	5	3	1	5	5	1	5	1	1
2	Fréquence des plantes avec la dernière feuille retombante نثلي الورقة الأخيرة لتكرارات النبات	3	3	5	3	3	1	3	5	3	5	3	5
3	Epoque d'épiaison فترة الإسبال	5	5	5	5	5	7	7	7	7	9	9	9
4	Glaucescence de la gaine de la dernière feuille الغبار الموجود في القعد للورقة الأخيرة	5	5	7	3	5	7	5	5	3	5	3	3
5	Glaucescence du limbe de la dernière feuille الورقة الأخيرة الموجود على سطح	3	5	7	5	5	5	7	5	5	5	3	5
8	Glaucescence de col de l'épi الغبار الموجود على حلق السنبله	5	5	5	3	3	3	5	5	3	5	3	5
9	Glaucescence de l'épi الغبار الموجود على السنبله	5	5	5	3	5	5	5	5	5	3	5	5
10	Hauteur de la plante طول النبات	5	5	7	5	5	7	3	3	5	7	7	7



شكل III₈: حوصلة لبطاقات الوصفية ل هجن 2004-2005

2.2. لخصائص لفينولوجية

تتم تتبع كل مراحل دورة حياة النباتات من الزرع حتى للنضج و أخذنا مرحلة الإنبال بعين الاعتبار لأنها تعطي فكرة عن فترة تكبير الأصناف.

تسجل مرحلة الإنبال عندما يلاحظ خروج 50 % من الأسنابل من غمدها. لا يمثل التكبير تباينا كبيرا عند 22 صنف الأصناف المدروسة فقد سمحت مرحلة الإنبال بتمييز لهجن لاي 3 فئات.

تمثل لفئة الألى الأصناف التي تكون فترة إنبالها أكبر من أبويها الأصليين وهي لهجن: Bi x Hau، Hed x Vit، Hed x INRAT و Hed x Hau بدرجة توريث تقدر ب 10.53 %، 8.86 %، 4.76 % و 3.79 %.

تضم للمجموعة الثانية لهجن التي تكون فترة إنبال مشابهة لأحد الأبوين وهي: Hed x Kor، Bi x Kor، Hed x MBB x INRAT و Dk x Kor. في حين تشمل للمجموعة الثالثة لهجن المتبقية ، التي تسجل فترة

إنبال وسطية بين فترتي إنبال كلا الأبوين وهي لهجن INRAT x GGR (شكل 9 و III).

وقد سمحت الدراسة الاحصائية بفرز 8 مجموعات متجانسة.

1- الأبوين OZ، Dk يمثلان للمجموعة الألى بمتوسط 92 يوم.

2- لهجن DKx INRAT، DKx HAU، GGRx INRAT تمثل للمجموعة الثانية بمتوسط 88 يوم.

3 - لهجن Bi x Hau ، MBB x Hau ، Dk x Kor، والأب MBB يمثلان للمجموعة الثالثة بمتوسط 86 يوم.

4- الأبوين GGR و INRAT ، لهجنين Hed x Vit ، MBB x INRAT يشكلان للمجموعة الرابعة

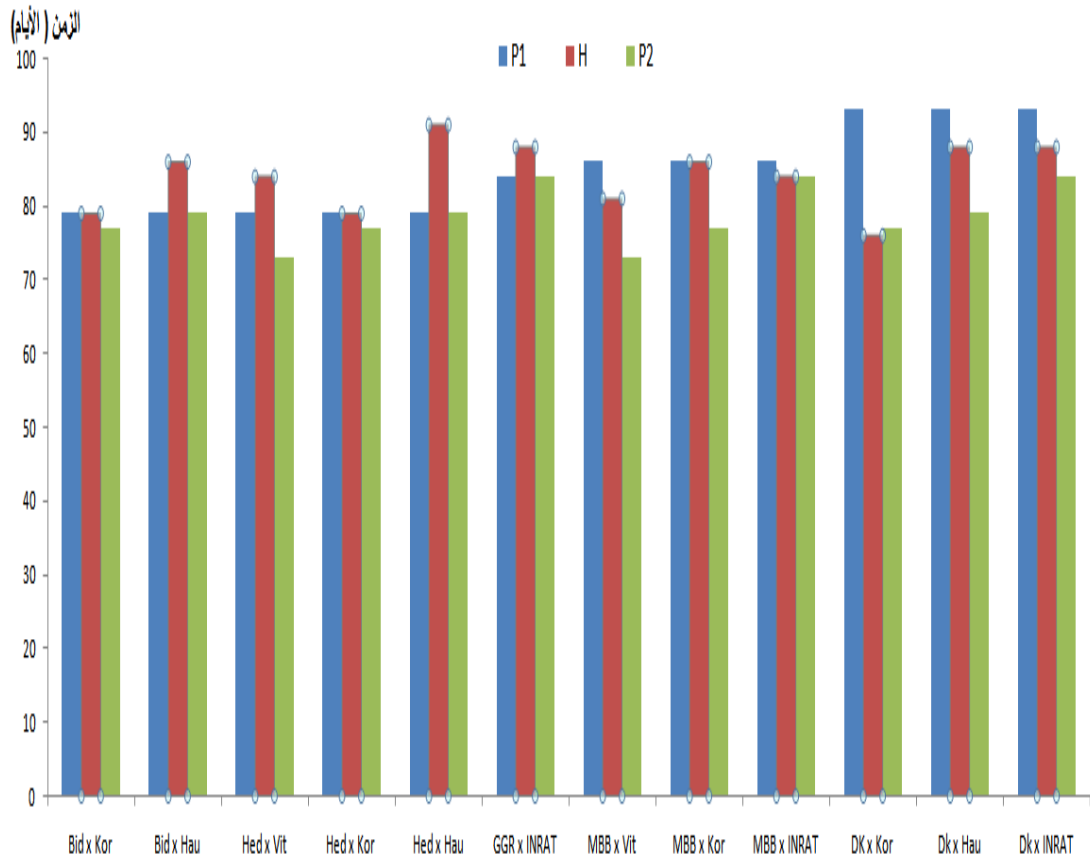
بمتوسط 84 يوم.

5- لهجنين Hed x Hau ، MBB x Vit يمثلان للمجموعة الخامسة بمتوسط 81.5 يوم

6- الأباء Bi و Hed و لهجن Bi x Kor ، Hed x Kor تشكل للمجموعة السادسة بمتوسط 77.5 يوم .

7- الأبوان Hau و Kor يمثلان للمجموعة السابعة بمتوسط 77.5 يوم.

8- الأب Vit يمثل للمجموعة الثامنة و الأخيرة بمتوسط 73 يوم.

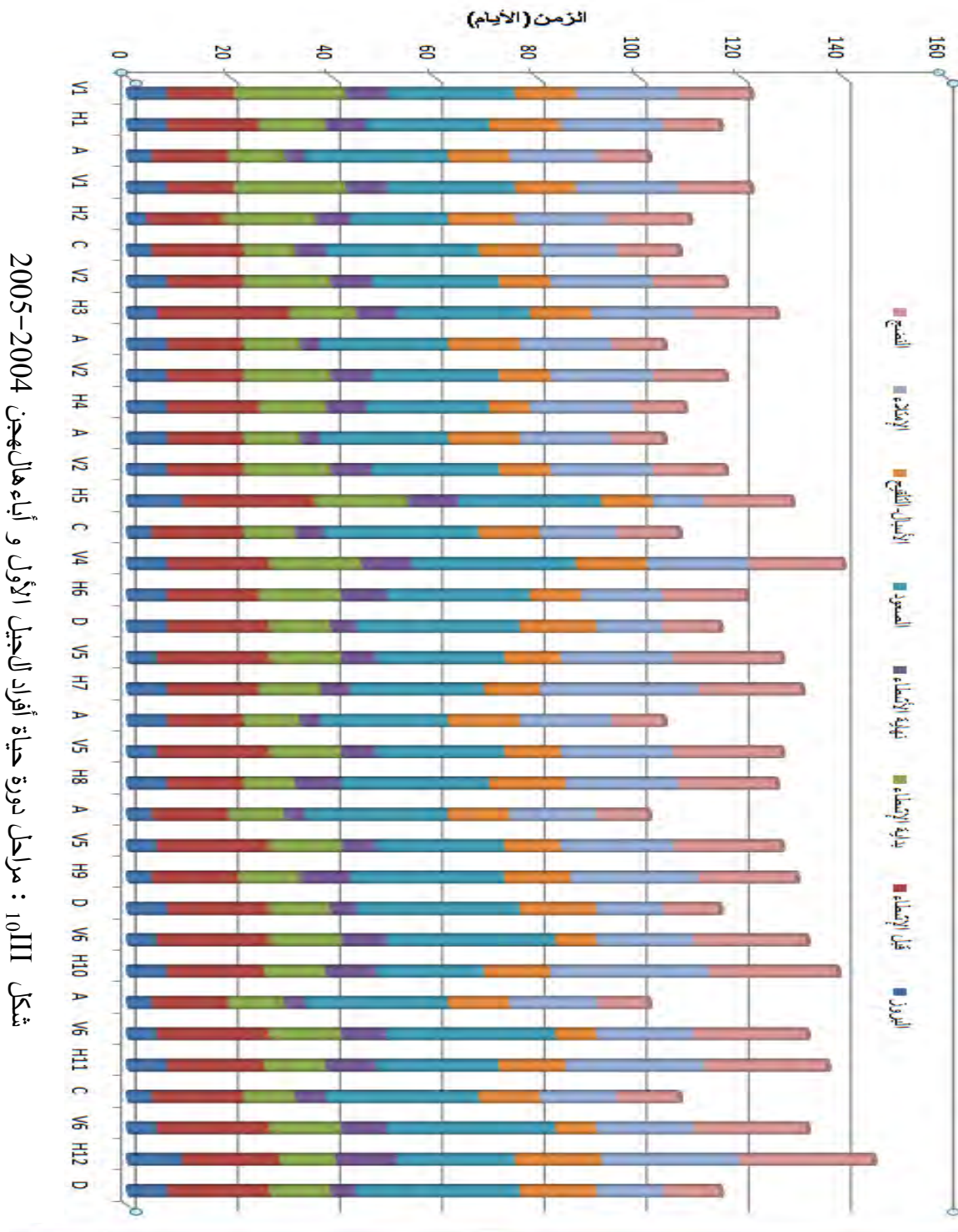


J

الأصناف

شكل III:9: مرحلة الإنبال عند هجن 2004-2005

يمثل شكل III₁₀ عدد الأيام لكل مرحلة من مراحل دورة حياة الأصناف المدروسة حسب مخطط Soltner, 2005 مما يسمح لنا بتقسيم الأصناف إلى ثلاث مجموعات . يعطي تحليل التباين دلالة معنوية بين الأصناف خلال مراحل حياة النباتات و أمكن تقسيمها حسب إختبار NKS إلى ثلاث مجموعات متجانسة:



شكل 10III : مراحل دورة حياة أفراد الجيل الأول و آباءه هجين 2004-2005

• مجموعة الأصناف المبكرة : التي تتراوح فترة حياتها من 93 إلى 103 يوم وهي الأبياء

. Hed x Kor ، Bi x Kor و لهجينين INRAT، Hau ، Kor ، Vit

• مجموعة الأصناف المتأخرة و التي تتراوح فترة حياتها من 105 إلى 107 يوم. وهي الأبياء

. GGR x INRAT و Hed x Hau ، Hed x Vit ، Bi x Hau ولهجن GGR ، Hed ، Bi
 • مجموعة الأصناف المتأخرة جدا والتي تتراوح فترة حياتها من 111 إلى 116 يوم وهي الأبناء
 Dk x INRAT و Dk x Hau ، Dk x Kor ، MBB x Hau ، MBB x Vit ولهجن Dk ، OZ ، MBB

3.2. دراسة لمكونات الأساسية ACP

1.3.2. دراسة الارتباط بين لمتغيرات

أسفر تحليل مصفوفة الارتباط (شكل III₁₁) لهجن:

- يوجد ارتباط ايجابي و معنوي بين مرحلة الانضج SMA و بقية المراحل ST ، SM ، و SR و تراوح معامل الارتباط $r_1 = 0.726$, $r_2 = 0.719$, $r_3 = 0.712$ أي أن معظم الأصناف التي تنضج باكرا يتم إشتاءها ، صعودها و إمتلاء حبوبها .
- نلاحظ كذلك ارتباط ايجابي و معنوي بين الانتفاخ و الإزهار و بين الإسبال و الإزهار و بين الإسبال و الإزهار حيث $r_1(\text{SGMF}) = 0.814$, $r_2(\text{SEMSE}) = 0.840$, $r_3(\text{SEMF}) = 0.863$ أي أن هذه المراحل لحساسية في دورة حياة النبات ، تكون مترابطة فيما بينها .
- نلاحظ ارتباط سلبي و ايجابي بين فترة البروز و الإشتاء الخضري أي كلما كانت فترة البروز مبكرة كلما أمكن الحصول على عدد كبير من الأشتاءات الخضرية $r = 0.672$.
- يوجد ارتباط ايجابي و معنوي بين طول السفاة و طول السنبله ؛ و بين $r = 0.921$ و بين الإشتاء لخضري و الإشتاء السنبله $r = 0.770$.
- يوجد ارتباط سلبي و معنوي بين عدد السنابل /م² و مساحة الورقة $r = 0.699$.
- نميز سلبي و معنوي بين الإشتاء لخضري و نسبة التحول $r(\text{TH}, \text{TT}) = 0.775$.

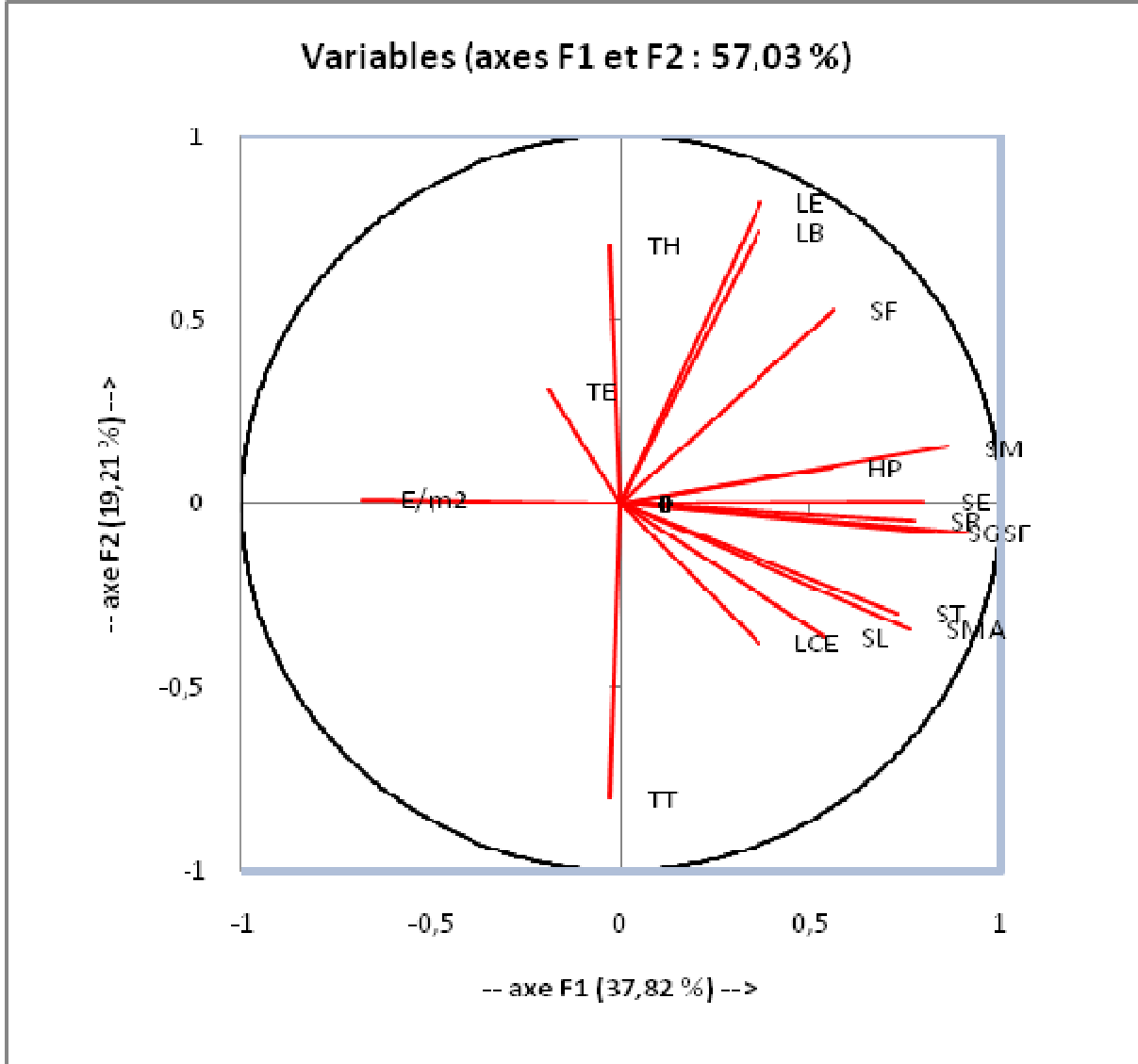
	SL	ST	SM	SG	SE	SF	SR	SMA	HP	LE	LCE	LB	SF	TH	TE	TT	E/m2
SL	1																
ST	0,601	1															
SM	0,350	0,656	1														
SG	0,572	0,576	0,624	1													
SE	0,372	0,480	0,614	0,814	1												
SF	0,595	0,660	0,697	0,840	0,863	1											
SR	0,559	0,544	0,598	0,575	0,458	0,725	1										
SMA	0,498	0,726	0,719	0,610	0,481	0,624	0,712	1									
HP	-0,042	0,104	0,483	0,332	0,331	0,353	0,413	0,360	1								
LE	-0,267	-0,004	0,458	0,133	0,326	0,220	0,193	0,032	0,340	1							
LCE	0,112	0,250	0,156	0,247	0,057	0,190	0,302	0,389	0,686	-0,189	1						
LB	-0,120	0,062	0,383	0,199	0,389	0,274	0,199	0,047	0,164	0,921	-0,300	1					
SF	-0,032	0,330	0,663	0,278	0,271	0,287	0,330	0,250	0,598	0,687	0,220	0,531	1				
TH	0,063	-0,146	0,084	0,034	-0,155	-0,039	0,102	-0,215	-0,111	0,313	-0,244	0,251	0,198	1			
TE	0,151	0,068	0,011	-0,118	-0,384	-0,222	0,068	-0,069	-0,363	-0,051	-0,292	-0,061	-0,030	0,770	1		
TT	0,145	0,297	0,001	-0,107	-0,060	-0,054	-0,019	0,321	-0,118	-0,488	0,156	-0,415	-0,339	-0,775	-0,259	1	
E/m2	-0,368	-0,451	-0,527	-0,425	-0,522	-0,699	-0,437	-0,289	-0,391	-0,210	-0,379	-0,186	-0,344	-0,010	0,289	0,083	1

En gras, valeurs significatives (hors diagonale) au seuil $\alpha=0,050$ (test bilatéral)

شكل III : مصفوفة الترابط لأفراك لجيل الأول و أبناءها لجن 2005-2004

2.3.2. دراسة لمتغيرات

يفسر التباين بين الأفراد للمدرسة و المتغيرات الكمية المقاسة بل محورين الأول F1 و الثاني F2 بنسبة 37.81 % و 19.21 % مما يعطي تعبيراً مفسراً في المعلم (F1, F2) بنسبة 57.03 %. و هي نسبة عالية لتفسير التباين و الاختلاف بين الأصناف للمدرسة (شكل III₁₂).



شكل III₁₂: دراسة لمتغيرات لمكونات الأساسية لهنج 2004-2005

- لمتغيرات LE و SF ممثلة جيد جداً في المعلم (F1, F2) حيث كانت $r^2 > 0.85$.
- لمتغيرات LB, SMA, SG, SM, TT مفسر جيداً في المعلم 1-2 حيث $0.65 > r^2 > 0.80$.
- لمتغيرات SF, SE, ST مفسرة بشكل متوسط في المعلم 1-2 حيث $0.57 > r^2 > 0.65$.
- لمتغيرات E/m², TH, LCE, SL مفسرة بشكل رديء في المعلم 1-2 حيث $0.20 > r^2 > 0.40$.
- لمتغير TE مفسرة بشكل رديء جداً في المعلم 1-2 حيث $r^2 > 0.13$.

يمثل المحور الأول بللمراحل SM, SG, SE, SF, SR, SMa و مكونات الإنتاج E/m^2 و HP مما يوحي أن الأصناف الموجودة على هذا المعلم تمتاز بفترة إسبال ، إزهار ، امتلاء و نضج فهي أصناف ذات دورة حياة متأخرة أو شبه متأخرة مع إعطاء عدد سنابل مهم في المتر للمربع الواحد فالأصناف الواقعة في هذا المحور تمتاز بطول نبات و عدد سنابل معتبرين .

أما المحور الثاني فإنه يمثل بخصائص التأقلم طول السنبل و طول السفاة و مكونات الإنتاج الإسطاء الخضري و لسنبلي و نسبة التحول مما يدل أن الأصناف الموجودة في هذه الجهة تتميز بإسطاء سنبلي علي مقارنة مع بقية الأصناف. إذن يهتم المحور الثاني بتكوين المردود.

3.3.2. دراسة الأفراد (الأصناف)

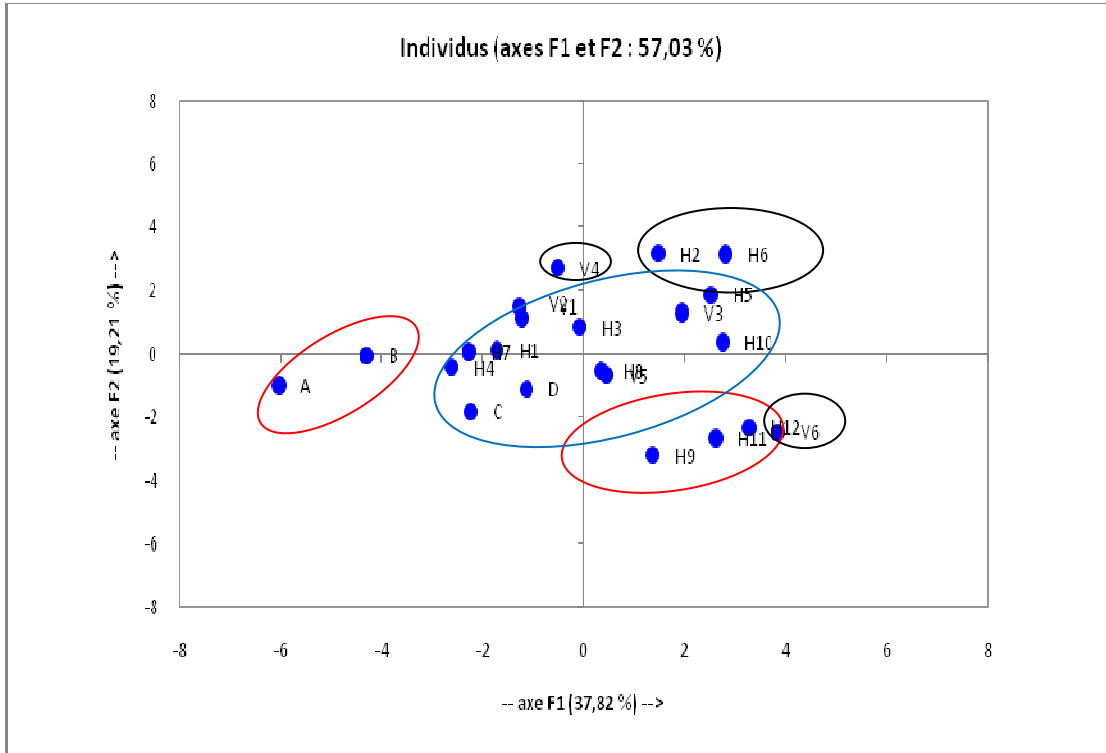
يمثل تقريبا 60% من الأفراد قيد الدراسة تفسيريا جيدا في المعلم (F1,F2) مما يجعل الآباء و لهجن

لناتجة من التزاوج بينهما توزع في مجموعات أساسية (شكل III₁₃):

- تمثل المجموعة الأولى الأبوين Kor ، Vit و لهجن MBB x INRAT(H9) ، Dk x Hau (H11) و Dk x INRAT (H12).

- تضم المجموعة الثانية الأبوين GGR ، Dk و لهجن Bi x Hau (H2) ، Hed x Hau (H5) و GGR x INRAT (H6).

- تضم المجموعة الأخيرة باقي الأصناف المدروسة من آباء و هجن.



شكل III₁₃: دراسة الأفراد لهجن 2004-2005

3. هجن موسم 2005-2006

1.3. تصميم بطاقات وصفية

4579CBF Q Q=9Bidi x Vit (H1) ❖

Code	Caractères F1	خواص الجيل الأول	P1	H	P2
			G1	G2	G3
1	Port au tallage قوام الإشطاء		3	1	1
2	Fréquence des plantes avec la dernière feuille retombante تكلي الورقة الأخيرة لتكرارات النبات		1	3	1
3	Epoque d'épiaison فترة الإسياب		3	3	5
4	Glaucescence de la gaine de la dernière feuille الغبار الموجود في الغمد للورقة الأخيرة		9	7	7
5	Glaucescence du limbe de la dernière feuille الورقة الأخير الغبار الموجود على سطح		3	1	3
8	Glaucescence de col de l'épi الغبار الموجود على عنق السنبله		5	5	5
9	Glaucescence de l'épi الغبار الموجود على السنبله		5	5	7
10	Hauteur de la plante طول النبات		3	5	5
			مستوى التعبير		
	Caractères F2	خواص الجيل الثاني	G1	G2	G3
1	Pigmentation anthocyanique de la barbe تكون السداة بالبنفسجي		1	3	7
2	Distribution des barbes de l'épi توزيع السداة		4	4	4
3	Longueur par rapport à l'épi des barbes dépassant l'extrémité de l'épi طول السداة التي تعدت أطراف السنبله		7	7	7
4	Forme de la glume inférieure شكل القنبعة السفلية أو العصفة الداخلية		7	7	3
5	Forme de la troncature de la glume inférieure شكل القنبعة السفلية أو العصفة الداخلية		1	1	1
6	Largeur de la troncature de la glume inférieure طول القنبعة السفلية أو العصفة الداخلية		1	3	3
7	Longueur de bec de la glume inférieure طول منقار العصفة الداخلية للقنبعة السفلية		5	7	5
8	Forme du bec de la glume inférieure شكل منقار العصفة الداخلية للقنبعة السفلية		1	1	1
9	Pilosité de la face externe de la glume الزغب الخارجي للعصفة الداخلية		1	1	7
10	Longueur de l'épi à l'exclusion des barbes طول السنبله متصل من السداة		1	1	1
11	Pilosité du bord du premier article du rachis de l'épi زغب الجزء العلوي من المحور		1	1	1
12	Couleur de l'épi لون السداة		2	2	3
13	Forme en vue de profil de l'épi شكل السنبله		1	1	3
14	Compacité de l'épi تراص السنبله		7	7	7
15	Forme du grain شكل الحبة		3	3	3
16	Longueur des poils de la brosse en vue dorsale du grain طول الزغب الموجود على حبة القمح		5	7	7



4579CBF Q Q=9Bidi x Kor (H2) ❖

Code	Caractères F1	خواص الجيل الأول	P1	H	P2
			G1	G2	G3
1	Port au tallage قوام الإشطاء		3	1	1
2	Fréquence des plantes avec la dernière feuille retombante تكلي الورقة الأخيرة لتكرارات النبات		1	1	3
3	Epoque d'épiaison فترة الإسياب		5	3	3
4	Glaucescence de la gaine de la dernière feuille الغبار الموجود في الغمد للورقة الأخيرة		7	7	9
5	Glaucescence du limbe de la dernière feuille الورقة الأخير الغبار الموجود على سطح		3	1	1
8	Glaucescence de col de l'épi الغبار الموجود على عنق السنبله		5	5	7
9	Glaucescence de l'épi الغبار الموجود على السنبله		7	5	5
10	Hauteur de la plante طول النبات		5	5	3
			مستوى التعبير		
	Caractères F2	خواص الجيل الثاني	G1	G2	G3
1	Pigmentation anthocyanique de la barbe تكون السداة بالبنفسجي		5	7	9
2	Distribution des barbes de l'épi توزيع السداة		4	4	4
3	Longueur par rapport à l'épi des barbes dépassant l'extrémité de l'épi طول السداة التي تعدت أطراف السنبله		7	7	5
4	Forme de la glume inférieure شكل القنبعة السفلية أو العصفة الداخلية		7	7	3
5	Forme de la troncature de la glume inférieure شكل القنبعة السفلية أو العصفة الداخلية		3	7	1
6	Largeur de la troncature de la glume inférieure طول القنبعة السفلية أو العصفة الداخلية		1	3	1
7	Longueur de bec de la glume inférieure طول منقار العصفة الداخلية للقنبعة السفلية		5	5	7
8	Forme du bec de la glume inférieure شكل منقار العصفة الداخلية للقنبعة السفلية		1	1	1
9	Pilosité de la face externe de la glume الزغب الخارجي للعصفة الداخلية		1	1	5
10	Longueur de l'épi à l'exclusion des barbes طول السنبله متصل من السداة		1	1	1
11	Pilosité du bord du premier article du rachis de l'épi زغب الجزء العلوي من المحور		5	1	1
12	Couleur de l'épi لون السداة		2	2	3
13	Forme en vue de profil de l'épi شكل السنبله		1	1	3
14	Compacité de l'épi تراص السنبله		7	3	3
15	Forme du grain شكل الحبة		3	3	2
16	Longueur des poils de la brosse en vue dorsale du grain طول الزغب الموجود على حبة القمح		7	5	7



45679CBF Q Q Hed x INRAT (H 3) ❖

Code	Caractères F1	خواص الجيل الأول	P1	H	P2		
1	Port au tallage	قوام الإبتداء	3	1	3		
2	Fréquence des plantes avec la dernière feuille retombante	كثلي الورقة الأخيرة لتكرارات النبات	1	1	3		
3	Epoque d'épiaison	فترة الإبدال	5	5	3		
4	Glaucescence de la gaine de la dernière feuille	الغبار الموجود في العمد للورقة الأخيرة	7	9	9		
5	Glaucescence du limbe de la dernière feuille	الغبار الموجود على سطح الورقة الأخيرة	3	3	3		
8	Glaucescence de col de l'épi	الغبار الموجود على عنق السنبله	5	5	7		
9	Glaucescence de l'épi	الغبار الموجود على السنبله	7	5	5		
10	Hauteur de la plante	طول النبات	5	5	3		
			مستوى التعبير				
	Caractères F2	خواص الجيل الثاني	G1	G2	G3		
1	Pigmentation anthocyanique de la barbe	تلون السداة بالبنفسجي	5	9			
2	Distribution des barbes de l'épi	توزيع السداة	4	4			
3	Longueur par rapport à l'épi des barbes dépassant l'extrémité de l'épi	طول السداة التي تحت أطراف السنبله	5	5			
4	Forme de la glume inférieure	شكل القنبحه السفلية أو الحصبة الداخلية	7	7			
5	Forme de la troncature de la glume inférieure	شكل القنبحه السفلية أو الحصبة الداخلية la troncature	5	3			
6	Largeur de la troncature de la glume inférieure	طول القنبحه السفلية أو الحصبة الداخلية la troncature	5	3			
7	Longueur de bec de la glume inférieure	طول منقار الحصبة الداخلية للقنبحه السفلية	7	7			
8	Forme du bec de la glume inférieure	شكل منقار الحصبة الداخلية للقنبحه السفلية	1	3			
9	Pilosité de la face externe de la glume	الزغب الخارجي الحصبة الداخلية	1	1			
10	Longueur de l'épi à l'exclusion des barbes	طول السنبله مفصول عن السداة	5	5			
11	Pilosité du bord du premier article du rachis de l'épi	زغب الجزء العلوي من المحور	1	1			
12	Couleur de l'épi	لون السنبله	2	2			
13	Forme en vue de profil de l'épi	شكل السنبله	1	1			
14	Compacité de l'épi	تراص السنبله	7	7			
15	Forme du grain	شكل الحبة	3	3			
16	Longueur des poils de la brosse en vue dorsale du grain	طول الزغب الموجود على حبة القمح	3	5			

45679CBF Q Q Hed x Vit (H 4) ❖

Code	Caractères F1	خواص الجيل الأول	P1	H	P2		
1	Port au tallage	قوام الإبتداء	3	1	1		
2	Fréquence des plantes avec la dernière feuille retombante	كثلي الورقة الأخيرة لتكرارات النبات	1	1	1		
3	Epoque d'épiaison	فترة الإبدال	5	5	3		
4	Glaucescence de la gaine de la dernière feuille	الغبار الموجود في العمد للورقة الأخيرة	7	9	9		
5	Glaucescence du limbe de la dernière feuille	الغبار الموجود على سطح الورقة الأخيرة	3	1	3		
8	Glaucescence de col de l'épi	الغبار الموجود على عنق السنبله	5	5	5		
9	Glaucescence de l'épi	الغبار الموجود على السنبله	7	5	5		
10	Hauteur de la plante	طول النبات	5	5	3		
			مستوى التعبير				
	Caractères F2	خواص الجيل الثاني	G1	G2	G3		
1	Pigmentation anthocyanique de la barbe	تلون السداة بالبنفسجي	5	5	1		
2	Distribution des barbes de l'épi	توزيع السداة	4	4	4		
3	Longueur par rapport à l'épi des barbes dépassant l'extrémité de l'épi	طول السداة التي تحت أطراف السنبله	7	7	5		
4	Forme de la glume inférieure	شكل القنبحه السفلية أو الحصبة الداخلية	7	7	7		
5	Forme de la troncature de la glume inférieure	شكل القنبحه السفلية أو الحصبة الداخلية la troncature	3	3	3		
6	Largeur de la troncature de la glume inférieure	طول القنبحه السفلية أو الحصبة الداخلية la troncature	3	5	7		
7	Longueur de bec de la glume inférieure	طول منقار الحصبة الداخلية للقنبحه السفلية	7	7	7		
8	Forme du bec de la glume inférieure	شكل منقار الحصبة الداخلية للقنبحه السفلية	1	1	5		
9	Pilosité de la face externe de la glume	الزغب الخارجي الحصبة الداخلية	1	5	1		
10	Longueur de l'épi à l'exclusion des barbes	طول السنبله مفصول عن السداة	1	1	5		
11	Pilosité du bord du premier article du rachis de l'épi	زغب الجزء العلوي من المحور	1	1	7		
12	Couleur de l'épi	لون السنبله	2	2	2		
13	Forme en vue de profil de l'épi	شكل السنبله	1	2	1		
14	Compacité de l'épi	تراص السنبله	3	3	7		
15	Forme du grain	شكل الحبة	3	3	3		
16	Longueur des poils de la brosse en vue dorsale du grain	طول الزغب الموجود على حبة القمح	5	7	5		



Code	Caractères F1	خواص الجيل الأول	P1	H	P2
1	Port au tallage	قوام الإسطواء	3	3	3
2	Fréquence des plantes avec la dernière feuille retombante	تدلي الورقة الأخيرة لتكرارات النبات	1	1	3
3	Epoque d'épiaison	فترة الإنبال	5	5	3
4	Glaucescence de la gaine de la dernière feuille	الغبار الموجود في الغمد للورقة الأخيرة	7	7	9
5	Glaucescence du limbe de la dernière feuille	الورقة الأخيرة على سطح الغبار الموجود على سطح	3	3	1
8	Glaucescence de col de l'épi	الغبار الموجود على عنق السنبل	5	5	7
9	Glaucescence de l'épi	الغبار الموجود على السنبل	7	5	5
10	Hauteur de la plante	طول النبات	5	5	3
مسئوي التعبير					
Caractères F2			G1	G2	G3
1	Pigmentation anthocyanique de la barbe	تلون السداة بالبنفسجي	7	7	7
2	Distribution des barbes de l'épi	توزيع السداة	4	4	4
3	Longueur par rapport à l'épi des barbes dépassant l'extrémité de l'épi	طول السداة التي تكدت أطراف السنبل	7	7	7
4	Forme de la glume inférieure	شكل القبة السفلية أو العصبة الداخلية	7	3	7
5	Forme de la troncature de la glume inférieure	اللتبعية السفلية أو العصبة الداخلية شكل la troncature	1	1	5
6	Largeur de la troncature de la glume inférieure	اللتبعية السفلية أو العصبة الداخلية طول la troncature	1	5	5
7	Longueur de bec de la glume inférieure	طول منقار العصبة الداخلية للفتحة السفلية	7	5	7
8	Forme du bec de la glume inférieure	شكل منقار العصبة الداخلية للفتحة السفلية	1	1	1
9	Pilosité de la face externe de la glume	الزغب الخارجي للعصبة الداخلية	1	1	5
10	Longueur de l'épi à l'exclusion des barbes	طول السنبل مفصول عن السداة	7	1	1
11	Pilosité du bord du premier article du rachis de l'épi	تزعج الجزء العلوي من المحور	1	1	7
12	Couleur de l'épi	لون السنبل	2	2	2
13	Forme en vue de profil de l'épi	شكل السنبل	2	1	2
14	Compacité de l'épi	تراص السنبل	7	7	7
15	Forme du grain	شكل الحبة	3	3	3
16	Longueur des poils de la brosse en vue dorsale du grain	طول الزغب الموجود على حبة التمعج	7	5	7

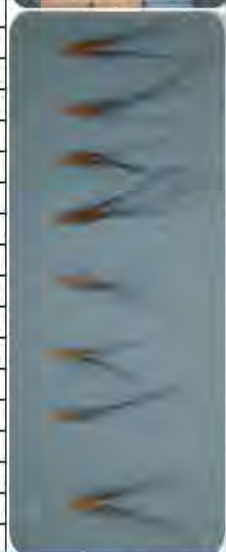
4579CF Q Q Hed x Hau (H 6)

Code	Caractères F1	خواص الجيل الأول	P1	H	P2
1	Port au tallage	قوام الإسطواء	3	7	3
2	Fréquence des plantes avec la dernière feuille retombante	تدلي الورقة الأخيرة لتكرارات النبات	1	1	3
3	Epoque d'épiaison	فترة الإنبال	5	5	3
4	Glaucescence de la gaine de la dernière feuille	الغبار الموجود في الغمد للورقة الأخيرة	7	9	7
5	Glaucescence du limbe de la dernière feuille	الورقة الأخيرة على سطح الغبار الموجود على سطح	3	5	3
8	Glaucescence de col de l'épi	الغبار الموجود على عنق السنبل	5	5	7
9	Glaucescence de l'épi	الغبار الموجود على السنبل	7	5	5
10	Hauteur de la plante	طول النبات	5	5	3
مسئوي التعبير					
Caractères F2			G1	G2	G3
1	Pigmentation anthocyanique de la barbe	تلون السداة بالبنفسجي	5		
2	Distribution des barbes de l'épi	توزيع السداة	4		
3	Longueur par rapport à l'épi des barbes dépassant l'extrémité de l'épi	طول السداة التي تكدت أطراف السنبل	5		
4	Forme de la glume inférieure	شكل القبة السفلية أو العصبة الداخلية	7		
5	Forme de la troncature de la glume inférieure	اللتبعية السفلية أو العصبة الداخلية شكل la troncature	3		
6	Largeur de la troncature de la glume inférieure	اللتبعية السفلية أو العصبة الداخلية طول la troncature	5		
7	Longueur de bec de la glume inférieure	طول منقار العصبة الداخلية للفتحة السفلية	7		
8	Forme du bec de la glume inférieure	شكل منقار العصبة الداخلية للفتحة السفلية	5		
9	Pilosité de la face externe de la glume	الزغب الخارجي للعصبة الداخلية	5		
10	Longueur de l'épi à l'exclusion des barbes	طول السنبل مفصول عن السداة	7		
11	Pilosité du bord du premier article du rachis de l'épi	تزعج الجزء العلوي من المحور	5		
12	Couleur de l'épi	لون السنبل	2		
13	Forme en vue de profil de l'épi	شكل السنبل	2		
14	Compacité de l'épi	تراص السنبل	7		
15	Forme du grain	شكل الحبة	3		
16	Longueur des poils de la brosse en vue dorsale du grain	طول الزغب الموجود على حبة التمعج	7		

Code	Caractères F1	خواص الجيل الأول	P1	H	P2
			1	Port au tallage	قوام الإسطواء
2	Fréquence des plantes avec la dernière feuille retombante	تدلي الورقة الأخيرة لتكرارات النبات	1	1	3
3	Epoque d'épiaison	فترة الإنبال	5	5	3
4	Glaucescence de la gaine de la dernière feuille	الغبار الموجود في الغمد للورقة الأخيرة	7	9	9
5	Glaucescence du limbe de la dernière feuille	الغبار الموجود على سطح الورقة الأخيرة	3	5	3
8	Glaucescence de col de l'épi	الغبار الموجود على عنق السنبله	5	7	7
9	Glaucescence de l'épi	الغبار الموجود على السنبله	7	7	5
10	Hauteur de la plante	طول النبات	5	7	3
			مستوى التعبير		
Caractères F2			G1	G2	G3
1	Pigmentation anthocyanique de la barbe	تلون السداة بالبنفسجي	7	7	7
2	Distribution des barbes de l'épi	توزيع السداة	4	4	4
3	Longueur par rapport à l'épi des barbes dépassant l'extrémité de l'épi	طول السداة التي تحدد أطراف السنبله	5	5	5
4	Forme de la glume inférieure	شكل القتيعة السفلية أو العصفة الداخلية	3	7	3
5	Forme de la troncature de la glume inférieure	شكل القتيعة السفلية أو العصفة الداخلية	3	3	5
6	Largeur de la troncature de la glume inférieure	طول القتيعة السفلية أو العصفة الداخلية	5	5	3
7	Longueur de bec de la glume inférieure	طول منقار العصفة الداخلية للقتيعة السفلية	7	5	5
8	Forme du bec de la glume inférieure	شكل منقار العصفة الداخلية للقتيعة السفلية	3	7	5
9	Pilosité de la face externe de la glume	الزغب الخارجي للعصفة الداخلية	1	5	1
10	Longueur de l'épi à l'exclusion des barbes	طول السنبله متصلاً عن السداة	7	5	1
11	Pilosité du bord du premier article du rachis de l'épi	زغب الجزء العلوي من المحور	5	1	5
12	Couleur de l'épi	لون السنبله	3	3	3
13	Forme en vue de profil de l'épi	شكل السنبله	2	1	2
14	Compacité de l'épi	تراص السنبله	7	7	7
15	Forme du grain	شكل الحبة	2	3	2
16	Longueur des poils de la brosse en vue dorsale du grain	طول الزغب الموجود على حبة القمح	7	7	5



Code	Caractères F1	خواص الجيل الأول	P1	H	P2
			1	Port au tallage	قوام الإسطواء
2	Fréquence des plantes avec la dernière feuille retombante	تدلي الورقة الأخيرة لتكرارات النبات	3	1	1
3	Epoque d'épiaison	فترة الإنبال	5	7	3
4	Glaucescence de la gaine de la dernière feuille	الغبار الموجود في الغمد للورقة الأخيرة	7	7	9
5	Glaucescence du limbe de la dernière feuille	الغبار الموجود على سطح الورقة الأخيرة	3	1	3
8	Glaucescence de col de l'épi	الغبار الموجود على عنق السنبله	5	5	5
9	Glaucescence de l'épi	الغبار الموجود على السنبله	7	5	5
10	Hauteur de la plante	طول النبات	5	7	3
			مستوى التعبير		
Caractères F2			G1	G2	G3
1	Pigmentation anthocyanique de la barbe	تلون السداة بالبنفسجي	1	1	5
2	Distribution des barbes de l'épi	توزيع السداة	4	4	4
3	Longueur par rapport à l'épi des barbes dépassant l'extrémité de l'épi	طول السداة التي تحدد أطراف السنبله	5	5	3
4	Forme de la glume inférieure	شكل القتيعة السفلية أو العصفة الداخلية	7	7	7
5	Forme de la troncature de la glume inférieure	شكل القتيعة السفلية أو العصفة الداخلية	5	5	1
6	Largeur de la troncature de la glume inférieure	طول القتيعة السفلية أو العصفة الداخلية	5	1	1
7	Longueur de bec de la glume inférieure	طول منقار العصفة الداخلية للقتيعة السفلية	7	7	7
8	Forme du bec de la glume inférieure	شكل منقار العصفة الداخلية للقتيعة السفلية	1	1	1
9	Pilosité de la face externe de la glume	الزغب الخارجي للعصفة الداخلية	9	9	9
10	Longueur de l'épi à l'exclusion des barbes	طول السنبله متصلاً عن السداة	7	5	5
11	Pilosité du bord du premier article du rachis de l'épi	زغب الجزء العلوي من المحور	7	7	5
12	Couleur de l'épi	لون السنبله	1	2	1
13	Forme en vue de profil de l'épi	شكل السنبله	1	2	2
14	Compacité de l'épi	تراص السنبله	7	7	3
15	Forme du grain	شكل الحبة	3	3	3
16	Longueur des poils de la brosse en vue dorsale du grain	طول الزغب الموجود على حبة القمح	7	7	5



4579CF Q Q=90Z x Kor (H 9) ❖

Code	Caractères F1	خواص الجيل الأول	P1	H	P2
1	Port au tallage	فترام الإبتداء	1	3	3
2	Fréquence des plantes avec la dernière feuille retombante	تتلي الورقة الأخيرة لتكرارات النبات	3	1	3
3	Epoque d'épiaison	فترة الإبتداء	5	5	3
4	Glaucescence de la gaine de la dernière feuille	الغبار الموجود في العمدة للورقة الأخيرة	7	7	9
5	Glaucescence du limbe de la dernière feuille	الورقة الأخير الغبار الموجود على سطح	3	3	1
8	Glaucescence de col de l'épi	الغبار الموجود على حلق السنبلة	5	5	7
9	Glaucescence de l'épi	الغبار الموجود على السنبلة	7	5	5
10	Hauteur de la plante	طول النبات	5	7	3
Caractères F2			خواص الجيل الثاني		
			مستوى التعبير		
			G1	G2	G3
1	Pigmentation anthocyanique de la barbe	تلون السداة بالبنفسجي	5	5	
2	Distribution des barbes de l'épi	توزيع السداة	4	4	
3	Longueur par rapport à l'épi des barbes dépassant l'extrémité de l'épi	طول السداة التي تحدث أطراف السنبلة	5	5	
4	Forme de la glume inférieure	شكل القنينة السفلية أو العصفة الداخلية	3	3	
5	Forme de la troncature de la glume inférieure	شكل la troncature القنينة السفلية أو العصفة الداخلية	3	3	
6	Largeur de la troncature de la glume inférieure	طول la troncature القنينة السفلية أو العصفة الداخلية	3	5	
7	Longueur de bec de la glume inférieure	طول منقار العصفة الداخلية للقنينة السفلية	7	7	
8	Forme du bec de la glume inférieure	شكل منقار العصفة الداخلية للقنينة السفلية	3	5	
9	Pilosité de la face externe de la glume	الزغب الخارجي للعصفة الداخلية	1	1	
10	Longueur de l'épi à l'exclusion des barbes	طول السنبلة متصلون عن السداة	7	7	
11	Pilosité du bord du premier article du rachis de l'épi	توزيع الجزء العلوي من المحور	1	5	
12	Couleur de l'épi	لون السنبلة	1	1	
13	Forme en vue de profil de l'épi	شكل السنبلة	2	2	
14	Compacité de l'épi	تراص السنبلة	7	7	
15	Forme du grain	شكل الحبة	2	3	
16	Longueur des poils de la brosse en vue dorsale du grain	طول الزغب الموجود على حبة القمح	1	1	



4579CF Q Q=90Z x Hau (H 10) ❖

Code	Caractères F1	خواص الجيل الأول	P1	H	P2
1	Port au tallage	فترام الإبتداء	1	1	3
2	Fréquence des plantes avec la dernière feuille retombante	تتلي الورقة الأخيرة لتكرارات النبات	3	5	3
3	Epoque d'épiaison	فترة الإبتداء	5	3	3
4	Glaucescence de la gaine de la dernière feuille	الغبار الموجود في العمدة للورقة الأخيرة	7	7	7
5	Glaucescence du limbe de la dernière feuille	الورقة الأخير الغبار الموجود على سطح	3	3	3
8	Glaucescence de col de l'épi	الغبار الموجود على حلق السنبلة	5	5	7
9	Glaucescence de l'épi	الغبار الموجود على السنبلة	7	5	5
10	Hauteur de la plante	طول النبات	5	7	3
Caractères F2			خواص الجيل الثاني		
			مستوى التعبير		
			G1	G2	G3
1	Pigmentation anthocyanique de la barbe	تلون السداة بالبنفسجي	1	5	5
2	Distribution des barbes de l'épi	توزيع السداة	4	4	4
3	Longueur par rapport à l'épi des barbes dépassant l'extrémité de l'épi	طول السداة التي تحدث أطراف السنبلة	1	3	3
4	Forme de la glume inférieure	شكل القنينة السفلية أو العصفة الداخلية	3	7	7
5	Forme de la troncature de la glume inférieure	شكل la troncature القنينة السفلية أو العصفة الداخلية	1	1	1
6	Largeur de la troncature de la glume inférieure	طول la troncature القنينة السفلية أو العصفة الداخلية	1	1	1
7	Longueur de bec de la glume inférieure	طول منقار العصفة الداخلية للقنينة السفلية	7	7	7
8	Forme du bec de la glume inférieure	شكل منقار العصفة الداخلية للقنينة السفلية	1	1	5
9	Pilosité de la face externe de la glume	الزغب الخارجي للعصفة الداخلية	7	7	7
10	Longueur de l'épi à l'exclusion des barbes	طول السنبلة متصلون عن السداة	5	5	5
11	Pilosité du bord du premier article du rachis de l'épi	توزيع الجزء العلوي من المحور	1	5	7
12	Couleur de l'épi	لون السنبلة	2	1	1
13	Forme en vue de profil de l'épi	شكل السنبلة	2	1	1
14	Compacité de l'épi	تراص السنبلة	1	7	7
15	Forme du grain	شكل الحبة	3	3	3
16	Longueur des poils de la brosse en vue dorsale du grain	طول الزغب الموجود على حبة القمح	7	7	7



4579CF Q Q DOZ x INRAT (H 11) ❖

Code	Caractères F1	خواص الجيل الأول	P1	H	P2
1	Port au tallage	فترام الإبتداء	1	1	3
2	Fréquence des plantes avec la dernière feuille retombante	تتلي الورقة الأخيرة لتكرارات النبات	3	3	3
3	Epoque d'épiaison	فترة الإسدال	5	5	3
4	Glaucescence de la gaine de la dernière feuille	الغبار الموجود في العمدة الورقة الأخيرة	7	7	9
5	Glaucescence du limbe de la dernière feuille	الورقة الأخيرة الموجود على سطح	3	3	3
8	Glaucescence de col de l'épi	الغبار الموجود على عنق السنبل	5	5	7
9	Glaucescence de l'épi	الغبار الموجود على السنبل	7	5	5
10	Hauteur de la plante	طول النبات	5	7	3
	Caractères F2	خواص الجيل الثاني	التعبير	مستوى	
			G1	G2	G3
1	Pigmentation anthocyanique de la barbe	تلون السداة بالبنفسجي	5		
2	Distribution des barbes de l'épi	توزيع السداة	4		
3	Longueur par rapport à l'épi des barbes dépassant l'extrémité de l'épi	طول السداة التي تكدت أطراف السنبل	5		
4	Forme de la glume inférieure	شكل القبة السفلية أو العصبة الداخلية	7		
5	Forme de la troncature de la glume inférieure	اللتبعية السفلية أو العصبة الداخلية la troncature	1		
6	Largeur de la troncature de la glume inférieure	اللتبعية السفلية أو العصبة الداخلية la troncature	5		
7	Longueur de bec de la glume inférieure	طول منقار العصبة الداخلية لللتبعية السفلية	7		
8	Forme du bec de la glume inférieure	شكل منقار العصبة الداخلية لللتبعية السفلية	5		
9	Pilosité de la face externe de la glume	الزغب الخارجي للعصبة الداخلية	5		
10	Longueur de l'épi à l'exclusion des barbes	طول السنبل مقصول عن السداة	5		
11	Pilosité du bord du premier article du rachis de l'épi	زغب الجزء العلوي من المحور	5		
12	Couleur de l'épi	لون السنبل	3		
13	Forme en vue de profil de l'épi	شكل السنبل	1		
14	Compacité de l'épi	تراص السنبل	7		
15	Forme du grain	شكل الحبة	3		
16	Longueur des poils de la brosse en vue dorsale du grain	طول الزغب الموجود على حبة القمح	7		



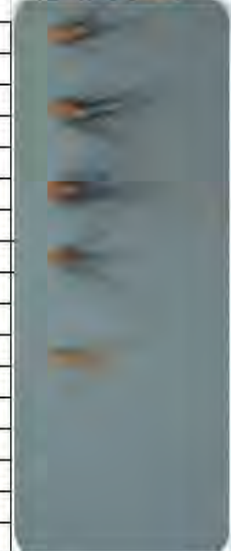
4579CF Q Q DGGR x Vit (H 12) ❖

Code	Caractères F1	خواص الجيل الأول	P1	H	P2
1	Port au tallage	فترام الإبتداء	1	3	1
2	Fréquence des plantes avec la dernière feuille retombante	تتلي الورقة الأخيرة لتكرارات النبات	1	3	1
3	Epoque d'épiaison	فترة الإسدال	5	3	3
4	Glaucescence de la gaine de la dernière feuille	الغبار الموجود في العمدة الورقة الأخيرة	7	7	9
5	Glaucescence du limbe de la dernière feuille	الغبار الموجود على سطح	3	5	3
8	Glaucescence de col de l'épi	الغبار الموجود على عنق السنبل	5	5	7
9	Glaucescence de l'épi	الغبار الموجود على السنبل	5	7	5
10	Hauteur de la plante	طول النبات	5	7	3
	Caractères F2	خواص الجيل الثاني	التعبير	مستوى	
			G1	G2	G3
1	Pigmentation anthocyanique de la barbe	تلون السداة بالبنفسجي	7	1	1
2	Distribution des barbes de l'épi	توزيع السداة	4	4	4
3	Longueur par rapport à l'épi des barbes dépassant l'extrémité de l'épi	طول السداة التي تكدت أطراف السنبل	4	7	5
4	Forme de la glume inférieure	شكل القبة السفلية أو العصبة الداخلية	7	7	7
5	Forme de la troncature de la glume inférieure	اللتبعية السفلية أو العصبة الداخلية la troncature	3	7	1
6	Largeur de la troncature de la glume inférieure	اللتبعية السفلية أو العصبة الداخلية la troncature	3	5	5
7	Longueur de bec de la glume inférieure	طول منقار العصبة الداخلية لللتبعية السفلية	7	7	7
8	Forme du bec de la glume inférieure	شكل منقار العصبة الداخلية لللتبعية السفلية	3	5	1
9	Pilosité de la face externe de la glume	الزغب الخارجي للعصبة الداخلية	3	5	1
10	Longueur de l'épi à l'exclusion des barbes	طول السنبل مقصول عن السداة	7	1	1
11	Pilosité du bord du premier article du rachis de l'épi	زغب الجزء العلوي من المحور	5	1	1
12	Couleur de l'épi	لون السنبل	1	1	1
13	Forme en vue de profil de l'épi	شكل السنبل	1	1	2
14	Compacité de l'épi	تراص السنبل	7	7	7
15	Forme du grain	شكل الحبة	2	2	3
16	Longueur des poils de la brosse en vue dorsale du grain	طول الزغب الموجود على حبة القمح	7	7	3



4567903F Q Q GGR x Kor (H 13) ❖

Code	Caractères F1	خواص الجيل الأول	P1	H	P2
			G1	G2	G3
1	Port au tallage	فَرم الإشطاء	1	1	3
2	Fréquence des plantes avec la dernière feuille retombante	تتلي الورقة الأخيرة لتكرارات النبات	1	3	3
3	Epoque d'épiaison	فترة الإنبال	5	5	3
4	Glaucescence de la gaine de la dernière feuille	الغبار الموجود في الغمد للورقة الأخيرة	7	7	9
5	Glaucescence du limbe de la dernière feuille	الورقة الأخيرة على سطح الغبار الموجود على سطح	3	1	1
8	Glaucescence de col de l'épi	الغبار الموجود على عنق السنبل	5	5	7
9	Glaucescence de l'épi	الغبار الموجود على السنبل	5	5	5
10	Hauteur de la plante	طول النبات	5	7	3
	Caractères F2	خواص الجيل الثاني	مستوى التعبير		
			G1	G2	G3
1	Pigmentation anthocyanique de la barbe	تلون السداة بالبنفسجي	5	5	5
2	Distribution des barbes de l'épi	توزيع السداة	4	4	4
3	Longueur par rapport à l'épi des barbes dépassant l'extrémité de l'épi	طول السداة التي تحت أطراف السنبل	7	7	5
4	Forme de la glume inférieure	شكل القبة السفلية أو الحصة الداخلية	7	7	7
5	Forme de la troncature de la glume inférieure	شكل التتبعية السفلية أو الحصة الداخلية	3	3	5
6	Largeur de la troncature de la glume inférieure	طول التتبعية السفلية أو الحصة الداخلية	3	3	5
7	Longueur de bec de la glume inférieure	طول منقار الحصة الداخلية للتتبعية السفلية	7	7	7
8	Forme du bec de la glume inférieure	شكل منقار الحصة الداخلية للتتبعية السفلية	5	1	3
9	Pilosité de la face externe de la glume	الزغب الخارجي للحصة الداخلية	1	1	1
10	Longueur de l'épi à l'exclusion des barbes	طول السنبل متصل من السداة	7	5	5
11	Pilosité du bord du premier article du rachis de l'épi	زغب الجزء العلوي من المحور	5	1	1
12	Couleur de l'épi	لون السنبل	1	1	1
13	Forme en vue de profil de l'épi	شكل السنبل	1	1	2
14	Compacité de l'épi	تراص السنبل	7	7	7
15	Forme du grain	شكل الحبة	2	2	3
16	Longueur des poils de la brosse en vue dorsale du grain	طول الزغب الموجود على حبة القمح	7	7	3



4567903F Q Q GGR x Hau (H 14) ❖

Code	Caractères F1	خواص الجيل الأول	P1	H	P2
			G1	G2	G3
1	Port au tallage	فَرم الإشطاء	1	1	3
2	Fréquence des plantes avec la dernière feuille retombante	تتلي الورقة الأخيرة لتكرارات النبات	1	3	3
3	Epoque d'épiaison	فترة الإنبال	5	5	3
4	Glaucescence de la gaine de la dernière feuille	الغبار الموجود في الغمد للورقة الأخيرة	7	5	7
5	Glaucescence du limbe de la dernière feuille	الورقة الأخيرة على سطح الغبار الموجود على سطح	3	3	3
8	Glaucescence de col de l'épi	الغبار الموجود على عنق السنبل	5	3	7
9	Glaucescence de l'épi	الغبار الموجود على السنبل	5	3	5
10	Hauteur de la plante	طول النبات	5	5	3
	Caractères F2	خواص الجيل الثاني	مستوى التعبير		
			G1	G2	G3
1	Pigmentation anthocyanique de la barbe	تلون السداة بالبنفسجي	5		
2	Distribution des barbes de l'épi	توزيع السداة	4		
3	Longueur par rapport à l'épi des barbes dépassant l'extrémité de l'épi	طول السداة التي تحت أطراف السنبل	7		
4	Forme de la glume inférieure	شكل القبة السفلية أو الحصة الداخلية	7		
5	Forme de la troncature de la glume inférieure	شكل التتبعية السفلية أو الحصة الداخلية	1		
6	Largeur de la troncature de la glume inférieure	طول التتبعية السفلية أو الحصة الداخلية	1		
7	Longueur de bec de la glume inférieure	طول منقار الحصة الداخلية للتتبعية السفلية	7		
8	Forme du bec de la glume inférieure	شكل منقار الحصة الداخلية للتتبعية السفلية	1		
9	Pilosité de la face externe de la glume	الزغب الخارجي للحصة الداخلية	9		
10	Longueur de l'épi à l'exclusion des barbes	طول السنبل متصل من السداة	7		
11	Pilosité du bord du premier article du rachis de l'épi	زغب الجزء العلوي من المحور	7		
12	Couleur de l'épi	لون السنبل	3		
13	Forme en vue de profil de l'épi	شكل السنبل	1		
14	Compacité de l'épi	تراص السنبل	7		
15	Forme du grain	شكل الحبة	3		
16	Longueur des poils de la brosse en vue dorsale du grain	طول الزغب الموجود على حبة القمح	7		



4579CBF Q Q GGR x INRAT (H 15) ❖

Code	Caractères F1	خواص الجيل الأول	P1	H	P2		
1	Port au tallage	قوام الإبتداء	1	3	3		
2	Fréquence des plantes avec la dernière feuille retombante	تدلي الورقة الأخيرة لتكرارات النبات	1	3	3		
3	Epoque d'épiaison	فترة الإنبال	5	5	3		
4	Glaucescence de la gaine de la dernière feuille	الغبار الموجود في الغمد للورقة الأخيرة	7	7	9		
5	Glaucescence du limbe de la dernière feuille	الورقة الأخيرة للغبار الموجود على سطح	3	3	3		
8	Glaucescence de col de l'épi	الغبار الموجود على حلق السنبله	5	5	7		
9	Glaucescence de l'épi	الغبار الموجود على السنبله	5	7	5		
10	Hauteur de la plante	طول النبات	5	7	3		
	Caractères F2	خواص الجيل الثاني	التعبير				
			G1	G2	G3		
1	Pigmentation anthocyannique de la barbe	تلون السداة بالبنفسجي	5	1	1		
2	Distribution des barbes de l'épi	توزيع السداة	4	4	4		
3	Longueur par rapport à l'épi des barbes dépassant l'extrémité de l'épi	طول السداة التي تحدث أطراف السنبله	7	9	7		
4	Forme de la glume inférieure	شكل القتيعة السفلية أو العصفة الداخلية	7	5	5		
5	Forme de la troncature de la glume inférieure	شكل القتيعة السفلية أو العصفة الداخلية	3	5	1		
6	Largeur de la troncature de la glume inférieure	طول القتيعة السفلية أو العصفة الداخلية	3	1	1		
7	Longueur de bec de la glume inférieure	طول منقار العصفة الداخلية للقتيعة السفلية	7	7	7		
8	Forme du bec de la glume inférieure	شكل منقار العصفة الداخلية للقتيعة السفلية	1	1	5		
9	Pilosité de la face externe de la glume	الزغب الخارجي للعصفة الداخلية	1	1	1		
10	Longueur de l'épi à l'exclusion des barbes	طول السنبله مفصول عن السداة	5	5	5		
11	Pilosité du bord du premier article du rachis de l'épi	تزرغب الجزء العلوي من المحور	1	1	1		
12	Couleur de l'épi	لون السنبله	1	2	2		
13	Forme en vue de profil de l'épi	شكل السنبله	1	1	1		
14	Compacité de l'épi	تراص السنبله	7	7	7		
15	Forme du grain	شكل الحبة	3	3	2		
16	Longueur des poils de la brosse en vue dorsale du grain	طول الزغب الموجود على حبة القمح	5	7	5		

4579CBF Q Q MBB x Vit (H 16) ❖

Code	Caractères F1	خواص الجيل الأول	P1	H	P2		
1	Port au tallage	قوام الإبتداء	1	3	1		
2	Fréquence des plantes avec la dernière feuille retombante	تدلي الورقة الأخيرة لتكرارات النبات	7	1	1		
3	Epoque d'épiaison	فترة الإنبال	5	5	3		
4	Glaucescence de la gaine de la dernière feuille	الغبار الموجود في الغمد للورقة الأخيرة	7	7	9		
5	Glaucescence du limbe de la dernière feuille	الغبار الموجود على سطح الورقة الأخيرة	1	3	3		
8	Glaucescence de col de l'épi	الغبار الموجود على حلق السنبله	7	3	5		
9	Glaucescence de l'épi	الغبار الموجود على السنبله	5	1	5		
10	Hauteur de la plante	طول النبات	5	7	3		
	Caractères F2	خواص الجيل الثاني	التعبير				
			G1	G2	G3		
1	Pigmentation anthocyannique de la barbe	تلون السداة بالبنفسجي	7	7	9		
2	Distribution des barbes de l'épi	توزيع السداة	4	4	4		
3	Longueur par rapport à l'épi des barbes dépassant l'extrémité de l'épi	طول السداة التي تحدث أطراف السنبله	7	7	7		
4	Forme de la glume inférieure	شكل القتيعة السفلية أو العصفة الداخلية	3	3	7		
5	Forme de la troncature de la glume inférieure	شكل القتيعة السفلية أو العصفة الداخلية	5	3	5		
6	Largeur de la troncature de la glume inférieure	طول القتيعة السفلية أو العصفة الداخلية	5	5	3		
7	Longueur de bec de la glume inférieure	طول منقار العصفة الداخلية للقتيعة السفلية	5	7	7		
8	Forme du bec de la glume inférieure	شكل منقار العصفة الداخلية للقتيعة السفلية	5	1	1		
9	Pilosité de la face externe de la glume	الزغب الخارجي للعصفة الداخلية	9	9	9		
10	Longueur de l'épi à l'exclusion des barbes	طول السنبله مفصول عن السداة	5	5	7		
11	Pilosité du bord du premier article du rachis de l'épi	تزرغب الجزء العلوي من المحور	7	7	7		
12	Couleur de l'épi	لون السنبله	2	1	1		
13	Forme en vue de profil de l'épi	شكل السنبله	1	1	1		
14	Compacité de l'épi	تراص السنبله	7	7	7		
15	Forme du grain	شكل الحبة	2	2	3		
16	Longueur des poils de la brosse en vue dorsale du grain	طول الزغب الموجود على حبة القمح	7	5	7		

4579CBF Q Q MBB x Kor (H 17) ❖

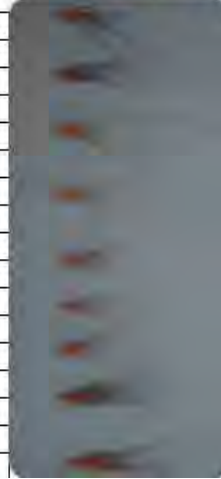
Code	Caractères F1	خواص الجيل الأول	P1	H	P2			
							Caractères F2	
						مستوى التعبير		
						G1	G2	G3
1	Port au tallage	قوام الإشتاء	1	3	3			
2	Fréquence des plantes avec la dernière feuille retombante	تدلي الورقة الأخيرة لتكرارات النبات	7	5	3			
3	Epoque d'épiaison	فترة الإسهال	5	5	3			
4	Glaucescence de la gaine de la dernière feuille	الغبار الموجود في العمدة للورقة الأخيرة	7	7	9			
5	Glaucescence du limbe de la dernière feuille	الورقة الأخيرة الغبار الموجود على سطح	1	1	1			
8	Glaucescence de col de l'épi	الغبار الموجود على عنق السنبله	7	5	7			
9	Glaucescence de l'épi	الغبار الموجود على السنبله	5	3	5			
10	Hauteur de la plante	طول النبات	5	7	3			
1	Pigmentation anthocyanique de la barbe	تلون السداة بالبنفسجي	1	1	7			
2	Distribution des barbes de l'épi	توزيع السداة	4	4	4			
3	Longueur par rapport à l'épi des barbes dépassant l'extrémité de l'épi	طول السداة التي تحت أطراف السنبله	5	5	7			
4	Forme de la glume inférieure	شكل القنبعة السفلية أو الحصفة الداخلية	3	7	3			
5	Forme de la troncature de la glume inférieure	شكل القنبعة السفلية أو الحصفة الداخلية	5	1	3			
6	Largeur de la troncature de la glume inférieure	طول القنبعة السفلية أو الحصفة الداخلية	5	3	5			
7	Longueur de bec de la glume inférieure	طول منقار الحصفة الداخلية للسنبله	5	7	5			
8	Forme du bec de la glume inférieure	شكل منقار الحصفة الداخلية للسنبله	5	5	5			
9	Pilosité de la face externe de la glume	الزغب الخارجي للحصفة الداخلية	7	1	9			
10	Longueur de l'épi à l'exclusion des barbes	طول السنبله مفصول عن السداة	7	5	3			
11	Pilosité du bord du premier article du rachis de l'épi	تزعج الجزء العلوي من المحور	7	1	7			
12	Couleur de l'épi	لون السنبله	2	1	2			
13	Forme en vue de profil de l'épi	شكل السنبله	1	2	1			
14	Compacité de l'épi	تراص السنبله	7	7	7			
15	Forme du grain	شكل الحبه	2	3	2			
16	Longueur des poils de la brosse en vue dorsale du grain	طول الزغب الموجود على حبه القمح	1	7	1			

4579CBF Q Q MBB x Hau (H 18) ❖

Code	Caractères F1	خواص الجيل الأول	P1	H	P2			
							Caractères F2	
						مستوى التعبير		
						G1	G2	G3
1	Port au tallage	قوام الإشتاء	1	1	3			
2	Fréquence des plantes avec la dernière feuille retombante	تدلي الورقة الأخيرة لتكرارات النبات	7	7	3			
3	Epoque d'épiaison	فترة الإسهال	5	3	3			
4	Glaucescence de la gaine de la dernière feuille	الغبار الموجود في العمدة للورقة الأخيرة	7	7	7			
5	Glaucescence du limbe de la dernière feuille	الورقة الأخيرة الغبار الموجود على سطح	1	3	3			
8	Glaucescence de col de l'épi	الغبار الموجود على عنق السنبله	7	5	7			
9	Glaucescence de l'épi	الغبار الموجود على السنبله	5	5	5			
10	Hauteur de la plante	طول النبات	5	7	3			
1	Pigmentation anthocyanique de la barbe	تلون السداة بالبنفسجي	5	7	1			
2	Distribution des barbes de l'épi	توزيع السداة	4	4	4			
3	Longueur par rapport à l'épi des barbes dépassant l'extrémité de l'épi	طول السداة التي تحت أطراف السنبله	7	3	7			
4	Forme de la glume inférieure	شكل القنبعة السفلية أو الحصفة الداخلية	3	7	7			
5	Forme de la troncature de la glume inférieure	شكل القنبعة السفلية أو الحصفة الداخلية	3	5	5			
6	Largeur de la troncature de la glume inférieure	طول القنبعة السفلية أو الحصفة الداخلية	3	5	5			
7	Longueur de bec de la glume inférieure	طول منقار الحصفة الداخلية للسنبله	7	5	7			
8	Forme du bec de la glume inférieure	شكل منقار الحصفة الداخلية للسنبله	5	1	1			
9	Pilosité de la face externe de la glume	الزغب الخارجي للحصفة الداخلية	7	5	7			
10	Longueur de l'épi à l'exclusion des barbes	طول السنبله مفصول عن السداة	5	3	5			
11	Pilosité du bord du premier article du rachis de l'épi	تزعج الجزء العلوي من المحور	1	1	7			
12	Couleur de l'épi	لون السنبله	2	1	2			
13	Forme en vue de profil de l'épi	شكل السنبله	1	2	1			
14	Compacité de l'épi	تراص السنبله	7	3	7			
15	Forme du grain	شكل الحبه	2	2	2			
16	Longueur des poils de la brosse en vue dorsale du grain	طول الزغب الموجود على حبه القمح	1	7	1			

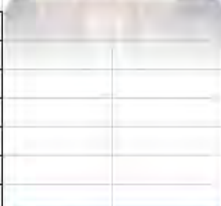
4579CBF Q Q=9 MBB x INRAT (H 19) ❖

Code	Caractères F1	خواص الجيل الأول	P1	H	P2
1	Port au tallage	فوام الإبتداء	1	3	3
2	Fréquence des plantes avec la dernière feuille retombante	تدلي الورقة الأخيرة لتكرارات النبات	7	7	3
3	Epoque d'épiaison	فترة الإسدال	5	3	3
4	Glaucescence de la gaine de la dernière feuille	الغبار الموجود في الغمد للورقة الأخيرة	7	7	9
5	Glaucescence du limbe de la dernière feuille	الورقة الأخيرة على سطح الغبار الموجود على سطح	1	3	3
8	Glaucescence de col de l'épi	الغبار الموجود على عنق السنبل	7	5	7
9	Glaucescence de l'épi	الغبار الموجود على السنبل	5	3	5
10	Hauteur de la plante	طول النبات	5	7	3
Caractères F2			مستوى التعبير		
			G1	G2	G3
1	Pigmentation anthocyanique de la barbe	تلون السداة بالبنفسجي	1	5	1
2	Distribution des barbes de l'épi	توزيع السداة	4	4	4
3	Longueur par rapport à l'épi des barbes dépassant l'extrémité de l'épi	طول السداة التي تحدث أطراف السنبل	9	7	7
4	Forme de la glume inférieure	شكل القبة السفلية أو العصبة الداخلية	3	3	3
5	Forme de la troncature de la glume inférieure	شكل القبة السفلية أو العصبة الداخلية	3	5	3
6	Largeur de la troncature de la glume inférieure	طول القبة السفلية أو العصبة الداخلية	3	5	7
7	Longueur de bec de la glume inférieure	طول منقار العصبة الداخلية للقبة السفلية	5	5	7
8	Forme du bec de la glume inférieure	شكل منقار العصبة الداخلية للقبة السفلية	1	1	5
9	Pilosité de la face externe de la glume	الزغب الخارجي للعصبة الداخلية	7	7	7
10	Longueur de l'épi à l'exclusion des barbes	طول السنبل متصل عن السداة	5	5	3
11	Pilosité du bord du premier article du rachis de l'épi	زغب الجزء العلوي من المحور	7	5	7
12	Couleur de l'épi	لون السنبل	2	1	2
13	Forme en vue de profil de l'épi	شكل السنبل	1	2	1
14	Compacité de l'épi	تراص السنبل	7	3	7
15	Forme du grain	شكل الحبة	3	3	3
16	Longueur des poils de la brosse en vue dorsale du grain	طول الزغب الموجود على حبة القمح	7	9	7



4579CBF Q Q=9 DK x Kor (H 20) ❖

Code	Caractères F1	خواص الجيل الأول	P1	H	P2
1	Port au tallage	فوام الإبتداء	1	7	3
2	Fréquence des plantes avec la dernière feuille retombante	تدلي الورقة الأخيرة لتكرارات النبات	1	1	3
3	Epoque d'épiaison	فترة الإسدال	7	9	3
4	Glaucescence de la gaine de la dernière feuille	الغبار الموجود في الغمد للورقة الأخيرة	5	5	9
5	Glaucescence du limbe de la dernière feuille	الغبار الموجود على سطح الورقة الأخيرة	1	1	3
8	Glaucescence de col de l'épi	الغبار الموجود على عنق السنبل	5	5	7
9	Glaucescence de l'épi	الغبار الموجود على السنبل	3	5	5
10	Hauteur de la plante	طول النبات	5	5	3
Caractères F2			مستوى التعبير		
			G1	G2	G3
1	Pigmentation anthocyanique de la barbe	تلون السداة بالبنفسجي	1		
2	Distribution des barbes de l'épi	توزيع السداة	4		
3	Longueur par rapport à l'épi des barbes dépassant l'extrémité de l'épi	طول السداة التي تحدث أطراف السنبل	3		
4	Forme de la glume inférieure	شكل القبة السفلية أو العصبة الداخلية	5		
5	Forme de la troncature de la glume inférieure	شكل القبة السفلية أو العصبة الداخلية	5		
6	Largeur de la troncature de la glume inférieure	طول القبة السفلية أو العصبة الداخلية	7		
7	Longueur de bec de la glume inférieure	طول منقار العصبة الداخلية للقبة السفلية	3		
8	Forme du bec de la glume inférieure	شكل منقار العصبة الداخلية للقبة السفلية	1		
9	Pilosité de la face externe de la glume	الزغب الخارجي للعصبة الداخلية	1		
10	Longueur de l'épi à l'exclusion des barbes	طول السنبل متصل عن السداة	5		
11	Pilosité du bord du premier article du rachis de l'épi	زغب الجزء العلوي من المحور	3		
12	Couleur de l'épi	لون السنبل	2		
13	Forme en vue de profil de l'épi	شكل السنبل	1		
14	Compacité de l'épi	تراص السنبل	5		
15	Forme du grain	شكل الحبة	3		
16	Longueur des poils de la brosse en vue dorsale du grain	طول الزغب الموجود على حبة القمح	7		



شكل III:14: حوصلة البطاقات الوصفية لهجن 2005-2006

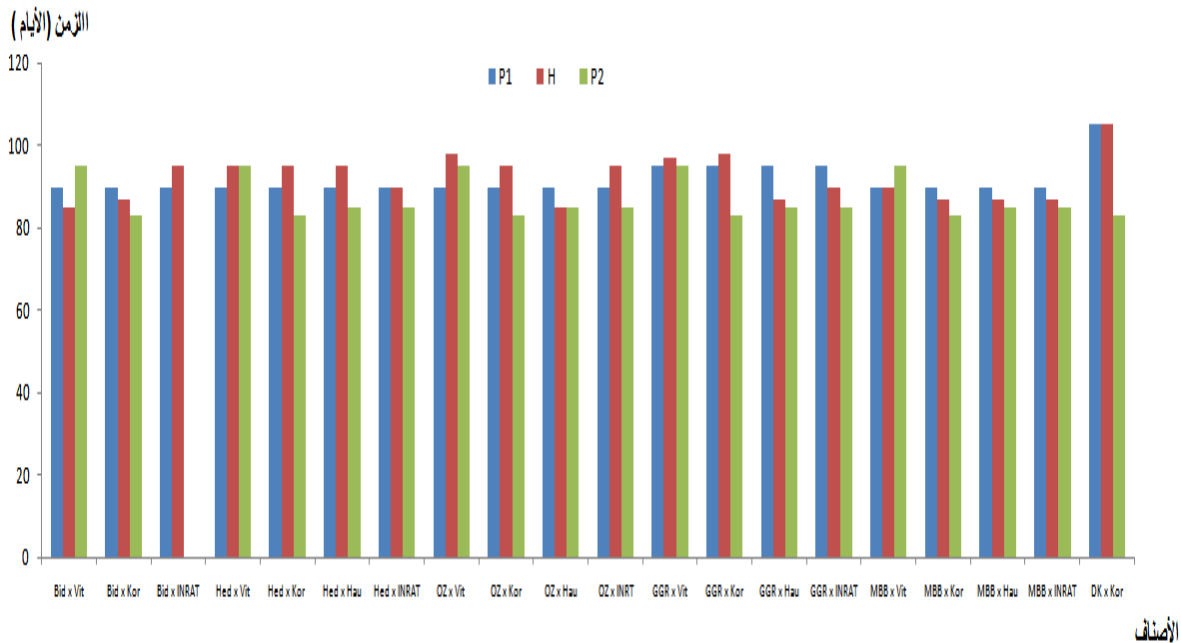
2.3. لخصائص لفينولوجية

تم تتبع دورة حياة 30 صنف من القمح للصلب من الزرع حتى النضج. توضح الدراسة الإحصائية وجود فرق جد معنوي بين الأصناف (أباء وهجن) خلال مراحل الحياة وقد تم تجميع الأصناف وفقا لاختيار NKS و تقدير قوة لهجين .

ليكننا نأخذ بعين الاعتبار هنا فقط مرحلة التكبير و التي توافق مرحلة الإسبال.

أمكن ترتيب لهجن وفعال فترة التكبير في الإسبال لى أربع فئات (شكل III₁₅): تشمل لفئة الأولى لهجن التي لها فترة إسبال أقل من فترة إسبال كلا أبويها وهي لهجينين Bi x Vit و GGR x Vit بدرجة توريث 8.10% و 2.10%. تضم لفئة لثانية لهجن التي تمثل فترة إسبال مماثلة لأحد الأبوين وهي لهجن : Hed x INRAT , OZ x Hau , MBB x Vit و Dk x Kor . تمثل لفئة لثالثة لهجن التي تمثل فترة إسبال وسطية بين فترتي إسبال الأبوين وهي لهجن MBB x Kor , GGR x INRAT , GGR x Hau , Bi x Kor , MBB x INRAT و MBB x Hau .

أما لفئة لرابعة فنظم لهجن لمتبقية و التي تمثل فترة إسبال أكبر من فترتي إسبال كلا الأبوين بكسب في درجة لتوريث بنسبة محصورة بين 2.85% و 10.52%.



شكل III₁₅ : مرحلة الإسبال عند هجن 2005-2006

سمح اختبار NKS من فرز جميع الأصناف لى 6 مجموعات متجانسة وهي:

1- تضم لمجموعة الأولى الأب Dk و لهجين Dk x Kor و Dk x بمتوسط إسبال 105 يوم .

2- تضم المجموعة الثانية لهجن GGR x Vit, OZ x Vit, GGR x Kor بمتوسط 97 و 98 يوم على الترتيب.

3- تحتوي المجموعة الثالثة على الأبوين Vit و GGR ولهجن Bi x Kor, Hed x Hau, Hed x Kor, OZ x Kor, INRAT, Hed x Vit, OZ x INRAT بمتوسط 95 يوم.

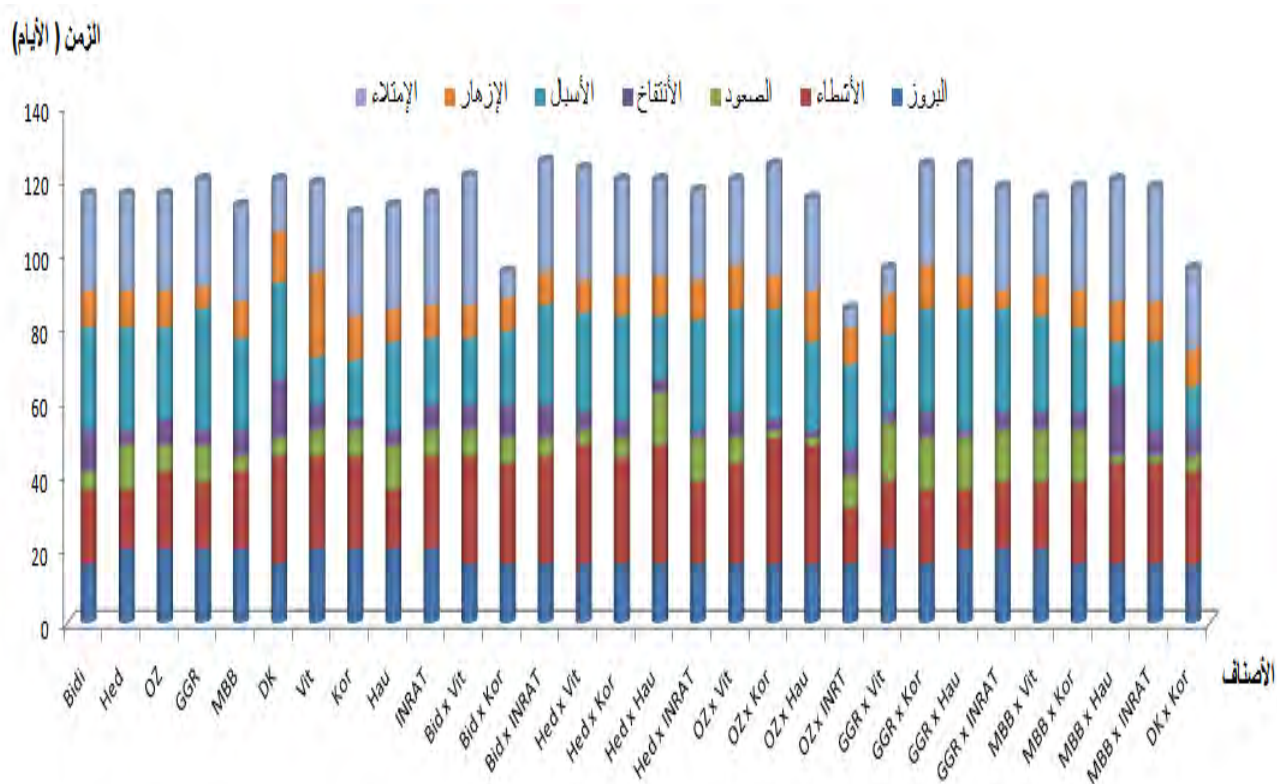
4- تضم المجموعة الرابعة الآباء Bi, OZ, INRAT, Hed, MBB ولهجنين GGR x INRAT, INRAT بمتوسط 90 يوم.

5- تشمل المجموعة الخامسة لهجن MBB x Kor, Bi x Kor, MBB x INRAT, MBB x Hau

GGR x Hau, OZ x Hau, Bi x Vit, والأب INRAT بمعدل 85 يوم.

6- أما المجموعة السادسة فتتفرد بالأب Kor بمعدل إسبال 83 يوم.

يمثل شكل III₁₆ عدد الأيام لكل مرحلة من مراحل دورة حياة النباتات وبقال مخطط Soltner (2005). والذي سمح لنا بترتيب الأصناف المدروسة إلى ثلاثة مجموعات. تم تجميع الأصناف وفقا لاختبار NKS وتقدير قوة لهجين لكل مرحلة.



شكل III₁₆ : مراحل دورة حياة أفراد الجيل الأول و آباءهال لهجن 2006-2005

✓ مجموعة الأصناف المبكرة وتضم الأصناف: Kor, MBB, OZ, Hed, Bi ولاهجينين OZ x Hau و MBB x Vit بمعدل 117 لى 122 يوم.

✓ مجموعة الأصناف لنصف متأخرة (المتأخرة) وتضم الآباء GGR, Vit, Hau, INRAT ،

ولاهجن Bi x Vit ، Hed x kor ، Hed x Hau ، Hed x INRAT ، OZ x INRAT ، MBB x Kor ، MBB x Hau ، MBB x INRAT ، GGR x INRAT بمعدل 125 لى 127 يوم .

✓ مجموعة الأصناف للمتأخرة جدا وتضم الأب Dk ولاهجن Bi x Kor ، Bi x INRAT ، Hed x Vit ،

✓ Hed x INRAT ، OZ x Vit ، OZ x Kor ، GGR x Vit ، GGR x Hau ، و DK x Kor بمعدل 131 لى 138 يوم.

3.3. دراسة لمكونات الأساسية ACP

1.3.3. دراسة الارتباط بين لمتغيرات

أسفر تحليل مصفوفة الارتباط لهجن (شكل III₁₇):

• يوجد ارتباط ايجابي و معنوي بين مرحلة الصعود SM و المراحل الانتفاخ ، الإنبال و الإزهار و كان معامل الارتباط $r_1 = 0.797$, $r_2 = 0.719$ $r_3 = 0.733$.

• نلاحظ كذلك ارتباط ايجابي و معنوي بين الانتفاخ و الإزهار و بين الانتفاخ و بين الأسبال و الإزهار حيث $r_1(\text{SGMF}) = 0.755$, $r_2(\text{SEMF}) = 0.860$ أي أن هذه الثلاث مراحل الحساسة في دورة حياة النبات تكون مترابطة فيما بينها .

• نلاحظ كذلك ارتباط ايجابي و معنوي بين طول السنبل و طول السفاة $r = 0.885$ و بين الأشطاء الحضري و السنبل $r = 0.671$.

• نلاحظ ارتباط سلبي و ايجابي بين الإشطاء الحضري و نسبة التحول و الإشطاء الحضري $r = 0.844$.

SL	ST	SM	SG	SE	SF	SR	SMA	HP	LE	LCE	LB	SF	TH	TE	TT	Em2
SL	1															
ST	0.071	1														
SM	-0.471	-0.169	1													
SG	-0.257	-0.289	0.797	1												
SE	-0.082	-0.035	0.719	0.860	1											
SF	-0.194	-0.252	0.733	0.755	0.703	1										
SR	-0.163	0.102	0.497	0.524	0.447	0.390	1									
SMA	-0.141	0.066	0.554	0.650	0.621	0.490	0.812	1								
HP	-0.606	-0.270	0.257	0.247	0.031	0.081	-0.122	-0.122	1							
LE	-0.427	-0.007	0.363	0.307	0.259	0.169	0.266	0.521	0.187	1						
LCE	0.018	-0.178	0.334	0.400	0.433	0.465	0.446	0.486	0.184	0.206	1					
LB	-0.105	0.069	0.288	0.316	0.342	-0.023	0.284	0.366	0.338	0.865	0.161	1				
SF	-0.421	0.255	0.419	0.327	0.263	0.063	0.292	0.247	0.428	0.494	-0.053	0.500	1			
TH	-0.156	-0.305	-0.052	0.005	-0.194	-0.063	-0.077	-0.253	0.381	-0.132	-0.222	-0.325	-0.067	1		
TE	-0.066	-0.330	-0.169	0.076	-0.062	-0.038	-0.055	-0.053	0.128	-0.147	-0.180	-0.266	0.671	0.671	1	
TT	0.044	0.287	-0.002	0.073	0.220	0.031	0.215	0.416	-0.420	0.078	0.272	0.218	0.011	-0.844	-0.276	1
Em2	0.141	-0.086	0.003	-0.172	-0.095	0.005	-0.352	-0.376	-0.148	-0.411	-0.276	-0.469	-0.315	0.420	0.203	-0.516

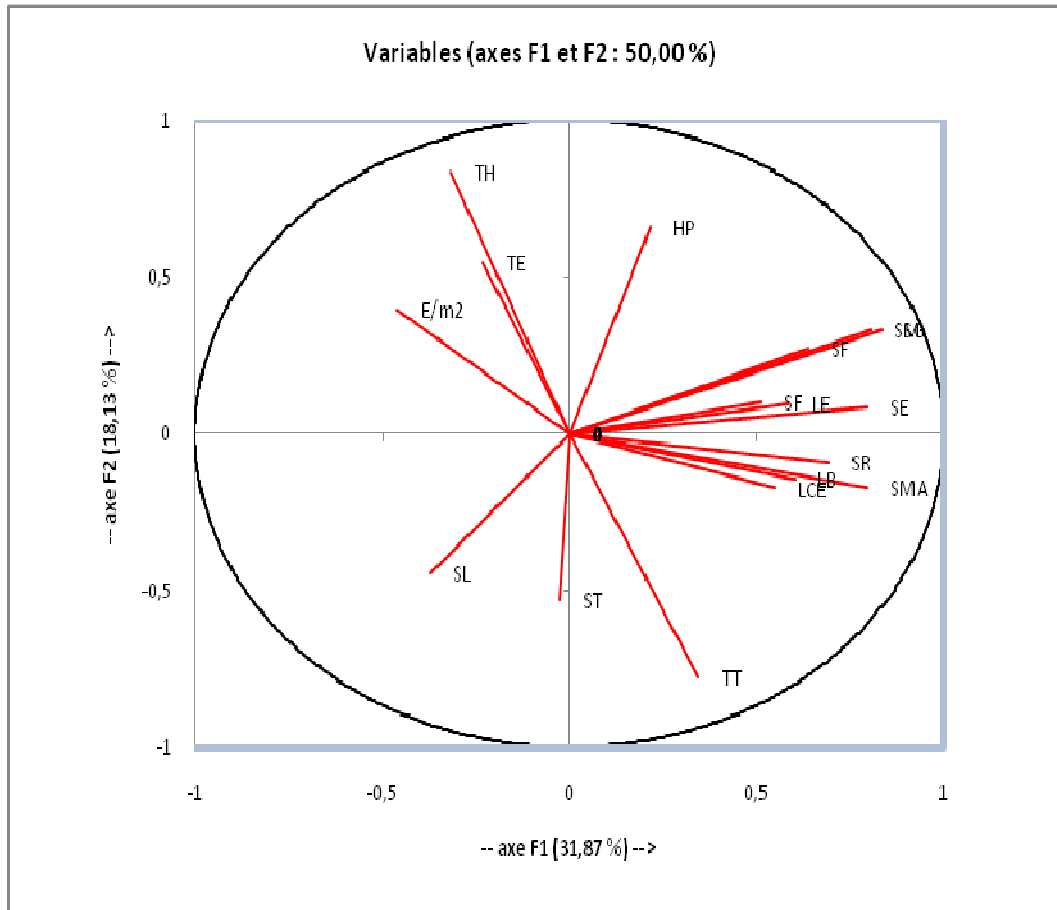
En gras valeurs significatives (hors diagonale) au seuil alpha=0.050 (test bilatéral)

شكل 17III : مصفوفة الارتباط لأفراد لجيل الأول و آباءهال هجن 2006-2005

2.3.3. دراسة لمتغيرات

يفسر التباين بين الأفراد المدروسة و المتغيرات الكمية المقاسة بلمحورين الأول F1 و الثاني F2 بنسبة 31.87 % و 18.13 % مما يعطي تعبيراً مفسراً في المعلم (F1, F2) بنسبة 50.00 % . و هي نسبة عالية لتفسير التباين و الاختلاف بين الأصناف المدروسة (شكل III₁₈).
 للمتغير SG ممثلة جيد جداً في المعلم (F1, F2) حيث كانت $r^2 > 0.85$.

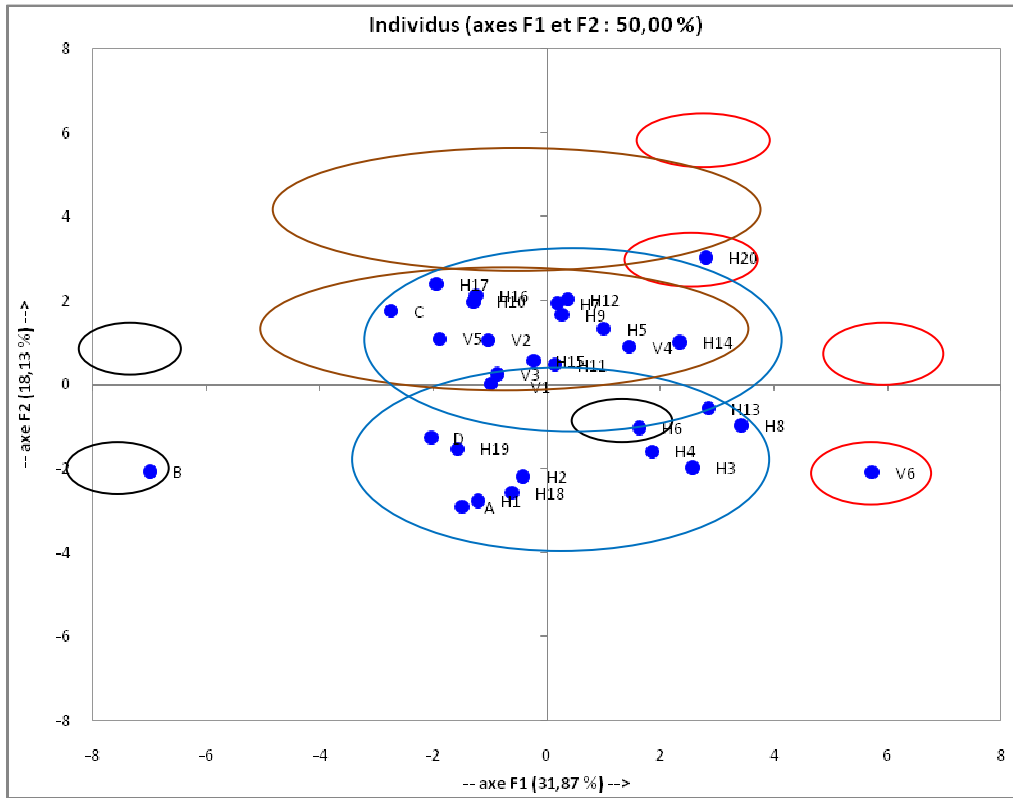
المتغيرات TT, TH, Sma, SE, SM مفسر جيدا في المعلم 2-1 حيث $0.65 > r^2 > 0.80$.
 للمتغيرات المتبقية كلها مفسرة بشكل رديء في المعلم 2-1 حيث $0.20 > r^2 > 0.40$.
 يمثل المحور الأول بل مراحل الفينولوجية SM, SG, SE, SF, SR, Sma و طول عنق السنبله مما يدل أن
 الأصناف الموجودة على هذا المعلم تمتاز بتبكير في الإنبال و متأقلمة مع نقص الماء.
 أما المحور الثاني فإنه يمثل بطول النباتات ، مكونات الإنتاج و التبكير في البروز و الإشتاء أي الأصناف الواقعة
 بهذا المحور تمتاز باشطاء علي .



شكل III₁₈: دراسة المتغيرات لمكونات الأساسية لهجن 2005 - 2006

3.3.3. دراسة الأفراد (الأصناف)

يصعب التمييز في هذه اللحظة بين جميع لهجن المدرسة (شكل III₁₉)، لكن يمكن تمييز الأبوين Kor و Dk و لهجنين H6 و H20. فالأب Kor يتميز بأنه صنف مبكر جدا مقارنة بالأصناف المبكرة فهو يتجنب الجفاف . يتميز الأب Dk بطول نبات مهم و عنق سنبله طويل فهو يتحمل نقص الماء.
 أما لهجن H6 = Hed x Hau فهو يقترب من خصائص الأصناف الطويلة فهو ذو طول معتبر أكتسبه من الأب الأنثى Hed. نفس الشيء لهجن H20 = Dk x Kor الذي أكتسب الطول و التأخير في البروز من الأب الأنثى Dk.



شكل III 19: دراسة الأفراد هجن 2005-2006

لتجربة الأولى: تراكم لبرلين في مرحلة لباذرات (لصف لورقي لثلث و لرابع)

أقر كثير من الباحثين أن تراكم لبرلين على مستوى الأنسجة النباتية ومنها الأوراق مرتبط بنقص الماء و لتعديل الأسموزي، كما يبرز تباينا كبيرا بين مختلف الأصناف و الذي يمكن توضحه بمدى تحمل لاصنف ليجفاف. فيرتفع محتوى لبرلين نسبيا في أوراق لقمح لصلب مع انخفاض محتوى الماء في وسط لانمو بصفة عامة. يكون هذا المحتوى ضعيفا عند 75 % من لسعة لالحقلية (شكل III_{19a}) و يتراوح بين 0.26 ± 0.46 ميكرومول/ملغ مادة جافة عند لاصنف لسوري Vit إلى 1.15 ± 3.85 ميكرومول / ملغ مادة جافة عند لاصنف لجزائري GGR ، و يكون معتبرا عند لاصنفين لجزائريين Dk (0.80 ± 2.61 ميكرومول/ملغ مادة جافة) و MBB (1.30 ± 2.99 ميكرومول/ملغ مادة جافة).

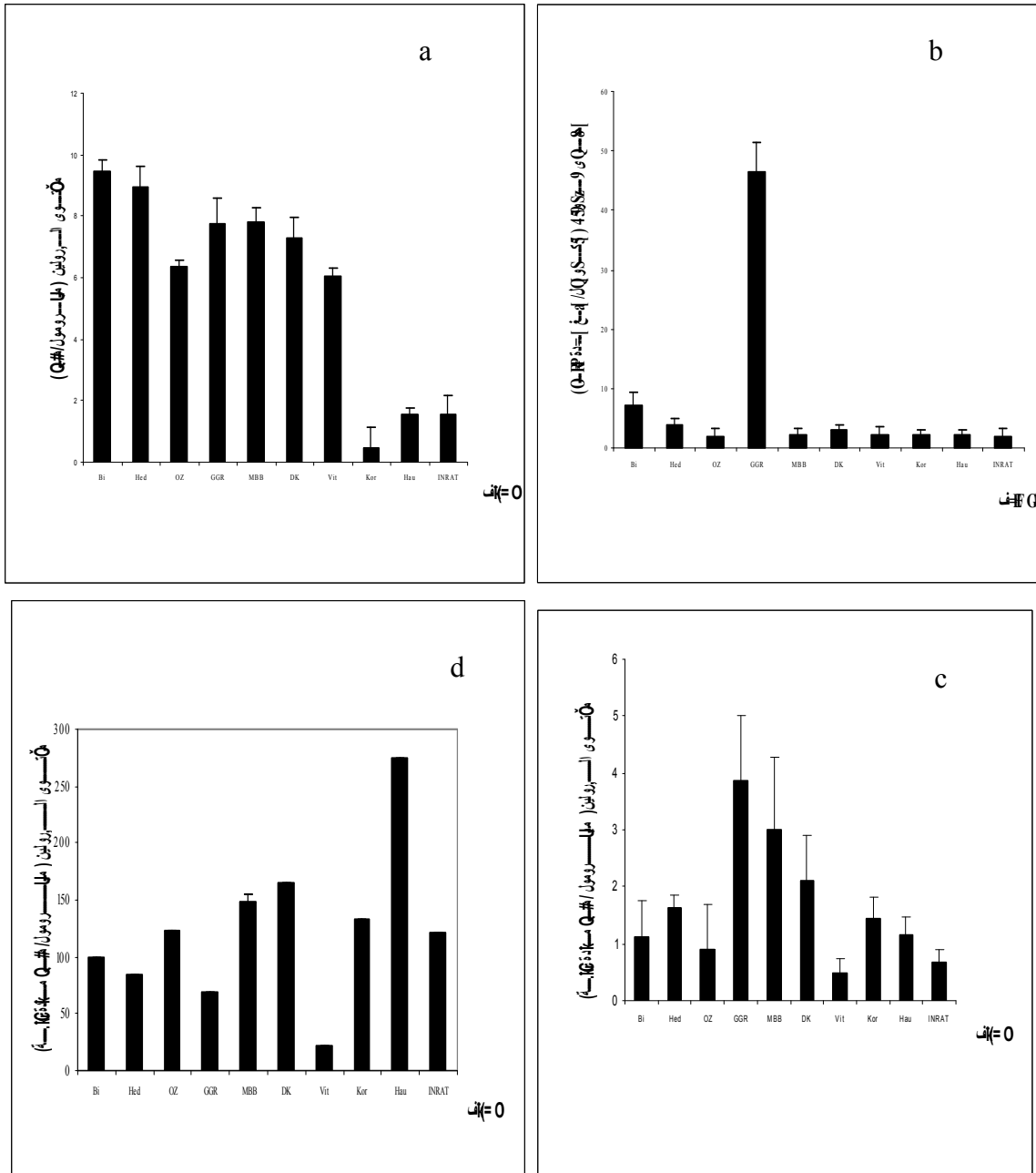
في حين يرتفع محتوى لبرلين عند جميع الأصناف محل لدراسة بنسب مختلفة عند لمعاملة 35 % من س.ح (الشكل III_{19b}) أي بداية ليجفاف و تتراوح قيمته بين 1.18 ± 2.04 و 1.16 ± 3.76 ميكرومول/ملغ مادة جافة في صنفي INRAT و Hed على لترتيب. في حين سجل لاصنفين Bidi 17 و GGR قيما عالية و مختلفة عن بقية الأصناف و كانت على لترتيب 2.16 ± 7.31 و 5.11 ± 46.38 ميكرومول/ملغ مادة جافة . و قد تقاربت جميع الأصناف في محتواها من لبرلين في هذه المرحلة و الذي ترواح ما بين 2.08 إلى 2.81 ميكرومول/ملغ مادة جافة، باستثناء لاصنف لجزائري MBB الذي انخفض محتواها بنسبة 30 % مقارنة مع المرحلة لسابقة.

يمثل محتوى لبرلين من مرتين إلى 12 مرة لقيمة الأساسية المسجلة عند 75 % من س.ح عند الأصناف ذات دورة لحياء لمتأخرة ، و يمثل لضعف عند لاصنفين Hed و OZ في حين يمثل هذا المحتوى من 3 إلى 4 أضعاف عند لاصنفين INRAT و Vit على لترتيب و 6.5 مرة عند لاصنف Bi . تتماشى هذه لنتائج مع لنتائج المسجلة من طرف (Bogges *et al.*, 1976) عند نبات لشعير لخاصع ليجفاف قدر ب 1.5 Mpa، أما لاصنف GGR فقد سجل قيمة معتبرة قدرت ب 12 مرة لقيمة الأساسية المسجلة عند 75 % من س.ح. أما بلنسبة لأصناف لمتبقية ، فقد ارتفع محتوى لبرلين بنسبة 1.5 مرة لقيمة الأساسية. تمثل هذه الأصناف أصناف ذات دورة لحياء قصيرة وهي الأصناف التي لا تتحسس ليجفاف في هذه المرحلة. فالأصناف لثلاثة الأولى هي الأصناف ذات دورة لحياء مبكرة (Hau, Kor DK) في حين لاصنف لرابع هو صنف ذو دورة لحياء نصف متأخرة وهو لاصنف MBB.

تحت ليجفاف لمعتدل 25 % من س.ح ، سجلت الأصناف (MBB, Vit, DK, OZ, Hed, Bi, Kor) تراكما معتبرا في حين سجلت الأصناف لمتبقية (INRAT , Hau , GGR) انخفاضا ملحوظا بلنسبة لمرحلة ليجفاف لسابقة 35% من س.ح (الشكل III_{19c}). وأمكنا إرجاع هذا الانخفاض إلى عاملي لحرارة تبعا لأبحاث (Monneuveux *et al.*, 2001) ; Chaityna *et al.*, 1986 ; et Nemmar *et al.* ، والإضاءة تبعا لأبحاث Hayashi *et al.* : 1992 Joce *et al.* (2000) لالذان لم تتمكن من مراقبتها تحت هذه الظروف.

وقد ترجم هذا التراكم بمرتين لى 14 مرة لقيمة الأساسية عند المعاملة 75% من س. ح. ، وقد مثلت تراكم للضعف الأصناف GGR، MBB، Dk و INRAT ، أما الأصناف Kor ، Hed ، OZ و Bi فقد مثلت التراكم بنسبة 4، 5، 7 و 8 مرات. في حين انفرد الصنف الجزائري GGR بتراكم أعظمي قدر ب 14 مرة لقيمة الأساسية عند السقي العادي. تقترب هذه النتائج مع تلك المسجلة من طرف (Ali Dib *et al.*, 1994) الذي وجد قيمة 15.7 مرة لقيمة الأساسية المسجلة عند أصناف القمح الصلب.

بلغ محتوى البرلين مستويات مرتفعة جدا تحت الجفاف الحاد الممثل بالمعاملة 12.5 % من س. ح. (شكل III_{19d}). يتراوح محتوى البرلين من 0.09 ± 22.87 لى 0.05 ± 367.05 عند الصنفين Vit و Hau على الترتيب . فهو يمثل من رتبة 17 لى 273 مرة لقيمة الأساسية . سجلت لقيمة القصوى عند الصنف Hau (273 مرة). يليها الصنف INRAT (243 مرة) وللصنف OZ (180 مرة) في حين يكون محتوى البرلين من رتبة 48 لى 105 مرة عند بقية الأصناف باستثناء الصنف GGR الذي أعطى تراكما ضعيفا مقارنة بجميع الأصناف محل الدراسة وقدر ب 17 مرة لقيمة الأساسية عند 75 % من س. ح. .



شكل III 19: محتوى البرلين في الصف الورقي للثلاث و الرابع لعشرة أصناف من لقمح الصلب عند مختلف درجات نقص الماء a: عند المعاملة 75% من السعة الحقلية، B: عند المعاملة 35% من السعة الحقلية، C: عند المعاملة 25% من السعة الحقلية، D: عند المعاملة 12.5% من السعة الحقلية.

في دراسة ل (Kameli et al. (1995) وضح أن تراكم البرلين يكون من 4 إلى 40 مرة كاستجابة لـ جفاف لـ كن هذا التراكم لا يساهم إلا بنسبة ضئيلة 1% في عملية التعديل الأسموزي مما يوضح أنه لا توجد أي علاقة بين تراكم البرلين وعملية تعديل الأسموز.

و في دراسات حديثة على القمح بين (Methioni et al., 1997) وجود علاقة بين درجة نقص المائي ونشاط إنزيم P5CR. يعكس تباين تراكم البرولين داخل أصناف القمح الصلب تباينا حيويا بين هذه الأصناف كما بينت (Malki et al., 2002) والذي يمكن اعتباره اختبار ألي لانتخاب الأصناف المقاومة للجفاف كما نصت عليه أبحاث كل من (Sing et al., 1972) و (Chaib, 1998).

تعتبر التراكيز العالية من تراكم الحمض الأميني البرولين نتيجة حتمية لظاهرة الجفاف أكثر منه آلية تأقلم (شكل III_e) كما وضح من طرف (Delaunay and Verma, 1993; Hare et Cress, 1997) بالرغم من أن البرولين يلعب دورا مهما في عملية الحماية الأسموزية وتنظيم P^H السيتوبلازم.

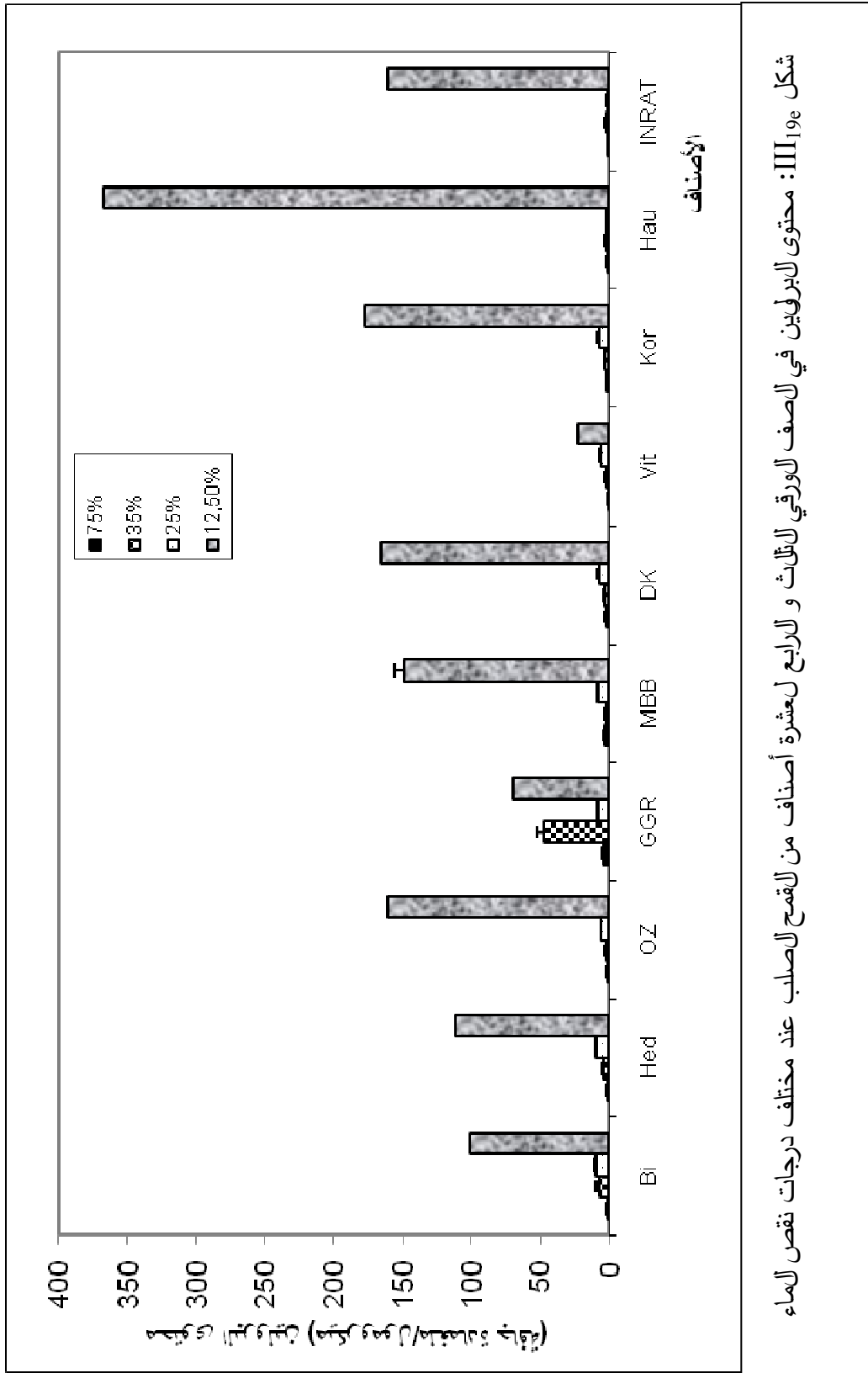
يوضح تحليل التباين فرق جد معنوي بين مختلف درجات النقص المائي والتي رتبت وفق اختبار أصغر مدى معنوي (SNK) إلى أربع مجموعات:

$$12.5\%CC > 35\% > 25\% > CC 75\% \iff A > B > BC > C \iff 148.726 > 7.788 > 5.788 > 1.650$$

و بين العشرة أصناف محل الدراسة والتي أمكن ترتيبها كلك وفق (SNK) إلى أربع مجموعات:

$$A > B > C \iff Hau > Kor; Dk; OZ; INRAT; MBB > GGR; Hed; Bi > Vit \iff 92.96 > 45.49; 44.49; 43.52; 41.30; 40.51 > 32.36; 31.45; 29.86 > 7.09$$

يمكن للبرولين المتراكم داخل السيتوبلازم (Ahmed et al., 1981, Pahlich et al., 1983) أن يلعب دورا محددًا في التعديل الأسموزي لفجوة (Stewart et Lee, 1974). نقضت هذه النظرية بكون مساهمة البرولين في التعديل الأسموزي تكون ضعيفة بالنسبة لمنظمات الأسموزية الكلية تحت نقص الماء كما جاء في بحث (Salsac et Monneuveux, 1991).



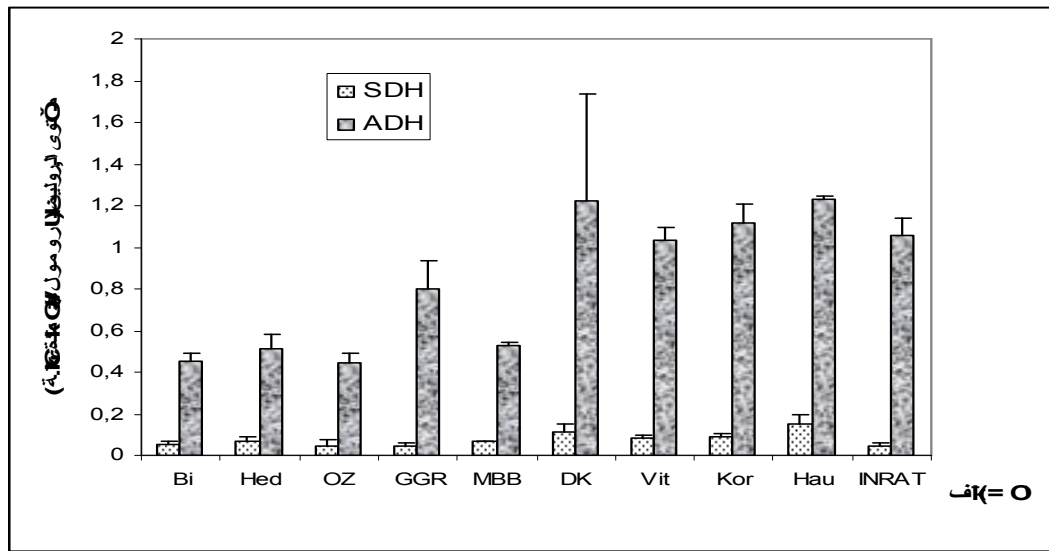
شكل III_{19e}: محتوى البيرولين في لأصناف لأورقي لألث و لأربع لأعشرة أصناف من لأقمح لأصلب عند مختلف درجات نقص لأماء

لتجربة لثانية: تراكم لبرولين في مراحل دورة حياة لنبات

يرتفع محتوى لبرولين مع زيادة شدة للجفاف، ويختلف هذا المحتوى من مرحلة لى أخرى من المراحل المختلفة لدورة الحياة. تمثل لعشرة أصناف محل لدراسة في مرحلة لاصعود (Montaison) عند لنباتات غير المعرضة للجفاف (SDH) أثارا خفيفة جدا من لبرولين. يتباين هذا المحتوى من 0.05 لى 0.15 ميكرومول/ملغ مادة جافة عند لصفين Bi و Hau على لترتيب. في حين يرتفع لبرولين عند لنباتات المعرضة للجفاف (ADH) من 7 لى 24 مرة لقيمة الأساسية المسجلة عند لنباتات غير المعرضة للجفاف.

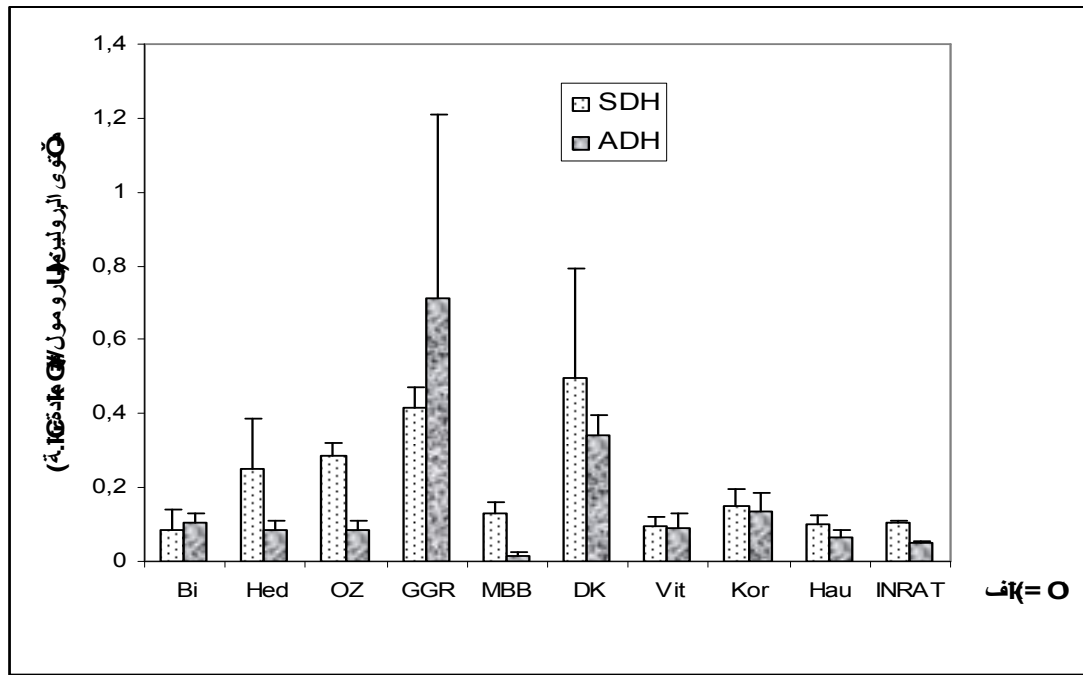
فقد تراوح محتوى لنباتات المعرضة للجفاف من 0.44 لى 1.23 ميكرومول/ملغ مادة جافة عند لصفين Hau و GGR (شكل III_{20a}). تشير أغلبية لنباتات ADH لى تقارب كبير بين محتوى لبرولين عند الأصناف (INRAT, Hau, Kor, Vit, Dk)

تمثل نسبة لتراكم (للتزايد) عند لنباتات المعرضة للجفاف ADH من 7 لى 10 مرات أكثر أهمية عند الأصناف Hau ، Bi ، Hed ، MBB و OZ. تكون نسبة لتراكم 12 مرة عند لصفين Vit و Kor ، في حين تشهد زيادة قصوى من درجة 16 و 24 مرة عند لصفين INRAT و GGR على لترتيب.



شكل III_{20a}: محتوى لبرولين لأوراق عشرة أصناف من القمح الصلب في مرحلة لاصعود

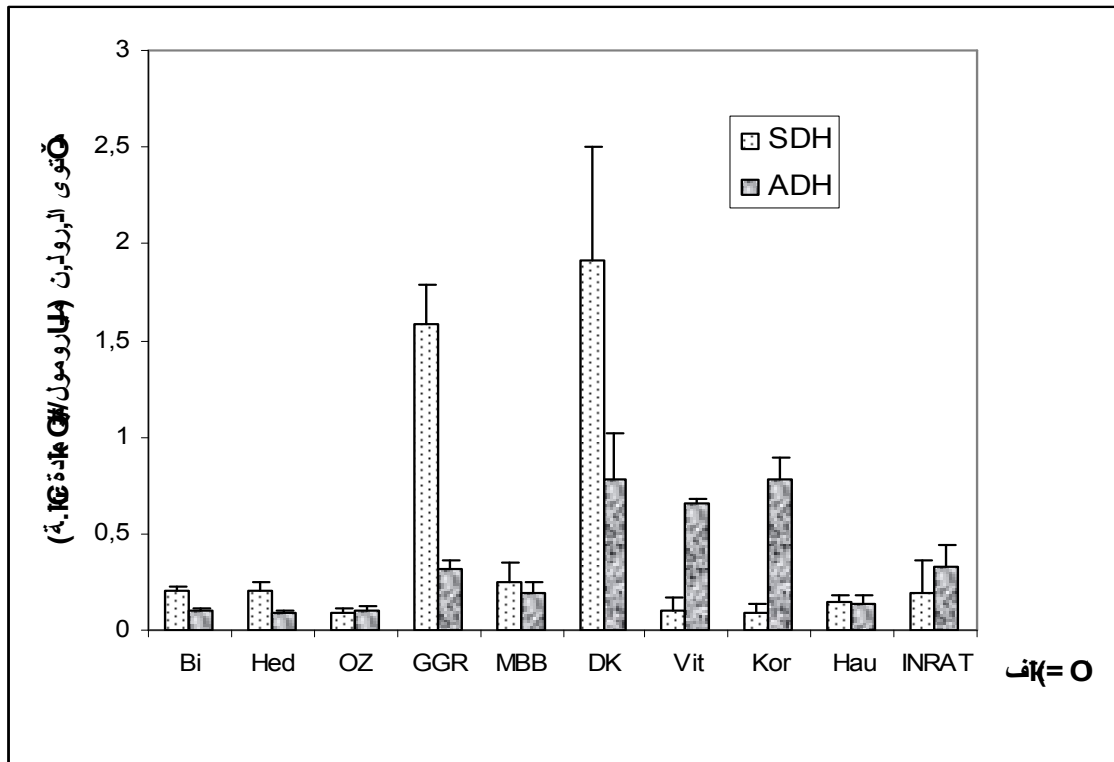
يلاحظ انخفاض واضحاً في مرحلة الانتفاخ (Gonflement) عند لنباتات ADH مقارنة بلبات SDH عند أغلبية الأصناف محل لدراسة (شكل III_{20b}). يترجم هذا الانخفاض بلبانصاف عند لصف INRAT و لربع عند لصفين Hed و OZ و 1/7 عند لصف MBB.



شكل III_{20b}: محتوى البروتين لأوراق عشرة أصناف من القمح الصلب في مرحلة الإنتفاخ

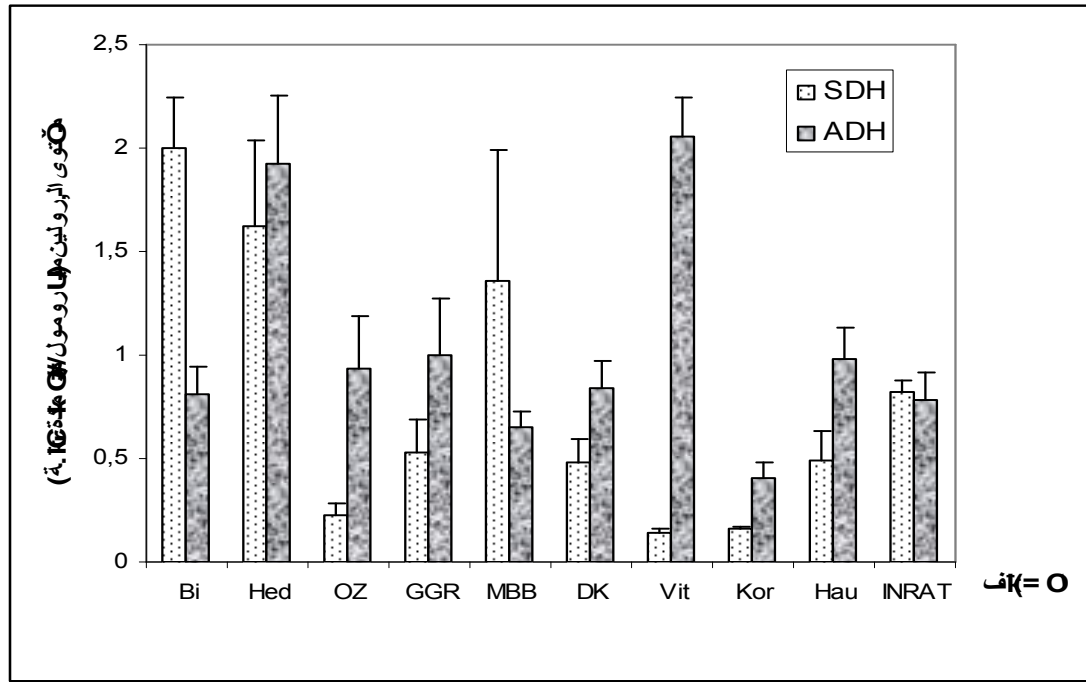
يتراوح محتوى البروتين عند النباتات غير المعرضة للجفاف في مرحلة الإنبال (épiaison) من 0.09 إلى 1.91 ميكرومول/ملغ مادة جافة عند الصنفين Kor و Dk على الترتيب. يسجل الصنف GGR قيمة معتبرة تقدر بـ 1.58 ميكرومول/ملغ مادة جافة. بينما ينخفض محتوى البروتين عند النباتات المعرضة للجفاف عند الصنفين Dk و GGR برتبة 3 و 5 مرات للقيمة الأساسية. وينخفض إلى النصف عند الصنفين الجزائريين MBB و Bi على الترتيب. وقد سجل الصنفين Hau و OZ تقريبا نفس القيمة عند كل من النباتات المعرضة و غير المعرضة للجفاف (شكل III_{20c}).

تكون رتبة التزايد عند النباتات المعرضة للجفاف عند الصنف INRAT و 6 مرات عند الصنف Vit و 8 مرات عند الصنف Kor.



شكل 20c III: محتوى البرولين لأوراق عشرة أصناف من القمح للصلب في مرحلة الإنبال

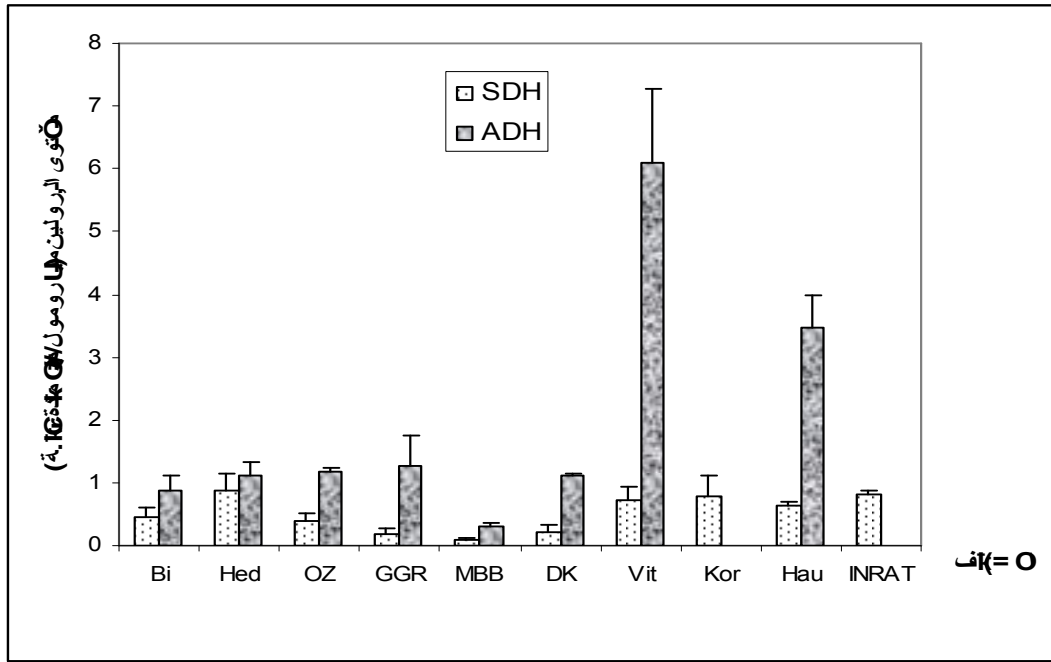
تباين محتوى البرولين عند النباتات غير المعرضة للجفاف من 0.142 إلى 2 ميكرومول/ملغ مادة جافة في الصنفين Vit و Bi على الترتيب في مرحلة الإزهار (Floraison). سجلت الأصناف MBB ، Hed و INRAT قيما معتبرة من البرولين وهي على التوالي 1.62، 1.35 و 0.82 ميكرومول/ملغ مادة جافة. تضاعف محتوى البرولين عند النباتات المعرضة للجفاف من 3 إلى 14 مرة القيمة الأساسية المسجلة عند النباتات غير المعرضة للجفاف باستثناء الصنفين الجزائريين Bi و MBB اللذان انخفض بهما محتوى البرولين إلى النصف (شكل III_{20d}). بلغت رتبة التضاعف من 2 إلى 4 مرات عند الأصناف الجزائرية GGR ، Dk و OZ . وقد بلغت رتبة التضاعف الذروة (14 مرة) عند الصنف الإسباني Vit.



شكل III_{20d}: محتوى البرلين لأوراق عشرة أصناف من القمح الصلب في مرحلة الإزهار

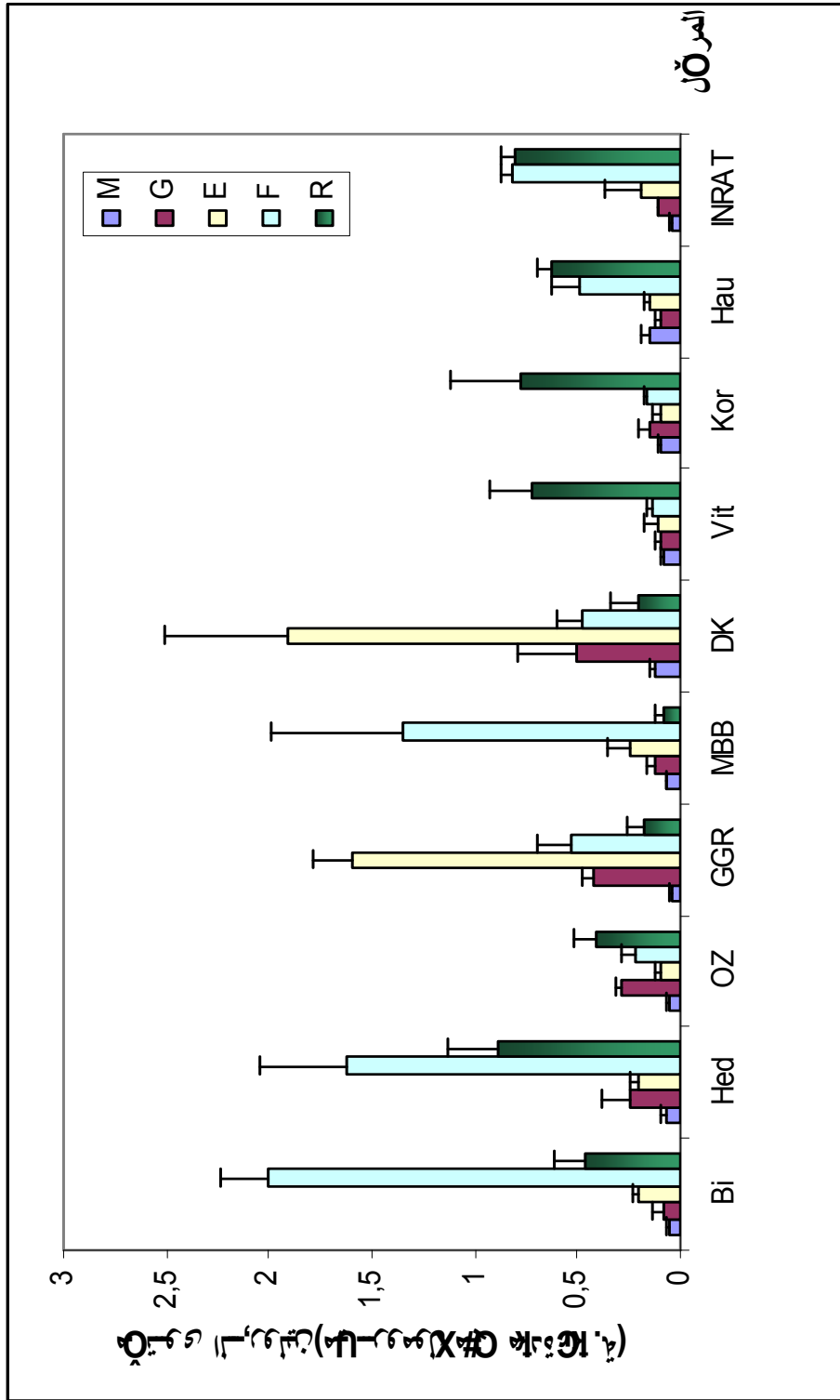
تباين محتوى البرلين عند النباتات غير المعرضة للجفاف من 0.076 إلى 0.883 في الصنفين MBB و Hed على التوالي في مرحلة نضج الحبوب (Maturation des grains). في حين تقارب محتوى البرلين في الأصناف المستوردة الثلاث Kor الجزائري، Vit الإسباني و INRAT التونسي وكان 0.72 ، 0.77 و 0.80 ميكرومول /ملغ مادة جافة على التعاقب (شكل III_{20e}).

ارتفع محتوى البرلين عند النباتات المعرضة للجفاف مقارنة بغير المعرضة للجفاف. وقد تباين من 0.28 إلى 6.11 ميكرومول/ملغ مادة جافة. وبلغت نسبة الزيادة من 2 إلى 8 مرات للقيمة الأساسية عند النباتات غير المعرضة للجفاف. فقد وصلت للضعف عند الصنفين Bi و OZ ، 4 إلى 6 مرات عند الأصناف Dk ، Hau ، GGR و 8 مرات عند الصنف الإسباني Vit . للصنفان INRAT و Kor لم يتحملا للجفاف بموت كل الأوراق.



شكل 20 III: محتوى البروتين لأوراق عشرة أصناف من القمح الصلب في مرحلة الامتلاء

تباين محتوى البروتين من صنف إلى آخر وقد أعطى تحليل التباين لعاملين فرقا جديا معنوي بين العشرة أصناف محل الدراسة. وقد رتبنا وفق اختبار SNK إلى ثلاثة مجموعات:
 يكون محتوى البروتين ضئيلا جدا عند النباتات غير المعرضة للجفاف و المسقية بنسبة 50% من لسعة الحقلية في المراحل الأولى مقارنة بنهاية مرحلة من مراحل الدورة البيولوجية للنبات (شكل III20f).



شكل III_{20f} : محتوى لبرولين لأوراق عشرة أصناف من لقمح لصلب في مراحل دورة حياة لنبات عند لنباتات SDH

اعتمادا على التجارب السابقة، (Chaib,1998 ; Malki,2002 ; Chaib et Benlaribi,2006(a) ; Redjamia,2006 ; Zarafa, 2006) تماشيا مع النتائج لمتحصل عليها في تجربتنا، لا يتم التراكم عند نبات لقمح إلا عند الوصول إلى مستوى 40 % من س. ح، أين يمكن لنبات لتحسس لنقص الماء و يكون محتوى لبرولين أقل من 2 ميكرومول/ملغ مادة جافة تحت للشروط العادية كما وجد كل من Benlaribi et Monneveux. (1988).

لوحظ أحسن تراكم في مرحلة الإزهار 0.78 ميكرومول/ملغ مادة جافة ولذي يمكن أن يكون مرتبطا بمرحلة خاصة للنبات والتي تسبب تحللا أكثر نشاطا أثناء مرحلة الإزهار مطابقا لنفس نتائج (Valle *et al.*, 1968) ، يتبع بمرحلة امتلاء الحبوب (0.51 ميكرومول/ملغ مادة جافة).

$$A > B > C > D \iff F > R ; E > G > M \iff 0.78 > 0.51 ; 0.48 > 0.21 > 0.08$$

أشار Nemmar (1983) أن أكبر كمية متراكمة من البرولين تتمركز عادة في المرحلة الممتدة بين مرحلة الحبوب للحلبيية ومرحلة الحبوب للعجينية . وتتزامن هذه المرحلة مع درجات الحرارة المرتفعة جدا وغياب الأمطار . في حين عند النباتات المعرضة للجفاف ، يلاحظ أهم تراكم في مرحلة امتلاء الحبوب و مرحلة الإزهار (الشكل III₂₀ g).

يبين تحليل التباين فرق معنوي بين المعاملتين $T_2 > T_1 \iff 0.78 > 0.41$ وبين مختلف مراحل دورة

$$\text{لحياة. } (R > F > M > E > G \iff 1.54 > 1.04 > 0.81 > 0.33 > 0.19)$$

تم في تجربتنا هذه مقارنة التراكم بين النباتات غير المعرضة للجفاف و النباتات المعرضة للجفاف في مختلف مراحل دورة حياة النبات مما يوضح أن النباتات المعرضة للجفاف تراكم البرولين 10 مرات من النباتات غير المعرضة للجفاف في مرحلة الصعود. كما تمثل من 3 إلى 1.5 مرة في مرحلتي امتلاء الحبوب و الإزهار على التوالي. لكن لم يلاحظ أي فرق بين مرحلتي الإسهال و الانتفاخ عند كل من النباتات SDH و ADH. وضح Bergareche *et al.* (1992) أن لنقص الماء تأثير واضح جدا و مهم على تراكم البرولين لحر و الانتراة في جميع أعضاء القمح باستثناء العصيفات (glumelles) ، مما يتضمن أن مرحلة امتلاء الحبوب في لفترة الجافة يمثل محتوى مرتفع جدا في الأوراق والتي تنقل لاحقا إلى الحبوب الجافة في مرحلة الانضج وهو ما يتماشى مع نتائجنا. أكد Monneveux *et Nemmar* (1986) أن حركية التراكم تكون مستقلة عن مرحلة النمو وعلى العكس تكون مرتبطة بكمية التساقط.

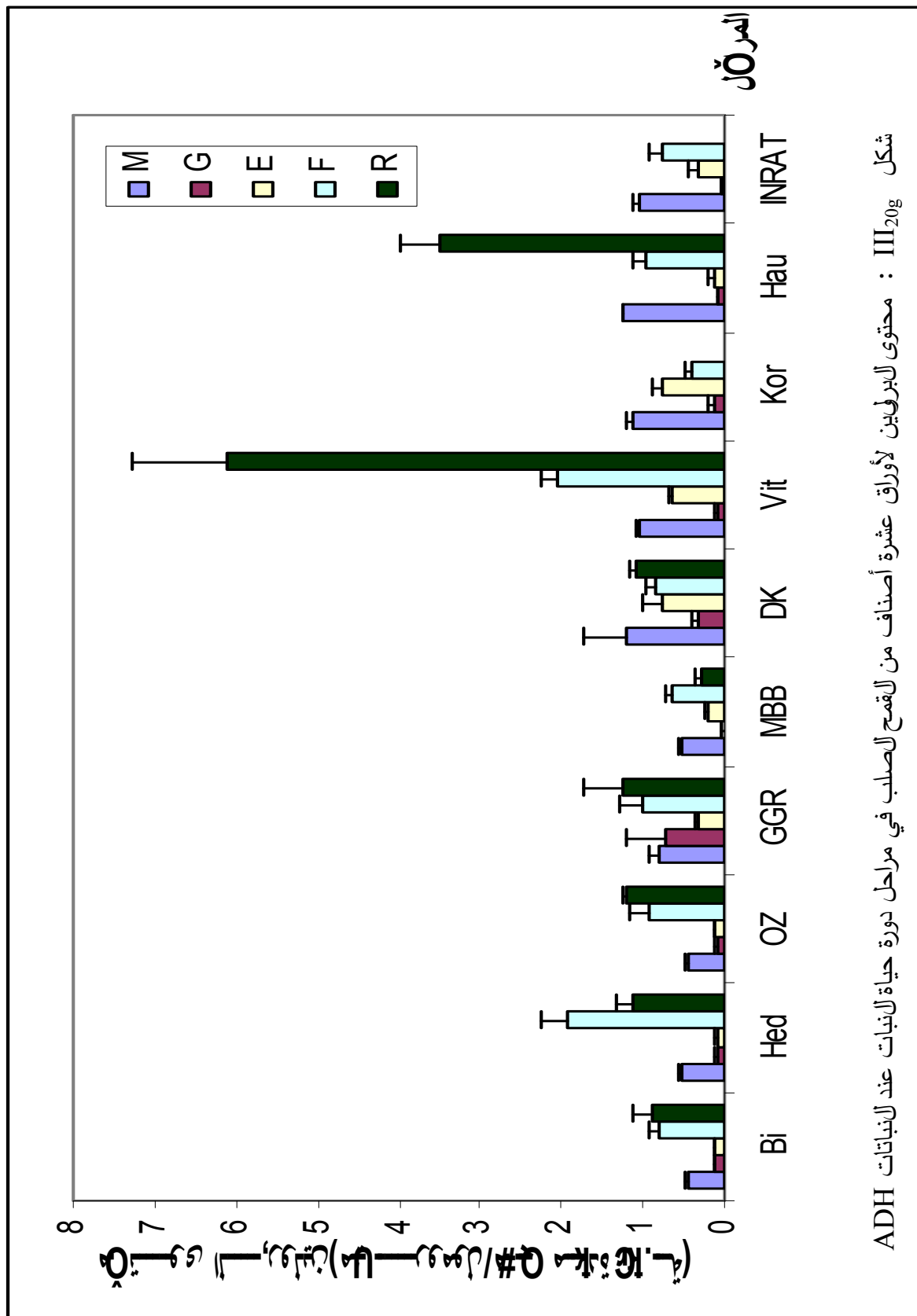
بينت العديد من الأبحاث ، أن المحتوى العلي من البوتاسيوم K^+ ، البرولين و السكريات الذائبة في مختلف مراحل لنمو تكون مسئلة على مقاومة للجفاف (Appel *et al.*, 2004 ; Chen *et al.*, 2004).

تأكيدا لنتائجنا ، أثبت Shao *et al.* (2006) أن أصناف القمح الصلب تبدي محتويات مهمة من البرولين في المراحل الفتية من دورة حياة النبات و المراحل النهائية لدورة البيولوجية عند النباتات المعرضة لثلاث مستويات من نقص الماء 75% ، 55% و 45% من السعة الحقلية بنسب متزايدة تصاعديا على الترتيب. يرتبط اتجاه هذا التغيير بتوضع هذه المزروعات مما يعكس بإحكام تغير الأليات الموافقة للضغط الطبيعي و الانتخاب الاصطناعي لهذه المزروعات.

سمح مجال التغذية للمائية بقيمة 25% من س.ح خلال أسبوع بين مختلف مراحل الدورة البيولوجية للنباتات المعرضة للجفاف باستعمال مخزونها من النتروجين كمصدر طاقة لاستعادة حياة النبات.

أبدت هذه الأصناف مقاومة جيدة اتجاه نقص الماء مما يتضمن التعبير ضد للجفاف

(Expression anti-Mécheresse) للموافق للجينات الشافرة للجفاف و التي تشكل مرجعا دقيقا لدراسة جزيئية و تربية بيوتكنولوجية لاحقا.



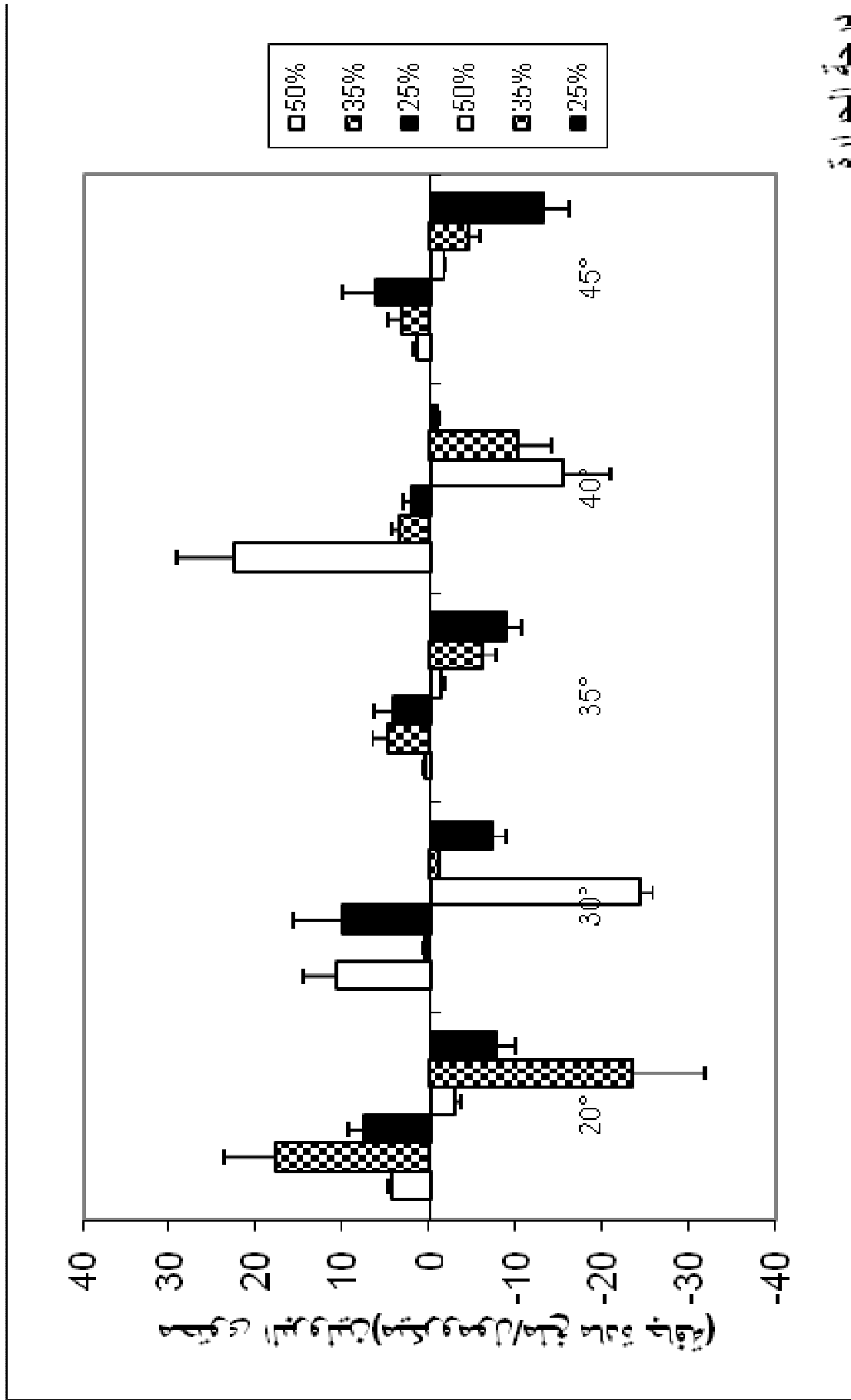
فتباين تراكم البرولين في الأنسجة الورقية هو ظاهرة مرتبطة بنقص الماء، ولامثل داخل الصنف المعطى تباينا كبيرا سهل توضيحه وربطه بخاصية مقاومة الصنف. مما يجعل هذا التباين بين أصناف القمح الصلب، يعكس تباينا حيويا بينها كما نصت عليه أبحاث Malki *et al.*(2002) و Benlaribi *et al.*(2006)

توحى حركية تراكم البرولين داخل الأنسجة الورقية مع زيادة حدة نقص الماء بوجود فئتين من الأصناف: الفئة الأولى تمثلها مجموعة الأصناف التي تنطلق عندها عملية التراكم مبكرا بمعنى بمجرد بداية نقص الماء. و الفئة الثانية تمثلها مجموعة الأصناف التي يكون ارتفاع منظمات الأسموز بها إلا بعد توضع نقص الماء. تختلف محتويات البرولين من صنف إلى آخر كما أن امتصاص نواتج التخليق أو تحللها يتم بشكل مختلف بعد عودة السقي من جديد. تكشف أصناف القمح على تباين داخل الأصناف وعلى فروق مهمة لتراكم من مرحلة إلى أخرى من مراحل دورة الحياة. وقد سجل أكبر تراكم في مرحلتي الصعود و الإزهار.

لتجربة لثلاثة: تداخل الإجهاد لمائي و لحرارة و لضوئي

1. لمعالجة لحرارية

يسجل لشاهد 20°م مستويات عليية من البرولين عند درجة لنقص للمائي 35 % من س.ح مقارنة بدرجات لنقص للمائي العادي و لحداد 50% و 25% من س.ح. ارتفع محتوى البرولين عند لمعلجتين 30°م و 40°م عند لمحتوى للمائي 50 % من لسعة لالحقلية ل كلا لالصنفين. لكنه انخفض عند لمعلجتين 35°م و 45°م عند كل لسعات لالحقلية للمدرسة و يلاحظ بشدة عند لمستوى العادي من مخزون الماء 50 % من لسعة لالحقلية (شكل III_{21a}).



شکل III_{21a}: محتوی لبرولين تحت درجات لنقص لمائي مع لمعاملة بمختلف درجات لحرارة عند أوراق لقمح لصلب

لدرجة الحرارة

1.1.1. لمعالجة 20°م تحت مختلف درجات نقص لماء

سجل للصنفين Hed و OZ قيما منخفضة من البرلين 0.35 ± 4.32 و 0.95 ± 2.9 ميكرومول/ملغ مادة جافة على الترتيب عند المعالجة 20°م تحت 50 % من س.ح.

في حين ارتفع محتوى البرلين عند 35 % من السعة الحقلية إلى 4 مرات عند الصنف Hed و 8 مرات عند الصنف OZ لكن عند 25 % من السعة الحقلية انخفض محتوى البرلين إلى أكثر من مرة ونصف عند Hed ومرتين ونصف عند OZ بلانسبة للجفاف المعتدل 35 % لكنه ارتفع بمرتين و 3 مرات مقارنة بلاسقي العادي 50% من السعة الحقلية .

وقد تساوى محتوى البرلين عند هذا المستوى من النقص المائي عند كلا الصنفين وقدر ب 1.67 ± 7.70 و 2.36 ± 7.74 ميكرومول/ملغ مادة جافة.

2.1. لمعالجة 30°م تحت مختلف درجات نقص لماء .

سجلت مستويات عليية جدا من محتوى البرلين عند السعة الحقلية 50 % عند كلا الصنفين مقارنة بالعينات الشاهدة عند درجة 20°م فقد سجل صنف OZ قيمة 1.78 ± 24.20 ميكرومول/ملغ مادة جافة والتي تمثل أكثر من ضعف القيمة المسجلة عند صنف Hed والتي بلغت قيمتها 3.58 ± 10.76 ميكرومول/ملغ مادة جافة .

في حين انخفض محتوى البرلين عند 35 % من السعة الحقلية انخفاضاً مفاجئاً عند كلا الصنفين مقارنة بالقيم المسجلة عند 50 % من السعة الحقلية بمعدل 27 مرة عند OZ و 26 مرة عند Hed .

أما عند 25% من السعة الحقلية فقد ارتفع محتوى البرلين ب 20 مرة عند Hed و 7 مرات ونصف عند OZ مقارنة ب 35% من السعة الحقلية لكنه انخفض بمقدار $1/10$ و $1/3$ مرات عند كل من Hed و OZ على الترتيب مقارنة مع 50 % من السعة الحقلية .

3.1. لمعالجة 35°م تحت مختلف درجات نقص لماء

انخفض محتوى البرلين عند 50 % من السعة الحقلية وسجل قيمتي 0.17 ± 0.50 و 0.79 ± 1.12 ميكرومول/ملغ مادة جافة عند الصنفين Hed و OZ على الترتيب.

في حين ارتفع عند 35 % من السعة الحقلية ب 10مرات عند صنف Hed و 5 مرات ونصف عند الصنف OZ ، أما عند 25 % من السعة الحقلية فقد انخفض محتوى البرلين عند Hed انخفاضاً طفيفاً مقارنة ب 35 % من السعة الحقلية بينما استمر في الزيادة عند صنف OZ وبلغ 8 أضعاف القيمة الأساسية عند 50% من السعة الحقلية.

4.1.1. المعالجة 40°م تحت مختلف درجات نقص لماء

يبدو أن أعلى قيمة برلين سجلت عند المعالجة 40°م عند كلا الصنفين مقارنة بالمعالجات الحرارية المختارة فعند 50% من السعة الحقلية قدرت قيمة Hed و OZ على الترتيب (22.5±15.32) ميكرومول/ملغ مادة جافة .

في حين انخفض محتوى البرلين عند 35% من السعة الحقلية عند كلا الصنفين وكان الانخفاض شديداً عند صنف Hed أكثر منه عند OZ حيث قدر بـ 6 مرات عند Hed و مرة ونصف عند OZ .
يزداد الانخفاض أكثر عند 25% من السعة الحقلية ويكون عند OZ أكثر منه عند Hed حيث قدر بـ 12 مرة عند OZ و مرة ونصف عند Hed مقارنة بالسعة الحقلية 35% من س.ح.

5.1.1. المعالجة 45°م تحت مختلف درجات نقص لماء

سجل تناسب طردي عند المعالجة 45°م من محتوى البرلين و نسبة الماء الموجودة في وسط النمو . فقد كان محتوى البرلين منخفضاً لكلا الصنفين عند 50% من السعة الحقلية حيث سجل (1.39 ± 1.77) ميكرومول/ملغ مادة جافة على الترتيب عند صنف Hed و OZ .
ثم ارتفع محتوى البرلين نسبياً عند 35% من السعة الحقلية وقدر بمرتين عند Hed ومرتين ونصف عند OZ .
ثم ارتفع أكثر عند 25% من السعة الحقلية وقدر بمرتين عند Hed و 3 مرات عند OZ مقارنة بنسبة 35% من السعة الحقلية. في حين تضاعف محتوى البرلين إلى 4 مرات عند Hed و 7 مرات عند OZ مقارنة بنسبة 50% من السعة الحقلية .

2. بلنسبة لدرجات نقص لماء

5.1.2. 50% من السعة الحقلية تحت مختلف لمعالجات لحرارية

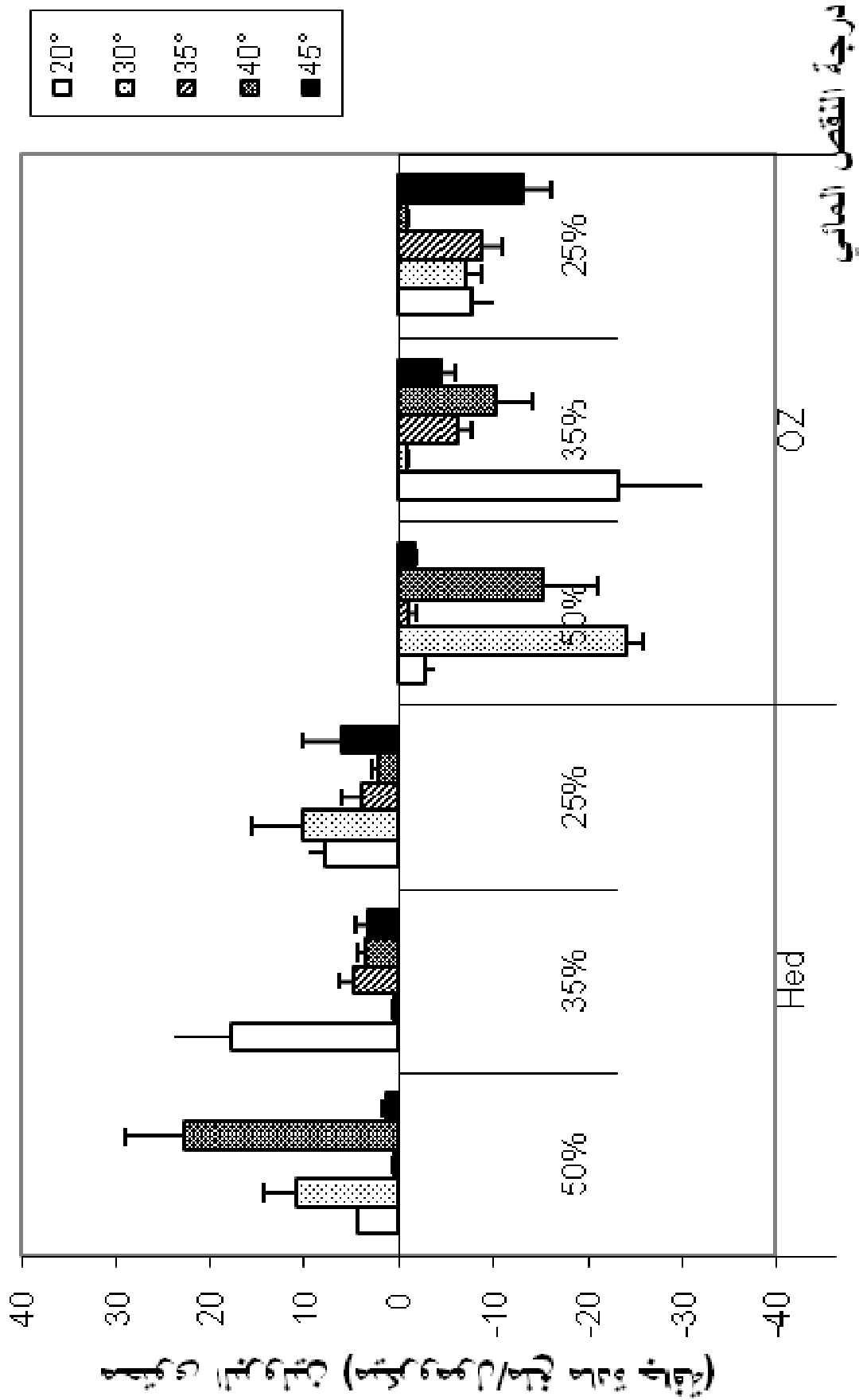
يلاحظ أن محتوى البرلين كان علياً جداً عند المعالجتين 30°م و 40°م على الترتيب عند كلا الصنفين في حين انخفض عند المعالجة 35°م و 45°م مقارنة بلشاهد عند درجة 20°م . فقد سجلت أقصى قيمة عند صنف OZ عند المعالجة 30°م وقدرت بـ 24.20 ميكرومول/ملغ مادة جافة ، يليها صنف Hed بقيمة 22.59 ميكرومول/ملغ مادة جافة عند المعالجة 40°م . أما أدنى قيمة فسجلت عند Hed و OZ في المعالجة 35°م وقدرت قيمتها 0.50 و 1.12 ميكرومول/ملغ مادة جافة على الترتيب .

35.2.2 % من السعة الحقلية تحت مختلف درجات لحرارة

يلاحظ أن محتوى البرلين كان مرتفعاً عند 35% من السعة الحقلية تحت 20°م وقدرت قيمته 17.91 ميكرومول/ملغ مادة جافة عند صنف Hed و 18.84 ميكرومول/ملغ مادة جافة عند صنف OZ .
في حين حدث انخفاض مفاجئ عند المعالجة 30°م لكلا الصنفين وقدرت قيمته بـ 20 و 34 مرة عند OZ و Hed على الترتيب ثم ارتفع محتوى البرلين تدريجياً عند صنف OZ عند المعالجتين 35°م و 40°م ليعود للانخفاض عند المعالجة 45°م . في حين يرتفع محتوى البرلين عند Hed تحت المعالجة 35°م ثم يتقهقر لانخفاض من جديد عند المعالجتين 40°م و 45°م على الترتيب .

25.3.2 % من لسعة لحقلىة تحت مختلف درجات لحرارة

يلاحظ أن محتوى البرلين كان متساويا عند Hed و OZ عند 20°م ثم اختلف سلوك كلا الصنفين اتجاه المعلجات لحرارية المختلفة . فعند صنف OZ تقارب محتوى 20°م مع 30°م ثم ازداد محتوى البرلين عند المعلجتين 35°م ، 45°م على الترتيب ، في حين لوحظ انخفاض مفاجئ عند المعلجة 40°م (شكل III₂₁b) . أما صنف Hed فقد ارتفع محتوى البرلين عند 30°م مقارنة بلشاهد ثم انخفض تدريجيا عند المعلجتين 35°م و 40°م على الترتيب ليعود لارتفاع عند المعلجة 45°م لكنه لا يصل إلى محتوى لشاهد 20°م .



لتجربة لثلاثة: تداخل الإجهاد لمائي و لضوئي

2. لمعالجة بفترات الإضاءة

يكون محتوى البرلين مرتفعا عند فترة 16 سا عند المحتوى للمائي 35 % من لسعة الحقلية . يسجل محتويات عالية عند فترة 8 سا من شدة لنقص للمائي 25 % من لسعة الحقلية عند كلا الصنفين . يختلف سلوك صنف OZ عن صنف Hed عند الفترتين 8 سا و 4 سا عند 50 % و 35 % من لسعة الحقلية.

1.2. بلنسبة لفترات الإضاءة

1.1.2 . ستة عشرة ساعة إضاءة

كان محتوى البرلين منخفضا عند 50 % من لسعة الحقلية حيث سجل قيمتي (2.9 و 4.32) ميكرومول/ملغ مادة جافة ل صنف Hed و OZ على الترتيب . أما عند 35 % من لسعة الحقلية ارتفع محتوى البرلين ب 4 مرات عند Hed و 8 مرات عند OZ في حين انخفض محتوى البرلين عند 25 % من لسعة الحقلية لكلا الصنفين بمرتين عند Hed و 3 مرات عند OZ مقارنة ب 35 % من لسعة الحقلية. ليتساوى محتوى البرلين عند الصنفين في مرحلة 25 % و قدر ب(7.74±7.7) ميكرومول/ملغ مادة جافة عند Hed و OZ على الترتيب .

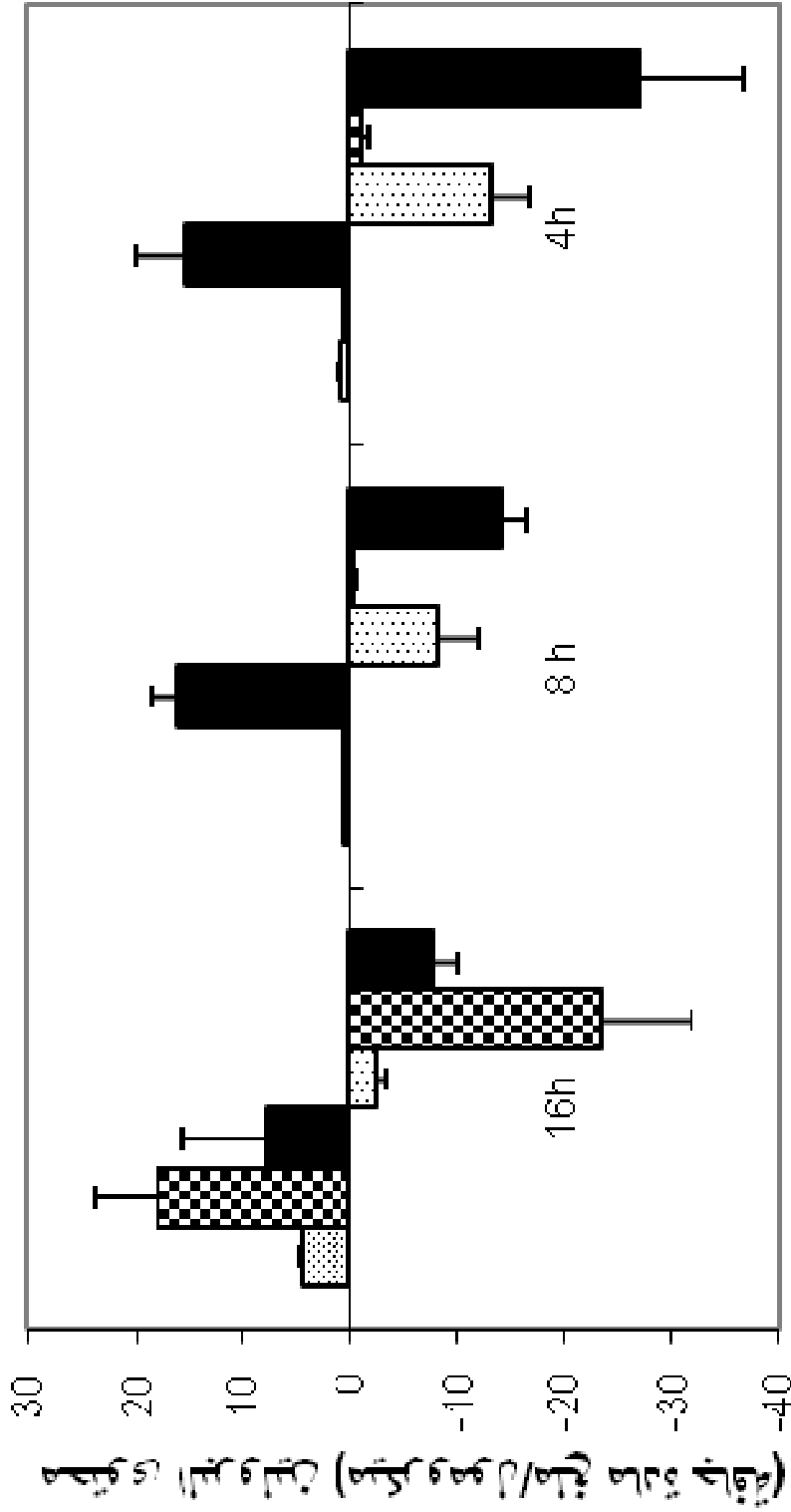
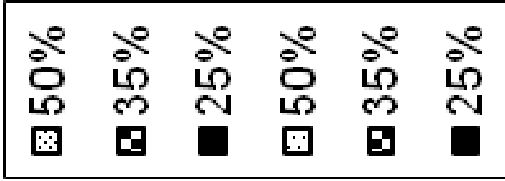
2.1.2 . ثماني ساعات إضاءة

سجل صنف OZ قيمة 8.27 ميكرومول/ملغ مادة جافة عند 50 % من لسعة الحقلية على عكس صنف Hed الذي سجل قيمة منخفضة جدا قدرت ب0.53 ميكرومول/ملغ مادة جافة . أما عند 35 % من لسعة الحقلية فقد سجلت مستويات منخفضة جدا قدرت ب 0.38 و 0.54 ميكرومول/ملغ مادة جافة أي ما يعادل 15 مرة عند OZ و نفس القيمة عند Hed ارتفع محتوى البرلين ارتفاعا ملحوظا عند 25 % من لسعة الحقلية عند كلا الصنفين و قدر بمرتين عند OZ و 17 مرة عند Hed مقارنة بلسعة الحقلية 50 %.

3.1.2 . أربع ساعات إضاءة

كان محتوى البرلين عليا عند الصنف OZ مقارنة بلصنف Hed و قدر بالفرق ب17 مرة عند 50 % من لسعة الحقلية. انخفض ب10 مرات عند OZ و مرتين عند Hed تحت 35 % من لسعة الحقلية حيث سجل مستويات قدرت ب 0.34 و 1.28 ميكرومول/ ملغ مادة جافة عند Hed و OZ على الترتيب . على غرار 35 % من لسعة الحقلية ارتفع محتوى البرلين ارتفاعا كبيرا قدر ب 29 مرة عند Hed و 21 مرة عند OZ تحت 25 % من لسعة الحقلية. وكان الارتفاع واضحا كلك مقارنة ب50 % من لسعة الحقلية و قدر ب 20 مرة عند Hed و مرتين عند OZ .

يتراوح محتوى البرلين بين (0.53 و 13.10) ميكرومول/ملغ مادة جافة عند Hed و OZ على الترتيب ، حيث سجلت أعلى قيمة عند 4 سا إضاءة ل صنف OZ وأدنى قيمة 0.53 عند صنف Hed تحت فترة 8 سا إضاءة (الشكل III_{21c}).



فترة الإضاءة

شكل III21c: محتوى البرولين تحت درجات لنقص للمائي مع للمعاملة بفترة الإضاءة عند أوراق لقمح لصلب

يلاحظ تناسبا طرديا بين محتوى الابرلين و فترات الإضاءة ال معرض لها صنف OZ حيث كلما نقصت فترة الإضاءة ارتفع محتوى الابرلين في حين كان التناسب عكسيا عند صنف Hed فكلما نقصت فترة الإضاءة انخفض محتوى الابرلين .

2.2. 35% من لسعة لحقلية تحت مختلف فترات الإضاءة

يتراوح محتوى الابرلين تحت نسبة 35% من لسعة لحقلية بين قيمتي (0.34-23.38) ميكرومول/ملغ مادة جافة عند صنفي Hed و OZ على الترتيب تحت تأثير مختلف فترات الإضاءة.

يلاحظ انخفاض غير متوقع في محتوى الابرلين عند 8 سا إضاءة قدر ب 47 مرة عند Hed و 43 مرة عند OZ مقارنة ب 16 سا إضاءة ثم يعود ليرتفع محتوى الابرلين عند 4 سا إضاءة بمرتين عند OZ ويبقى ثابتا عند Hed مقارنة ب 8 سا إضاءة ، الملاحظ هنا أن محتوى الابرلين يكون مهما عند 16 سا إضاءة و يكاد يهمل عند فترتي 8 سا و 4 سا إضاءة.

2 بلنسبة لدرجات نقص لماء

1.2.2 50% من لسعة لحقلية تحت مختلف فترات الإضاءة

يتراوح محتوى الابرلين بين (0.53-13.10) ميكرومول/ملغ مادة جافة عند Hed و OZ على الترتيب، حيث سجلت أعلى قيمة عند 4 سا إضاءة ل صنف OZ وأدنى قيمة 0.53 عند صنف Hed تحت فترة 8 سا إضاءة . يلاحظ تناسبا طرديا بين محتوى الابرلين و فترات الإضاءة ال معرض لها صنف OZ حيث كلما نقصت فترة الإضاءة ارتفع محتوى الابرلين في حين كان التناسب عكسيا عند صنف Hed فكلما نقصت فترة الإضاءة انخفض محتوى الابرلين (الشكل III_{21d}).

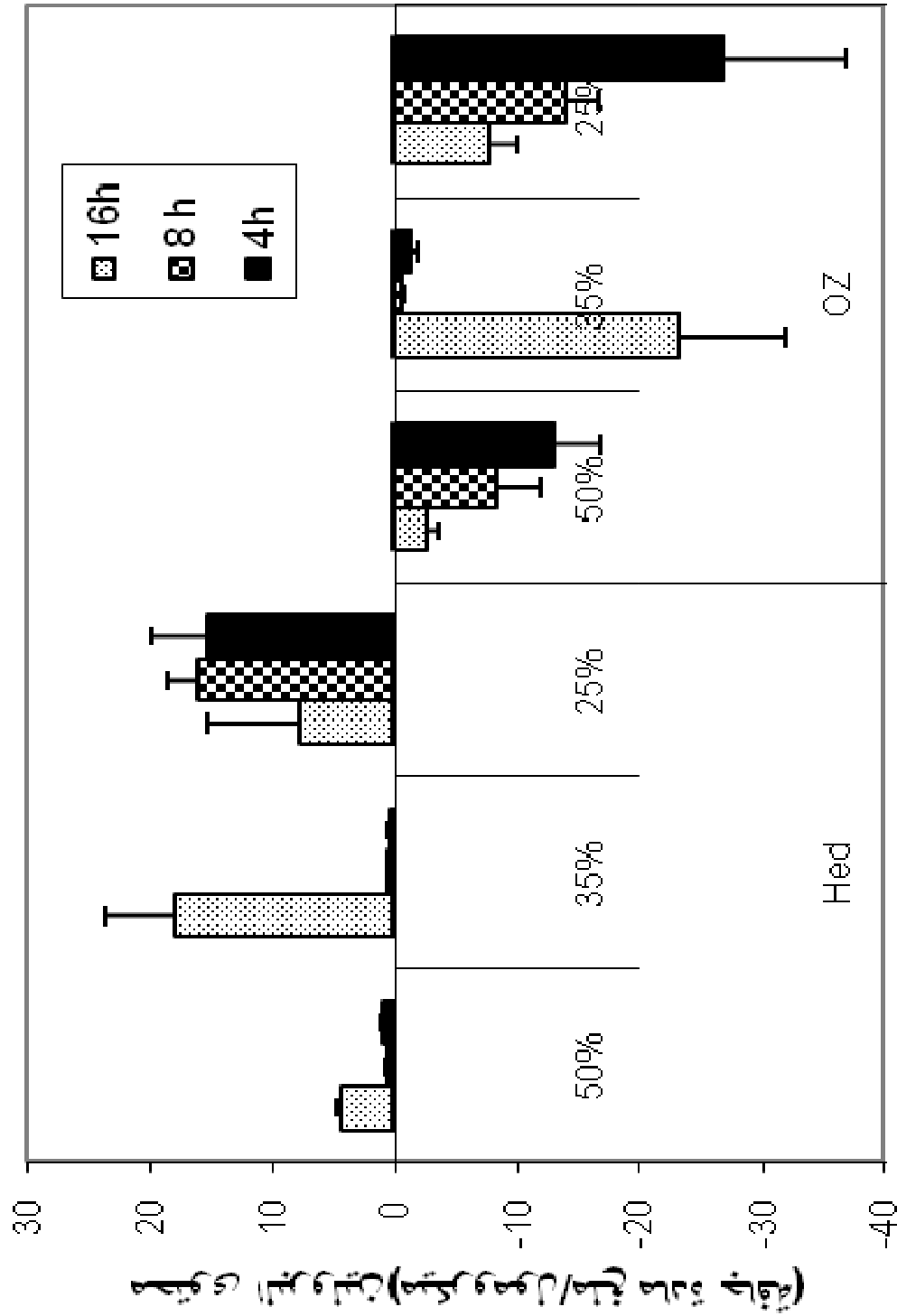
2.2. 35% من لسعة لحقلية تحت مختلف فترات الإضاءة

يتراوح محتوى الابرلين تحت نسبة 35% من لسعة لحقلية بين قيمتي (0.34-23.38) ميكرومول/ملغ مادة جافة عند صنفي Hed و OZ على الترتيب تحت تأثير مختلف فترات الإضاءة.

يلاحظ انخفاض غير متوقع في محتوى الابرلين عند 8 سا إضاءة قدر ب 47 مرة عند Hed و 43 مرة عند OZ مقارنة ب 16 سا إضاءة ثم يعود ليرتفع محتوى الابرلين عند 4 سا إضاءة بمرتين عند OZ ويبقى ثابتا عند Hed مقارنة ب 8 سا إضاءة ، الملاحظ هنا أن محتوى الابرلين يكون مهما عند 16 سا إضاءة و يكاد يهمل عند فترتي 8 سا و 4 سا إضاءة.

3.2. 25% من لسعة لحقلية تحت مختلف فترات الإضاءة

يتراوح محتوى الابرلين عند 25% من لسعة لحقلية بين (7.70-26.70) ميكرومول/ملغ مادة جافة عند صنفي Hed و OZ تحت مختلف فترات الإضاءة . فلقد تساوى محتوى الابرلين عند كلا الصنفين تحت 16 سا إضاءة ثم ارتفع إلى الضعف عند كلا الصنفين تحت فترة 8 سا إضاءة . أما عند 4 سا إضاءة فلقد ارتفع محتوى الابرلين بمرتين عند OZ وانخفض قليلا عند Hed ، وبلثلي أصبح يساوي 4 أضعاف عند OZ مقارنة بلشاهد 16 سا ومرتين عند صنف Hed .



درجۃ نقص الماء

شكل III21d: محتوى لبرولين عند مختلف درجات لنقص لمائي تحت مختلف فترات الإضاءة عند أوراق لشبح لصلب

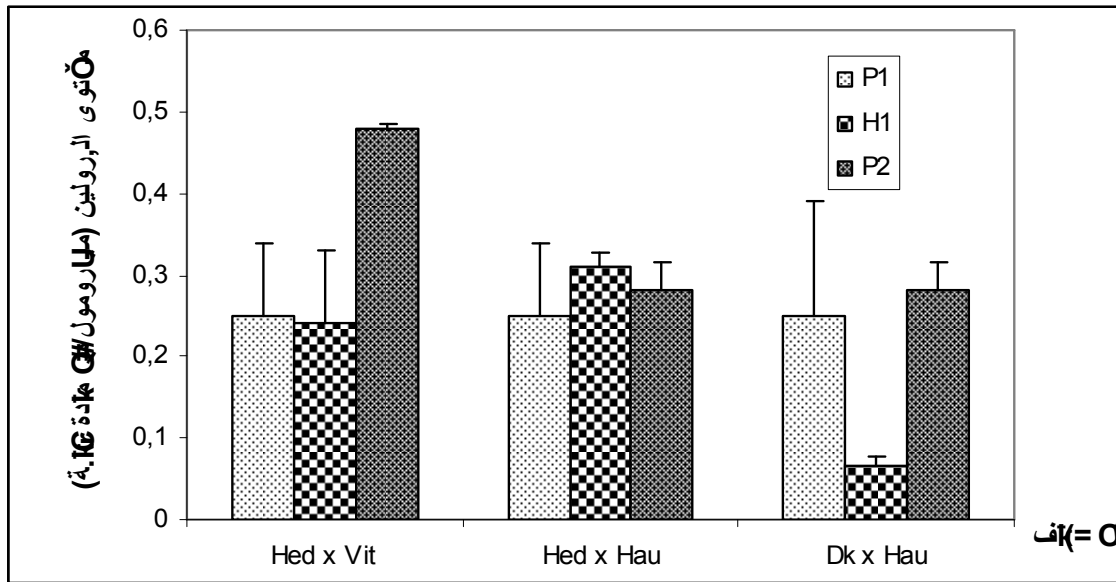
لتجربة لرابعة: تراكم لبرلين عند أفراد لجيل الأول

قدر محتوى لبرلين في هذه التجربة انطلاقا من 40 % من السعة الحقلية . ارتفع محتوى لبرلين عند أوراق لقمح لالصلب نسبيا مع انخفاض محتوى الماء في وسط التربة.

تحت لمعاملة 40 % من س.ح.

يكون محتوى لبرلين منخفضا عند لمعاملة 40 % من س.ح في أوراق أصناف لقمح لالصلب محل لدراسة (شكل III_{22a}) و يكون هذا للمحتوى ضعيفا جدا عند الأوراق و الأعضاء لمنتجة في لشروط لطبيعية حسب (Kneu et Chen,1986).

تباين محتوى لبرلين من 0.01 ± 0.07 لى 0.04 ± 0.34 ميكرومول/ملغ مادة جافة عند الأصناف محل لدراسة . سجلت القيمة لقصوى عند لهجين Dk x Hau في حين سجلت القيمة لدنيا عند لصف Vit . في حين امتد محتوى بقية الأصناف في المجال 0.11 ± 0.21 و 0.13 ± 0.32 ميكرومول/ملغ مادة جافة. وقد أعطى الأب Hau و لهجين Hed x Vit نفس القيمة من محتوى لبرلين 0.028 ± 0.28 و 0.074 ± 0.28 ميكرومول/ملغ مادة جافة على التولي.

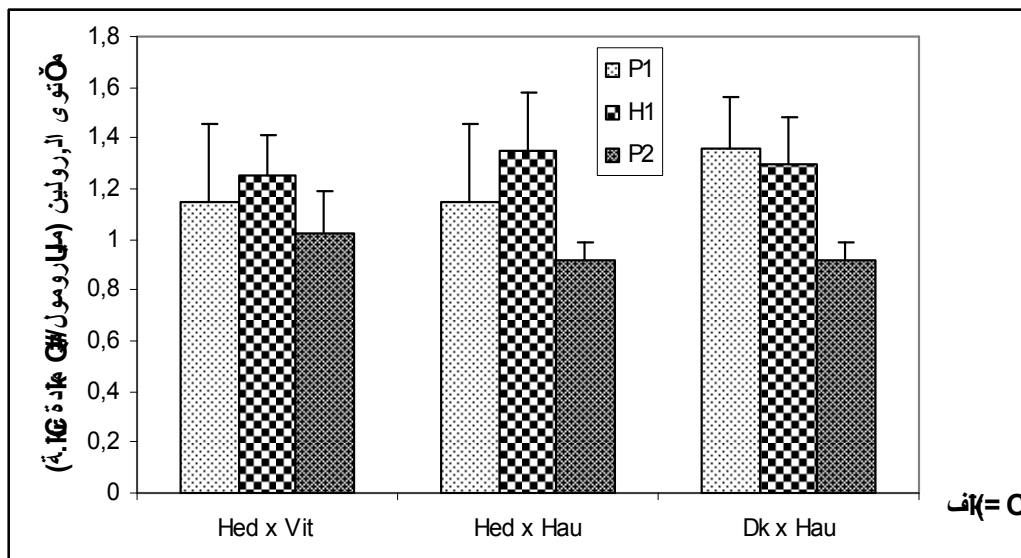


شكل III_{22a}: محتوى لبرلين في أوراق سبعة أصناف من لقمح لالصلب (أباء و هجن F1) عند لمعاملة 40 % من س.ح.

و قسمت لهجن لالثلاث لى ثلاث مجموعات: يمثل لهجين Hed x Hau محتويات عالية من لبرلين مقارنة مع أبائه لمنتج له مع كسب قوة هجين بنسبة 18.5 % ، في حين يمثل محتوى لبرلين عند لهجين Hed x Vit قيمة وسطية بين أبويه مع نقص قوة هجين قدرت بنسبة 6 % . أما لهجين لالثلاث Dk x Hau فقد أعطى قيمة برلين أقل من أبويه و قدرت قوة لهجين بنسبة فقد كبيرة جدا قدرت ب72 % .

عند الإجهاد المعتدل تحت 30 % من س.ح (شكل III_{22b}) ، ترواح محتوى لبرلين بين 0.96 ± 0.05 ميكرومول/ملغ مادة جافة عند الأب Hau لى 0.14 ± 1.85 ميكرومول/ملغ مادة جافة عند لهجين

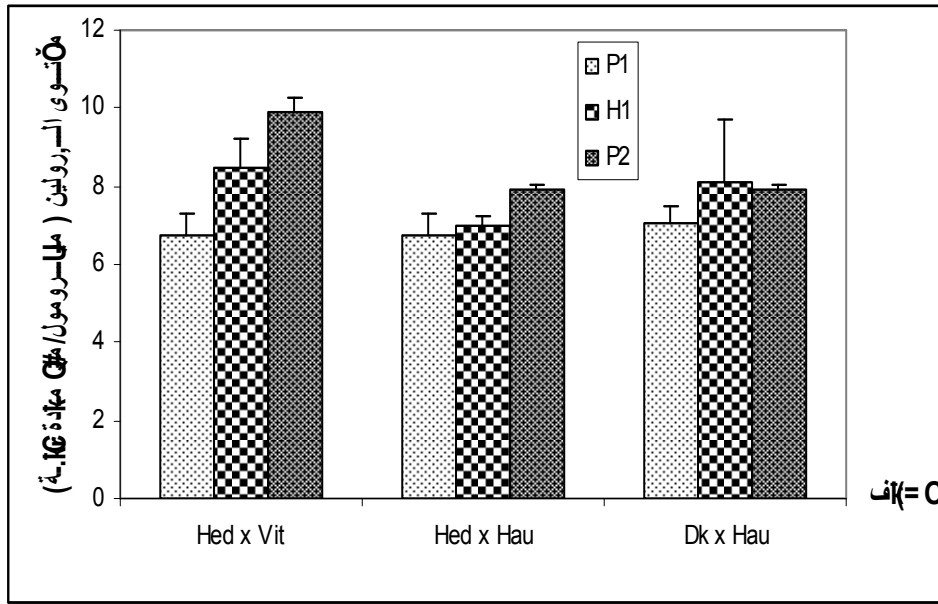
Dk x Hau سجلا الأب Dk و لهجين Hed x Hau نفس المحتوى من البرلين 1.35 ± 0.018 و 1.36 ± 0.16 على الترتيب. في حين سجلت بقية الأصناف آباء و هجن قيما متباينة ، ترواحت بين 1.02 ± 0.13 ميكرومول/ملغ مادة جافة و 1.28 ± 0.1 ميكرومول/ملغ مادة جافة.



شكل III_{22b} : محتوى البرلين في أوراق سبعة أصناف من القمح الصلب (آباء و هجن F1) عند المعاملة 30% من س.ح.

ارتفع محتوى البرلين عند هذه المعاملة من 3 إلى 6 مرات أكثر أهمية عند الأصناف محل الدراسة بالنسبة للقيم الأصلية المسجلة عند 40 % من س.ح . فقد كانت رتبة لتضاعف 3 مرات عند الأبوين Vit و Hau ، 6 مرات عند الأب Dk، ومن 4 إلى 5 مرات عند لهجين Hed x Vit و Hed x Hau و للملاحظ أن كل لهجن سجلت قيما أكبر من آباءها الأصلية أين تجلت جيدا قوة لهجين عند أفراد الجيل الأول، و قدرت نسبها على الترتيب ب 14.67 % ، 27.35 % و 59.84 % عند لهجن الثلاث Hed x Vit ، Hed x Hau و Dk x Hau على الترتيب.

تحت الإجهاد الحاد 20 % من س.ح (شكل III_{22c})، سجل ارتفاعا ملموسا عند جميع الأصناف محل الدراسة آباء وأفراد الجيل الأول و التي تقاربت جميعها في محتواها من البرلين تحت هذه الظروف من الجفاف. حيث ترواح مجال محتوى البرلين بين 0.44 ± 6.76 و 0.31 ± 9.88 ميكرومول/ملغ مادة جافة عند الأبوين Hed و Vit على التوالي. وقد بلغت رتبة لتضاعف من 21 إلى 47 مرة باستثناء لهجين Dk x Hau الذي سجل تضاعفا أعظما قدر ب 116 مرة للقيمة الأساسية.



شكل III_{22c}: محتوى البرولين في أوراق سبعة أصناف من القمح الصلب (أباء و هجن F1) عند المعاملة 20% من س.ح.

تتماشى هذه النتائج مع نتائج أبحاث سابقة تحت ظروف مشابهة، فقد بلغت رتبة التزايد عند القمح الصلب 25 مرة للقيمة الأساسية (Benlaribi et Monneveux, 1991)، 19 إلى 48 مرة (Chaib et Benlaribi (a), 2006)، 30 - 85 مرة (Redjamia, 2006)، و 38 مرة عند عباد الشمس (Navari et al., 1992)، ومن 10 إلى 25 مرة عند الفول (Venekamp et koot, 1988).

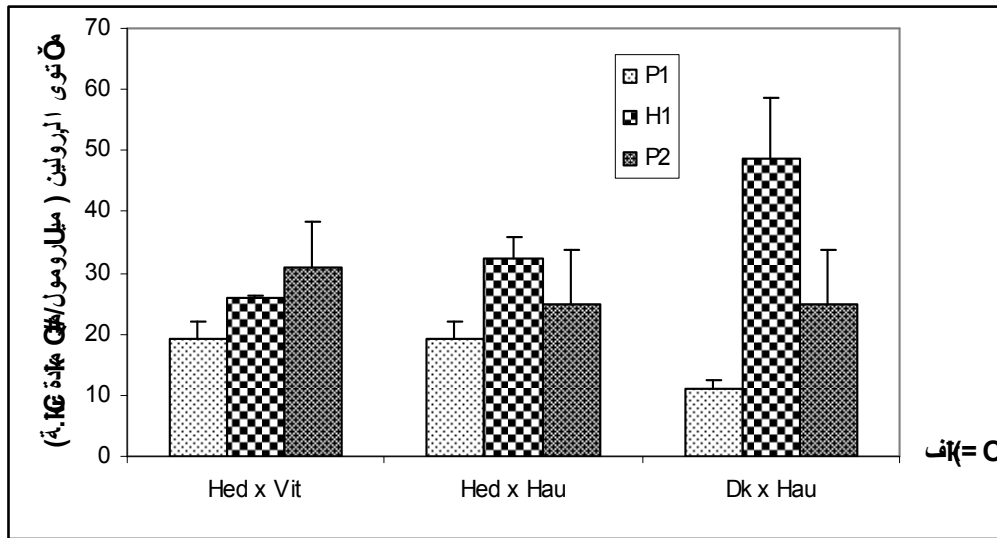
لخص (Monneveux et Nemmar, 1986) أن هذا التراكم يكون جد مرتبطاً بالنقص المائي و درجات الحرارة المرتفعة. فلنتائج المتحصل عليها في تجربتنا توحى (تعتبر) أن الأصناف التي تحس بالنقص المائي تتفاعل معه بزيادة محتواها من البرولين داخل الأنسجة الورقية. ففي هذا المستوى من النقص المائي يتضح للتمييز بين الآباء و أفراد الجيل الأول F1 حيث تمثل لهجن قيما عليا نوعا ما عن الآباء المنتجة لها.

تخصص لهجين Dk x Hau بأحسن هجين بمحتوى برولين أكبر من محتوى أبويه و انفراد بقوة هجين قدرت بنسبة 8.27%، في حين تميز لهجين Hed x Vit بكسب طفيف لقوة لهجين قدرت ب 1.56%. أما لهجين الثلاث Hed x Hau فإنه فقد 5.04 من قوة لهجين.

يمكن تفسير هذه الظاهرة بالتراكم السريع لحمض الأميني منذ بداية النقص المائي مما يسمح بالحفاظ على الضغط الإنتاجي، فحسب (Riazi et al., 1985) أن مستويات البرولين المرتفعة لا تكون إلا بعد توضع التعديل الأسموزي.

تحت شدة عليا من النقص المائي 10% من س.ح (شكل III_{22d})، ارتفع محتوى البرولين في جميع الأصناف محل الدراسة و تراوحت قيمته من 1.53 ± 10.92 ميكرومول/ملغ مادة جافة في الأب Dk إلى

تباينت من 0.06 ± 17.42 لى 2.75 ± 39.17 ميكرومول/ملغ مادة جافة. بينما سجلت الأصناف اللمتبقية محتويات 8.2 ± 41.84 ميكرومول/ملغ مادة جافة في الهمجين $Dk \times Hau$. بينما سجلت الأصناف اللمتبقية محتويات

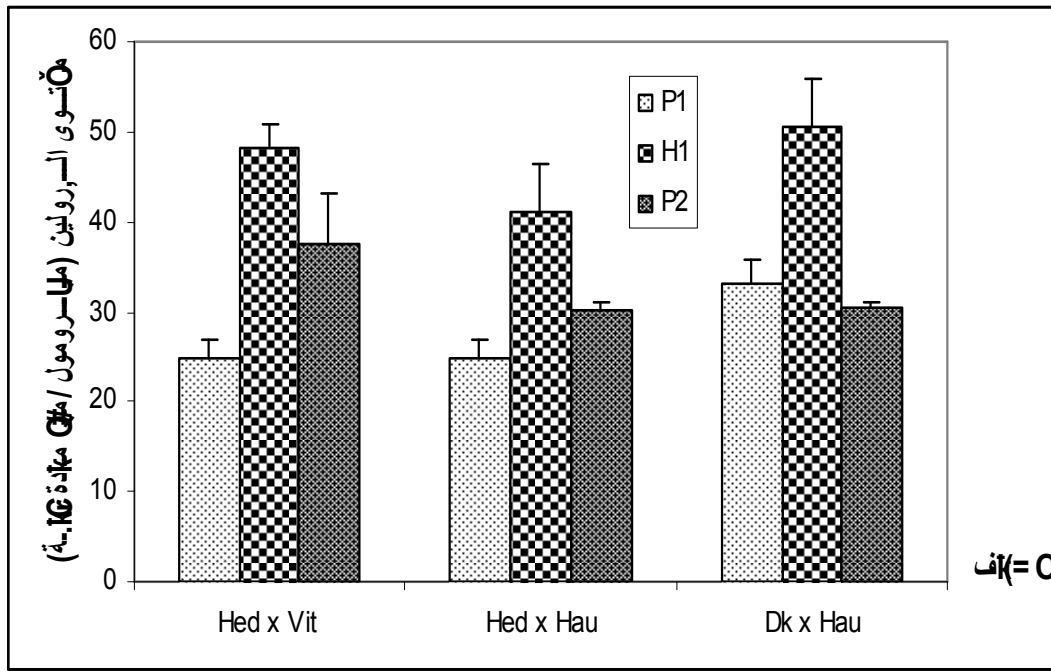


شكل III_{22d}: محتوى البرولين في أوراق سبعة أصناف من القمح للصلب (أباء و هجن F1) عند المعاملة 10% من س.ح.

قدرت رتبة التضاعف من 52 لى 122 مرة ، بينما انفرد الهمجين $Dk \times Hau$ برتبة تضاعف مثلى قدرت ب 597 مرة القيمة الأصلية عند 40% من س.ح.

و تتميز أفراد الجيل الأول دائما بمحتويات أعلى من الآباء مما نتج عنه تحسنا أعظما في قوة الهمجين قدر بنسبة 206% و 120.43% على التوالي عند الهمجين $Dk \times Hau$ و $Hed \times Hau$ بينما أعطى الهمجين $Hed \times Vit$ محتوى وسطي بين أبويه مع فقد في قوة الهمجين قدر ب 30.94%.

في نهاية التجربة و تحت مستوى الجفاف الحاد جدا 6.5% من س.ح(شكل III_{22e})، انلعت زيادة أعظمية لمحتوى البرولين من رتبة 96 لى 172 مرة القيمة الأساسية المسجلة عند 40% من س.ح. و التي تمثلت في تباين محتوى البرولين من 2.02 ± 20.27 ميكرومول/ملغ مادة جافة عند الأب Dk لى 50.56 ± 3.66 ميكرومول/ملغ مادة جافة عند الهمجين $Dk \times Hau$. في حين انحصرت القيم المسجلة عند بقية الأصناف آباء و هجن بين 1.86 ± 24.82 و 2.17 ± 48.20 ميكرومول/ملغ مادة جافة. وقد انفرد الهمجين $Dk \times Hau$ لى الناتج من تلقيح الأبوين اللمتحمليين للجفاف بزيادة معتبرة جدا قدرت ب 723 مرة القيمة الأساسية.



شكل III_{22e}: محتوى البرولين في أوراق سبعة أصناف من القمح للصلب (أباء و هجن F1) عند المعاملة 6.5 % من س.ح.

أوضحت لهجن الثلاثة لأفراد الجيل الأول مستويات حسنة مقارنة بالأباء المنتجة لها بإعطاء تحسنا نموذجيا لقوة لهجين، وصل إلى 100% وهو ما يتماشى في تجربتنا مع ما نص عليه مفهوم قوة لهجين (Gallais, 1989) فقد هذا لتحسن ب 54.93% ، 59.07% و 100% عند لهجن الثلاث لأفراد الجيل الأول Hed x Vit ، Hed x Hau و Dk x Hau على الترتيب.

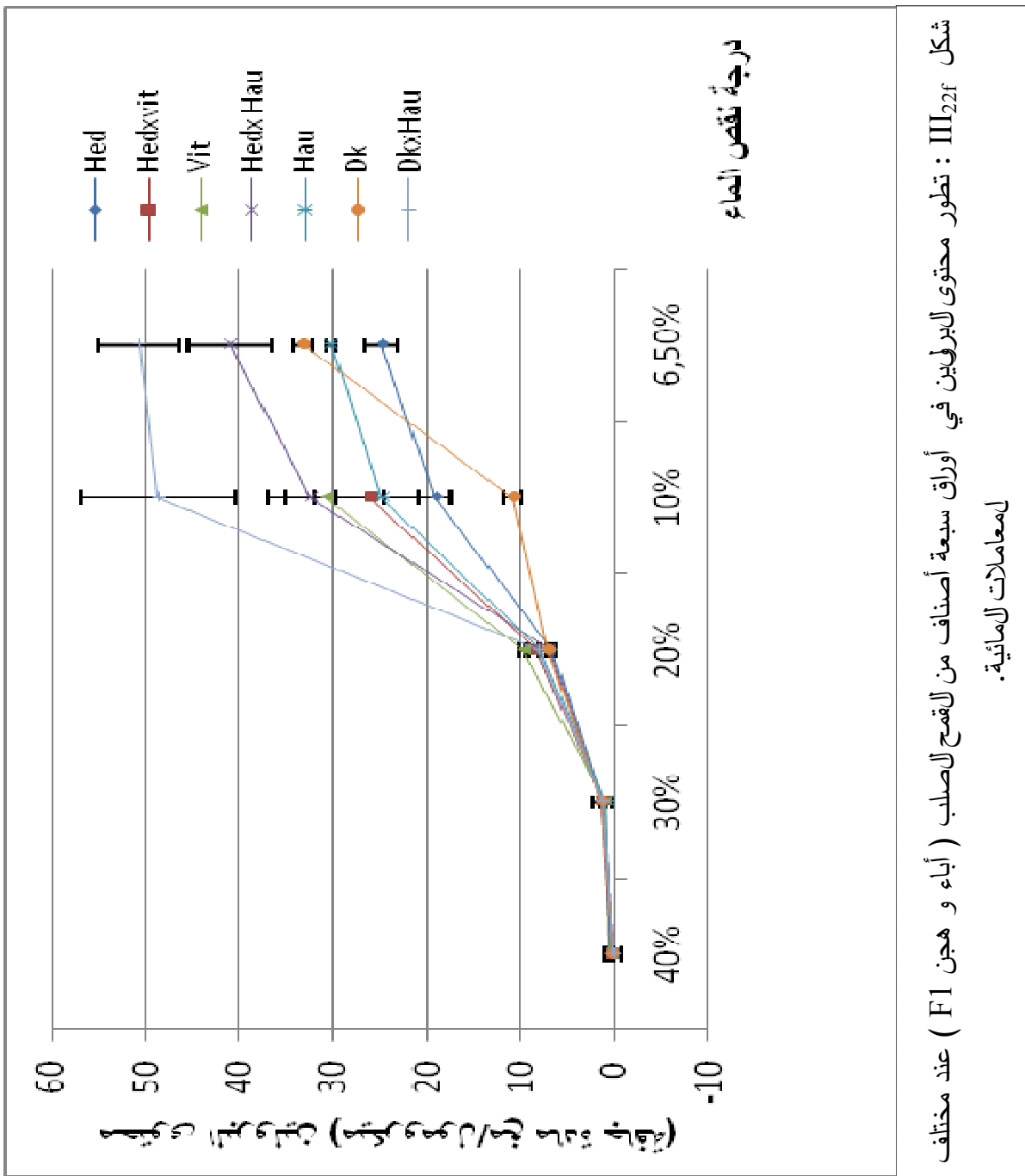
يعكس محتوى البرولين في هذه التجربة فعلا تأثير الجفاف (نقص الماء) على تراكم البرولين عند لهجن وأبائها الأصلية. تتوافق هذه النتائج مع تلك المسجلة من طرف (Redjaimia, 2006) و (Chaib et Benlaribi 2006 (b)). فهذا التدفق من تراكم البرولين لا يعتبر إلا ظاهرة تأقلم مع الجفاف و التي تسمح لنبات بالحفاظ على الإنتاج بخفض الضغط الأسموزي (Monneveux, 1991).

يلعب البرولين دور منظما اسموزيا مرتبطا بمستوى تحمل الجفاف (Stewart *et al.*, 1974 ; Kauss, 1977) فيسمح هذا للنمط من التحمل لنبات بضمن وظائفه الفيزيولوجية، بالرغم من تدهور الحلة المائية الداخلية لنبات (De Raissac, 1992). كما يمكن أن يتدخل البرولين المتراكم ككوك في تعديل P^H السيتوبلازم (Pesci et Befagna, 1984) و يشكل مخزونا أزوتيا يستعمل لاحقا في فترات الجفاف (Tall et Rosenthal, 1979). في نهاية التجربة تعطى أفراد الجيل الأول محتويات جيدة من البرولين فهي تمثل حقيقة لنظرية القصوى الإيجابية لقوة لهجين. أسفر التحليل الإحصائي عن نتائج ذات دلالة معنوية جدا بين مستويات الجفاف من جهة وبين الأصناف محل للدراسة من جهة ثانية. فقد أمكن تقسيم المعاملات المائية المدروسة إلى أربع مجموعات:

$A > B > C > D \Leftrightarrow 6.5\% > 10\% > 20\% > 30\%$; $40\% \Leftrightarrow 37,911 > 27,484 > 7,882 > 1,196 ; 0,272$

حيث سجل أكبر محتوى 37,911 ميكرومول/ملغ مادة جافة عند المعاملة 6.5 % من س.ح ، في حين سجل أصغر محتوى من البرولين عند المعاملتين 30 % و 40 % من س.ح بمتوسط 1,196 و 0,272 ميكرومول/ملغ مادة جافة ،بينما سجلت المعاملتين 20 % و 10 % قيما وسطية قدر متوسطها ب 27,484 و 7,882 ميكرومول/ملغ مادة جافة على الترتيب. وقد قسمت الأصناف محل الدراسة الى ثلاثة مجموعات:

$A > B > C \Leftrightarrow Dk \times Hau > Hed \times Vit ; Hed \times Hau ; Vit > Hau ; Dk ; Hed$
 $\Leftrightarrow 21,755 > 16,784 ; 16,383 ; 15,906 > 12,829 ; 10,565 ; 10,421$



شكل III_{22f} : تطور محتوى البرولين في أوراق سبعة أصناف من القمح الصلب (أباء و هجن F1) عند مختلف لمعاملات المائية.

لتجربة لخامسة: تراكم لبرلين عند أفراد لجيل لثاني

عند 40% من س.ح

تراوح محتوى لبرلين تحت 40 % من س.ح (شكل III_{23a})، من 0.1±1.22 إلى 0.20 ± 2.45 عند الصنفين G₁ (Hed x Hau) و Vit وقد تقاربت محتويات لبرلين عند جميع الأصناف أباء أصيلة وأفراد F₂. من الملاحظ وللمتعارف عليه أن محتوى لبرلين يرتفع من 40 % إلى 10 % من س.ح تدريجياً ليكن الهداف هنا هو فصل الأصناف في مجموعات متميزة عن بعضها البعض .

تكون نسبة الأصناف من 40 % إلى 30 % من رتبة 1.07 إلى 1.48 مرة. وإلى 20 % من رتبة 1.31 إلى 2.288 مرة وعند 10 % من 12 إلى 21 مرة مما يدل على زيادة محتوى لبرلين خضوعاً إلى نقص محتوى للماء في التربة.

تراوح محتوى لبرلين من 0.1 ± 1.22 كقيمة دنيا إلى 0.23 ± 2.45 كقيمة قصوى عند الهجين G₁ (Hed x Hau) و الأب Vit على الترتيب. وقد تقاربت محتويات لبرلين عند جميع الأصناف أباء أصلية و أفراد لجيل لثاني. ترتب هجن F₂ في المجموعتين تضم المجموعة الأولى الهجن

(Hed x Hau)_{G1} ، (Hed x Vit)_{G1} ، (Hed x Hed)_{G2} مع قوة هجين مرتفعة قدرت ب 28.22 % ، 7.30 % ،

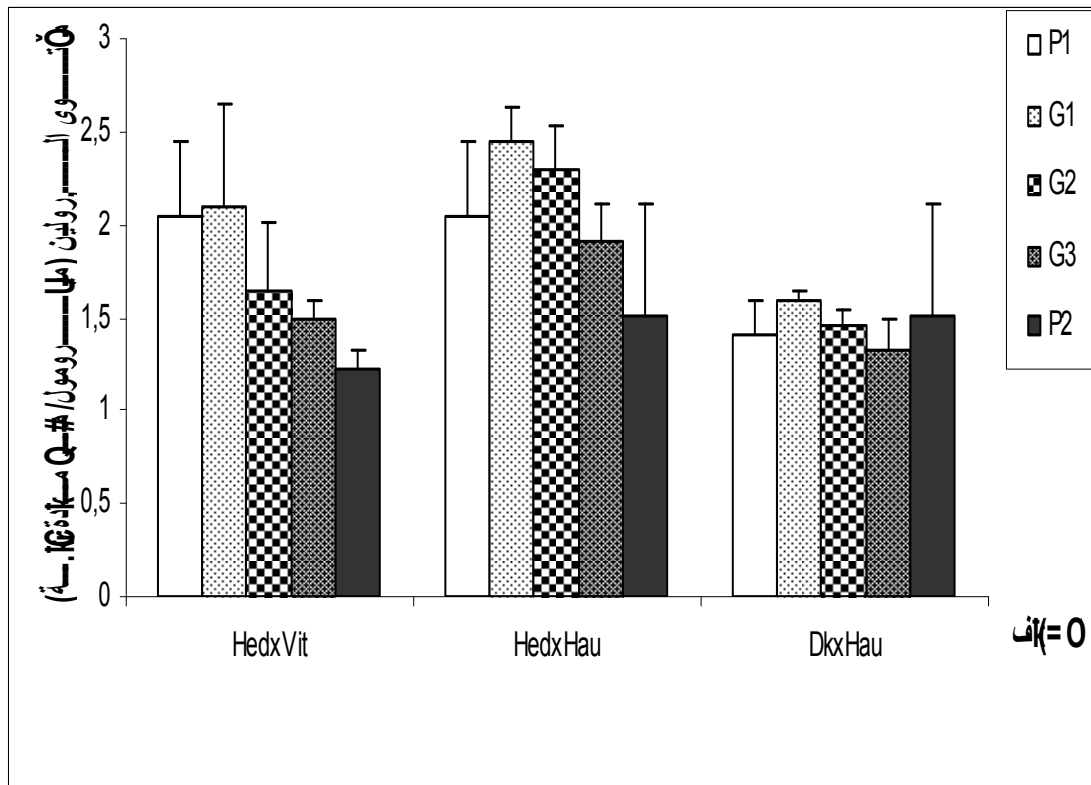
28.65 % على التوالي في حين تمثل الهجن (DK x Hau)_{G1} ، (Hed x Hau)_{G2} ، (Hed x vit)_{G2}

تحسناً متوسطاً في قوة الهجين قدر ب 1.23 % ، 7.30 % ، 9.58 % على التوالي . أما المجموعة لثانية فإنها

تضم الهجين لباقية (Hed x vit)_{G3} ؛ (DK x Hau)_{G3} بفقد في قوة الهجين مساوية 8.58 % و 9.5 % على الترتيب

فيما سجل الهجين (DK x Hau)_{G2} نفس محتوى لبرلين كالأب الأنثي مع ضياع في قوة الهجين قدرت ب

0.6 % .



شكل III_{23a}: محتوى البروتين عند أوراق 13 صنف من القمح الصلب (الآباء وهجن F2) عند المعاملة 40 % من س.ح.

عند 30% من س.ح

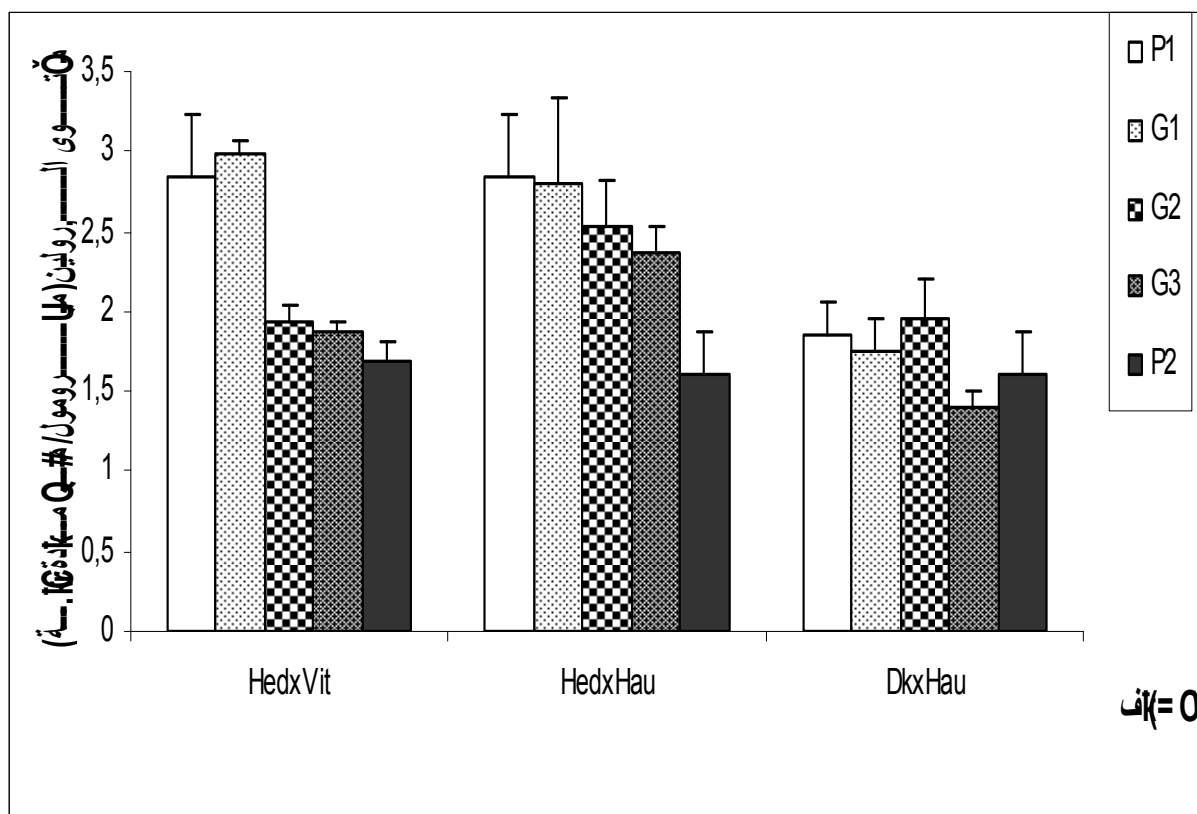
تحت شدة 30% من س.ح (شكل III_{23b}) ، تطور محتوى البروتين من 0.17 ± 1.61 عند الأب الأصيل Hau إلى 0.1 ± 2.98 عند الهجين (Hed x Vit)_{G2}. سجل الهجينين (DK x Hau)_{G1} و (DK x Hau)_{G2} نفس القيمة 0.82 ± 1.95 ميكرو مول/ملغ مادة جافة (شكل III_{23b}).

كان محتوى البروتين عند الهجن (Hed x Vit)_{G1} ، (Hed x Hau)_{G1} ، (Hed x Hau)_{G2} ،

(DK x Hau)_{G1} و (DK x Hau)_{G2} أكبر من محتوى الآباء الألي المنتجة لها بكسب قدر ب 31.86% ، 26.24% ، 13.78% ، 9.82% و 12.71% على الترتيب.

في حين سجل الهجين (Hed x Hau)_{G3} و (DK x Hau)_{G3} قيمة برولين أكبر من أحد الأبوين الأليين مع تحسين في قوة الهجين قدرت ب 4.84% و 6.97% على الترتيب في حين فقد الصنفين (Hed x Vit)_{G2} ، (Hed x Vit)_{G3} نسبة 14.16% و 17.26% على الترتيب.

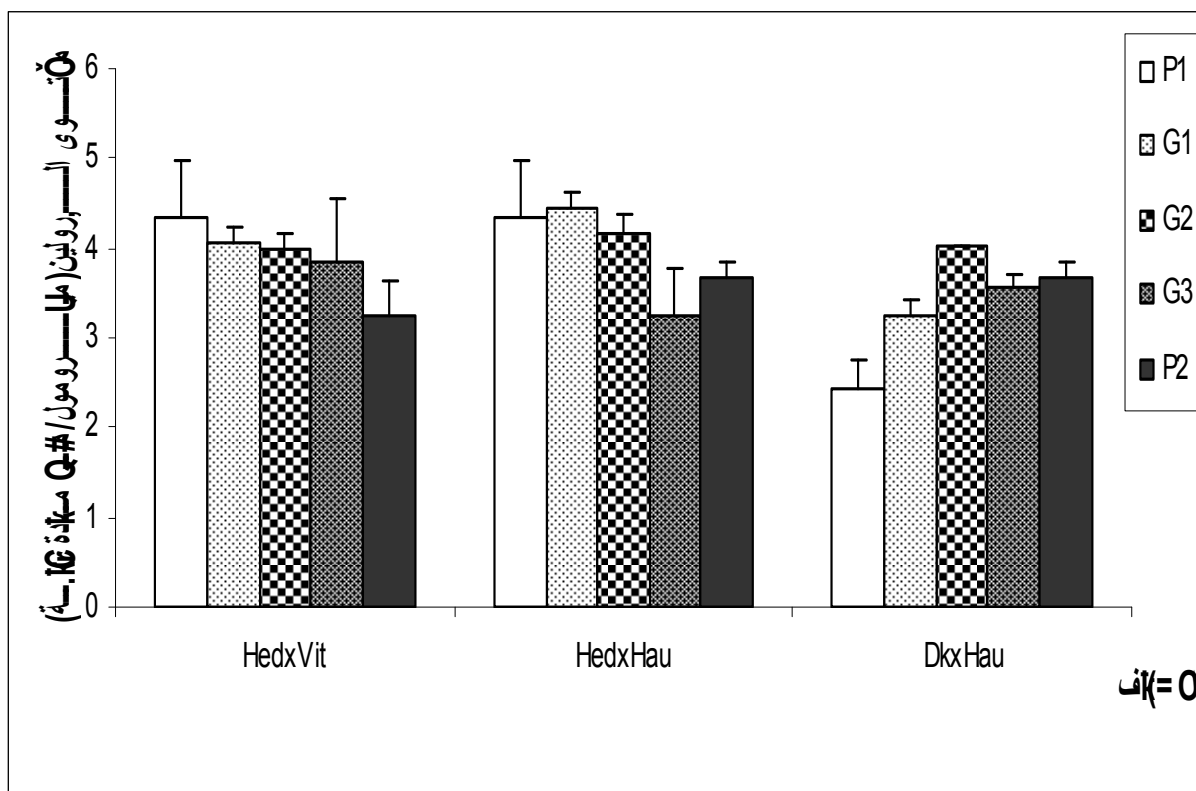
في هذا المستوى سجل ارتفاعا طفيفا قدر من 1.07 إلى 1.48 مرة القيمة الأساسية عند 40% حيث تميز الصنف Hau بأصغر قيمة و الهجين (Dk x Hau)_{G2} بأعلى قيمة .



شكل III_{23b} : محتوى البربرين عند أوراق 13 صنف من القمح الصلب (الآباء وهجن F2) عند المعاملة 30% من س.ح.

عند 20 % من س.ح

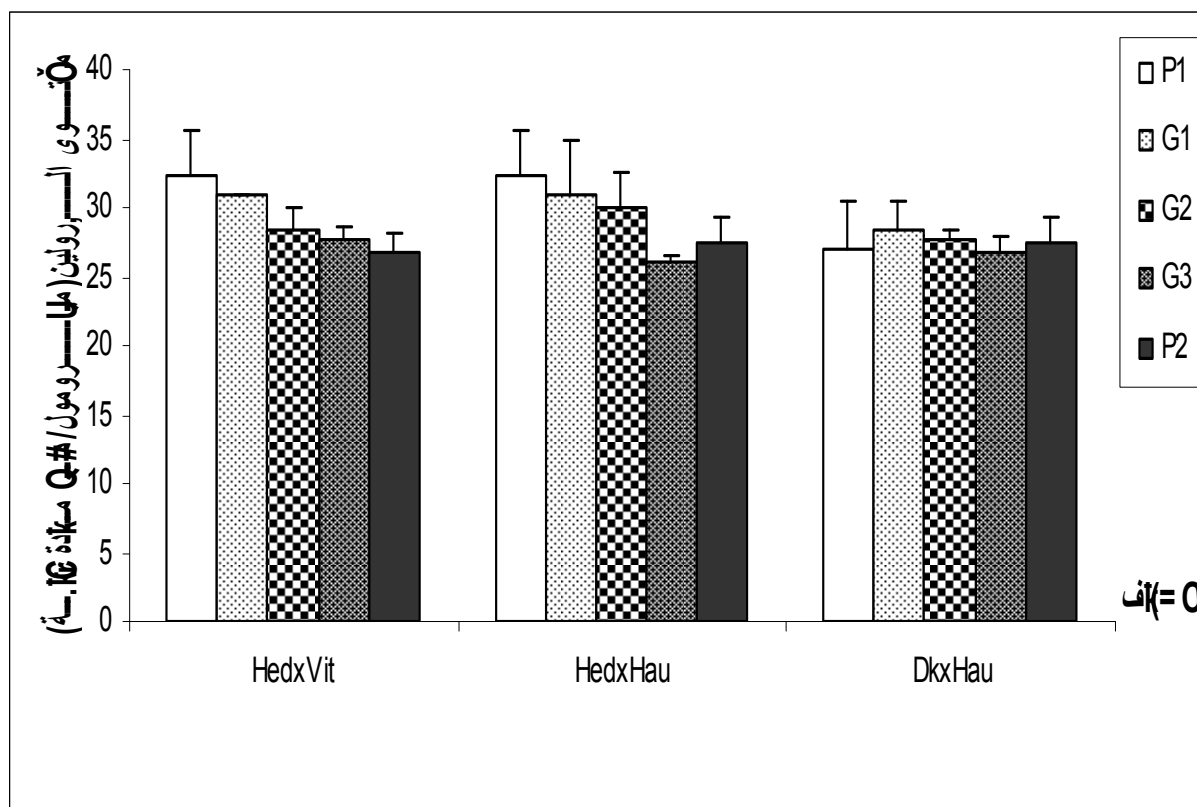
تباين محتوى البربرين بين 0.33 ± 2.43 ميكرومول/ملغ مادة جافة عند الأب Dk إلى 0.22 ± 4.44 ميكرومول/ملغ مادة جافة عند الهجين $(Hed \times Hau)_{G1}$ (شكل III_{23c}). يسجل الصنفين vit و $(Hed \times Hau)_{G3}$ نفس محتوى البربرين 0.5 ± 3.23 ميكرومول/ملغ مادة جافة وهو الصنف الوحيد الذي سجل فقدا في قوة الهجين مساوي لـ 19.35 % ، في حين سجلت بقية الأصناف تحسنا و كسبا في قوة الهجين و التي تعدت 10 % عند الهجين $(Hed \times Hau)_{G1}$ و أقل من 1 % عند الهجين $(Dk \times Hau)_{G3}$. و قد لوحظ تطورا طفيفا في محتوى البربرين قدر ب 1.31 و 2.28 مرة للقيمة الأساسية المسجلة عند كلا الأبوين Dk و Hau على الترتيب.



شكل III_{23c} : محتوى البربرين عند أوراق 13 صنف من القمح الصلب (الآباء وهجن F2) عند المعاملة 20% من س.ح.

عند 10 % من س.ح.

تراوح محتوى البربرين بين 0.58 ± 25.96 ميكرومول/ملغ مادة جافة عند الأب Vit إلى 3.48 ± 32.4 ميكرومول/ملغ مادة جافة عند الأب Hed. يرتفع التباين ب 12 إلى 21 مرة القيمة الأساسية 40% من س.ح (شكل III_{23d}). وتفجم قوة الهجين ب 0.27 الج الهجين $(Hed \times Hau)_{G2}$ و 13.09 الج الهجين $(Hed \times 3)$ (Hau)_G باستثناء الهجينين $(Hed \times Vit)_{G1}$ و $(Hed \times Vit)_{G2}$ اللذان سجلا ضياع في قوة الهجين قدر ب 4.05% و 5.92% على الترتيب.



شكل III_{23d} : محتوى البرولين عند أوراق 13 صنف من القمح الصلب (الآباء وهجن F2) عند المعاملة 10% من س.ح.

ملخص: مقارنة بين مختلف محتويات البرولين عند مختلف مستويات لجفاف

يرتفع مسار البرولين من (Hed x Vit)_{G3} يتزايد محتوى البرولين مع زيادة حدة نقص الماء. فعند الهجين 1.26 مرة عند المستوى 30 % من س.ح إلى 2.57 مرة عند المستوى 20 % من س.ح ليتجاوز 19 مرة عند المستوى 10 % من س.ح القيمة الأساسية عند 40 % من س.ح. (الشكل III_{23e})، لكن تبقى هذه القيمة منخفضة مقارنة بالقيم المسجلة عند هجن الجيل الأول.

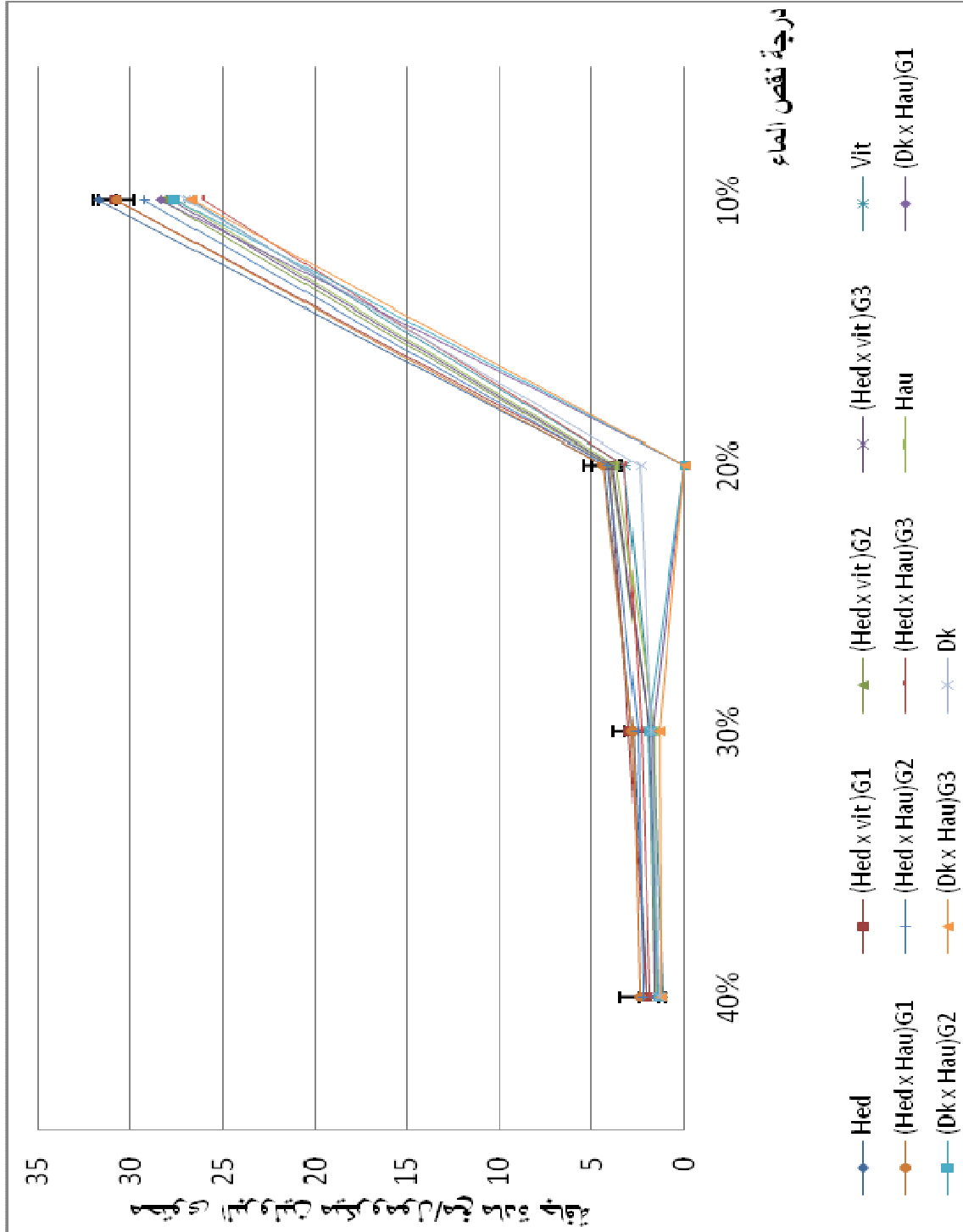
انخفضت قيمة قوة الهجين تدريجياً مروراً من الجيل الأول إلى الجيل الثاني عند كل الأصناف بالرغم من وجود تحسناً بالنسبة ل كلا الأبوين الأصليين أو أحد الأبوين.

توضح الدراسة الإحصائية وجود دلالة معنوية جداً بين الأصناف، بين مستويات الجفاف و دلالة معنوية بين التداخل بين عاملي الأصناف و محتوى الجفاف.

يعتمد اختبار أصغر فرق معنوي NKS إلى ترتيب مستويات نقص الماء إلى ثلاث مجموعات. تضم المجموعة الأولى مستوى 10% من س.ح الذي يسجل أكبر محتوى من البرولين بمتوسط 28.36 ميكرومول/ملغ مادة جافة. يتبع بالمجموعة الثانية الممثلة بالمستوى 20 % من س.ح بمتوسط تراكم قدر ب 2.88 ميكرومول/ملغ مادة جافة. أما المجموعة الثالثة فإنها تشمل للمستويين 30 % و 40 % من س.ح بمعدل تراكم ضعيف قدر ب 2.14 و 1.72 ميكرومول/ملغ مادة جافة على الترتيب.

$A > B > C \Leftrightarrow 10\% > 20\% > 30\%$; $40\% \Leftarrow \Rightarrow 28.36 > 2.88 > 2.14 ; 1.72$

أما بالنسبة لمجموعة الأصناف فإنها رتبت وفق نفس الاختبار إلى سبعة مجاميع يلاحظ تداخلا بين الهجن و الآباء المنتجة لها.



شكل 13: تطور محتوى الكلوروفيل في أوراق 13 صنف من القمح الصلب (آباء و أفراد F2) عند مختلف المعاملات المائية.

لتجربة رقم 6: مصير لبرلين بعد إعادة لسقي

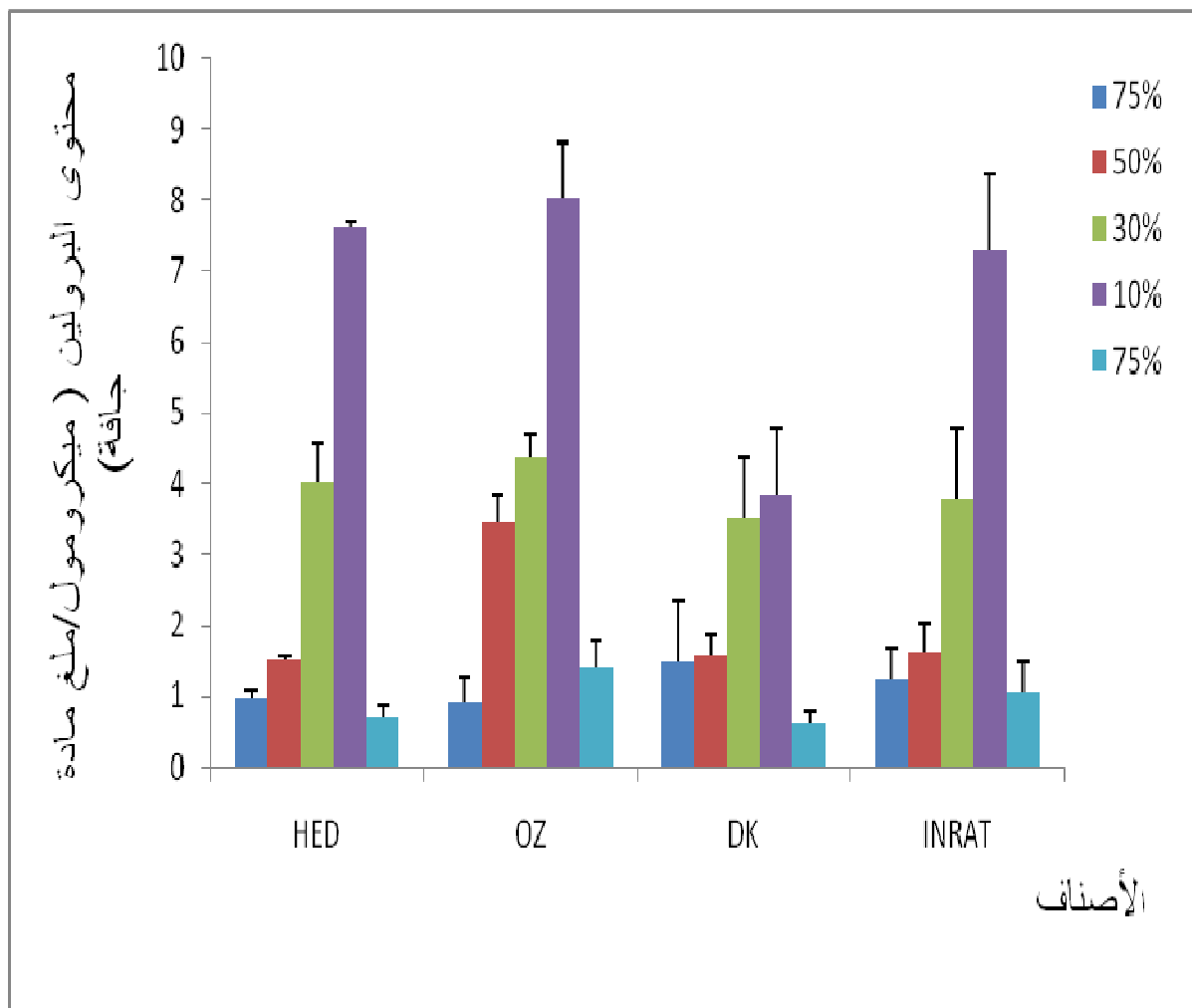
عرف لبرلين ليتواجد بشدة عند النباتات و يتراكم عادة بكميات معتبرة كاستجابة لإجهاد البيئية سواء نتيجة زيادة إنتاجه أو انخفاضه بتهدمه.

وتم تسجيل هذا التطور الإيجابي تحت مختلف الإجهاد البيئي: الإجهاد لحراري، لضيوي، لملحي و للمائي. و اعتمادا على المراجع السابقة و الأعمال المنجزة في المختبر لفترة أكثر من 20 سنة أن التراكم لا يبدأ إلا عند 40 % من س.ح و لذي لا يتعدى 2 ميكرومول /ملغ مادة جافة تم إدراج هذه التجربة. عند المعالجة 75 % من س.ح سجلت الأصناف الأربعة مستويات أقل من 2 ميكرومول/ملغ مادة جافة. سجلت القيمة القصوى عند صنف Dk ب 1.5 + 0.58 ميكرومول /ملغ مادة جافة و القيمة لدنيا 0.34 + 0.13 عند ل صنف OZ. في حين سجل للصنفين لمتبقين Hed و INRAT قيمتي 0.99 + 0.1 و 1.23 + 0.45 ميكرومول/ملغ مادة جافة.

عند المعالجة 50 % من س.ح سجلت الأربعة أصناف مسار من التزايد قدر ب 1.52 + 0.05 و 3.45 + 0.39 ميكرومول/ملغ مادة جافة عند كل من الصنفين Hed و OZ على التوالي. في حين سجل للصنفين Dk و INRAT قيمتين متساويتين تقريبا وللتان تبغا 1.59 + 0.26 و 1.62 + 0.41 ميكرومول/ملغ مادة جافة. و ل ملاحظ أن جميع القيم عند 50% من س.ح ؛ أقل من 2 ميكرومول /ملغ مادة جافة باستثناء ل صنف OZ. بلغ مستوى التضاعف 3.71 و 1.54 مرة لقيمة الأساسية عند 75 % من س.ح عند كل من OZ و Hed على لترتيب. في حين كان ضعيفا عند كل من INRAT و Dk و قدر ب 1.32 مرة و 1.06 على التوالي، مما يوحي أن النباتات لم تتحسس بعد لى لنقص للمائي. (شكل III_{24a}).

عند الجفاف المعتدل 30 % من س.ح تبدأ الأصناف في التحسس إلى درجة الرطوبة في التربة و تبدأ بتراكم البرولين بصفة واضحة تقدر بلضعف عند صنف INRAT، ثلاثة أضعاف عند DK، أربعة أضعاف عند Hed و 5 أضعاف عند OZ القيمة الأساسية المسجلة عند 75% من س.ح.

وقد تميزت الأصناف الأربعة في هذه المعالجة بقيم متقاربة من محتوى البرولين حيث تراوح مجال التراكم بين قيمتي 0.87 + 3.52 و 0.31+4.39 عند الصنفين Dk و OZ على الترتيب . وقد سجل الصنفين INRAT و Hed قيمتي 0.1 ± 3.79 و 0.54 ± 4.01 ميكرومول/ملج مادة جافة.



شكل III_{24a}: تباين محتوى البرولين عند أوراق أربعة أصناف من القمح الصلب بدلالة مستوى نقص الماء

عند الجفاف المعتدل 10% من س.ح جزو تراكم البرولين الكاورة جلياً عند الأصناف سج. الجافة العالية عند صنف OZ ب 0.77 ± 8.03 يليها الصنفين Hed و INRAT بقيمتين متقاربتين هما 7.36 ± 0.07 و 1.08 ± 7.29 ميكرومول/ملج مادة جافة. يتبع بتراكم طفيف لصنف Dk مقارنة ب المعالجة 30% من س.ح بقيمة 0.93 ± 3.86 ميكرومول/ملج مادة جافة .

بعد إعادة السقي و أثناء فترة الاستعادة مباشرة بعد تطبيق الإجهاد، ينخفض محتوى البرولين في نفس الوقت لكميات المنسوخة ل PCR فيكون تحفيز الجين مرتبط مباشرة بتنظيم معدل البرولين داخل الخلايا بدلالة الإجهاد على النباتات المعولة وراثيا نبات التبغ *Nicotiana tabacum*.

وأمكن ترتيب الأصناف وفقاً لاختبار أصغر فرق معنوي إلى ثلاثة مجاميع :

$$A > B > C \Leftrightarrow OZ > INRAT ; Hed > Dk \Leftrightarrow 3.64 > 3; 2.97 > 2.22$$

نلاحظ أن هذه المجموعات قادرة على تراكم البرولين في كبرجات مختلفة وفقاً للجهد الوراثي لكل صنف. فالأصناف الثلاثة الألي تتحسس نقص الماء عند 30 % من س.ح وتبدأ في تراكم البرولين ليصل ذروته عند 10 % من س.ح. فهذه الأصناف يمكنها تحمل الجفاف في المناطق الجافة و شبه الجافة. في حين للصنف Dk يتحسس الجفاف كلك عند 30 % من س.ح و يتفاعل معه بصورة ضعيفة و يحافظ على نفس التفاعل عند 10 % من س.ح فهو صنف متأقلاً فعلاً مع المنطقة الجافة.

فحسب Singh *et al.* (1993) أن الانجليات الخاضعة ل فعل الجفاف تراكم الأصناف المحتملة للجفاف كميات معتبرة من البرولين أهم من الأصناف الحساسة. في حين يبدو أن البرولين يستجيب إيجابياً مع الحرارة و الإضاءة و كذا لتعرض الجيد لأشعة الشمس (Kliwer *et al.*, 1968 in Zott, 2005).

III. لدراسة لوراثية

1. دراسة الآباء

استعملت تقنيات لتفريد الكهربي على نطاق واسع كاختبار سريع و دقيق لتميز أصناف لقمح لصلب بإعطائها لبصمات لوراثية الأصلية لبروتين ،لمشابهات الإنزيمية ، ل لحمض لنووي ADN بتحديد نسبة لتشابه ، لنقاوة و لكفاءة لزراعية لصلب.

1.1. ل مشابهات الإنزيمية

تسمح تقنية تحليل لتباين ل مشابهات الإنزيمية بدراسة الأصناف وتمييزها عن بعضها البعض ، إلا أن هذه التقنية لا تعطي بصمة وراثية دقيقة لكل صنف بتمييزه وتعريفه بكل خصائصه عن طريق التفريد الكهربي للإنزيمات.

و قد أجريت لدراسة على حبوب لقمح لعشرة أصناف بعد إنبات هال مدة 24 ساعة حيث تم لكشف عن إنزيمات Esterase و Malate dehydrogenase و Alcohol dehydrogenase.

وقد استخدم مع إنزيم Esterase مواد لتفاعل لتالية:

1Mβ- Naphthyl Acetate

2Mα Naphthyl Butyrate

3Mα MNaphthyl Propionate

4Mα MNaphthyl Propionate

وتوضح الأشكال من III_{25a} إلى III_{30a} صور أشكال لتفاعلات Zymograms والرسم لتخطيطية Ideograms
ل لحزم لتابعة لها وتلك بالأشكال شكل III_{25b} إلى III_{30b} .

و يوضح الجدولان III₁ و III₂ لتباين في وجود أو عدم وجود ل حزم الخاصة بالإنزيمات لمدروسة. وكما يوضح الجدول III₃ عدد ل حزم التي أبدت تفردا مظهريا (أحادي المظهر) Monomorphisme وتلك التي أظهرت تعددا مظهريا Polymorphisme و تلك لكل إنزيم على حدى من خلال الأصناف لعشر محل لدراسة.

1.1.1 . إنزيم الإستريز Esterase

أوضحت نتائج دراسة إنزيم Esterase باستخدام مواد التفاعل الأربعة أن عدد الحزم الخاصة بهذا الأنزيم تتراوح من 5 إلى 6 حزم للأصناف العشر محل الدراسة.

و تبين أنه توجد حزمتين مشتركتين من النوع أحادي المظهر bandes Monomorphiques باستخدام كل من مواد التفاعل الثلاثة:

α M β -Naphthyl Acetate, β - Naphthyl Acetate, α MNaphthyl Propionate

بينما أعطت مادة التفاعل الكاف α MNaphthyl Butyrate حزمة واحدة أحادية المظهر.

وقد تراوحت عدد الحزم متعددة المظهر من 3 إلى 5 حزم باستخدام مواد التفاعل الأربعة حيث وجد 3 حزم باستخدام كل من مادتي التفاعل α MNaphthyl Acetate و α M β -Naphthyl Acetate Est بينما تبين وجود 4 حزم متعددة المظهر باستخدام مادة التفاعل α MNaphthyl Propionate

في حين أبدت مادة التفاعل β - Naphthyl Butyrate Est عند استخدامها 5 حزم متعددة المظهر على أن كل هذه الحزم تعتبر شائعة لتواجد bandes non uniques حيث أنها تتواجد في بعض الأصناف و لا تتواجد في الأخرى .

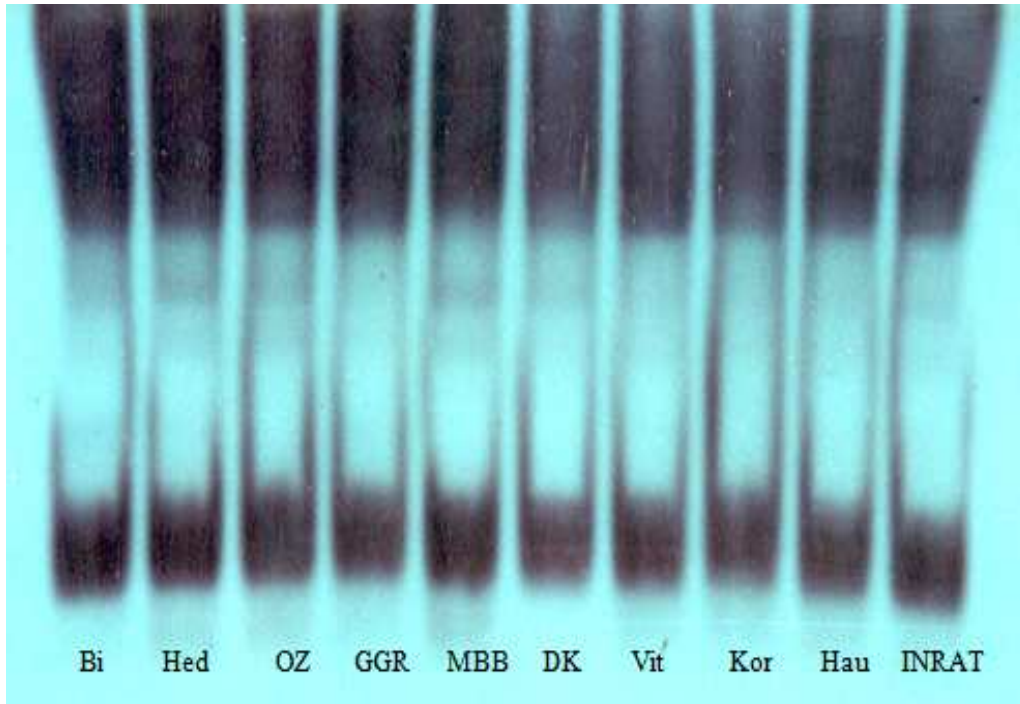
وتجدر الإشارة أن تم تمييز حزم كاشفة bandes uniques التي يمكن أن تستخدم كحزمة لكشف عن صنف معين من الأصناف العشرة محل الدراسة ولك عند استخدام مادة التفاعل α MNaphthyl Propionate و α M β -Naphthyl Acetate .

ف عند استخدام مادة التفاعل α M β -Naphthyl Acetate تبين وجود الحزمة Est 5 في جميع الأصناف عدا للصنف Dk [Dk Est 5(M)] . كمال وحظ وجود حزمتين كاشفتين سلبيتين وهي الحزمة رقم 2 و الحزمة رقم 3 Est 3 (M) ، 2 (M) في الصنف GGR و الحزمة Est6 (M) عند الصنف Dk الجزائري باستخدام مادة التفاعل α M Naphthyl Propionate .

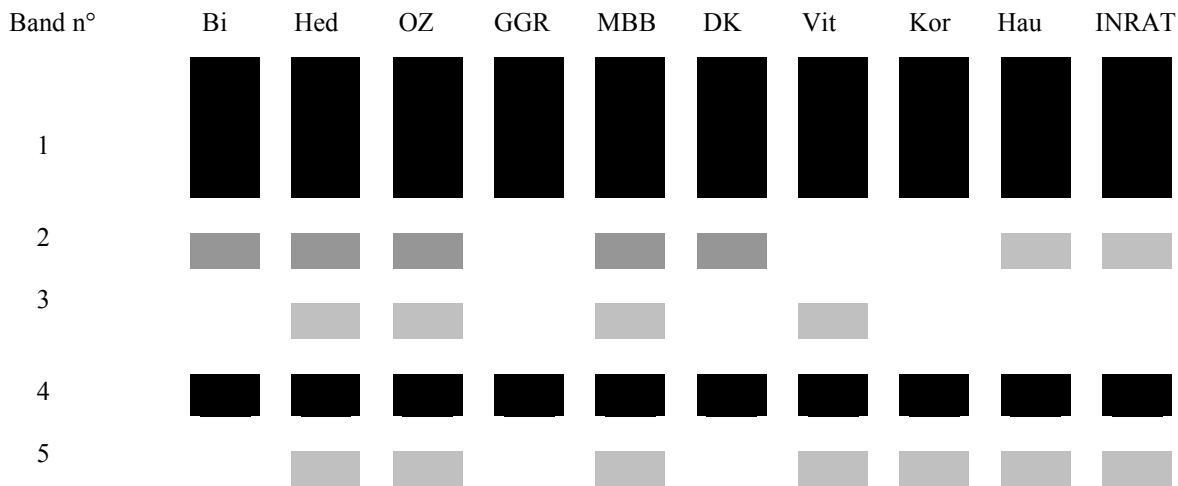
جدول III: وجود (+) أو غياب (M) الحزم في مخطط المشابهات الإنزيمية لانزيم إستراز Esterase لعشرة أصناف من القمح الصلب في الحبوب النابتة بعد 24 ساعة.

Enzyme system	RF	Enzyme groups	BI	Hed	OZ	GGR	MBB	DK	VIT	Kor	Hau	INRAT	Status
β naphthyl acetate Est		Est 1	1	1	1	1	1	1	1	1	1	1	M
		Est 2	1	1	1	0	1	1	0	0	1	1	P
		Est 3	0	1	1	0	1	0	1	0	0	0	P
		Est 4	1	1	1	1	1	1	1	1	1	1	M
		Est 5	0	1	1	0	1	0	1	1	1	1	P
α naphthyl Propionate Est		Est 1	1	1	1	1	1	1	1	1	1	1	M
		Est 2	1	1	1	0	1	1	1	1	1	1	U(M)
		Est 3	1	1	1	0	1	1	1	1	1	1	U(M)
		Est 4	1	1	0	1	0	0	1	1	0	1	P
		Est5	1	1	1	1	1	1	1	1	1	1	M
α naphthyl acetate Est		Est 6	1	1	1	1	1	0	1	1	1	1	U(M)
		Est 1	1	1	1	1	1	1	1	1	1	1	M
		Est 2	0	1	1	0	1	1	1	1	0	0	P
		Est 3	0	1	1	0	1	1	1	1	0	0	P
		Est 4	1	1	1	1	1	1	1	1	1	1	M
α naphthyl butyrate Est		Est 5	1	1	1	1	1	0	1	1	1	1	U(M)
		Est 1	1	1	1	1	1	1	1	1	1	1	M
		Est 2	1	1	1	1	1	0	0	1	1	1	P
		Est 3	1	1	1	1	1	0	0	1	1	1	P
		Est 4	1	1	1	1	0	0	1	0	1	1	P
		Est 5	0	0	1	1	1	1	1	1	1	0	P
	Est 6	1	1	0	0	0	0	0	0	0	0	P	

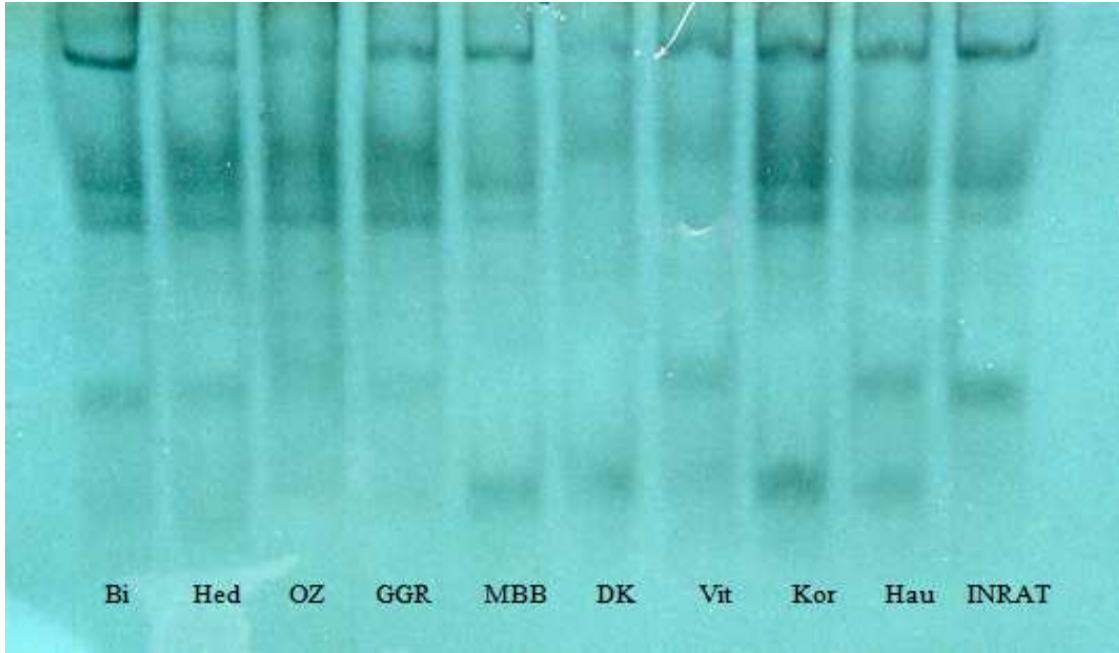
1: Présence, 0: Absence, M: monomorphique, P: Polymorphique, U: bande unique



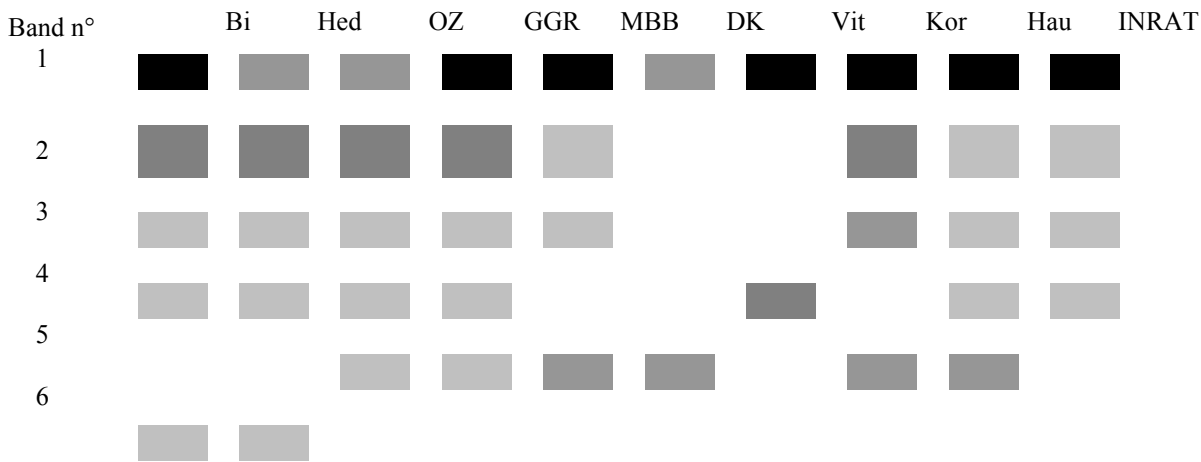
شكل III_{25a}: شكل التفرّد الكهربي لإنزيم إستيراز ل مادة التفاعل β Naphtyl acetate ل عشرة أصناف من القمح الصلب



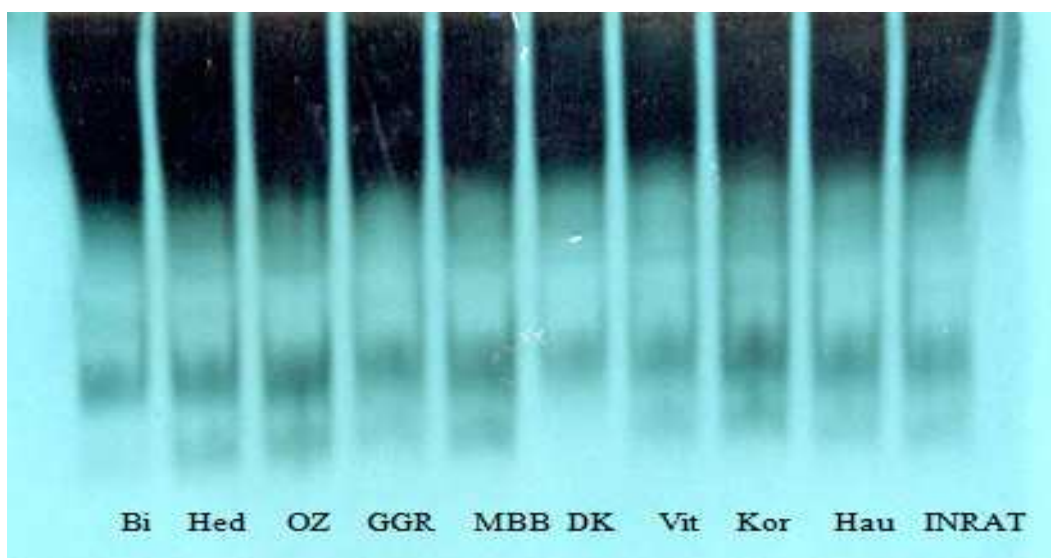
شكل III_{25b}: مخطط الحزم البياني لإنزيم إستيراز مع مادة β Naphtyl acetate ل عشرة أصناف من القمح الصلب



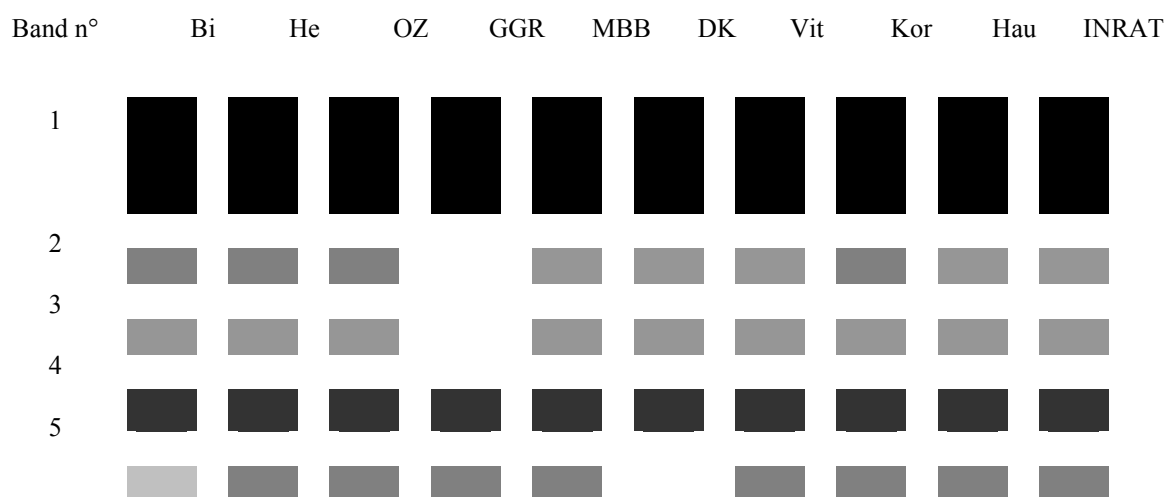
شكل III_{26a}: شكل التفرد الكهربي لإنزيم Esterase مع مادة التفاعل α MNaphtyl Butrate لعشرة أصناف من القمح الصلب.



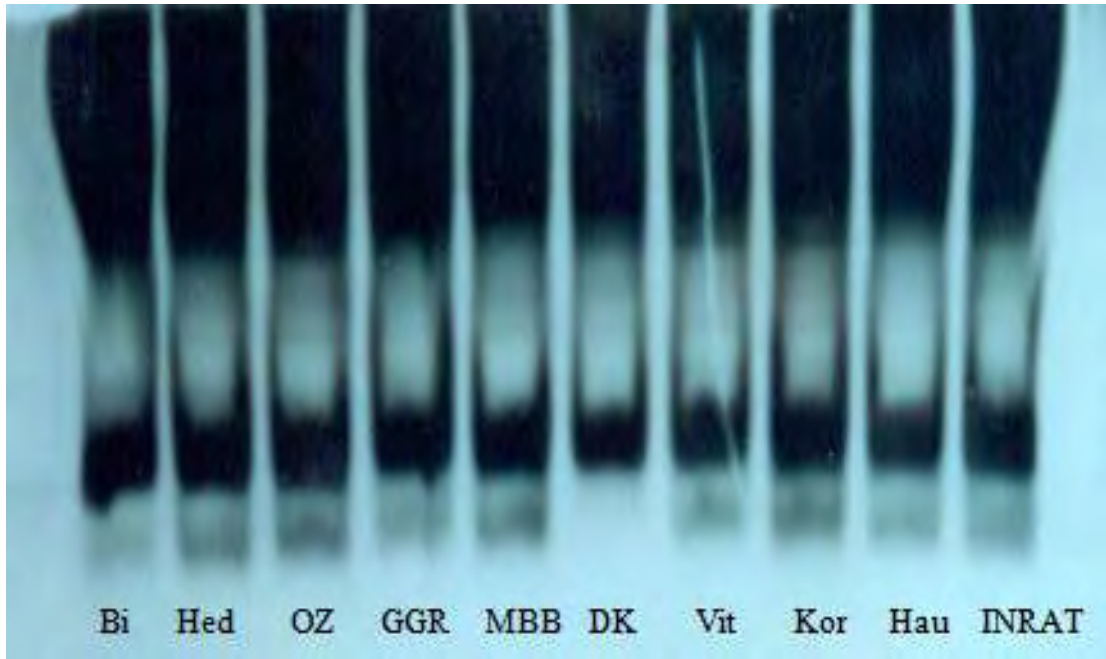
شكل III_{26b}: مخطط الحزم اليباني لإنزيم Esterase لمادة التفاعل α MNaphtyl Butrate لعشرة أصناف من القمح الصلب



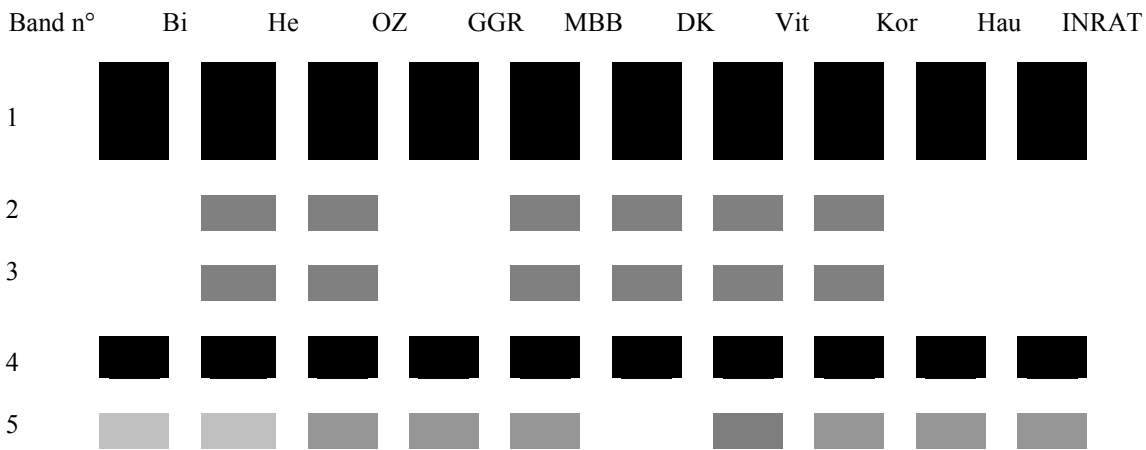
شكل III_{27a}: شكل التقرد الكهربي لإنزيم Esterase مع مادة التفاعل α MNaphtyl Propionate لعشرة أصناف من القمح الصلب



شكل III_{27b}: مخطط الحزم البياني لإنزيم Esterase لمادة التفاعل α MNaphtyl Propionate لعشرة أصناف من القمح الصلب



شكل III_{28a}: شكل التقرد الكهربي لإنزيم Esterase مع مادة التفاعل α M β Naphtyl acetate لعشرة أصناف من القمح الصلب



شكل III_{28b}: مخطط الحزم البياني لإنزيم Esterase مع مادة التفاعل α M β Naphtyl acetate لعشرة أصناف من القمح الصلب

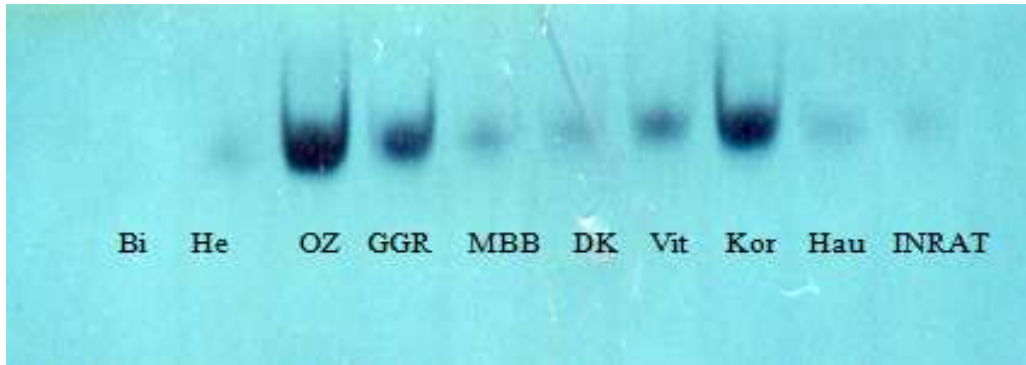
2.1.1 إنزيم Alcohol dehydrogenase

كشفت تحليل التباين الإنزيمي لمشابهات Alcohol dehydrogenase عن وجود حزمة واحدة في جميع الأصناف عدا الصنف Bi. وبذلك يمكن اعتبارها حزمة كاشفة له Adh1(M). وقد تبين وجود حزمة واحدة عند الصنفين OZ و Kor مثل بقية الأصناف لإنزيم Adh إلا أنها كانت سميكة على حد كبير مما يمكن تفسيره بأن التنظيم الجيني لهذا الجين يسمح له بالتعبير المضعف.

جدول III₂: وجود (+) أو غياب (M) الحزم في مخطط المشابهات الإنزيمية لإنزيمات الهدرجة Mdh, ADH ل عشرة أصناف من القمح الصلب في الحبوب النابتة بعد 24 ساعة.

Enzyme system	Enzyme groups	BI	Hed	OZ	GGR	MBB	DK	Vit	Kor	Hau	INRAT	status
ADH	Adh 1	0	1	1	1	1	1	1	1	1	1	U(M)
Mdh	Mdh 1	0	0	0	0	0	0	0	1	0	0	U(+)
	Mdh 2	0	1	0	0	1	1	0	1	1	1	P
	Mdh3	1	1	1	1	1	1	1	1	1	1	M
	Mdh4	1	0	1	0	0	1	1	1	0	1	P
	Mdh5	0	1	0	1	1	0	1	0	1	0	P
	Mdh6	1	1	1	1	1	1	1	1	1	1	M

1: Présence, 0: Absence, M: monomorphique, P: Polymorphique, U: bande unique



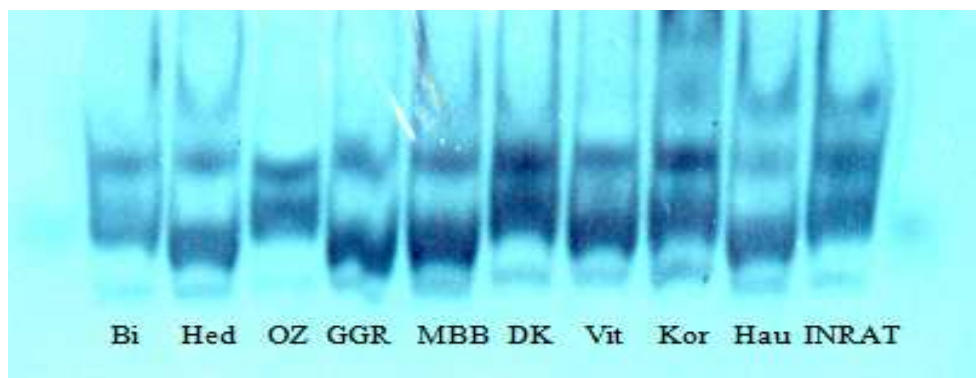
شكل III_{29a}: شكل التفرّد الكهربائي لإنزيم Alcohol Dehydrogenase (Adh) ل عشرة أصناف من القمح الصلب

Band n°	Bi	He	OZ	GGR	MBB	DK	Vit	Kor	Hau	INRAT
1	■	■	■	■	■	■	■	■	■	■

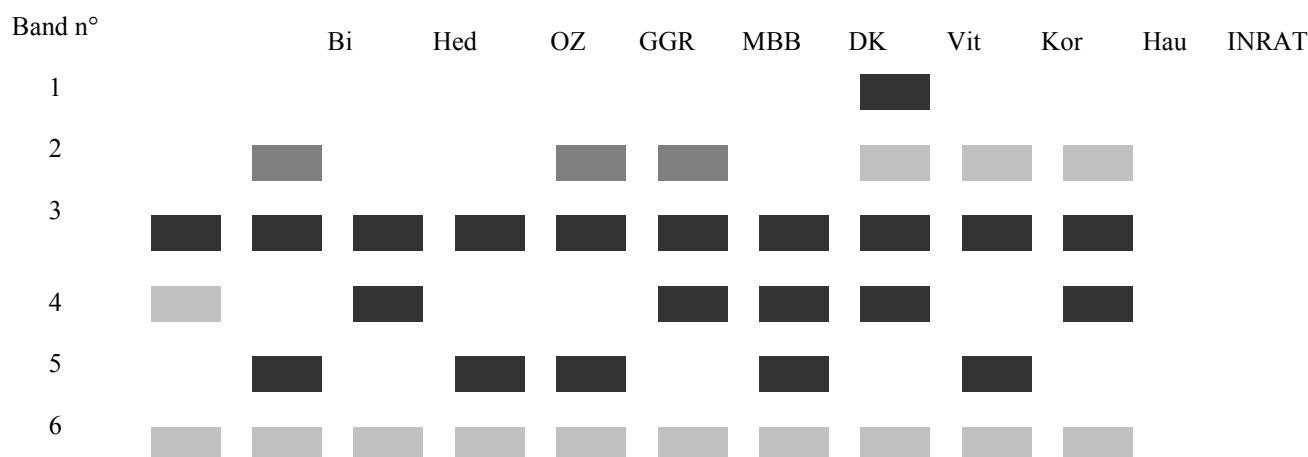
شكل III_{29b}: مخطط الحزم البياني لإنزيم Alcohol Dehydrogenase (Adh) ل عشرة أصناف من القمح الصلب

3.1.1. أنزيم Malate dehydrogenase

سمح تحليل الـ 10 أصناف الإيزيمي لـ Malate dehydrogenase بالكشف عند وجود 6 حزم منها حزمتين أحادية المظهر و 4 حزم متعددة المظهر تتمثل في 3 حزم شائعة الوجود في الأصناف العشر قيد الدراسة وحزمة واحدة كاشفة تمثلها الحزمة Mdh1(+) متواجدة في الصنف Kor .



شكل III_{30a}: مخطط الحزم البياني لإنزيم Malate dehydrogenase لـ عشرة أصناف من القمح الصلب.



شكل III_{30b}: مخطط الحزم البياني لإنزيم Malate dehydrogenase لـ عشرة أصناف من القمح الصلب

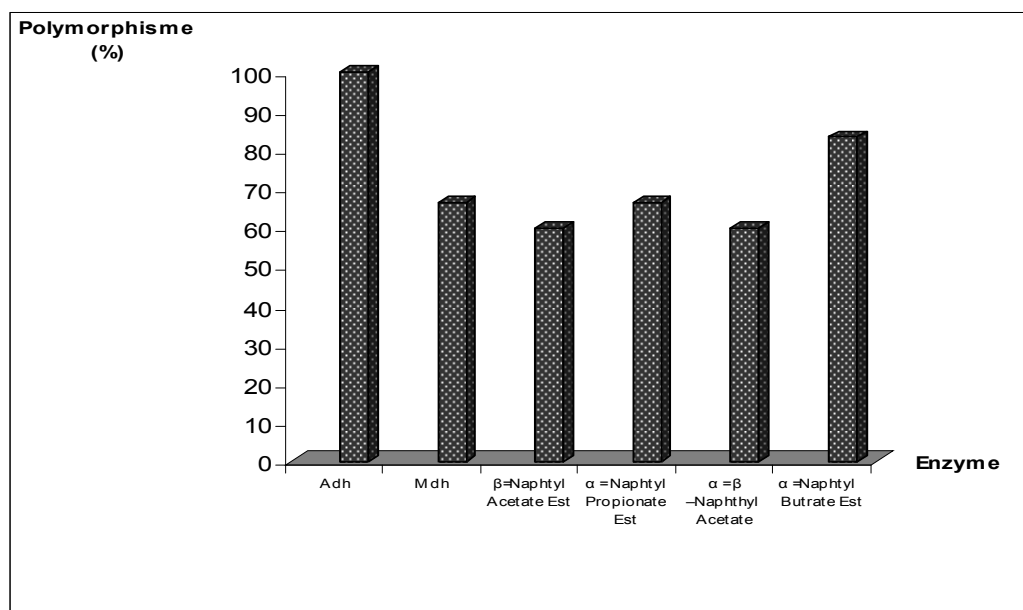
وقد تراوحت النسبة المئوية لعدد المظهرين ما بين 60 إلى 100 % في الأنزيمات الثلاثة

(MDH, Adh, Esterase) كما هو موضح في شكل III₃₁. فبلغت 60% عند استخدام مادتي التفاعل

α M β Naphtyl acetate و β N β Naphtyl Acetate لأنزيم Esterase. كما بلغت نسبة 66.66 % و 60% عند

استخدام مادة التفاعل α M β Naphtyl acetate propionate لأنزيم Esterase و أنزيم Malate dehydrogenase في

حين بلغت 83.33% عند استخدام مادة التفاعل α -Naphthyl Butrate Est. أما أنزيم Alcohol dehydrogenase فقد بلغت نسبة التعدد المظهري لذروة حيث كانت 100% .



شكل III₃₁: نسبة التعدد المظهري الناتج من ثلاثة أنظمة إنزيمية المطبقة على 10 أصناف من القمح الصلب جدول III₃: عدد و نمط الحزم بالنسبة للمثوية لتعدد المظهري الكلي لمجمل التغيرات للمشابهاة الإنزيمية ل عشرة أصناف من القمح الصلب في الحبوب النابتة بعد 24 ساعة.

Isozymes system	Monomorphic bands	Polymorphic bands		Total bands	% Of Polymorphism
		Unique bands	Nonunique bands		
<i>Adh</i>	0	1	0	1	100
Mdh	2	1	3	6	66
β Maphthyl acetate Est	2	0	3	5	60
α β naphthyl acetate Est	2	1	2	5	60
α Maphthyl Propionate Est	2	2	2	6	60
α naphthyl butyrate Est	1	0	5	6	3.338

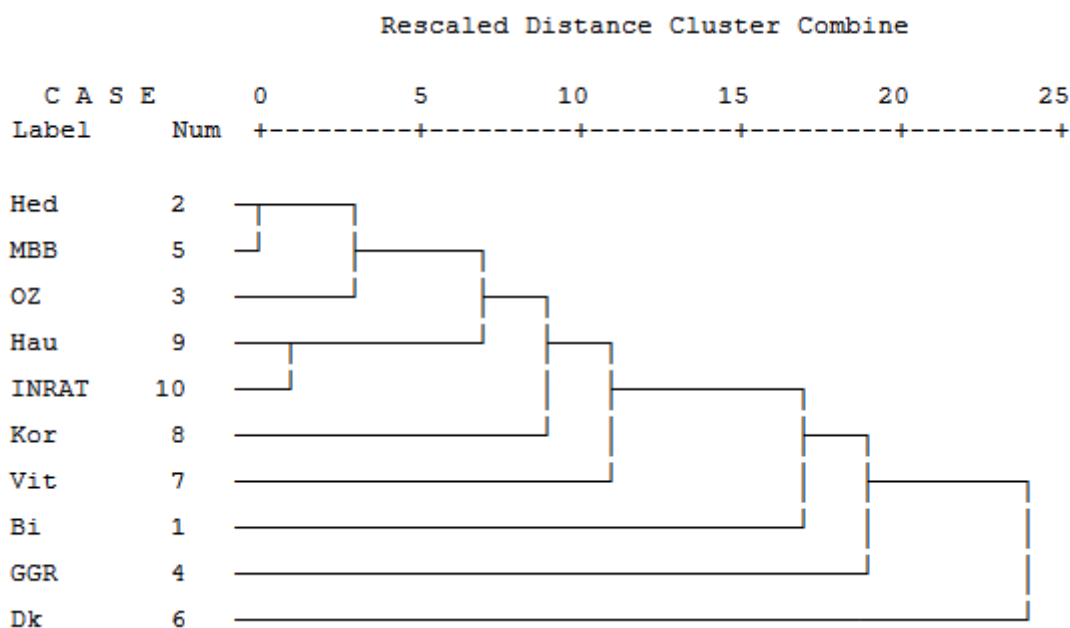
من خلال مصفوفة التشابه جدول III 4 ، لوحظت أكبر نسبة تشابه بين الصنفين الجزائريين Hed و MBB و قدرت بنسبة 100 % . في حين سجلت أضعف نسبة تشابه وهي معدومة تماما بين الصنفين GGR و الصنف Dk للمزدوج الأصل بين جزائري و تونسي.

جدول III 4: مصفوفة التشابه بين 10 أصناف من القمح الصلب اعتمادا على ثلاث أنظمة إنزيمية.

	Bi	Hed	OZ	GGR	MBB	Dk	Vit	Kor	Hau	INRAT
Bi	1									
Hed	0,696	1								
OZ	0,671	0,871	1							
GGR	0,577	0,523	0,488	1						
MBB	0,376	1.000	0,989	0,488	1					
Dk	0,237	0,376	0,642	0.000	0,642	1				
Vit	0,431	0,797	0,915	0,548	0,777	0,548	1			
Kor	0,523	0,741	0,854	0,488	0,854	0,642	0,777	1		
Hau	0,642	0,854	0,837	0,773	0,977	0,45	0,612	0,696	1	
INRAT	0,951	0,854	0,837	0,612	0,696	0,45	0,612	0,837	0,965	1

واعتمادا على شجرة القرابة (شكل III₃₂) أمكن تقسيم أصناف القمح المدروسة إلى مجموعتين رئيسيتين: تضم المجموعة الأولى الصنف Dk لثنائي الأصل جزائري تونسي، في حين تضم المجموعة الثانية باقي الأصناف والتي تنقسم إلى العديد من المجموعات تحت فرعية و التي يمكن إدراجها تحت مجموعتين فرعيتين. فتضم المجموعة الفرعية الأولى الثلاثة أصناف جزائرية الأصل (Hed, MBB, OZ) و الصنفين لسوريين (Kor, Hau) بالإضافة إلى الصنف التونسي INRAT. أما المجموعة الفرعية الثانية فإنها تضم الصنف الإسباني Vit و الصنفين الجزائريين Bi و GGR.

شكل III₃₂: شجرة القرابة (Dendrogram) بين 10 أصناف من القمح الصلب اعتمادا على ثلاث أنظمة إنزيمية



وفي دراسات سابقة ، أجريت العديد من تحليلات المشابهات الإنزيمية في الكثير من المخابر لمعرفة أصل الأقمح المنزرعة و إيجاد علاقات القرابة Phylogenetiques بين القمح و الآباء القريبة منه (Tanksley et Corton, 1983) وقد درس (Kapil et al. (1994 تحليل المشابهات الإنزيمية داخل طفرات محدثة في أصناف القمح على مرحلتين مختلفتين: 24 ساعة بعد التشرب و في البادرات التي يبلغ عمرها 7 أيام. و كان الهدف من هذه التجربة تحديد بدقة أصل الطافر و تشكيل علاقات القرابة بين الأصناف الآباء. وتناقضا مع النتائج لمتحصل عليها في هذا البحث ، تمكن (Samlinas et al. (1981 من إيجاد سبع مشابهات إنزيمية لإنزيم ADH وهي ADH_{1b}, ADH_{1a}, ADH₁ و مشابهيين آخرين أكثر سرعة ، واثنين أكثر بطئا في جنين حبة ناضجة لقمح اللين الصيني *Triticum .aestivum* و صنفين من القمح الصلب *Triticum turgidum*. كما بين نفس الباحث (Samlinas et al. (1989 انه لا توجد أي فروق بين عدد مشابهات إنزيم MDH للمكون لميتوكوندريا ، في حين توجد أربع مشابهات في الـسيتوبلازم.

و قد تمكن نفس الباحث عام 1992 من الفصل بين أصناف القمح أباء و هجن اعتمادا على التحليل الإنزيمي. توصل (Rebordinos et Perz. (1989 من توضيح التباين الوراثةي لأنزيم Esterase في الطبقة الداخلية للجنين Endosperme ل 42 صنف من القمح اللين. و قد استعمل (Abdelsalam. (1998 أربعة إنزيمات (Glucose 6 phosphate dehydrogenase, Malate dehydrogenase, acide phosphatase , Esterase) لتوصيف بعض أصناف الشعير المصري و قد أوضحت نتائجها تعددا مظهريا عليا جدا في سائر الإنزيمات المختبرة.

كما استخدم (Elisiorio et al. (1999 المشابهات الإنزيمية لدراسة التباين بين أصناف المندرين -الـيوسفي *Citrus reticulata* ، فوجد عند تحليل كل العينات حزما ذات تعدد مظهري متشابه لـكل نظام إنزيمي مستعمل مما استنتج أن هذه الأصناف تنتمي إلى مصدر أولي واحد (Initial clone).

2.1. لتفريد لكهربائي للبروتينات لـكلية

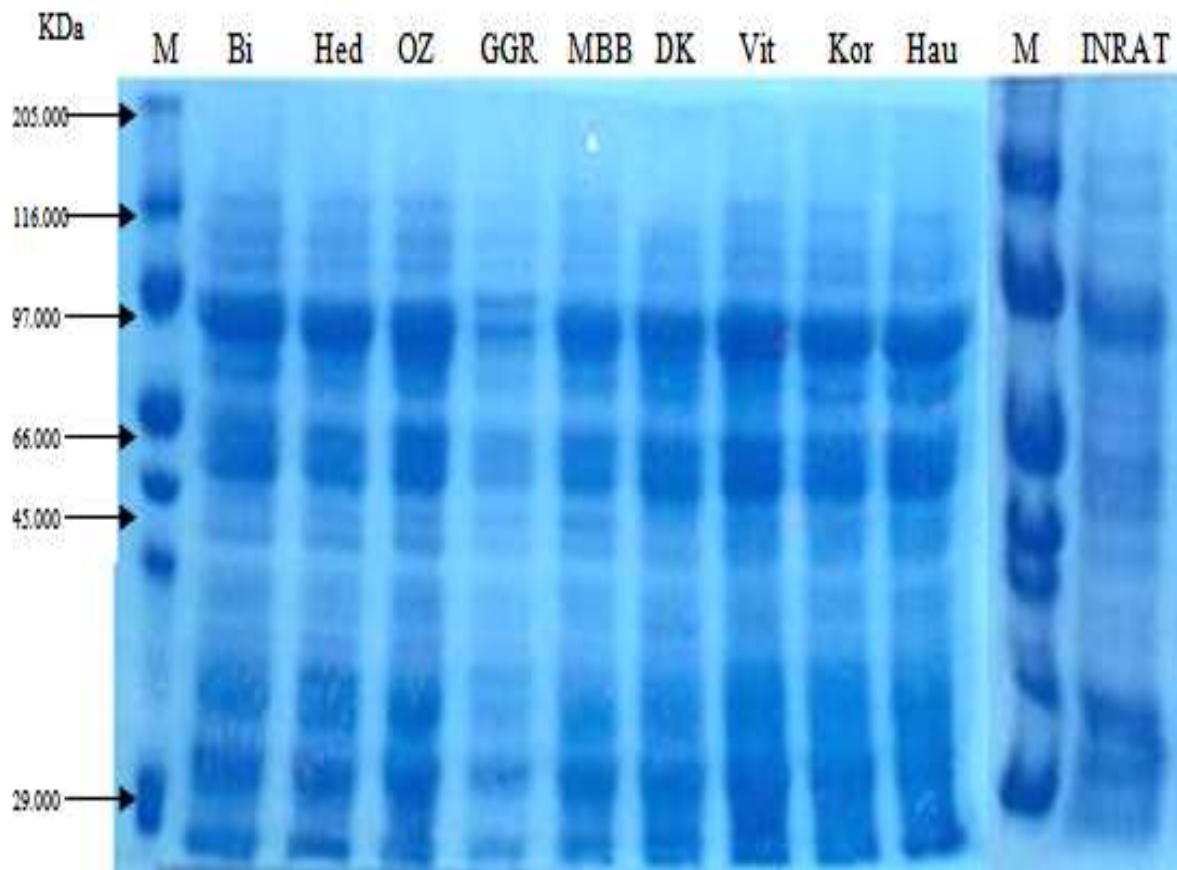
أسفرت نتائج استخلاص البروتين الكلي بتقنية SDS PAGE المطبقة على العشرة أصناف من القمح الصلب عن الكشف عن تواجد 18 حزمة يتراوح وزنها الجزيئي من 112 إلى 18 KDa كما هو موضح في الجدول III.5.

و قد أمكن تمييز 8 حزم أحادية المظهر (حزم ذات تعدد مظهري متشابه) و 10 حزم ذات تعدد مظهري (حزم ذات تعدد مظهري متباين) مما سمح بتقدير نسبة 55.55% من التباين المظهري (جدول III 6) بين العشرة أصناف المدروسة مما يسمح نوعا ما بتمييز هذه الأصناف عن بعضها البعض.

ترواح عدد الحزم من 10 حزم في الصنفين السورين Kor و Hau إلى 16 حزمة في الصنف الجزائري GGR . وقد أبدت الأصناف الجزائرية الثلاث (Hed , OZ , MBB) و الصنف الإسباني Vit نفس عدد الحزم 14 حزمة. في حين انفردت الأصناف الجزائرية Bi ، GGR ، Dk و الصنف التونسي INRAT بعدد حزم خاصة بكل صنف هي 11 ، 13 ، 15 و 16 حزمة على الترتيب.

أمكن للكشف عن خمس حزم كاشفة bandes uniques امتاز بها الصنفين الجزائريين GGR و Dk ، الصنف الإسباني Vit و الصنف التونسي INRAT. تمثلت في الحزم ذات الأوزان الجزيئية التالية:

Vit [19(+)] , Dk[112(M)] , Dk[37(+)] , GGR[88(+)] و INRAT[50M]



شكل III₃₃ : عدد الحزم الناتجة من عملية التفريد الكهربائي للبروتينات

جدول III 5 : عدد الحزم المنفردة من تحليل البروتين في 10 أصناف من القمح الصلب.

Band n°	MW	BI	Hed	OZ	GGR	MBB	DK	Vit	Kor	Hau	INRAT	status
1	112	1	1	1	1	1	0	1	1	1	1	U(M)
2	104	1	1	1	1	1	1	1	0	0	0	P
3	99	1	1	1	1	1	1	1	1	1	1	M
4	88	0	0	0	1	0	0	0	0	0	0	U(+)
5	82	1	1	1	1	1	1	1	1	1	1	M
6	72	1	1	1	1	1	1	1	1	1	1	M
7	56	1	1	1	1	1	1	1	1	1	1	M
8	50	1	1	1	1	1	1	1	1	1	0	U(M)
9	42	0	1	1	1	1	1	0	0	0	1	P
10	39	1	1	1	1	1	1	0	0	0	0	P
11	37	0	0	0	0	0	1	0	0	0	0	U(+)
12	34	0	0	0	1	0	1	1	0	0	1	P
13	28	1	1	1	1	1	1	1	1	1	1	M
14	25	1	1	1	1	1	1	1	0	0	0	P
15	23	1	1	1	1	1	1	1	1	1	1	M
16	20	1	1	1	1	1	1	1	1	1	1	M
17	19	0	0	0	0	0	0	1	0	0	0	U(+)
18	18	1	1	1	1	1	1	1	1	1	1	M
Total		13	14	14	16	14	15	14	10	10	12	

1: Présence , 0:Absence, M: monomorphique , P:Polymorphique, U: bande unique

جدول رقم III 6 : عدد و نوع الحزم و نسبة التعدد المظهري الناتج عن البروتين في عشرة أصناف من القمح الصلب

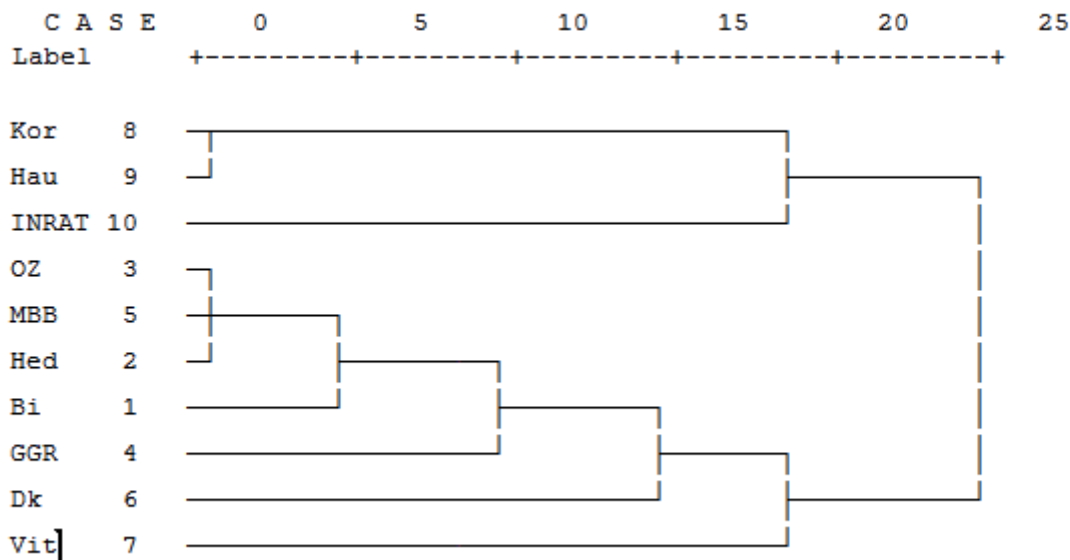
Protein system	Monomorphic bands	Polymorphic bands		Total bands	% Of Polymorphism
		Unique bands	Non-unique bands		
<i>Proteine totale</i>	8	5	5	18	55.55

من خلال مصفوفة التشابه جدول III 7 ، لوحظت أكبر نسبة تشابه بين ثنائيات الأصناف الجزائرية Hed و OZ ، Hed و MBB ، OZ و MBB و قدرت بنسبة 100% مما يعني أن هناك تطابق كلي بين هذه الأصناف الثلاثة من حيث البروتينات ، كم سجلت كل تلك نفس نسبة التشابه 100% بين الصنفين السوريين Kor و Hau . في حين سجلت أضعف نسبة تشابه وهي منعدمة تماما 0 % بين الصنفين الأصليين جزائري و تونسي Dk و الصنفين السوريين Kor و Hau .

جدول III 7 : مصفوفة التشابه بين 10 أصناف من القمح الصلب اعتمادا على التفريد الكهربائي للبروتينات

	Bi	Hed	OZ	GGR	MBB	Dk	Vit	Kor	Hau	INRAT
Bi	1									
Hed	0,868	1								
OZ	0,868	1.000	1							
GGR	0,631	0,762	0,762	1						
MBB	0,868	1.000	1.000	0,762	1					
Dk	0,49	0,631	0,631	0,654	0,631	1				
Vit	0,603	0,49	0,49	0,524	0,49	0,384	1			
Kor	0,534	0,405	0,405	0,176	0,405	0.000	0,405	1		
Hau	0,534	0,405	0,405	0,176	0,405	0.000	0,405	1.000	1	
INRAT	0,107	0,286	0,286	0,339	0,286	0,176	0,286	0,49	0,49	1

شكل III₃₄: شجرة القرابة (Dendrogram) بين 10 أصناف من القمح الصلب اعتمادا على التفريد الكهربائي للبروتينات



اعتمادا على شجرة القرابة (شكل III₃₃) أمكن تقسيم أصناف القمح المدروسة إلى مجموعتين رئيسيتين. تضم المجموعة الأولى الأصناف المستوردة الثلاثة: الصنفان السوريان (Kor, Hau) و الصنف التونسي INRAT. أما المجموعة الثانية فإنها تنقسم إلى تحت مجموعتين تضم تحت مجموعة الأولى الصنف الإسباني منفردا. في حين تنقسم تحت مجموعة الثانية إلى عدد من المجموعات تحت فرعية والتي يمكن إدراجها تحت مجموعتين فرعيتين. تضم المجموعة الفرعية الأولى ثلاثة أصناف الجزائرية الأصل (Hed, MBB, OZ) أما المجموعة الفرعية الثانية فإنها تضم الصنفين الجزائريين Bi و GGR و الصنف ثنائي الأصل Dk.

وفي دراسة مماثلة على القمح قامت (Boudour, 2005) بدراسة مقارنة لـ 326 مجموعة من القمح، و أوضحت وجود من 19 إلى 59 حزمة ، يتراوح وزنها للجزيئي بين 99 KDa إلى 33 KDa مما سمح بتوضيح تباين مهم بين 19 صنف المدروسة.

وقد تحصلت (Mona Ibrahim, 2004) في دراسة التفريد الكهربائي لبروتينات 14 صنف من الشعير على نسبة تعدد مذهري أقل بكثير من التي حصلنا عليها في تجربتنا و قدرت بنسبة 31 % عند البروتينات لذائبة في الماء (Water soluble protein) و نسبة 42 % عند البروتينات غير لذائبة في الماء (Water non soluble protein) .

تعتبر دراسة التباين الوراثي لأصناف القمح مهمة نظريا لمعرفة المسار التطوري لهذه الأصناف و تطبيقا لتقدير قدرة المصادر الوراثية لتحسين الإنتاج مستقبلا .

3.1. تسلسل بلمرة خيط ADN : RAPD PCR

تم في هذه الدراسة تجريب 14 بادئ منها 8 بادئات لم تعطي تفاعلا مع دنا المستخلص من الأصناف العشرة محل الدراسة، بينما أعطت 6 بادئات منها تفاعلات مع جميع الأصناف (جدول IIIg).

جدول IIIg: رقم البادئ، نسبة القواعد من محتوى G+C

التفاعل	رقم البادئ	القاعدة C + G %
	3'	5' →
أعطت تفاعلا +	60%	A08 GTG ACG TAGG
	60%	A17 GAC CGG TTGT
	70%	B10 CTG CTG CGAC
	60%	B16 TTT GCC CGGA
	70%	C9 CTC ACC GTCC
	60%	C13 AAG CCT CGTC
لم تعطي تفاعلا M	60%	A18 AGG TGA CCGT
	60%	A11 CAA TCG CCGT
	60%	A12 TCG GCG ATAG
	70%	B19 ACC CCC GAAG
	60%	C12 TGTC ATC GCCC
	60%	C15 GAC GGA TCAG
	70%	C17 TTC CCC CCAG

أسفر التفريد الكهربائي لنواتج تفاعل سلسلة البلمرة على جل الأجاروز عن ظهور 65 حزمة عند جميع الأصناف (جدول IIIg) مجتمعة معا باستخدام 6 بادئات منها 43 حزمة تعبر عن تعدد مذهري قدر بنسبة 66%.

وقد تبين عدد الحزم المتواجدة بلصنف الواحد من 3 حزم إلى 12 حزمة، تراوحت أوزانها الجزيئية بين قيمتي 2550 إلى 222 زوج من القواعد النروجينية على مستوى جميع الأصناف كما تبين الجداول من III₁₂ إلى III₁₇ على الترتيب للبادئات الستة على جل التفريد الكهربائي لأجاروز.

و كان تسلسل البادئات على حسب عدد الحزم الناتجة أو الظاهرة عند الأصناف العشرة محل الدراسة كالآتي :

B10 > A8 > B16 > A17 > C9 > C13

في حين كان تسلسل الأصناف حسب ظهور العدد الإجمالي للحزم مع استعمال جميع البادئات كالآتي:

OZ > Bi ; INRAT > GGR > Vit > Hau > Hed > Kor > MBB, Dk

و قد انحصر مجموع عدد الحزم بين 34 حزمة في الصنفين MBB و Dk كأصغر قيمة و 51 حزمة كقيمة قصوى في الصنف OZ .

تساوي عدد الحزم عند الصنفين الجزائري Bi و الصنف INRAT التونسي وقد بلغ 48 حزمة.

جدول III 9: عدد الحزم الناتجة عند كل صنف مع البادئات الستة المستعملة.

Primer	Bi	Hed	OZ	GGR	MBB	Dk	Vit	Kor	Hau	INRAT	AB	PB
A08	12	12	11	12	10	8	9	9	10	11	13	6
A17	9	7	7	8	4	6	10	5	9	9	10	7
B10	8	8	10	10	4	8	11	12	6	11	14	12
B16	7	6	10	8	6	5	8	8	12	10	12	7
C9	5	6	6	4	6	3	3	4	3	3	9	7
C13	7	4	7	4	4	4	4	4	4	4	7	4
Totale	48	43	51	46	34	34	45	42	44	48	65	43

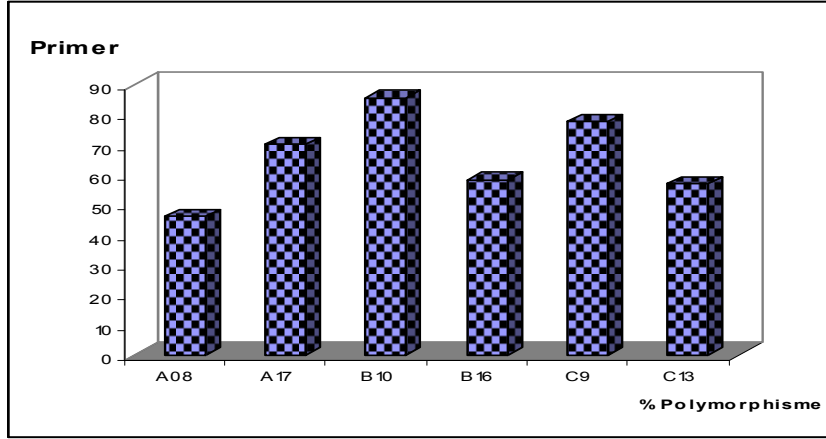
تراوحت نسبة التعداد المظهري بين قيمتي 85.71 % و 46.15 % عند البادئين B10 و A08 على الترتيب

(جدول III 10). وبلغت نسبة 60 % تقريبا عند البادئين B16 و B13 و 70% عند البادئين A 17 و C9

جدول III 10: عدد و نوعية حزم ADN المضاعفة و نسبة التعداد المظهري الناتجة مع ستة بادئات عند عشرة أصناف من القمح

للصلب

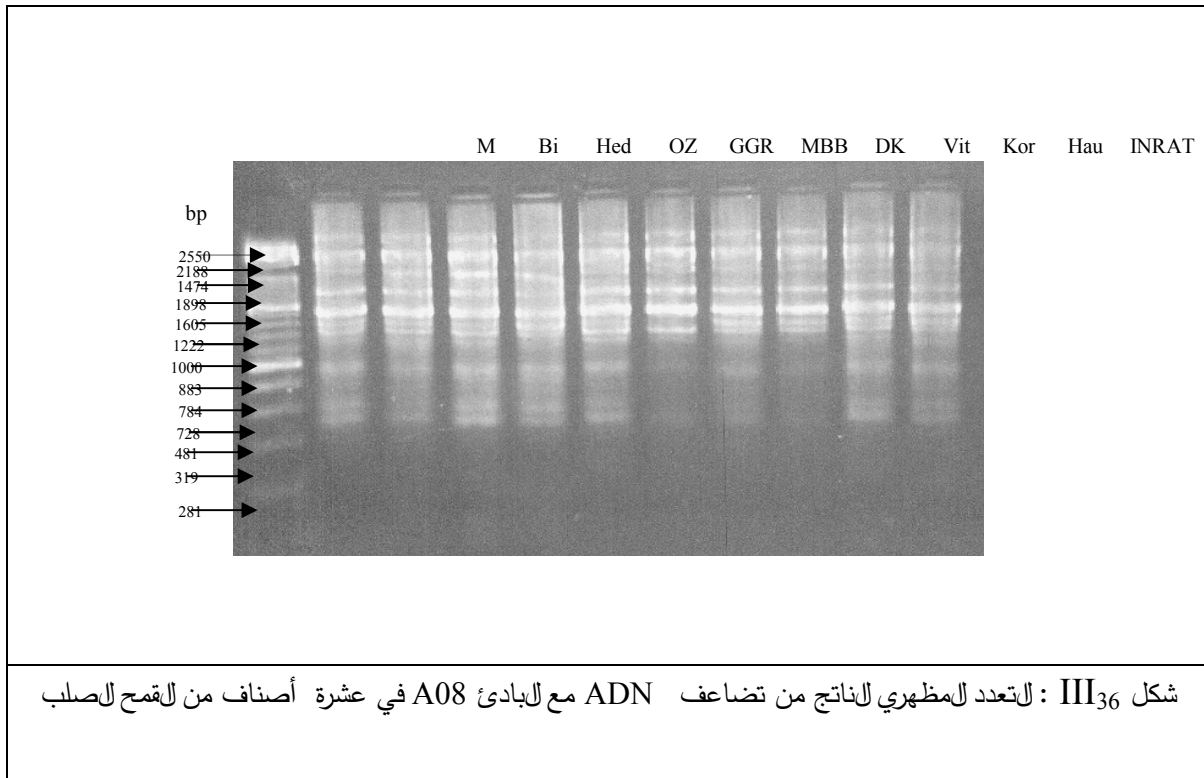
Primer code	Monomorphic bands	Polymorphic bands		Total bands	% Of Polymorphism
		Unique bands	NonUnique bands		
Primer A08	7	1	5	13	% 46.15
Primer A17	3	0	7	10	% 70.00
Primer B10	2	4	8	14	% 85.71
Primer B16	5	1	6	12	58.33%
Primer C9	2	1	6	9	77.77%
Primer C13	3	0	4	7	57.14 %



الشكل III₃₅: نسبة لتعدد المظهري لمنتجات من ستة بادئات عشرة أصناف من القمح الصلب.

1.3.1. لبادئ A8

كشفت نتائج تفاعل سلسلة البلمرة للبادئ عن وجود 13 حزمة تتباين من 8 حزم في الصنف DK ثنائي الأصل إلى 13 حزمة في الأصناف الجزائرية - Hed, Bi و MBB (شكل III₃₆، جدول III₁₁). تتراوح لوزن الجزئي لهذه الحزم بين 2250 إلى 281 زوج قواعد . لوحظت 7 حزم أحادية المظهر bande Monomorphique و بلغ عدد الحزم لمتعددة المظهر bandes Polymorphiques 6 حزم مما نتج عنه تعدد مظهري قدرت نسبته ب 46.15% . كشف البادئ A8 عن حزمة واحدة كاشفة أو معلمة bande marqueur للصنف التونسي INRAT ذات لوزن الجزئي 728 زوج قواعد.



جدول III₁₁ : الأوزان الجزئية لحزم دنا ADN لمتضاعفة لنواتج باستخدام البادئ A08 في عشرة أصناف من

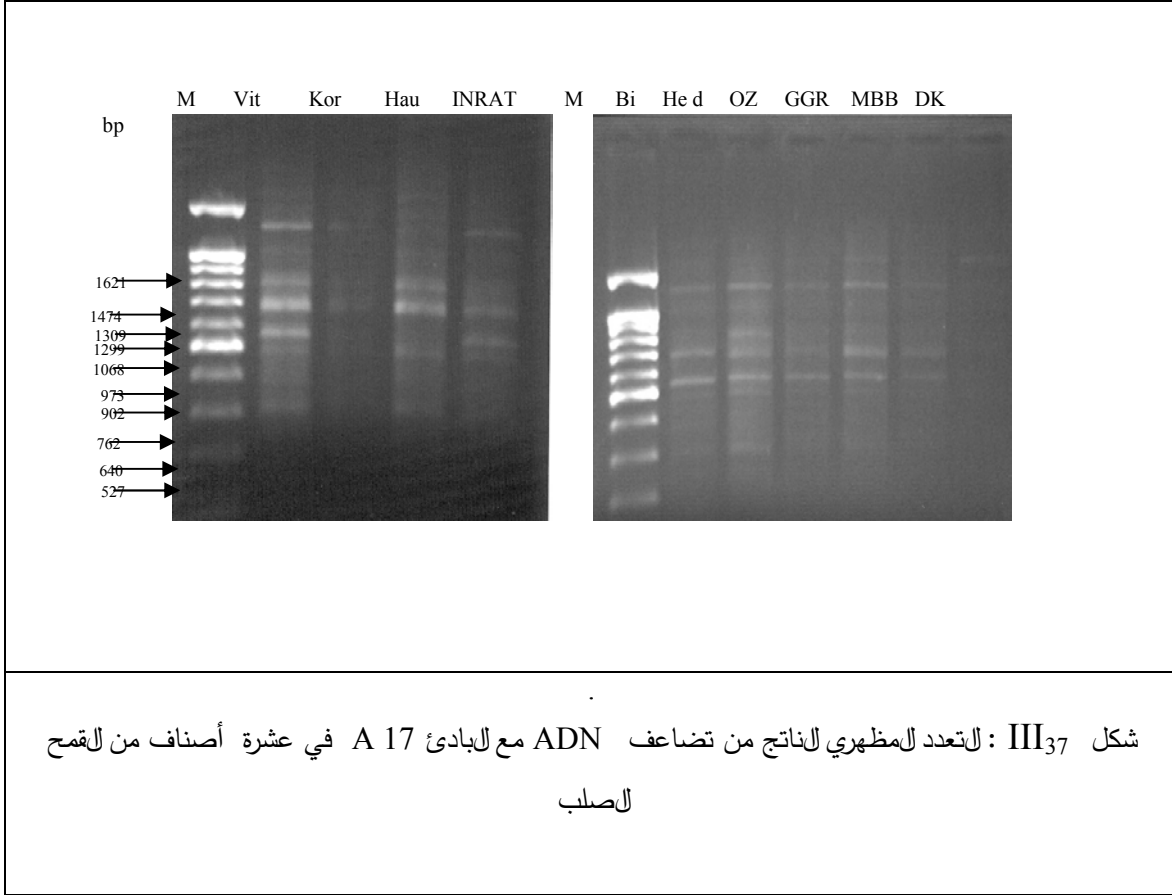
القمح الصلب

Bande	n°	PM	Bi	Hed	OZ	GGR	MBB	Dk	Vit	Kor	Hau	INRAT	Status
1	2550	1	1	1	1	1	1	1	1	1	1	1	M
2	2188	1	1	1	1	1	1	1	1	1	1	1	M
3	1474	1	1	1	1	0	0	0	0	0	0	0	P
4	1898	1	1	1	1	1	1	1	1	1	1	1	M
5	1605	1	1	1	1	1	1	1	1	1	1	1	M
6	1222	1	1	0	0	1	1	1	1	1	1	1	P
7	1000	1	1	1	1	1	1	1	1	1	1	1	M
8	883	1	1	1	1	1	1	1	1	1	1	1	M
9	784	1	1	1	1	1	0	0	0	0	0	0	P
10	728	0	0	0	0	0	0	0	0	0	1	1	U(+)
11	481	1	1	1	1	1	1	1	1	1	1	1	M
12	319	1	1	1	1	1	0	0	0	0	1	1	P
13	281	1	1	1	1	1	1	1	1	1	1	1	P
	Total		12	12	11	12	10	8	9	9	10	11	104

2.3.1. لبادئ A 17

سمحت نتائج PCR لبادئ A 17 بتمييز 10 حزم، تتباين من 4 حزم في الصنف الجزائري MBB إلى 10 حزم في الصنف Vit الإسباني (الشكل III₃₇، جدول III₁₂). يتراوح لوزن الجزئي لهذه الحزم من 1621 إلى

527 زوج قواعد منها 3 حزم أحادية المظهر ذات الأوزان الجزيئية 1309، 1068، 973 و 7 حزم متعددة المظهر مما أعطى تعدد مظهري قدر بنسبة 70 % لم يمكن للكشف عن أي حزمة خاصة أو معلمة لأي صنف من الأصناف العشرة مع البادئ A 17.



جدول III₁₂: الأوزان الجزيئية لحزم دنا ADN للمتضاعفة لمنتجات استعمال البادئ A17 في عشرة أصناف من القمح الصلب

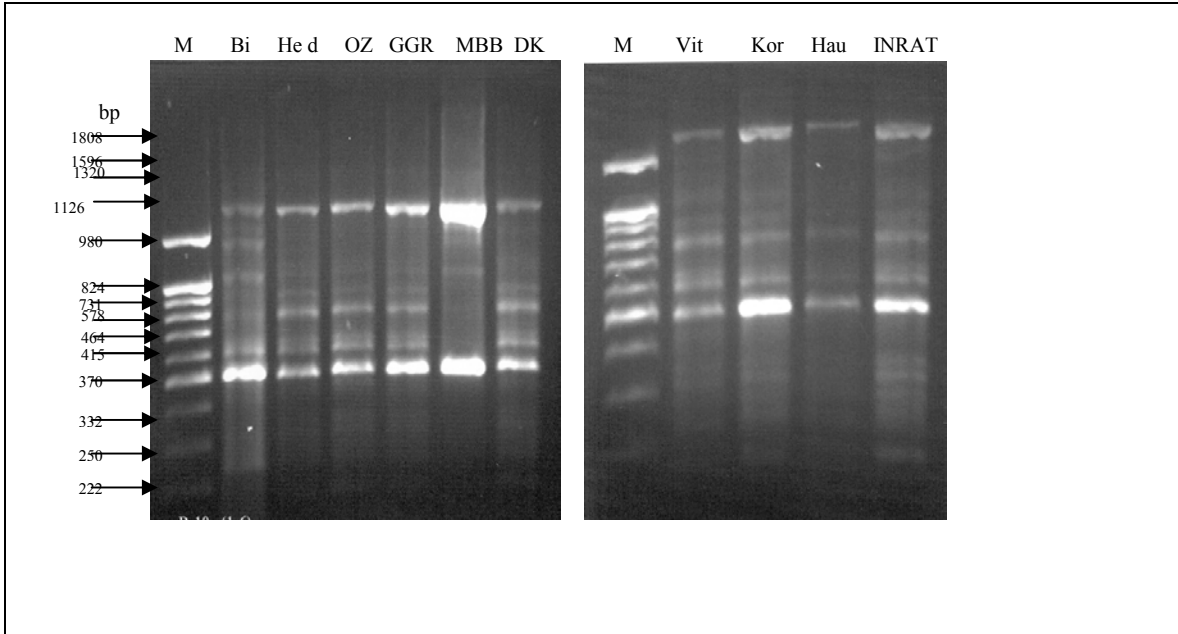
Bande n°	PM	Bi	Hed	OZ	GGR	MBB	Dk	Vit	Kor	Hau	INRAT	Status
1	1621	1	0	0	1	0	1	1	0	1	0	P
2	1474	1	0	0	0	0	0	1	0	1	1	P
3	1309	1	1	1	1	1	1	1	1	1	1	M
4	1299	1	1	1	1	0	1	1	0	1	1	P
5	1068	1	1	1	1	1	1	1	1	1	1	M
6	973	1	1	1	1	1	1	1	1	1	1	M
7	902	1	1	1	1	1	1	1	0	0	1	P
8	762	1	1	1	1	0	0	1	1	1	1	P
9	640	0	0	0	0	0	0	1	0	1	1	P
10	527	1	1	1	1	0	0	1	1	1	1	P
Total		9	7	7	8	4	6	10	5	9	9	74

1.3.3. لبادئ B10

سمحت نتائج PCR لبادئ B10 بتمييز 14 حزمة تتباين من 4 حزم في الصنف الجزائري MBB لى 12 حزمة في الصنف السوري Kor (شكل III₃₈، جدول III 13).

تراوح لوزن الجزيئي لهذه الحزم من 1808 لى 222 زوج قواعد. لوحظت حزمتين أحادية المظهر ذات لوزن الجزيئي 1808 و 578 زوج قواعد. وتم تحديد 12 حزمة متعددة المظهر مما نتج عنه نسبة 85.71% من التعدد المظهري.

تميز لبادئ B10 بتسجيل 4 حزم معلمة أو كاشفة، حزمة ايجابية للصنف الجزائري Bi ذات لوزن الجزيئي 1320 زوج قواعد و 3 حزم سلبية اختص بها الصنف الجزائري MBB ذات الأوزان الجزيئية 731، 824 و 250 زوج قواعد.



شكل III₃₈: التعدد المظهري الناتج من تضاعف ADN مع لبادئ B10 عند 10 أصناف من القمح الصلب

جدول III₁₃: الأوزان الجزيئية لحزم دنا ADN المتضاعفة الناتجة باستعمال لبادئ B 10 في عشرة أصناف من القمح الصلب

Bande	n°	PM	Bi	Hed	OZ	GGR	MBB	Dk	Vit	Kor	Hau	INRAT	Status
1	1808		1	1	1	1	1	1	1	1	1	1	M
2	1596		1	0	0	0	1	0	0	0	0	1	P
3	1320		1	0	0	0	0	0	0	0	0	0	U(+)
4	1126		1	1	1	1	1	1	1	1	0	0	M
5	980		0	1	1	1	0	1	1	1	0	1	P
6	824		1	1	1	1	0	1	1	1	1	1	U(=)

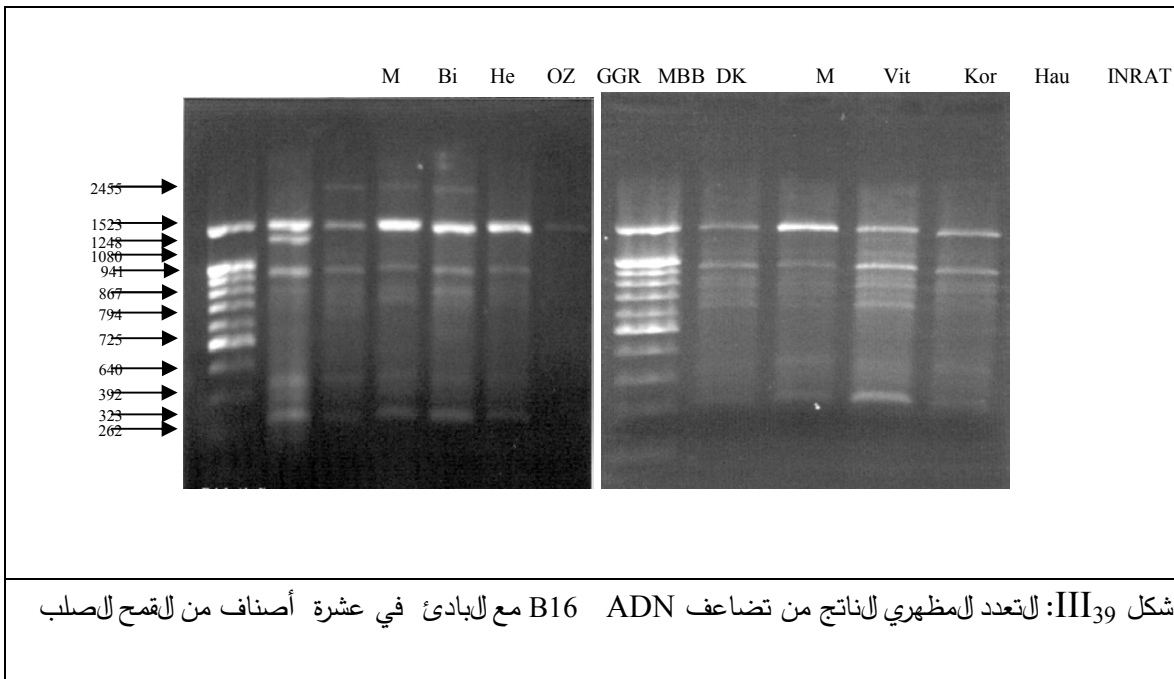
7	731	1	1	1	1	0	1	1	1	1	1	U(=)
8	578	1	1	1	1	1	1	1	1	1	1	M
9	464	0	0	1	1	0	0	1	1	0	1	P
10	415	0	0	1	1	0	0	1	1	0	1	P
11	370	0	0	0	0	0	0	1	1	0	1	P
12	332	0	0	0	0	0	0	1	1	1	1	P
13	250	1	1	1	1	0	1	1	1	1	1	U(=)
14	222	0	1	1	1	0	1	0	1	0	1	P
Total		8	8	10	10	4	8	11	12	6	11	88

1: Présence , 0:Absence, M: monomorphique , P:Polymorphique, U: bande unique

1.4.3. لبادئ B16

سمحت نتائج PCR للبادئ B16 بتميز 12 حزمة تتباين من 5 حزم في الصنف DK الثنائي الأصل إلى 12 حزمة في الصنف السوري Hau. وقد أعطت الأصناف الجزائرى ، الاسباني و السوري على الترتيب GGR و Kor و Vit نفس عدد الحزم. كما أعطى كلك الصنفين OZ الجزائرى و INRAT التونسي نفس عدد الحزم (شكل III₃₉، جدول III₁₄)

تراوح لوزن الجزئي لهذه الحزم بين 2455 إلى 262 زوج قواعد. وجدت مع هذا البادئ 5 حزم أحادية المظهر و 7 حزم متعددة المظهر مما أنتج نسبة 58.33% من التعدد المظهري. تميز الصنف الجزائرى Bi بحزمة كاشفة ايجابية ذات لوزن الجزئي 1248 زوج قواعد.



جدول III14: الأوزان الجزئية لحزم دنا ADN المتضاعفة الناتجة باستعمال البادئ B 16 عند 10 أصناف من القمح الصلب

Bande	n°	PM	Bi	Hed	OZ	GGR	MBB	Dk	Vit	Kor	Hau	INRAT	Status
1	2455	0	1	1	1	1	0	0	0	1	1	1	P
2	1523	1	1	1	1	1	1	1	1	1	1	1	M
3	1248	1	0	0	0	0	0	0	0	0	0	0	U(+)
4	1086	0	1	1	0	0	0	0	0	0	1	1	P
5	941	1	1	1	1	1	1	1	1	1	1	1	M
6	867	1	1	1	1	1	1	1	1	1	1	1	M
7	794	0	0	1	1	1	1	0	1	1	1	1	P
8	725	0	0	1	0	0	0	0	1	1	1	1	P
9	640	0	0	0	0	0	0	0	1	0	1	0	P
10	392	1	1	1	1	1	1	1	1	1	1	1	M
11	323	1	0	1	0	0	0	0	0	0	1	1	P
12	262	1	1	1	1	1	1	1	1	1	1	1	M
Total		7	6	10	8	6	5	8	8	8	12	10	80

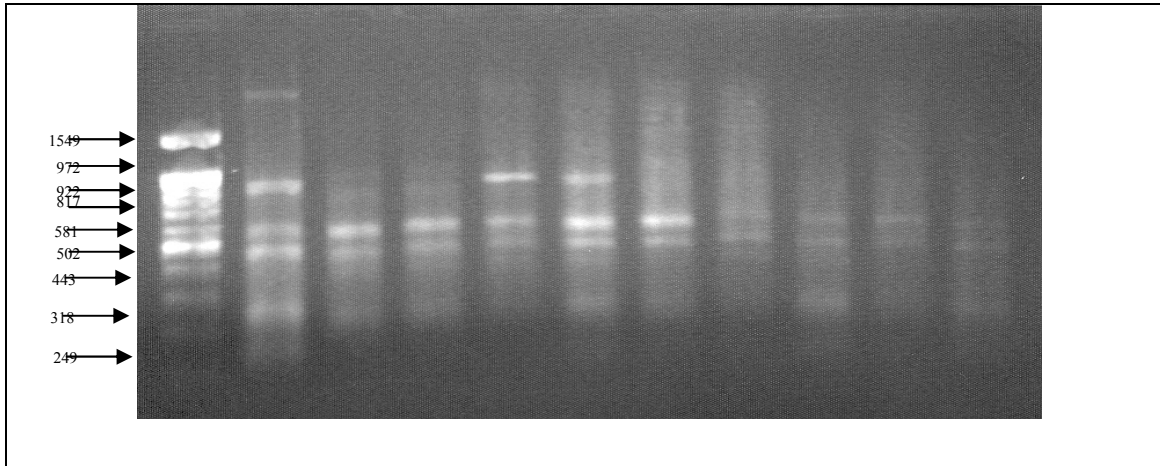
1: Présence, 0: Absence, M: monomorphique, P: Polymorphique, U: bande unique

5.3.1.1 البادئ C9

سمحت نتائج البادئ C9 بتمييز 9 حزم ، تراوح وزنها من 1549 إلى 249 زوج قواعد لوحظ أقل عدد من الحزم في الأصناف المستوردة الثلاث Vit الاسباني ، لسوري Hau ، INRAT التونسي و Dk ثنائي الأصل. في حين سجل أكبر عدد من الحزم 6 حزم في الأصناف Hed ، OZ و MBB الجزائرية (شكل III₄₀، جدول III₁₅).

لوحظت حزمتين أحادية المظهر هما 581 و 502 زوج قواعد و 7 حزم متعددة المظهر بنسبة 77.77 % من التعداد المظهري. وقد أمكن تمييز حزمة كاشفة ايجابية في الصنف الجزائري Bi ذات الوزن الجزئي 1549 .

M Bi He OZ GGR MBB DK Vit Kor Hau INRAT



الشكل III₄₀: لتعدد المظهري الناتج من تضاعف ADN مع البادئ C 9 في عشرة أصناف من القمح الصلب

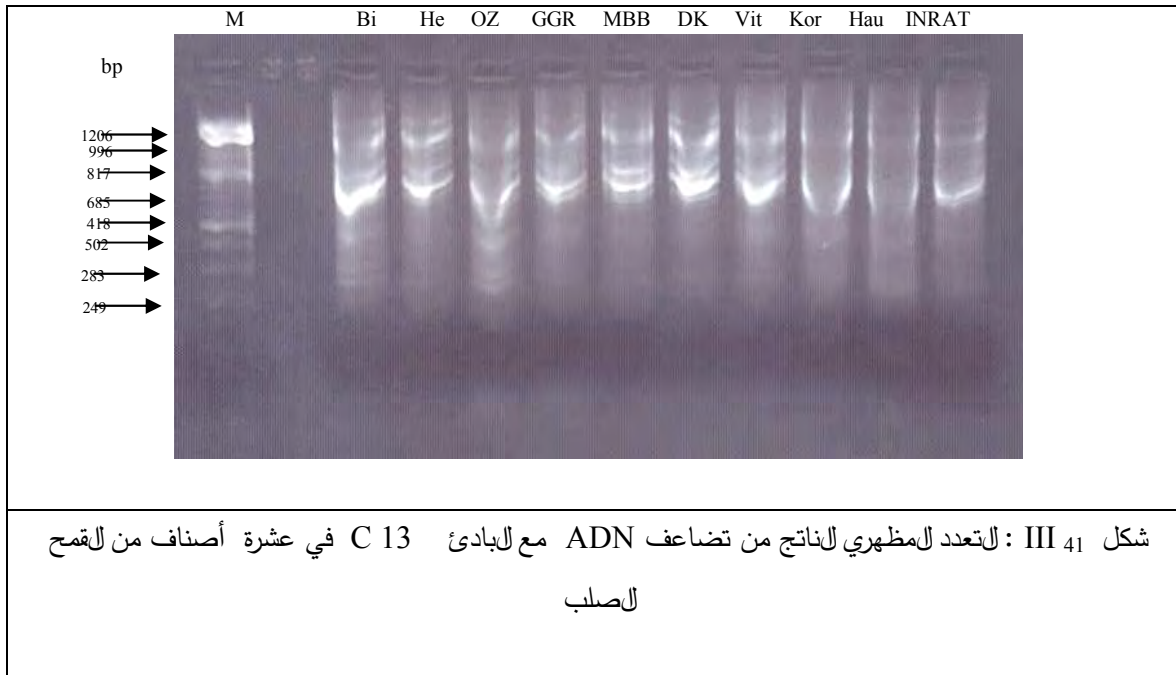
جدول III 15: الأوزان الجزيئية لحزم ADN المتضاعفة الناتجة باستعمال البادئ C 9 في عشرة أصناف من القمح الصلب

Bande	n°	PM	Bi	Hed	OZ	GGR	MBB	Dk	Vit	Kor	Hau	INRAT	Status
1	1549		1	0	0	0	0	0	0	0	0	0	U(+)
2	972		0	1	1	0	0	0	0	0	0	0	P
3	922		0	0	0	1	1	0	0	0	0	0	P
4	817		0	1	1	0	0	1	0	0	0	0	P
5	581		1	1	1	1	1	1	1	1	1	1	M
6	502		1	1	1	1	1	1	1	1	1	1	M
7	443		0	1	1	1	1	0	1	0	0	0	P
8	318		1	1	1	0	1	0	0	1	1	0	P
9	249		1	0	0	0	1	0	0	1	0	1	P
Total			5	6	6	4	6	3	3	4	3	3	43

1: Présence, 0: Absence, M: monomorphique, P: Polymorphique, U: bande unique

6.3.1. البادئ C 13

سمحت نتائج البادئ C13 بتمييز عدد أقل من الحزم مقارنة مع بقية البادئ ، فقد تم تمييز 7 حزم ترواح وزنها الجزيئي من 1206 إلى 249 زوج قواعد . أبدت معظم الأصناف نفس العدد من الحزم (4 حزم) استثناء للصنفين الجزائريين Bi و OZ أنتجا 7 حزم (شكل III₄₁، جدول III₁₆). لوحظت 3 حزم أحادية المظهر ذات الأوزان الجزيئية 1206 ، 996 ، 685 و 4 حزم متعددة المظهر معطية نسبة 57.17 % من التعدد المظهري. لم يتم تبيان أي حزمة كاشفة مع البادئ C13 مع جميع أصناف القمح المدروسة.



شكل III₄₁: لتعدد المظهري الناتج من تضاعف ADN مع البادئ C 13 في عشرة أصناف من القمح الصلب

جدول III₁₆: الأوزان الجزيئية لحزم دنا ADN المتضاعفة الناتجة باستخدام البادئ C13 في عشرة أصناف من القمح الصلب

Bande n°	PM	Bi	Hed	OZ	GGR	MBB	Dk	Vit	Kor	Hau	INRAT	Status
1	1206	1	1	1	1	1	1	1	1	1	1	M
2	956	1	1	1	1	1	1	1	1	1	1	M
3	817	1	1	1	1	1	1	1	0	0	0	P
4	685	1	1	1	1	1	1	1	1	1	1	M
5	418	1	0	1	0	0	0	0	1	1	1	P
6	283	1	0	1	0	0	0	0	0	0	0	P
7	249	1	0	1	0	0	0	0	0	0	0	P
Total		7	4	7	4	4	4	4	4	4	4	46

1: Présence, 0: Absence, M: monomorphique, P: Polymorphique, U: bande unique

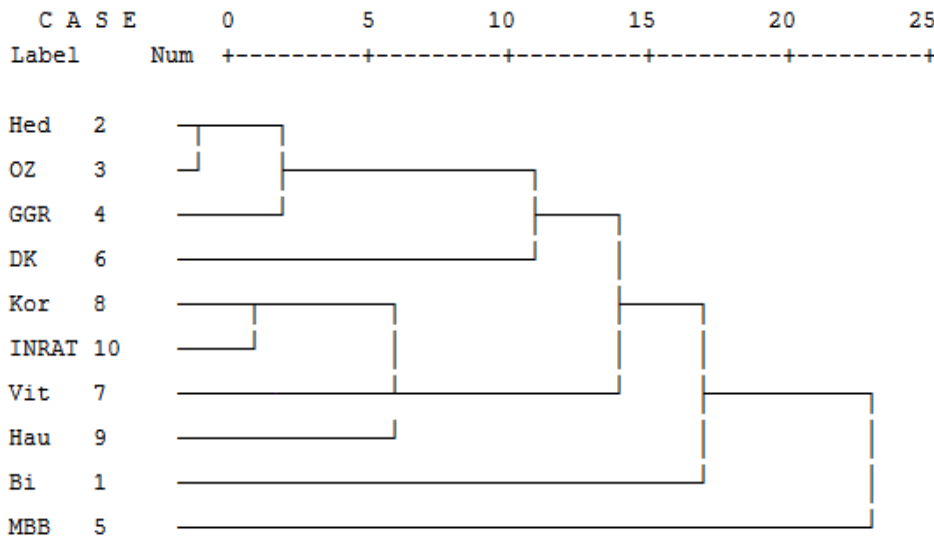
من خلال مصفوفة التشابه جدول III₁₇، لوحظت أكبر نسبة تشابه بين الصنفين الجزائريين Hed و OZ و قدرت بنسبة 89.6%. في حين سجلت أضعف نسبة تشابه بين الصنف ثنائي المصدر Dk و الصنف السوري Hau و قدرت بنسبة 73.80%.

جدول III₁₇: مصفوفة التشابه بين 10 أصناف من القمح الصلب اعتماداً على سلسلة بلمرة خيط ADN

	Bi	Hed	OZ	GGR	MBB	Dk	Vit	Kor	Hau	INRAT
Bi	1									
Hed	0,809	1								
OZ	0,800	0,896	1							
GGR	0,792	0,891	0,857	1						
MBB	0,792	0,775	0,721	0,780	1					
Dk	0,792	0,850	0,767	0,829	0,771	1				
Vit	0,766	0,800	0,792	0,870	0,725	0,825	1			
Kor	0,725	0,782	0,796	0,809	0,701	0,753	0,851	1		
Hau	0,804	0,795	0,787	0,778	0,692	0,744	0,841	0,824	1	
INRAT	0,776	0,787	0,820	0,833	0,690	0,738	0,851	0,879	0,870	1

يتضح من شجرة القرابة (شكل III₄₁) أنه أمكن تقسيم أصناف القمح المدروسة اعتمادا على التسلسل ° سلسلة بلمرة خيط ADN إلى مجموعتين رئيسيتين .تضم المجموعة الأولى الصنفين الجزائريين Bi و MBB . تضم المجموعة الثانية الأصناف الجزائرية (Hed, OZ,GGR) و الصنف ثنائي الأصل Dk. أما المجموعة الثالثة فأنها تضم الأصناف المستوردة الأربعة : الصنف الإسباني Vit ، الصنفين السوريين (Kor, Hau) و الصنف التونسي .INRAT

شكل III₄₂: شجرة القرابة (Dendrogram) بين 10 أصناف من القمح الصلب اعتمادا على سلسلة بلمرة خيط ADN



استعمال التوصيف الجزيئي (RAPD/MCR) سواء باستخدام بادئات عشوائية أو متخصصة يسمح بتحسين المادى لفعالية الانتخاب سواء لخصائص الكمية أو الكيفية. فمن الفوائد الكبرى لدراسة الجزيئية أنها لا تعلم الشكل المظهري فقط لكنها تكشف عن التباين الوراثي للفعال (Hellentjaris et al., 1985 ; Beckmann et sollar,1986 ;1988).

جدول III 18 : الحزم الكاشفة المختلفة الناتجة عند 10 أصناف من القمح الصلب بمختلف الأنظمة الكيميائية والوراثية.

Genotype	SDS PAGE	Isozyme	RAPD PCR
Bi		Adh (M)	B10M320(+) B16M248(+) C9M549 (+)
GGR	TPM8(+)	α Mnaphthyl propionate Est2 (M) α Mnaphthyl propionate Est 3 (M)	
MBB			B10M24(M) B10M31(M) B10M50(M)
DK	TPM12(M) TPM7(+)	α Mnaphthyl acetate Est 5 (M) α Mnaphthyl propionate Est6 (M)	
Kor	TPM9(+)	Mdh1(+)	
Hau	TPM2.681(+)		
INRAT	TPM0(M)		A08M28(+)

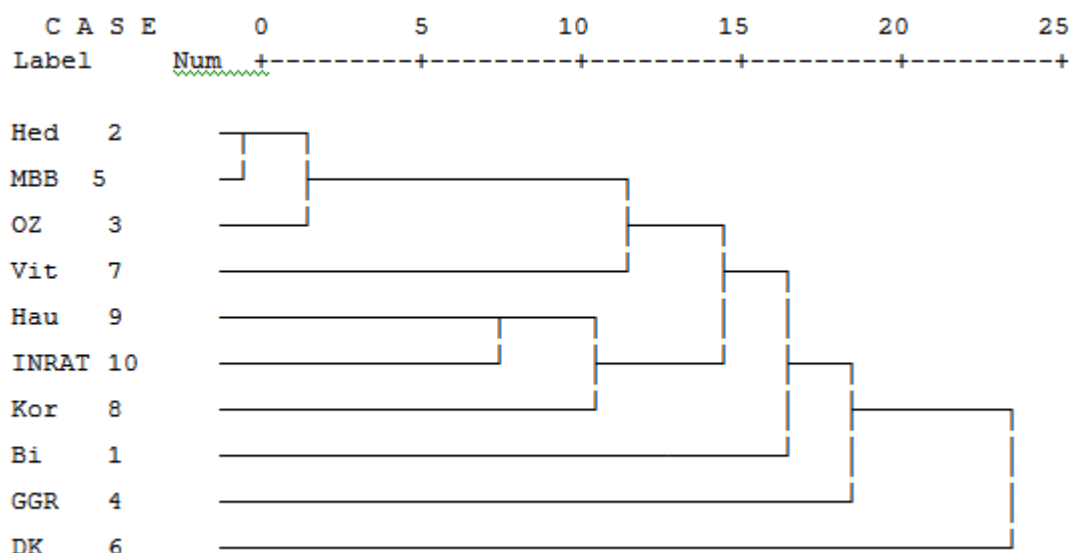
من خلال مصفوفة التشابه جدول III 19، لوحظت أكبر نسبة تشابه بين الصنفين الجزائريين Hed و OZ و قدرت بنسبة 94.90 % . في حين سجلت أضعف نسبة تشابه بين الصنف ثنائي المصدر Dk و الصنف السوري Hau و قدرت بنسبة 73.80 % . على الرغم من أن نسبة التشابه كانت عالية بين جميع الأصناف المدروسة باستعمال النظام البيوكيميائي (إنزيمات و بروتين).

جدول III 19: مصفوفة التشابه بين 10 أصناف من القمح الصلب اعتمادا على الأنظمة الكيميائية المختلفة (بروتين و إنزيمات) .

	Bi	Hed	OZ	GGR	MBB	Dk	Vit	Kor	Hau	INRAT
Bi	1									
Hed	0,877	1								
OZ	0,873	0,923	1							
GGR	0,836	0,838	0,833	1						
MBB	0,817	0,949	0,947	0,833	1					
Dk	0,758	0,795	0,845	0,746	0,845	1				
Vit	0,800	0,857	0,880	0,817	0,853	0,800	1			
Kor	0,806	0,838	0,861	0,765	0,861	0,776	0,845	1		
Hau	0,831	0,861	0,857	0,818	0,886	0,738	0,812	0,879	1	
INRAT	0,848	0,849	0,845	0,806	0,817	0,758	0,800	0,866	0,892	1

من خلال شجرة القرابة الموضحة بالشكل III₄₂، أمكن تحديد أن الصنف Dk يتميز بخصائص منفردة عن بقية الأصناف، يليه الصنفان الجزائريان Bi و GGR الجزائريين. في حين تضم الأصناف الجزائرية الثلاث المتبقية (Hed, MBB, OZ) تحت مجموعة واحدة وتدرج الأصناف المستوردة (Kor, INRAT, Hau) تحت نفس المجموعة. أما الصنف الإسباني Vit فإنه يكون وسطيا بين الأصناف الجزائرية والمستوردة.

شكل III₄₃: شجرة القرابة (Dendrogram) بين 10 أصناف من القمح الصلب اعتمادا على الأنظمة الكيميائية بروتين و إنزيمات



من خلال مصفوفة التشابه جدول III₂₀، لوحظت أكبر نسبة تشابه بين الصنفين الجزائريين Hed و OZ و قدرت بنسبة 100%. في حين سجلت أضعف نسبة تشابه بين الصنف ثنائي المصدر Dk و الصنف السوري Hau و قدرت بنسبة 0.0% بمعنى اختلاف كلي بين الصنفين.

جدول III₂₀: مصفوفة التشابه بين 10 أصناف من القمح الصلب اعتمادا على الأنظمة الكيميائية و الجزئية

	Bi	Hed	OZ	GGR	MBB	Dk	Vit	Kor	Hau	INRAT
Bi 1	1									
Hed 0,582	0,582	1								
OZ 0,535	0,535	1.000	1							
GGR 0,411	0,411	0,757	0,634	1						
MBB 0,275	0,275	0,716	0,515	0,383	1					
Dk 0,112	0,112	0,493	0,367	0,304	0,403	1				
Vit 0,235	0,235	0,510	0,535	0,632	0,275	0,432	1			
Kor 0,109	0,109	0,397	0,498	0,291	0,223	0,136	0,641	1		
Hau 0,444	0,444	0,502	0,455	0,321	0,255	0.000	0,52	0,638	1	
INRAT 0,381	0,381	0,438	0,535	0,485	4*10 ⁻²	3,42*10 ⁻²	0,528	0,792	0,826	1

بناء على درجة القرابة باستعمال الأنظمة البيوكيميائية و الجزئية ، أمكن تقسيم الأصناف المدروسة إلى

مجموعتين رئيسيتين:

تضم المجموعة الأولى الصنف Dk يتميز بخصائص منفردة عن بقية الأصناف في حين تنقسم المجموعة الثانية

إلى تحت مجموعتين فرعيتين، كل منهما تتفرع إلى ثلاث مجموعات، إلا أنه يمكن استنباط مجموعتين فرعيتين

أساسيتين. تضم المجموعة الفرعية الأولى الخمسة أصناف الجزائرية المنشأ (Hed, OZ, GGR, MBB, Bi)

و تضم المجموعة الفرعية الثانية الأصناف المستوردة الأربعة (Vit, Kor, INRAT, Hau).

وقد كانت هذه النتائج مطابقة لحد كبير مع الدراسة الفينولوجية (فترة دورة حياة النبات) حيث قسمت الأصناف

ال عشرة محل الدراسة إلى ثلاثة مجموعات وفعال ما نصت عليه نماذج المعهد التقني لمحاصيل الكبرى للزراعية

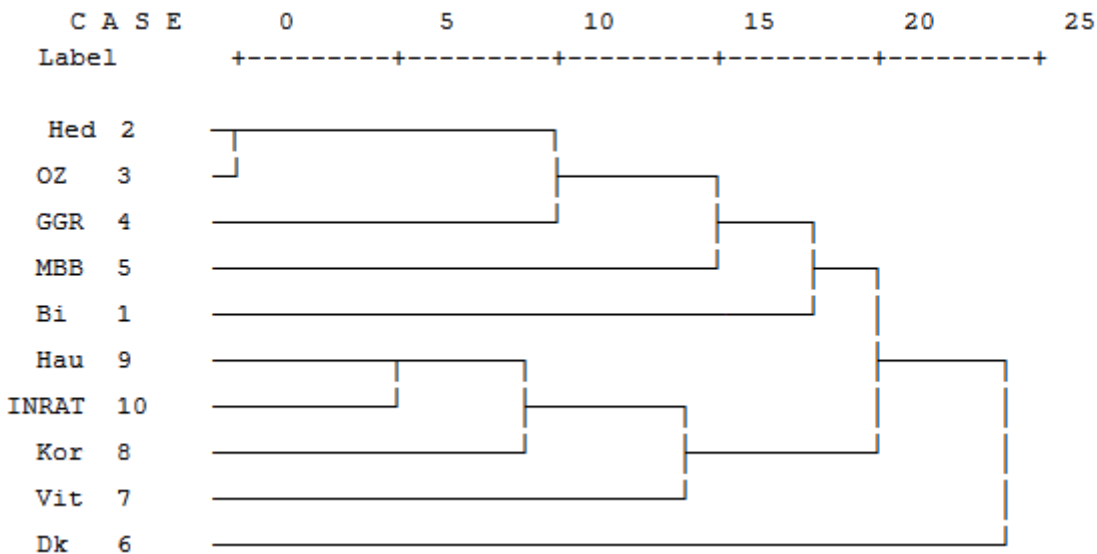
بلجزائر (Benbelkacem,2000 ; ITGC, 1994).

M مجموعة الأصناف المبكرة و تتمثل في أربعة أصناف المستوردة INRAT,Hau ,Kor ,Vit

M مجموعة الأصناف العادية: OZ, MBB ,Bi

M مجموعة الأصناف المتأخرة: GGR, DK, Hed

الشكل III₄₄: شجرة القرابة (Dendrogram) بين 10 أصناف من القمح الصلب اعتمادا على الأنظمة الكيميائية و الوراثية



و من الملاحظ أنه من الصعب التفرقة بين المجموعة الثانية والثالثة من حيث فترة حياة النبات لأن الفرق الزمني لا يتعدى أسبوع. وتعتبر كل الأصناف محلية عدا الصنف Dk للمزدوج الأصل. ومن ناحية أخرى تتفق هذه النتائج مع الدراسة للمرفولوجية حيث قسمت كل ك الأصناف لعشرة إلى أربع مجموعات:

- المجموعة الأولى: مجموعة الأصناف التي تمتاز بكتلة حيوية مهمة و إنتاج علفي وتتمثل في الأصناف المحلية جزائرية الأصل, Bi, GGR, OZ, Hed, و MBB.
- المجموعة الثانية : مجموعة الأصناف التي تمتاز بتفرع اشطاء و تفرع سنبلي كبير وتتمثل في الصنف لثنائي الأصل Dk.
- المجموعة الثالثة : مجموعة الأصناف التي تمتاز بخصوبة لسنبيلات و عدد الحبات /سنبلة بنسبة كبيرة وتتمثل في الصنفين لسوريين (Kor, Hau) و الصنف لتونسي INRAT.
- المجموعة الرابعة : مجموعة الأصناف التي تمتاز بمرحلة إنبات مهمة جدا ويمثلها الصنف الإسباني Vit. و قد أمكن التحصل على نتائج مشابهة لدراسة أجرتها Boudour.(2006) على 326 طراز من القمح ،حيث تمكنت من إيجاد ارتباطات معنوية جدا بين الخصائص اللفينومورفولوجية و اللفيوكيميائية.
- كما تمكن (1989) Abd El Tawab *et al.* في دراسة بين لتعدد المظهري للبروتين و المشابهات الإنزيمية و علاقتها بدرجة لهجين ، Combining ability والإنتاج عند الذرة من إيجاد درجة تشابه قدرت بنسبة 86.90% 87.50% , و 91.30% على الترتيب.
- كما قدر (2003) Varfaie Tabar *et al.* لتباين الوراثي في القطن لهندي (*Gossypium spp*) لثنائي و الرباعي للمجموعة الكروموزومية و وجدوا أن العلاقة بين الخصائص المرفولوجية و الجزئية. ودرس 17 خاصية مرفولوجية مع استعمال 26 بادئ. فأسفرت نتائجها عن تباين بين الأصناف على المستوى المرفولوجي قدر بنسبة 61% ، و تباين على المستوى الجزئي و قدر بنسبة 88%. أما مصفوفة التشابه بين الدراساتين فقد تعدت نسبة 90%.

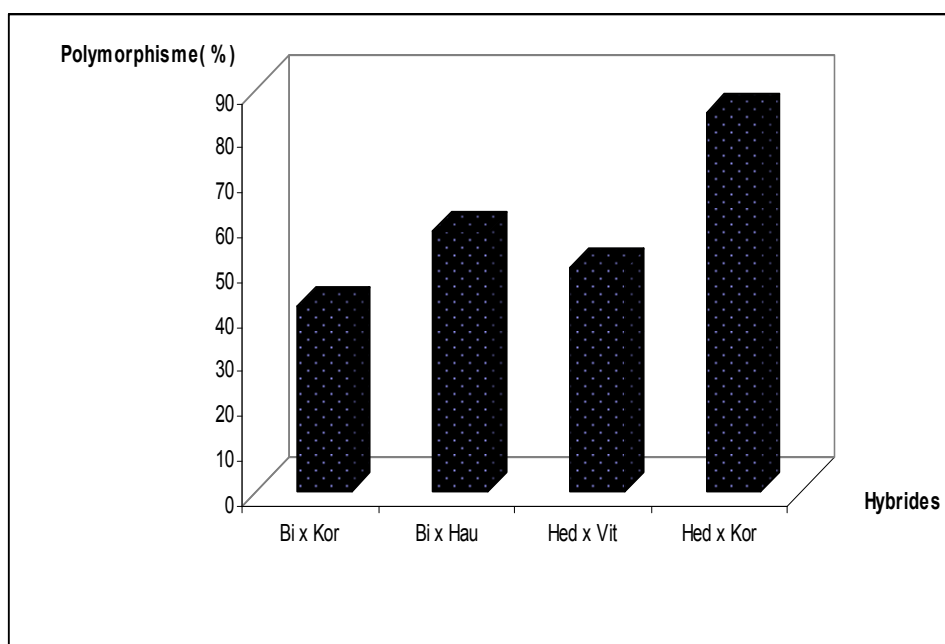
2. لهجن

1.2. نتائج بروتين أفراد لجيل لثاني:

تراوحت نسبة لتعدد المظهري عند لهجن الأربعة لأفراد لجيل لثاني بين 41.17 % في لهجين

Hed x Kor و 84.61 % في لهجين Hed x Kor. وتساوت تقريبا في لهجينين Bi x Hau و Hed x

Vit (جدول III 21 ، شكل III 45) .



شكل III 44: نسب لتعدد المظهري لهجن لجيل لثاني

جدول III 21: عدد و نمط الحزم بلان نسبة المئوية لتعدد المظهري الكلي لمجمل هجن لجيل لثاني

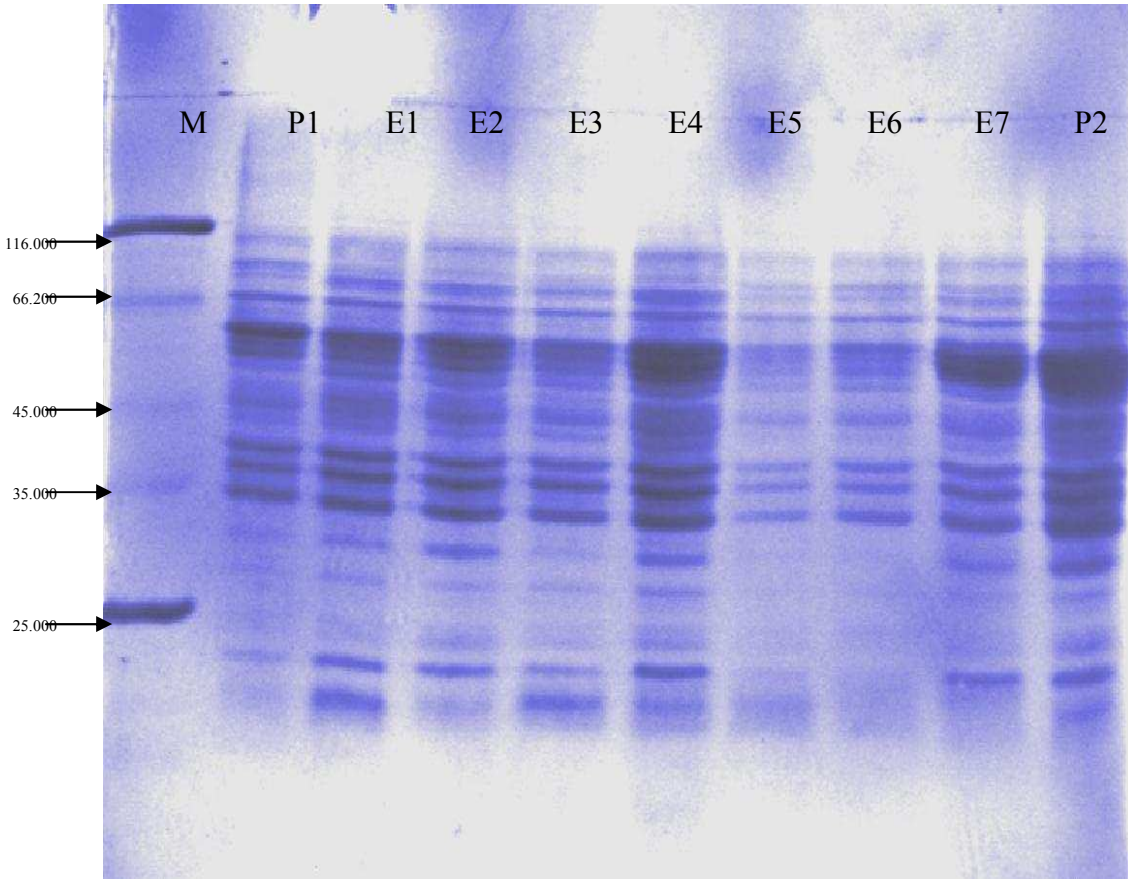
hybrid	Monomorphic bands	Polymorphic bands		Total bands	% Of Polymorphism
		Unique bands	Nonunique bands		
Bi x Kor	10	0	7	17	41.17
Bi x Hau	5	0	7	12	58.33
Hed x Vit	7	4	3	14	50
Hed x Kor	2	2	9	13	84.61

• لهجين الأول: Bi x Kor

أسفرت نتائج استخلاص البروتين الكلي بتقنية SDS PAGE المطبقة على لهجين Bi x Kor عن الكشف عن تواجد 17 حزمة يتراوح وزنها الجزيئي من 113.135 إلى 18.343 KDa كما هو موضح في الجدول III 22 .

و قد أمكن تمييز 10 حزم أحادية المظهر (حزم ذات تعدد مظهري متشابه) و 7 حزم ذات تعدد مظهري (حزم ذات تعدد مظهري متباين) مما سمح بتقدير نسبة 41.17% من التباين المظهري بين أفراد الجيل الثاني مما سمح بترتيب هذه الأصناف وفعال قوانين مندل للانعزال.

تراوح عدد الحزم من 17 حزمة عند الأفراد E1,E3 إلى 11 حزمة عند الأفراد E5, E6 ليتم تبدي أفراد الجيل الثاني لهذا لهجين أي حزم كاشفة.



شكل III 46: عدد الحزم الناتجة من عملية التفريد الكهربائي لبروتينات عند لهجين Bi x Kor

جدول III₂₂ : عدد الحزم المنفردة من تحليل البروتين في لهجين Bi x Kor لأفراد الجيل الثاني

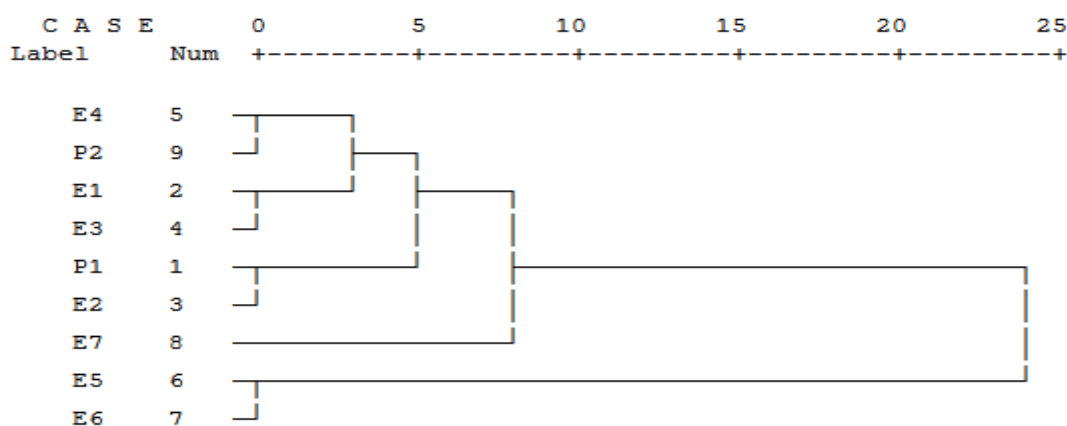
Band n°	PM	P1	E1	E2	E3	E4	E5	E6	E7	P2	STATUS
1	113.135	1	1	1	1	1	1	1	1	1	M
2	91.988	1	1	1	1	1	1	1	1	1	M
3	85.359	1	1	1	1	1	1	1	1	1	M
4	73.575	1	1	1	1	1	1	1	1	1	M
5	67.554	1	1	1	1	1	1	1	1	1	M
6	61.435	1	1	1	1	0	1	1	0	0	P
7	58.531	1	1	1	1	1	1	1	1	1	M
8	54.102	1	1	1	1	1	1	1	1	1	M
9	49.723	1	1	1	1	1	0	0	1	1	P
10	46.051	1	1	1	1	1	1	1	1	1	M
11	44.133	1	1	1	1	1	1	1	1	1	M
12	41.217	1	1	1	1	1	1	1	1	1	M
13	37.964	1	1	1	1	1	0	0	1	1	P
14	30.365	1	1	1	1	1	0	0	1	1	P
15	26.788	1	1	1	1	1	0	0	0	1	P
16	24.772	1	1	1	1	1	0	0	1	1	P
17	18.343	0	1	0	1	1	0	0	0	1	P
Total		16	17	16	17	16	11	11	14	16	

1: Présence , 0:Absence, M: monomorphique , P:Polymorphique, U: bande unique

جدول III₂₃ : مصفوفة التشابه بين أفراد الجيل الثاني و الأبوين لهجين Bi x Kor .

	P1	E1	E2	E3	E4	E5	E6	E7	P2
P1	1								
E1	0,833	1							
E2	1.000	0,833	1						
E3	0,883	1.000	0,883	1					
E4	0,759	0,883	0,759	0,883	1				
E5	0,286	0,173	0,286	0,173	0.000	1			
E6	0,286	0,173	0,286	0,173	0.000	1.000	1		
E7	0,743	0,627	0,743	0,627	0,743	0,229	0,229	1	
P2	0,759	0,883	0,759	0,883	1.000	0.000	0.000	0,743	1

الشكل III₄₇: شجرة القرابة (Dendrogram) بين أفراد الجيل الثاني و الأبوين لهجين Bi x Kor .



انطلاقاً من النتائج المتحصل عليها من مصفوفة التشابه و شجرة القرابة لهجين Bi x Kor

(جدول III₂₃ وشكل III₄₇)

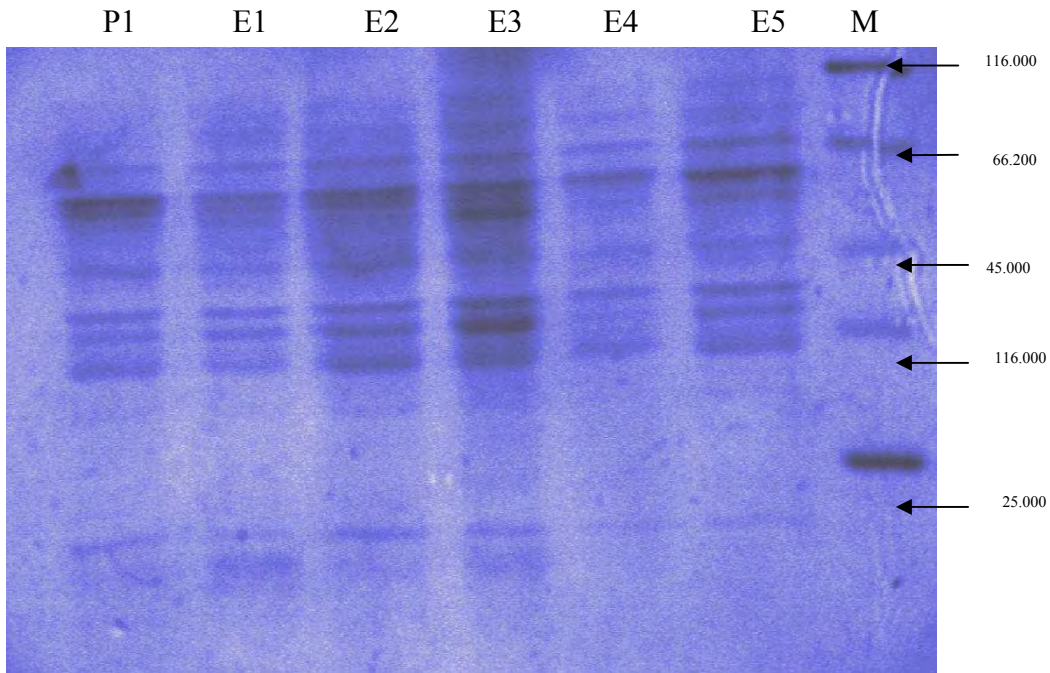
يمكن تقسيم السنبال المتحصل عليها من أفراد الجيل الثاني حسب تقسيم الوراثة لمندل إلى ثلاث مجموعات:

- مجموعة تشبه الأب الأنثى E2, E7 وهي Bi
- مجموعة تشبه الأب الذكر Kor وهي E1, E3, E4
- مجموعة وسطية لا تشبه كلا الأبوين بل تشبه هجين الجيل الأول Bi x Kor وهي E5, E6.

• لهجين لثاني: Bi x Hau

أسفرت نتائج استخلاص البروتين الكلي بتقنية SDS PAGE للمطابقة على لهجين Bi x Hau عن الكشف عن تواجد 12 حزمة يتراوح وزنها الجزيئي من 101.422 إلى 13.964 KDa كما هو موضح في الجدول III₂₄.

و قد أمكن تمييز 5 حزم أحادية المظهر (حزم ذات تعدد مظهري متشابه) و 7 حزم ذات تعدد مظهري (حزم ذات تعدد مظهري متباين) مما سمح بتقدير نسبة 58.33% من التباين المظهري بين أفراد الجيل الثاني مما سمح بترتيب هذه الأصناف وفعال قوانين مندل لانعزال. تراوح عدد الحزم من 11 حزمة عند الأفراد E2, E3 إلى 8 حزم عند الأفراد E1, P2 ولم تبدي أفراد الجيل الثاني لهذا الهجين أي حزم كاشفة.



شكل III₄₈ : عدد الحزم الناتجة من عملية التفريد الكهربائي للبروتينات عند لهجين Bi x Hau

جدول رقم III₂₄ : عدد الحزم المنفردة من تحليل البروتين في الهجين Bi x Hau لأفراد الجيل الثاني.

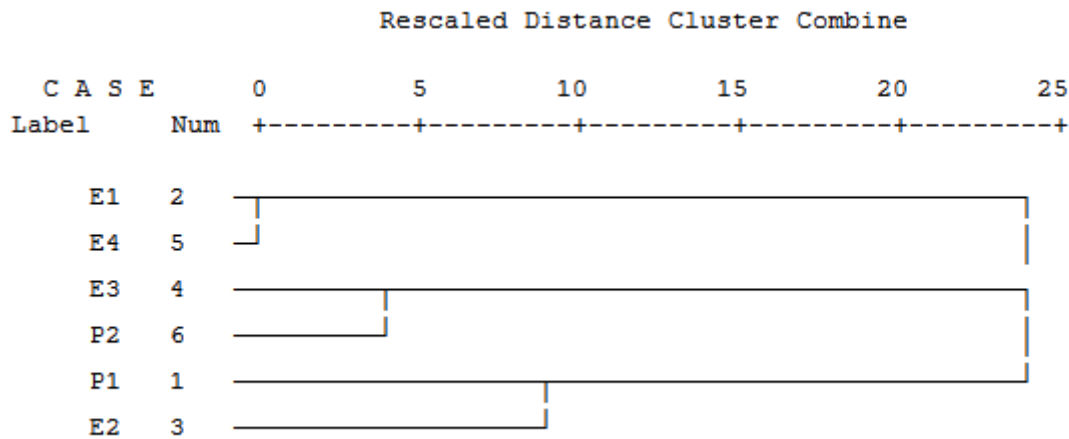
Band n°	PM	P1	E1	E2	E3	E4	P2	Status
1	101.422	1	0	1	1	0	0	P
2	85.676	1	1	0	1	1	0	P
3	70.210	1	1	1	1	1	1	M
4	60.882	1	1	1	1	1	1	M
5	56.485	1	0	1	1	0	0	P
6	46.749	1	1	1	1	1	1	M
7	42.220	1	1	1	1	1	1	M
8	39.412	1	1	1	1	1	1	M
9	32.199	1	1	1	1	1	1	M
10	30.991	0	0	1	1	0	1	P
11	18.400	1	1	1	1	1	1	M
12	13.964	0	0	1	0	1	0	P
Total		10	8	11	11	9	8	

1: Présence , 0:Absence, M: monomorphique , P:Polymorphique, U: bande unique

جدول III₂₅: مصفوفة التشابه بين أفراد الجيل الثاني و الأبوين لهجين Bi x Hau.

	P1	E1	E2	E3	E4	P2
P1	1					
E1	0,424	1				
E2	0,744	0.000	1			
E3	0,123	0,398	0,65	1		
E4	0,676	1.000	0,2	0,123	1	
P2	0.000	0,309	0,589	0,88	0,515	1

شكل III₄₉: شجرة القرابة (Dendrogram) بين أفراد الجيل الثاني و الأبوين لهجين Bi x Hau .



انطلاقاً من النتائج المتحصلة عليها من مصفوفة التشابه و شجرة القرابة لهجين Bi x Hau (جدول III²⁵ و شكل III⁴⁹) يمكن تقسيم السنايل المتحصلة عليها من أفراد الجيل الثاني حسب تقسيم لوراثي لمندل إلى ثلاث مجموعات:

- مجموعة تشبه الأب الأنثى E2 وهي Bi
- مجموعة تشبه الأب الذكر Hau وهي E3
- مجموعة وسطية لا تشبه كلا الأبوين بل تشبه هجين الجيل الأول Bi x Hau وهي E1, E4

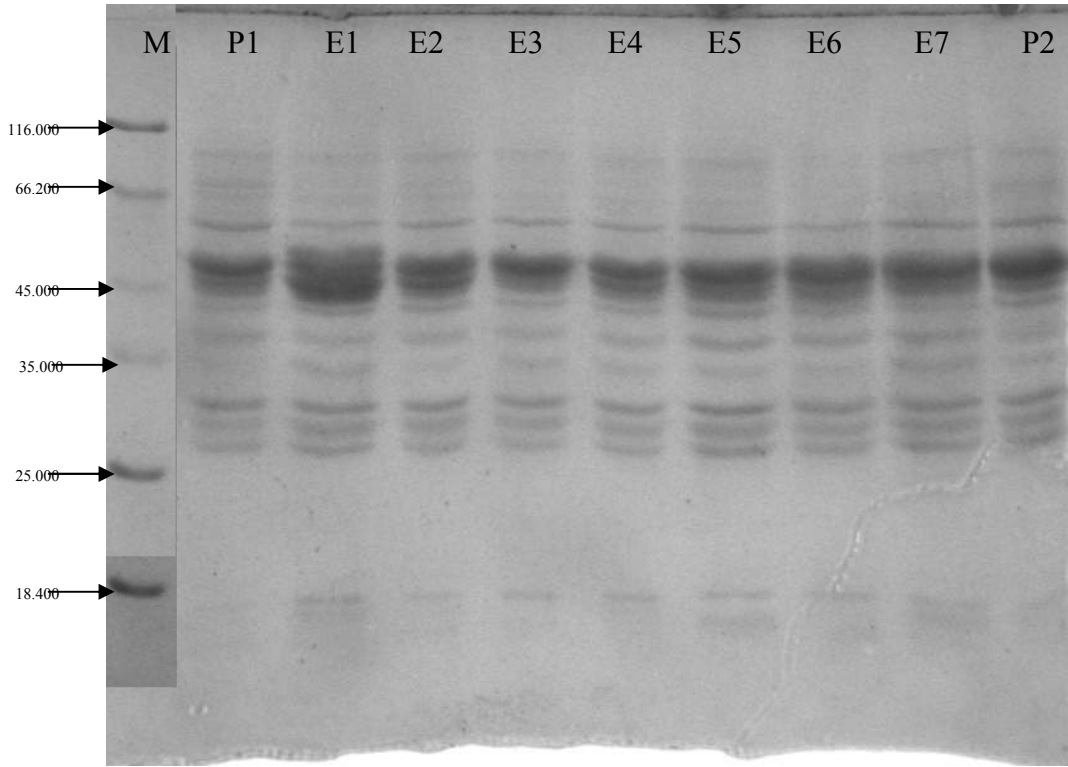
• لهجين لثلث: Hed x Vit

أسفرت نتائج استخلاص البروتين الكلي بتقنية SDS PAGE لمطبعة على لهجين Hed x Vit عن الكشف عن تواجد 14 حزمة يتراوح وزنها الجزيئي من 111.398 إلى 16.689 KDa كما هو موضح في الجدول III²⁶.

و قد أمكن تمييز 7 حزم أحادية المظهر (حزم ذات تعدد مظهري متشابه) و 7 حزم ذات تعدد مظهري (حزم ذات تعدد مظهري متباين) مما سمح بتقدير نسبة 50 % من التباين المظهري بين أفراد الجيل الثاني مما سمح بترتيب هذه الأصناف وفعال قوانين مندل للانعزال .

تراوح عدد الحزم من 12 حزمة عند الأفراد E1, E2 إلى 10 حزم عند الأفراد E3, P2 .

وقد تميزت أفراد هذا الهجين بأربعة حزم كاشفة هي الحزمتين 1 و 7 تميز بها الأب Hed ذات الأوزان الجزيئية: [P1[98(+)] و P1[49(M)] و الحزمتين 2,6 تميز بهما لفردين E3 و E6 على الترتيب. ذات الأوزان الجزيئية E3[54(M)] و E6[111(M)] .



شكل III 50 : عدد الحزم الناتجة من عملية التفريد الكهربي للبروتينات عند الهجين Hed x Vit

جدول III 26 : عدد الحزم المنفردة من تحليل البروتين في الهجين Hed x Vit لأفراد الجيل الثاني.

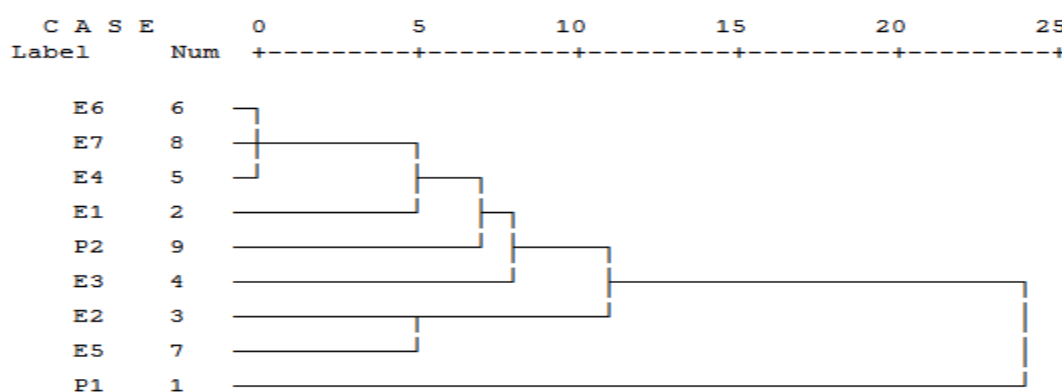
Band n°	PM	P1	E1	E2	E3	E4	E5	E6	E7	P2	Status
1	111.398	1	1	1	1	1	0	1	1		U(⇒)
2	97.966	1	0	0	0	0	0	0	0		U(+)
3	82.323	1	1	0	0	0	0	0	0		P
4	72.475	1	1	1	1	1	1	1	1		M
5	61.690	1	1	1	1	1	1	1	1		M
6	53.931	1	1	1	0	1	1	1	1		U(⇒)
7	49.703	0	1	1	1	1	1	1	1		U(⇒)
8	45.356	1	1	1	1	1	1	1	1		M
9	42.591	1	1	1	1	1	1	1	1		M
10	38.241	1	1	1	1	1	1	1	1		M
11	34.888	1	1	1	1	1	1	1	1		M
12	29.818	1	1	1	1	1	1	1	1		M
13	18.400	0	1	1	1	1	1	1	0		P
14	16.689	0	0	1	0	0	0	1	0		P
Total		11	12	12	10	11	11	11	11	10	

1: Présence , 0: Absence, M: monomorphique , P: Polymorphique, U: bande unique

جدول III 27: مصفوفة التشابه بين أفراد الجيل الثاني و الأبوين لهجين Hed x Vit .

	P1	E1	E2	E3	E4	E5	E6	E7	P2
P1	1								
E1	0,522	1							
E2	0,203	0,694	1						
E3	0,127	0,667	0,667	1					
E4	0,333	0,841	0,841	0,825	1				
E5	0,333	0,841	0,841	0,825	1.000	1			
E6	0.000	0,522	0,841	0,476	0,667	0,667	1		
E7	0,333	0,841	0,841	0,825	1.000	1.000	0,667	1	
P2	0,473	0,667	0,667	0,633	0,825	0,825	0,476	0,825	1

شكل III 51: شجرة القرابة (Dendrogram) بين أفراد الجيل الثاني و الأبوين لهجين Hed x Vit .



انطلاقاً من النتائج المتحصل عليها من مصفوفة التشابه و شجرة القرابة لهجين Hed x Vit

(جدول III 27 و شكل III 51)

يمكن تقسيم السنابل المتحصل عليها من أفراد الجيل الثاني حسب تقسيم الوراثة لمتدل إلى ثلاث مجموعات:

- مجموعة تشبه الأب الأنثى E1 وهي Hed
- مجموعة تشبه الأب الذكر Vit وهي E2, E6
- مجموعة وسطية لا تشبه كلا الأبوين بل تشبه هجين الجيل الأول Hed x Vit وهي E3, E4, E5, E7.

• لهجين لرابع : Hed x Kor

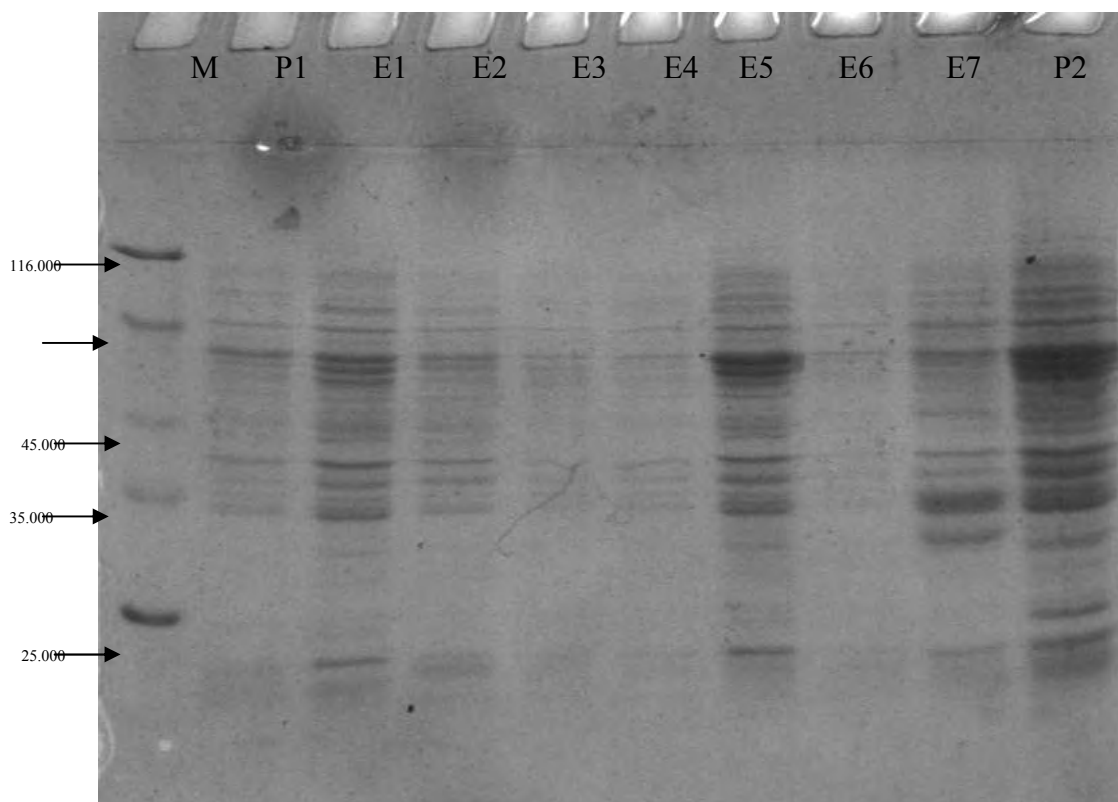
أسفرت نتائج استخلاص البروتين الكلي بتقنية SDS PAGE المطبقة على لهجين Hed x Kor

عن الكشف عن تواجد 13 حزمة يتراوح وزنها الجزيئي من 20.556 إلى 85.604 KDa كما هو موضح في

الجدول III 28.

و قد أمكن تمييز 2 حزم أحادية للمظهر (حزم ذات تعدد مظهري متشابه) و 11 حزم ذات تعدد مظهري (حزم ذات تعدد مظهري متباين) مما سمح بتقدير نسبة 84.61 % من المتباين للمظهري بين أفراد الجيل الثاني مما سمح بترتيب هذه الأصناف وفعال قوانين متدل لانعزال.

ترواح عدد الحزم من 13 حزمة عند الأفراد P2,E5 إلى حزمتين عند الفرد E6. وقد تميز الفرد E6 بحزمتين كاشفتين هما الحزمتين 10 و 11 ذات الأوزان الجزيئية : E6[31(M)],E6[28(M)].



شكل III 52: عدد الحزم الناتجة من عملية التفريد الكهربائي للبروتينات عند الهجين Hed x Kor

جدول III 30: عدد الحزم المنفردة من تحليل البروتين في الهجين Hed x Kor لأفراد الجيل الثاني.

Band n°	PM	P1	E1	E2	E3	E4	E5	E6	E7	P2	status
1	85.604	1	1	1	0	0	1	0	0	1	P
2	66.200	1	0	0	0	0	1	0	1	1	P
3	64.700	0	1	1	0	0	1	0	1	1	P
4	62.527	1	1	1	1	1	1	1	1	1	M
5	59.616	1	1	1	1	1	1	1	1	1	M
6	53.649	1	1	1	0	0	1	0	1	1	P
7	51.010	0	1	1	0	0	1	0	0	1	P
8	46.413	0	1	0	0	0	1	0	0	1	P
9	33.662	0	1	0	0	0	1	0	0	1	P
10	31.523	1	1	1	1	1	1	0	1	1	U(⇒)
11	28.305	1	1	1	1	1	1	0	1	1	U(⇒)

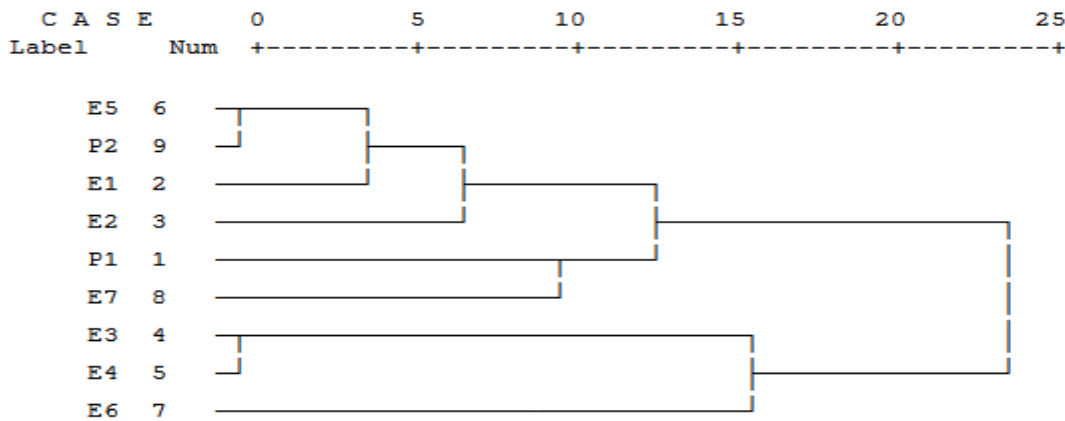
12	22.495	0	0	0	0	0	1	0	0	1	P
13	20.556	0	1	1	0	0	1	0	1	1	P
	Total	11	11	9	4	4	13	2	8	13	

1: Présence , 0:Absence, M: monomorphique , P:Polymorphique, U: bande unique

جدول III₃₁: مصفوفة التشابه بين أفراد الجيل الثاني و الأبوين لهجين Hed x Kor.

	P1	E1	E2	E3	E4	E5	E6	E7	P2
P1	1								
E1	0,545	1							
E2	0,659	0,864	1						
E3	0,628	0,364	0,476	1					
E4	0,628	0,364	0,476	1.000	1				
E5	0,591	0,886	0,752	0,278	0,278	1			
E6	0,242	5,59*10 ⁻²	0,132	0,545	0,545	0.000	1		
E7	0,727	0,641	0,759	0,545	0,545	0,675	0,182	1	
P2	0,591	0,886	0,752	0,278	0,278	1.000	00.00	0,675	1

شكل III₅₃: شجرة القرابة (Dendrogram) بين أفراد الجيل الثاني و الأبوين لهجين Hed x Kor.



انطلاقاً من النتائج المتحصل عليها من مصفوفة التشابه و شجرة القرابة لهجين Hed x Kor

(الجدول III₃₁ و الشكل III₅₃) يمكن تقسيم لسنابل المتحصل عليها من أفراد الجيل الثاني حسب تقسيم الوراثة

لمنديل إلى ثلاث مجموعات:

- مجموعة تشبه الأب الأنثى E3, E4, E7 وهي Hed
- مجموعة تشبه الأب الذكر Kor وهي E1, E2, E5
- مجموعة وسطية لا تشبه كلا الأبوين بل تشبه هجين الجيل الأول وهي E6.

أسفرت دراسة المكونات الأساسية ACP لخصائص المرفوفينلوجية لآباء عن تفسير التباين بينها بنسبة 69.45%. يهتم المحور الأول بلخصائص الفينلوجية و مكونات الإنتاج و بعض خصائص التأقلم كطول النباتات. و يهتم المحور الثاني بتكوين المردود.

توزع العشرة آباء إلى مجموعتين أساسيتين:

- تضم المجموعة الأولى الأصناف OZ, Dk, Hed, Bi, GGR, MBB التي تتميز بلتأخير و طول نبات معتبر و هي ممثلة أحسن تمثيل في المعلم 1-2 و التي تضم بداخلها ثلاث تحت مجموعات فرعية.

- تضم المجموعة الثانية الأصناف Vit, Kor, INRAT و Hau التي تمتاز بالتبكير و قصر طول النباتات ، كما أنها ذات مكونات إنتاج و مردود معتبرين. وتنقسم إلى تحت مجموعتين:

بلنسبة لهجن 2004-2005

• تمثل المجموعة الأولى الأبوين Kor, Vit و لهجن MBB x INRAT (H9) , Dk x Hau (H11) و Dk x INRAT (H12).

• تضم المجموعة الثانية الأبوين GGR, Dk و لهجن Bi x Hau (H2) , Hed x Hau (H5) و GGR x INRAT (H6).

• تضم المجموعة الأخيرة باقي الأصناف المدروسة من آباء و هجن.

بلنسبة لهجن 2005-2006 ، يصعب التمييز في هذه اللحظة بين جميع لهجن المدروسة ، لكن يمكن تمييز الأبوين Kor و Dk و لهجنين Hed x Hau (H6) و Dk x Kor (H20). فالأب Kor يتميز بأنه صنف مبكر جدا مقارنة بالأصناف المبكرة فهو يتجنب الجفاف . يتميز الأب Dk بطول نبات مهم و عنق سنبله طويل فهو يتحمل نقص الماء .

أما لهجن Hed x Hau = H6 فهو يقترب من خصائص الأصناف الطويلة فهو ذو طول معتبر أكتسبه من الأب الأنثى Hed. نفس الشيء لهجن Dk x Kor = H20 الذي أكتسب الطول و التأخير في البروز من الأب الأنثى Dk.

أسفرت نتائج الآباء في مرحلة الصف الورقي الرابع عن زيادة تراكم البرولين في الأنسجة النباتية مع نقص كمية الماء في الوسط بلنسبة لسعة الحقلية: $12.5\%CC > 35\%CC > 25\%CC > CC 75\%$

و أمكن تقسيم العشرة أصناف إلى أربع مجموعات حسب تراكمها للعنصر لتعديل الأسموزي البرولين. أشد الأصناف تراكما هو الصنف لسوري Hau و أقلها للصنف الإسباني Vit بينما تبقى الأصناف الأخرى وسطية لتراكم .

Kor ; Dk ; OZ ; INRAT; MBB > GGR; Hed ; Bi > Vit

- يتبع نفس مسار التراكم عند الآباء في الأنسجة الورقية في مختلف مراحل دورة حياة النباتات عند مقارنة النباتات غير المعرضة للجفاف بالنباتات المعرضة للجفاف حيث تبلغ درجة التراكم 10 مرات عند النباتات المعرضة للجفاف مقارنة بالمسقية في مرحلة الصعود . كما تمثل من 3 إلى 1.5 مرة في مرحلتي امتلاء الحبوب و الإزهار على التوالي. لكن لم يلاحظ أي فرق بين مرحلتي الإنبال و الانتفاخ عند كل من النباتات SDH و ADH.

تكشف نباتات أصناف القمح عن تباين داخل الأصناف و فروق مهمة للتراكم من مرحلة إلى أخرى من مراحل دورة الحياة.

توحى حركية تراكم البرلين داخل الأنسجة الورقية مع زيادة حدة نقص الماء بوجود فئتين من الأصناف: لفئة الأولى تمثلها مجموعة الأصناف التي تنطلق عندها عملية التراكم مبكرا بمعنى بمجرد بداية نقص الماء. و لفئة الثانية تمثلها مجموعة الأصناف التي يكون ارتفاع منظمات الأسموز بها إلا بعد توضع نقص الماء. عند تعريض النباتات إلى إجهاد مزدوج نقص مائي و درجات حرارة مرتفعة تباينت بين 20°م و 45°م. سجل لشاهد 20°م مستويات عالية من البرلين عند درجة لنقص المائي 35 % من س.ح مقارنة بدرجات لنقص المائي العادي و الحاد 50% و 25% من س.ح.

ارتفع محتوى البرلين عند المعلقين 30°م و 40°م عند المحتوى المائي 50 % من السعة الحقلية لكلا الصنفين. لكنه انخفض عند المعلقين 35°م و 45°م. عند كل لسعات الحقلية المدروسة و يلاحظ بشدة عند المستوى العادي من مخزون الماء 50 % من السعة الحقلية.

عند تعريض النباتات إلى إجهاد مزدوج نقص مائي وفترة إضاءة متباينة لوحظ ارتفاع محتوى البرلين عند فترة 16 سا عند المحتوى المائي 35 % من س.ح . سجلت محتويات عالية عند فترة 8 سا من شدة لنقص المائي 25 % من س.ح عند كلا الصنفين . يختلف سلوك صنف OZ عن صنف Hed عند الفترتين 8 سا و 4 سا عند 50 % و 35 % من س.ح.

يتبع تراكم البرلين عند أفراد الجيل الأول حيث تراوحت رتبة التضاعف من 16 إلى 175 مرة وقد بلغت للذروة 597 مرة عند لهجين Dk x Hau عند 40 % من س.ح . وقد أبدت كل لهجن تحسنا نموذجيا لقوة لهجين بلغ أقصاه 100% عند الجفاف الشديد جدا (6.5% من س.ح) .

يتزايد محتوى البرلين مع زيادة حدة نقص الماء عند هجن الجيل الثاني ولا تتعدى هذه الزيادة 19 مرة للقيمة العادية تحت ظروف السقي العادي لكن تبقى هذه القيمة منخفضة مقارنة بالقيم المسجلة عند هجن الجيل الأول.

انخفضت قيمة قوة الهمجين تدريجيا مرورا من الجيل الأول إلى الجيل الثاني عند كل الأصناف بالرغم من وجود تحسنا بالنسبة ل كلا الأبوين الأصليين أو أحد الأبوين.

نلاحظ انخفاضا سريعا و شديدا في محتوى البرولين بعد إعادة السقي عند جميع الأصناف بالرجوع الفوري للمحتوى الأساسي عند 75% من س.ح.

سمحت الدراسة الوراثية لمشابهات الإنزيمية بتدوين أكبر نسبة تشابه بين الصنفين الجزائريين Hed و MBB و قدرت بنسبة 100 % . في حين سجلت أضعف نسبة تشابه وهي منعدمة تماما بين الصنفين GGR و ل صنف Dk المزوج الأصل جزائري و تونسي.

وعند تحليل التفريد الكهربائي للبروتينات الكلية ، أمكن الكشف عن خمس حزم كاشفة bandes uniques امتاز بها الصنفين الجزائريين GGR و Dk ، الصنف الإسباني Vit و الصنف التونسي INRAT. تمثلت في الحزم ذات الأوزان الجزيئية التالية: [88(+)] GGR , [37(+)] Dk , [112(M)] Dk , [19(+)] Vit و [50(M)] INRAT .

بناء على درجة القرابة باستعمال الأنظمة البيوكيميائية و الجزيئية ، أمكن تقسيم الأصناف المدروسة إلى مجموعتين رئيسيتين:

تضم المجموعة الأولى الصنف Dk يتميز بخصائص منفردة عن بقية الأصناف في حين تنقسم المجموعة الثانية إلى تحت مجموعتين فرعيتين، كل منهما تتفرع إلى ثلاث مجموعات، إلا أنه يمكن استنباط مجموعتين فرعيتين أساسيتين. تضم المجموعة الفرعية الأولى الخمسة أصناف الجزائرية المنشأ (Hed, OZ, GGR, MBB, Bi) و تضم المجموعة الفرعية الثانية الأصناف المستوردة الأربعة (Vit, Kor, INRAT, Hau). وقد كانت هذه النتائج مطابقة لحد كبير مع الدراسة الفينولوجية (فترة دورة حياة النبات) حيث قسمت الأصناف لعشرة محل الدراسة إلى ثلاثة مجموعات.

تراوحت نسبة التعدد المظهري عند الهمجن الأربعة لأفراد الجيل الثاني بين 41.17 % في الهمجين Bi Kor و 84.61 % في الهمجين Hed x Kor. وتساوت تقريبا في الهمجين Bi x Hau و Hed x Vit . يمكن تقسيم السنابل للمتحصل عليها من أفراد الجيل الثاني لكل هجين حسب التقسيم الوراثي لمندل إلى ثلاث مجموعات: مجموعة تشبه الأب الأنثى مجموعة تشبه الأب الذكر مجموعة وسطية لا تشبه كلا الأبوين بل تشبه هجين الجيل الأول .

و اعتمادا على هذا التقسيم أمكننا إدراج الهمجن المدروسة إلى مجاميع يمكن أن تحمل صفات عنصر التعديل الأسموزي. و بلتلي قدرتها على اكتساب قوة التراكم عبر الأجيال مما يوحي بانتقال صفة التراكم من الآباء إلى أفراد F1 و F2.

لملخص

تمت دراسة خصائص مرفوفينليوجية ، وراثية و معايرة عنصر التعديل الأسموزي البرلين تحت نقص الماء عند عشرة أصناف من القمح الصلب و الهجن لانتاجة من التصلاب بينها، فسمحت لنتائج الفينليوجية بتقسيم كل من الآباء و الهجن لى ثلاث مجموعات: المبكرة،لنصف متأخرة ولمتأخرة . على أثرهذا، أمكن تفسير التباين بنسبة 70% ، 60% و 50% عند الآباء و هجن 2004-2005 و هجن 2005-2006 على الترتيب.

يرتبط تراكم البرلين على مستوى الأنسجة النباتية مع نقص الماء في وسط النمو ، فيرتفع محتواه نسبيا في أوراق القمح الصلب مع انخفاض محتوى الماء في وسط النمو وتباين كل من درجات الحرارة و فترة الإضاءة . كما يبرز تباينا كبيرا بين مختلف الأصناف للشئ الذي يمكن توضحه بمدى تحمل الصنف للجفاف و مدى توريثه لأفراد F1 و F2.

يتبع تراكم البرلين عند أفراد F1 و F2 بقيمة 16 لى 175 و 19 مرة على الترتيب . بينما انفرد الهجن Dk x Hau برتبة تضاعف مثلى قدرت ب 597 مرة للقيمة الأصلية عند 40% من س.ح وقد أبدت كل هجن F1 تحسنا نموذجيا لى قوة الهجن بلغ أقصاه 100% عند الجفاف الشديد جدا (6.5% من س.ح) . انخفضت قيمة قوة الهجن تدريجيا مرورا من الجيل الأول لى الجيل الثاني عند كل الأصناف. نلاحظ انخفاضا سريعا و شديدا في محتوى البرلين بعد إعادة السقي عند جميع الأصناف بلارجوع الفوري لمحتوى الأساسي عند 75% من س.ح.

أسفرت الدراسة البيوكيميائية و الجزيئية (المشابهات الأنزيمية ، التقريد الكهربي للبرلينات و PCR)، عن تقسيم الأصناف المدروسة لى مجموعتين رئيسيتين: تضم المجموعة الأولى الصنف Dk يتميز بخصائص منفردة عن بقية الأصناف في حين تنقسم المجموعة الثانية لى مجموعة الأصناف الجزائرية المنشأ (Hed, OZ, GGR, MBB, Bi) و مجموعة الأصناف المستوردة ((Vit, Kor, INRAT, Hau)). وقد كانت هذه لنتائج مطابقة لحد كبير مع الدراسة المرفوفينليوجية. اعتمادا على تقسيم الهجن المدروسة أمكننا إدراجها لى مجاميع يمكن أن تحمل صفات عنصر التعديل الأسموزي البرلين. مما يكسبها القدرة على التراكم عبر الأجيال بانتقال صفة التراكم من الآباء لى أفراد F1 و F2.

لكلمات لمفتاحية

القمح الصلب *Triticum durum* Desf. البرلين ، نقص الماء، الهجن، مرفوفينليوجية، عنصر التعديل الأسموزي، وراثية.

Résumé

L'étude a porté sur dix variétés de blé dur et les hybrides issus de leur croisement. Les paramètres étudiés sont les caractères morphophénologiques, les caractères génétiques et mesure de l'osmoticum ' proline ' sous stress hydrique. Les résultats obtenus ont permis de classer les génotypes parents et hybrides en trois groupes: Précoce, demi-tardive et tardive. Ce qui permet à expliquer la diversité de 70% , 60% et 50% chez les parents et les hybrides 2004M005 , 2005M006 successivement.

L'accumulation de la proline chez les tissus végétaux est liée au manque d'eau dans le milieu de développement. Elle augmente relativement chez les feuilles de blé dur en fonction de la teneur en eau dans le milieu, de la variation de la température et la durée de luminosité.

Les écarts considérables enregistrés de la teneur en proline révèle une grande variabilité entre les génotypes, ce qui peut être expliquée par la tolérance variétale à la sécheresse, et sa transmission aux générations F1 et F2.

L'accumulation de la proline chez les individus de la F1 et la F2 est de l'ordre de 16 à 175 et 19 fois respectivement. Seule l'hybride Dk x Hau a marqué une augmentation optimale estimée à 597 fois la valeur initiale à 40% de la C.C. Les hybrides F1 ont montré une amélioration exemplaire de l'hétérosis à un maximum de 100% confronté à une sécheresse très sévère (6,5% de la CC.) La vigueur hybride diminue progressivement en passant de la F1 à la F2 chez la totalité des variétés. Après ré-irrigation, nous notons une chute sévère en teneur en proline chez tous les génotypes en revenant immédiat à la teneur initiale à 75% de la CC.

L'étude biochimique et moléculaire (Enzymes, électrophorèse et PCR) ont permis de classer les parents en deux groupes principaux: le premier comprend le génotype Dk, caractérisé séparément du reste des variétés. Cependant, le second est divisé en groupe des variétés d'origine algériens (Hed, OZ, GGR, MBB, Bi) et en groupe des variétés d'introduction (Vit, Kor, INRAT, Hau). Ces résultats ont été en grande partie identiques à l'étude morphophénologiques.

En ce basant sur le classement des hybrides étudiés, nous pouvons l'insérer dans des groupes qui peuvent acquérir la capacité d'accumulation par transmission.

Mots-clés

Blé dur (*Triticum durum* Desf), stress hydrique, proline, Hybrides, morphophénologiques, génétiques

Summary

The study is focused on the characters morphophenologic, genetic and extent of osmosis proline to water stress in ten durum wheat varieties and hybrids from their intersection. The results obtained have allowed to classify the parents and hybrid genotypes in three groups: Early, semi-late and late. That allows to explain the diversity by 70%, 60% and 50% among parents and hybrids and hybrids 2004/2005, 2005/2006 successively.

The accumulation of proline in plant tissues is related to lack of water in the middle of development. Proline content in leaves increases relative of durum wheat based on the water content in the medium. And the variation of temperature and duration of light. It also highlights the considerable differences between different varieties, which can be illustrated by the extent of varietal tolerance to drought. And its transmission to the F1 and F2 generations.

The accumulation of proline is followed in individuals of the F1 and F2 between 16-175 and 19 times respectively. Only the hybrid x Dk Hau is marked by an increase in maximum estimated 597 times baseline to 40% of the CC. F1 hybrids showed improvement copy of heterosis to a maximum of 100% facing a severe drought (6.5% of the CC.) Hybrid vigor value decreases progressively from F1 to F2 in all varieties. After re-irrigation, we note a rapid and severe drop in proline content in all genotypes by returning immediate return to initial content at 75% of CC. The biochemical and molecular (enzymes, electrophoresis and PCR) were used to classify parents into two main groups: one group includes the genotype Dk characterized separately from other varieties. While the second group is divided into groups of varieties Algerian origin (Hed, OZ, GGR, MBB, Bi) and the group of varieties of introduction (Vit, Kor, INRAT, Hau). These results were largely identical to the study morphophénologiques. According to the division of hybrid studied, we can insert it to groups that may bear the characteristics of accumulation of proline.

Keywords

Durum wheat (*Triticum durum* Desf), proline, water stress, Hybrids, morphophenologic, genetic.

- أحمد عبد المنعم حسن 1991. أساسيات تربية النباتات. دار العربية للنشر و التوزيع للطبعة الأولى. مدينة نصر لقااهرة 682 ص.
- أنور الخطيب 1991. لفصائل النباتية . ديوان المطبوعات لجامعة. لجزائر 263 ص.
- حامد محمد كيال. 1979. نباتات و زراعة لمحاصيل لالحقلية: محاصيل لحبوب و لبقول دمشق مديرية لكتب لجامعة 230 ص.
- عزام 1977. أساسيات إنتاج لمحاصيل لالحقلية. دمشق ، مديرية لكتب و المطبوعات لجامعة لمطبعة لجديدة 212 ص.
- غنية شايب (1998). محتوى البرلين عند مختلف أعضاء القمح الصلب (*Triticum durum* Desf.) : محالية لتفسير شروط التراكم تحت نقص للماء. رسالة ماجستير. معهد علوم لطبيعة و لالحياة. جامعة منتوري قسنطينة لجزائر 84 ص.
- محمد محمد كلك (2000). زراعة القمح . منشأة المعارف بالإسكندرية جلال حزى و شركائه 272 ص.
- سعد شكري إبراهيم 1975. تصنيف لنباتات لزهرية لهيئة لمصرية لعاملة لكتاب 748 ص لقااهرة.

- Ali Dib T. A., Monneveux Ph., Acevedo E. et Nachit M. M., 1994. Evaluation of proline analysis and chlorophyll fluorescence quenching measurements as drought tolerance indicators in durum wheat (*Triticum. turgidum* L. var. durum). *Euphytica.*, 79, 65-73.
- Apel K., and Hirt H., (2004). Reactive oxygen species: metabolism, oxidative stress, and signal transduction. *Annual Review of Plant Biology* 55:373-399.
- Austin R.B. and Johnes H.G., 1975. The physiology of wheat. Annual Report. Plant breeds inst. Cambridge inst. England. 327-355 pp.
- Argandona N. et Pahlich E. (1991). Water stress on proline content and enzyme activities in Barley seedlings. *Phytochemistry.* 30(4), 1093-1094.
- Bagga A.K., Ruwali K.N. and Asana R.D., 1970. Comparison of responses of some Indian and semi dwarf Mexican wheat to irrigated cultivation. *Indien J, Agri, Sci*, 40 : 421-427.
- Barnett N.M. and Naylor A.W., 1966. Amino acid and protein metabolism in Bermuda grass during water stress. *Plant Physiol.*, 41, 1222-1230.
- Bellahassen. E., This. D et Monneveux. P., 1995. L'adaptation génétique face à la sécheresse. *Cahiers de l'agriculture* 4, PP : 251-261.
- Bellinger Y. and Laher F., 1987. Proline accumulation in higher plants: a redox buffer? *Life Science Advances (Plant physiology)*. 6, 23-27.
- Bellinger Y., Bensaoud A. and Laher F., 1991. Physiological significance of proline accumulation, a trait of use to breeding for stress tolerance p. 449-458. In: Acevedo E., Conesa A. P., Monneveux Ph. and Srivastava J. P. (Eds). *Physiology and Breeding of winter cereals for stressed Mediterranean Environments.* Montpellier, France, 3-7 July 1989. Colloques INRA N° 55.
- Benlaribi M. and Monneveux Ph., 1988. Etude comparée du comportement, en situation de déficit hydrique de deux variétés Algériennes de blé dur (*Triticum durum* Desf.) adaptées à la sécheresse C. R. Acad. Agric. Fr. 74(5), 73-83.
- Ben Adballah N. et Ben Salem M., 1993. Paramètres morphologiques de sélection pour la résistance à la sécheresse des céréales. Les colloques n° 64, Ed, INRA (Paris): 275-298.
- Benbelkacem A et Kello.K., 2000. Evaluation du progrès génétique chez quelques variétés du blé dur (*Triticum durum*. Desf) cultivées en Algérie. Symposium Blé: enjeux & stratégies : Alger. 7-11 février : 123-132.
- Benlaribi M., Monneveux Ph. et Grignac P., 1990. Etude des caractères d'enracinement et de leur rôle dans l'adaptation au déficit hydrique chez le blé dur (*Triticum durum* Desf.). *Agronomie* 10: 305-322.
- Ben Nacer.M, 1994. Contribution à l'évolution du degré de résistance aux contraintes hydrique (Sécheresse et l'axe d'eau) chez l'orge et la fétuque, Faculté des sciences agronomique de Combloux (Belgique) thèse d'odoraat 117p.

- Ben Salem M., Boussen H. et Salma A., 1997 M Evaluation de la résistance à la contrainte hydrique et calorique d'une collection de blé dur: Recherche des paramètres précoces de sélection. 6^{ème} journées scientifiques du réseau Biotechnologie génétique des plantes, Agence francophone pour l'enseignement supérieur et la recherche (AUPELF/UREF), Orsay.
- Berthet J., 2006 M Dictionnaire de biologie. De Boeck et Larcier s.a. 1^{ère} édition. Edition De Boeck Université : 15M6.
- Bergareche C., Levsia J., Febrerd A., Bart J. and Avans J. L. (1992). Effet of water stress on proline and nitrate content of barley relationships with asmotical potentiel, carbon isotope ratio and grain yield. In : Tolérance à la sécheresse des céréales en zone méditerranéenne. Diversité génétique et amélioration variétale, Montpellier (France), 15M7 décembre 1992 Ed. INRA, Paris 1993 (les colloques N° 64).
- Bezzala A., 2005. Essais de l'introduction de l'arganier (*Argania spinosa* (L.) Skeels dans la zone de Mdoukel et évaluation de quelques paramètre de résistance à la sécheresse .Thèse de magister Université de Batna.
- Biscope P.V., Gallagher J., Littleton E.J., Monteinth K.L. and Scott R.K., 1975M Barley and its environment. Sources of assimilates. J. Appel. Eco; 12: 395.
- Blum A., 1988 M Plant Breeding for Stress Environment. CRC. Press (éds), Boca Raton, Florida, USA; 123p.
- Borojovic S. and Denicic S., 1986 M Screening a wheat selection for leaf position at different stages of growth. Plant breeding; 97:97M06.
- BoufenarM Maghouane F. et Zaghouane O., 2006 M Guide des principales variétés de céréales à paille en Algérie (blé dur, blé tendre, orge et avoine). ITGC d'Alger, 1^{ère} Ed, 152p.
- Bietz, J.A. (1987) : Genetic and biochemical stuides of nonM enzymatic enosperm proteins. WheatM andM wheatM improvement, 215M41; Agronomy Monograph No. 13, Many ref.
- Binet P., 1989. Métabolisme et adaptation des végétaux supérieurs aux contraintes hydriques thermiques et salines. Bull. Ecol.T. 20(1), 41M9.
- Blum A. and Ebersson A., 1976. Génotypic responses in sorghum to drought stress. III: Free proline accumulation and drought resistance. Crop. Science. 16, 428M31.
- Blum A., 1989. Osmotic adjustment and growth of barley genotypes under drought stress. Crop. Science. 29, 230M31.
- Boggess S. F., Paleg L. G. and Aspinall D. (1975). Pyrroline 5M arboxylic acid dehydrogénase in barley, a proline accumulating species. Plant physiol. 56, 259M62.
- Boggess S.F. Aspinall D. and Paleg., 1976. stress métabolisme. IV: The significance of endproduct inhibition of proline synthesis and of compartementation in relation. To stress induced proline accumulation. Aust. J. plant. Phsiol., 3, 513M25.

- Boggess S. F. and Koepe D. E. ,1978. Oxidation of proline by plant mitochondria. *Plant physiol.* 62, 22-25.
 - Boggess S. F. and Stewart C. R., 1980. The relationship between water stress induced proline accumulation and inhibition of protein synthesis in tobacco leaves. *Plant Science Letters.* 17, 145-152.
 - Boudour L. 2005. Etude des ressources phytogénétiques de blé dur (*Triticum durum* Desf.) Algérien : Analyse de la diversité génétique et les critères d'adaptation au milieu. Thèse doctorat d'état en physiologie végétale et amélioration des plantes. Université Mentouri Constantine. Algérie 141p.
 - Bray E. A., 1993. Molecular response to water deficit. *Plant Physiol.* 103, 1035-1040.
 - Bray E. A., 1997. Plant response to water deficit. *Trends in Plant Science.* 2(2), 48-54.
- Chandra A., Pathak P. S., Bhatt R. K., Dubey A., 2004. Variation in drought tolerance of Different *Stylosanthes* accessions. *Biologia Plantarum.* 48 (3), 457-460.
- Chaves M.M., Pereira J.S., Maroco J., Rodrigues M.L., Ricardo C.P.P., Osório M.L., Carvalho I., Faria T. and Pinheiro C., 2002. How plants cope with water stress in the field? Photosynthesis and growth. *Annals of Botany* 89:907-916.
 - Carre D.J. and Wardlaw IF., 1985. The supply of photosynthetic assimilates to the grain from the flag leaf and ear of wheat. *Aust. J. Biol. Sci.* 18: 711.
 - Clément J.M., 1981 *Dictionnaire Larousse Agricole.* Librairie Larousse. ISBN 2-231-14301-1. 1207p.
 - Chaves M.M., Maroco J., Pereira J., 2003. Understanding plant responses to drought—from genes to the whole plant, *Funct. Plant Biol.* 30, 239–264.
 - Chen Z., Gallie D.R., 2004. The Ascorbic acid redox state controls guard cell signaling and stomatal movement, *Plant Cell.* 16 (2004) 1143–1162.
 - Chu T. M., Jusaitis M., Aspinal D. and Paleg L. G., 1978. Accumulation of free proline at low temperature. *Physiol. Plant.*, 43, 254-260.
 - Chaib.G., Malki .S et Benlaribi.M. ,2002. l'accumulation de la proline dans les différents organes de blé dur (*Triticum durum* DESF) sous manque d'eau. III émes journées scientifiques sur le blé .29 ,30 et 31 Octobre Constantine.
 - Chaib G. et Benlaribi M., 2006_(a) .Accumulation de la proline et des sucres solubles chez le blé dur (*Triticum durum* Desf.) sous stress hydrique. Xèmes Journées Scientifiques AUF. Constantine 8-11 Mai ., p :207-208.
 - Chaib G. et Benlaribi M., 2006_(b). Proline Accumulation in durum wheat (*Triticum durum* Desf.) under water deficit. *Arab. Univ. J. Agric. Sci., Ain Schams Univ , Cairo,*14(1),235-247.
 - Chaib G., Hazmoune T. et Benlaribi M., 2008. Impact de stress hydrique sur le test proline autant qu'indicateur à la biodiversité de blé dur (*Triticum durum* Desf.), Actes des Journées Scientifiques de

l'INRGREF, « La biodiversité dans les aires Protégées » Hammamet, Tunisie, 11-13 Novembre 2008. Annales de l'INRGREF Numéro Spécial (12) ,2008.p....

- Chaitanya K.V., Sundar D and Reddy A.R., 2001. Mulberry leaf metabolism under high temperature stress. *Biologica. Plantarum*.44 (3):379-384
- De Raissac, M. (1992). Mécanisme d'adaptation à la sécheresse de la productivité des plantes cultivées. *Agronomie Tropicale*, 46: 29-39.
- Cao, W.; G. Scoles; P. Hucl and Chibbar R.N., 2000. Phylogenetic relationships of five morphological groups of hexaploid wheat (*Triticum aestivum* L. em Thell.) based on RAPD analysis. *Genome* 43 (4): 724-727.
- Costa A., Carpaneto H., S. Varotto S., et al., 2004. Potassium and carrot embryogenesis: Are K⁺ channels necessary for development? *Plant Mol. Biol.* 51 1-16 (uncorrected proof).
- Dhanda G.S., Sethi R.K., Behl H., 2004. Indices of drought tolerance in wheat genotypes at early stages of plant growth, *J. Agron. Crop Sci.* 190 (1) (2004) 6-12.
- Dorfling, K. & Askman, A., 1989. Relationship between frost tolerance and formation of proline, abscisic acid and specific proteins in cold hardened winter wheat (*Triticum aestivum*) varieties. XII Eucarpia Congress. in spring wheat cultivars. 1. Grain yield response. *Aust J Agric Res* ; 29 : 897-912.
- Deshmukh.RN, Laware.SL.et Dhumal.KN., 2001 .Metabolic alteration in sorghum bicolor under water stress. *J.M.A.U.*26, 1,50-53.
- Dellaporta, S.L.; J. Wood and Hicks J.B., 1983. A plant DNA mini preparation. Version III. *Plant Mol. Biol.* 1: 19-21.
- Demarly Y., 1977. Génétique et amélioration des plants. Edt Masson 273 p.
- Drier W. et Gorning M.,1974. Der einfluss boher Salzkonzentrationen auf verschiedene physiologische parameter von Maiswurzeln. *Wiss. Z der H.V. Berlin, Nath, Naturwiss.* 23: 641-644.
- Delauney A. J. and Verma D. P., 1993. Proline biosynthesis and osmoregulation in plants. *The plant Journal.* 4(2), 215-223.
- Drier W. and Gorning M. ,1974. Der einfluss boher Salzkonzentrationen auf verschiedene physiologische parameter von Maiswurzeln. *Wiss. Z der H.V. Berlin, Nath. Naturwiss.* 23, 641-644.
- Deyson G., 1981. *Physiologie et biologie des plantes vasculaires.* 1ère partie nutrition et métabolisme. Tome III. Société d'édition d'enseignement supérieur, Paris France.
- Erdei L., Tari I., and Csiszar J.I., 2002. Osmotic stress responses of wheat species and cultivars differing in drought tolerance: some interesting genes (advices for gene hunting), *Acta Biol. Szeged.* 46 (3-4) (2002) 63-65.
- Elhassani T.A et Persoons E ., 1994. *Agronomie moderne. Bases physiologiques et agronomiques de la production végétale.* Ed AUPELF-REF. 544p.

- Galterio, G.; Grita, L. and Brunori A., 1993. Pasta-making quality in *Triticum durum*. New indices from ratio among protein components separated by SDS-PAGE. *Plant Breeding*, 110:4, 290-296.
- Gate P, Bouthier A, Woznica K et Hanzo M.E., 1990. La tolérance des variétés De blé d'hiver à la sécheresse. *Agri*, 145,17-23.
- Gate P., Bouthier A., Casablanca H. et Deleens E., 1992. Caractères physiologiques décrivant la tolérance à la sécheresse des blés cultivés en France. Interprétation des corrélations entre le rendement et la composition isotopique du carbone des grains. In : Tolérance à la sécheresse des céréales en zone méditerranéenne. Diversité génétique et amélioration variétale. Montpellier (France) INRA. (Les colloques n°64).
- Garret R.H et Grisham Ch.M., 2000. *Biochimie*. Ed. De Boeck Université, 84.86.
- Gleeson D., Lelu-Walter MA., Parkinson M., 2006. Overproduction of proline in transgenic hybrid larch (*Larix x leptoeuropaea* Dengler) cultures renders them tolerant to cold, salt and frost. *Mol Breeding*; 15 : 21-28.
- Godon B. et Loisel W., 1997. Guide pratique d'analyses dans les industries des céréales. Collection sciences et techniques agro-alimentaires. 2^e édition, Lavoisier TEC et DOC. 819p.
- Gravet A., 2007. Réponses aux stress chez les végétaux. UMR6026 ICM.
- Grignac. P. 1965 contribution à l'étude de T. Durum Desf. Thèse de doctorat 152 p.
- Grime J. P., 1989. Whole plant responses to stress in natural and agricultural systems. *Plants under stress*. H.G. Jones. T. J. Flowers and M. B. Jones New York, Cambridge university press : 31-66.
- Hasaballah, Fayrouz I., 1997. Biochemical genetic markers for discriminating some wheat genomes. M.Sc. Thesis. Fac. Agric., Ain Shams Univ.
- Halford N.G., Paul M., 2003. Carbon metabolite sensing and signaling, *Plant Biotechnol. J.* 1, 381–398.
- Hassan, A.H.M., 2005. Identification of molecular markers for some morphological and biochemical characters in some medicinal plants. M.Sc. Thesis. Ain Shams Univ., Fac. Agric.
- Hayashi.F., Ichino.T., Osanai.M et Wada.k., 2000. Oscillation and regulation of proline content by P5CS and ProDH gene expressions in the light /dark cycles in *Arabidopsis thaliana* L. *Plant and Cell Physiology* 41 (10) :1096-1101.
- Handa S., Handa A. K., Paul M. H. et Ray A. B. ,1986. Proline accumulation and the adaptation of cultured plants cells to water stress. *Plant physiol.* 80, 938-945.
- Hanson A. D., Nelson C. E. and Ebersson E. H., 1977. Evaluation of free proline accumulation as an index of drought resistance using two contrasting barley cultivars. *Crop.Sci.* 17, 720-726.
- Hanson A. D. et Hitz W. D. ,1982. Metabolic responses of mesophytes to plant water deficits. *Annu. Rev. Plant Physiol.* 33, 163-203.

- Hare, P.D., Cress W.A. ,1997. Metabolic implications of stress-induced proline accumulation in plants. *Plant Growth Regul.* 21, 79-92.
- Hare PD., Cress WA., Van Standen J. ,1999. Proline synthesis and degradation: the model goes elucidating stress related signal transduction. *J Exp Bot* 1999; 50:413-34.
- **Heller R., 1982. *Physiologie végétale*.** Tome 2. Développement. Ed. Masson, Paris, 215 pp.
- Hernandez J.A., C. Escobar, G. Creissen, et al., (2004). Role of hydrogen peroxide and the redox state of ascorbate in the induction of antioxidant enzymes in pea leaves under excess light stress, *Funct. Plant Biol.* 31 (4) 359-368.
- Hireche ., 2006 reponse de la luzerne medicago sativa (L) au stress hydrique et la profondeur du semis. Thèse de magister. Université de EL Hadj Lakhdar Batna p13.
- Hopp L., Gentzbittel N., Paniego and Sarrafi A ., 2007. Genetic analysis of plant water status and osmotic adjustment in recombinant inbred lines of sunflower under two water treatments. *Plant Science* 172:773-787.
- Horton, P., A., Ruban., 2005. Molecular design of the photosystem II light-harvesting antenna: photosynthesis and photoprotection. *J. Exp. Bot.* 56, 365-373.
- Hubac C. et Vieira Da Silva ., 1980. Indicateurs métaboliques de contraintes mésologiques *Physiol vég.*, 18, 45-54.
- Hubac, C. ; Gurrier, D. & Bousquet, U. ,1986. Effect of far-red light on malate and potassium contents in cotton leaves: Relation to drought resistance. *Physiol. Plant.*, 66, pp. 37-40.
- Huber L., 2007 *Bioclimatologie. Concepts et applications de santé de Parcevaux.* 246p.
- Johanson D.A. et Moss D.N., 1976 . Effect of water stress on 14 CO₂ fixation and translocation in wheat during grain filling. *Crop Sci*, 14: 728-731.
- Johanson D.A., Richards R.A. and Turner N.C., 1983 . Yield water relation gas exchange and surface reflectance on near-isogenic wheat lines differing in glaucousness. *Crop Sci*, 23 :318-325.
- Jones M. M., Osmond L. B. and Turner N. C., 1980. Accumulation of solutes in leaves of sorghum and sunflower with respect to water deficit. *Aust. J. Plant Physiol.*, 7, 193-205.
- Jiang M.Y., Zhang J.H., 2004. Abscisic acid and antioxidant defense in plant cells, *Acta Bot. Sin.* 46 (1) 1-9.
- Joyce P. A., Peleg L.G. and Aspinall D., 1984. The requirement for low-intensity light in the accumulation of proline as a response to water deficit. *Journal of experimental botany*, 35, 209-218.
- Joce, P.A, Aspinall and Paleg.L.G. 1992. Photosynthesis and the accumulation of proline in response to water deficit. *Plant.Physiol* ,19 : 249-251.

- Kameli A et Losel D.M., 1995. Contribution of carbohydrates and other solutes to osmotic adjustment in wheat leaves under water stress. *J. plant physiol.*, vol. 147, pp 363-366.
- Kanouni M. et Alatou D., 2006. Les marqueurs biochimiques d'un stress thermique chez le chêne liège (*Quercus suber* L.). Xèmes Journées Scientifiques AUF. Constantine 8-11 Mai .P :157-158.
- Kaus, H., 1977. Biochemistry of regulation. In northcote (Ed):*International Review of Biochemistry*, II, pp. 119-139.
- Kawaguchi R., Girke T., Bray E.A., Bailey-Serres J., 2004. Differential mRNA translation contributes to gene regulation under non-stress and dehydration stress conditions in *Arabidopsis thaliana*. *Plant Journal*, 38, 823-839.
- Kishor P.B.K., Hong Z., Miao C.H., Hu C.A.A., Verma D.P.S. ,1995. Overexpression of *AtPyrroline Carboxylate Synthetase* Increases Proline Production and Confers Osmotolerance in Transgenic Plants. *Plant Physiology* 108: 1387-1394.
- Kiyosue, T., Yoshiba, Y., Yamaguchi-Shinozaki, K., and Shinozaki, K., 1996. A nuclear gene encoding mitochondrial proline dehydrogenase, an enzyme involved in proline metabolism, is upregulated by proline but downregulated by dehydration in *Arabidopsis*. *Plant Cell*. 8, 1323-1335.
- Kishor PBK., Sangam S., Amrutha RN., Laxmi PS., Naidu KR., Rao K.S., 2005. Regulation of proline biosynthesis, degradation, uptake and transport in higher plants: its implications in plant growth and abiotic stress tolerance. *Curr Sci* 2005; 88:424-38.
- Knu C.G. et Chen H.H., 1986. Effect of high temperature on proline content in tomato floral buds and leaves. *Sci Hortic. Sci.*111 (5), 746-750 in chemical abstract (1986), (17 et 18) Paragraphe 169055u.
- Kirkham M.B., Smith E.L., Dhansobhan C. and Drake T.I., 1980. Resistance to water loss of winter wheat flag leaves. In: *Genotypic variability in physiological characters and its relation to drought tolerance in durum wheat (Gummurus)*. *Can. J. Plant sci* (1989), 69: 703-711.
- Ingram J. and Bartels D., 1996. The molecular basis of dehydration tolerance in plants. *Ann. Rev. Plant Physiol. Plant Mol. Biol.* 47, 377-403.
- Laumont P. et Erroux J., 1962. Les blés tendres cultivés en Algérie. *Annales de l'école nationale d'agriculture d'Algérie*. Tome III, Fasc 4, Janvier 1962, ENNA ; 60p.
- Laemmli, U.K., 1970. Cleavage of structural proteins during the assembly of the head of bacteriophage T4. *Nature*, 227:680-685.
- Lahrer F., Lepart L., Patrivalisky M., Chappart M. ,1993. Effectors for the asmoinduced proline response in higher plants. *Plant Physiol .Biochemi.*, 31(6), 911-922.
- Lecoche, F., Sorou. P. , 1992. Hétérosis et hérédité de quatre caractères Agronomique dans les croisement de lignées fixe de Betteraves Fourragères et Sucrière. *Rev. agronomie* 12 (1):45-59 p.

- Ledily F., Billard J. P., Lesaos J. et Hvault C. ,1993,. Effects of NaCl and gabaculine on chlorophyll and proline levels during growth of radish cotyledons. *Plant. Physiol Biochemi.*, 31(3), 303-310.
- Lehninger A. L., 1972. *Biochemistry*. ed. Warth. Publicher, Incorp. New York, 792.
- Lehninger A. L., 1982. *Principes de Biochimie*. ed. Flammarion medecine science, Paris, 1006 P.
- Levitt J., 1972. *Reponses of plants to environmental stress*. Acad. Press New York.
- Levitt J., 1980. Reponses of plants to environmental stresses, in *water radiation and other stress*: 275-282.
- Levitt J. 1982. *Responses of plants to environmental stress*. Acad. Press, N.Y., USA, 607 pages.
- Leclerc J.C., 1999. *Ecophysiologie végétale* publication de l'université de Saint Etienne. Paris 283p.
- Lewin. L.G , Sparrow. D.H.G et Aspinal.D., 1978. Proline accumulation and drought resistance in barley. *N°23. 3 (b), 3, 12-16*.
- Liu X.A., Bush D.R., 2006. Expression and transcriptional regulation of amino acid transporters in plants. *Amino Acids (1) 1-8*.
- Li Y.H., Wang W., Ma Q.J., 2003. The osmotic adjustment and photosynthesis of a wheat cultivar Hanfeng 9703 with high yield, drought resistance under drought stress. *Acta Agron. Sin.* 29 (5) 759..
- Maathuis F.G.M., Filatov V., Herzyk P., 2003. Transcriptom analysis of root transporters reveals participation of multiple gene families in the response to cation stress, *Plant J.* 35 (2003) 675-692.
- Mac Fadden E.S. and Sears E.S., 1946. The origin of *Triticum spelta* and its free threshing hexaploid relatives. In K.S. Quisenberry and L.P. Reitz: *wheat and wheat improvement*, Madison, USA: 19-27.
- Mackey J., 1966. Species relationship in *Triticum*. *Proc. 2nd Int. Wheat Genet. Symp.*, Lund 1965. *Hereditas*, suppl; 2: 237-276.
- Malik, T.A.; A. Price., Wright D., 2000. Bulked segregant analysis and RAPD markers for drought resistance in wheat. *Pak. J. Agric. Res.* 16 (2): 82-88.
- Malki S., Chaib G. Benlaribi M., 2002 .Contribution à l'étude de la biodiversité du blé (*Triticum sp*) par le test de la proline. Séminaire international : biologie et environnement Constantine le 20.21 et 22 Octobre.
- Martin B. and Ruiz-Torres N.H., 1992. Effect of water deficit stress on photosynthesis, its component limitations, and on water use efficiency in wheat (*Triticum aestivum L.*). *Plant Physiol.*, 100, 733-739.

- Mattioni C., Lacerenza NG., Troccoli A., Leonardis AM., Fonzo ND.,1997. Water and salt stress induced alterations in proline metabolism of *Triticum durum* seedlings. *Physiol Plant* 1997;101:787–92
- Mastrangelo A.M., Rascio A., Mazucco L., Russo M., Cattivelli L., et Di Fonzo N. ,2000. Molecular aspects of abiotic stress resistance in durum wheat. *Option méditerranéenne*, N°40, 207–213.
- Meziani L., Bammoun A., Hamou M. et Brinis L., 1992. Essai de définition des caractères d'adaptation du blé dur dans différentes zones agronomique de l'Algérie. In. *Tolérance à la sécheresse des céréales en zone méditerranéenne. Diversité génétique et amélioration variétales*. Montpellier (France) INRA (Les colloques N°64), 191–203.
- Mefti A., Abdelguerfi A., Chebouti A.,2000. Etude de la tolérance à la sécheresse chez quelques populations de *Medicago truncatula* (L.) Gaertn
- Mehboob M., Rahman; T.A. Malik; M.A. Chowdhary; M.J. Iqbal and Y. Zafar., 2004. Application of random amplified polymorphic DNA (RAPD) technique for the identification of markers linked to salinity tolerance in wheat (*Triticum aestivum* L.). *Pak. J. Botany*. 36 (3): 595–602.
- Monneveux Ph. and Nemmar M., 1986. Contribution à l'étude de la sécheresse chez le blé tendre (*Triticum durum* DesF). Etude de l'accumulation de la proline au cours du cycle de développement. *Agronomie*. 6(6), 583–590.
- Monneveux Ph.,1991. Quelles stratégies pour l'amélioration génétique de la tolérance au déficit hydrique des céréales d'hiver? In: *L'amélioration des plantes pour l'adaptation aux milieux arides* éd AUPELF/REF. John libbery Eurotert Paris, 165–198.
- Monneveux Ph. et This D. ,1997 . La génétique face au problème de la tolérance des plantes cultivées à la sécheresse: Espoirs et difficultés. *Sècheresse*. 8(1), 29–37.
- Morgan, J.M., (1984). Osmoregulation and water stress in higher plants. *Annual Review of Plant Physiology* 35, 299–319.
- Morgan J. M., Hare R. A., Fletcher R. J., 1986. Genetic variations in osmoregulation in bread and durum wheat and its relationship to grain yields in a range of field environment. *Aust J. Agric. Res.* 37, 449–457.
- Munshi, A.; S. Bazaid and A. El-Tarras ,2003. Genetic diversity in diploid KSA wheat as revealed by RAPD analysis. *Egypt. J. Genet. Cytol.* 32 (1): 25-32.
- Mohamed, S.A.; A.A. Ali and A.S. Fahmy ,2003. Molecular characterization of wheat *Triticum aestivum* cultivars using isoenzyme analysis and RAPD fingerprint. *Bull. Nat. Res. Cent., Cairo* 28 (6): 735-747.
- Mona brahim M.I.,2004., Biochemical and molecular Genetic Fingerprinting of some indigenous Barley Cultivars. Master of science in Agricultural Science (Genetics) .Departement of genetics, Faculty of agriculture, Ain Shams university.Cairo.Egtpt.115p

- Naidu B. P., Aspinall D. and Paleg L. G., 1992. Variability in proline accumulation ability of barley (*Hordeum vulgare* L.) cultivars induced by vapor pressure deficit. *Plant Physiol.*, 98, 716-722.
- Navari-Nizoz F., Quartracci M. F. et Izzo R., 1990. Water stress induced changes in protein and free amino acids in field grown maize and sunflower. *Plant Biochem.*, 28, 531-537.
- Navari-Nizoz E., Sgherri C.L.M., et Quartacci M.F., 1992. Proline accumulation related to water status in sunflower seedlings subjected to drought. *Agr. Med.*, 122, 269-274.
- Nouh Eyd Ahmed. (2003). Molecular genetic studies on some wheat genomes .M.Sc. Thesis. Fac. Agric., Ain Shams Univ. Cairo Egypt 108p.
- Nxomani, C.D., A.J. Ribbink and Kirby R., 1994. Differentiation of isolated, threatened fish populations in dolomitic waters of the transval, South Africa, by polyacrylamide gel electrophoresis (PAGE) of total cellular proteins. *Biological Conservation*. 69: 185-189.
- Paquin R., 1986. Effet de l'humidité du sol sur la teneur de la proline libre et des sucres totaux de la luzerne enduree au froid et à la sécheresse. *Can. J. Plant. Sci.*, 66, 95-101.
- Paradies, I. and Ohms J.P., 1987. Identification of triticale cultivars by electrophoresis of seed proteins. *Landwirtschaftlich. Forschung*, 1987, 40: 251-257.
- Patrick J.W. and Wardlaw I.F., 1984 . Vascular control of photosynthetic transfer from the flag leaf to the ear of wheat. *Australian. J. Plant physiol*, 11: 235-241.
- Planchon C., Caimes J. et Blanchet R., 1986. Ecophysiologie du Soja: II adaptation aux conditions. In le Soja, Physiologie de la plante et adaptation aux conditions française. Cetiour et INRA, éd., Information techniques, 79-85.
- Pahlich E., Kerres R. and Jager H.J., 1983. Influence of water stress on the vacuole/extravacuole distribution of proline in protoplasts of *Nicotiana rustica*. *Plant Physiol.*, 72, 590-591.
- Protsenko DC ., shamat'koi G .et Rubanyuk E A ., 1968. Drought hardiness of winter wheat varieties as related to their amino acid composition .*Fiziol Rast* ;15:680-681.
- Ober, E.S. & Sharp, R.E., 1994. Proline accumulation in maize (*Zea mays* L.) primary roots at low water potentials. *Plant. Physiol.*, 105, pp. 981-987.
- Voetberg GS, Sharp R.E. , 1991. Growth of the maize primary root in low water potentials. III. Roles of increased proline depositions in osmotic adjustment. *Plant Physiol* .1991; 96:125-30.
- Rabbani M.A., Maruyama K., Abe H., Khan M.A., Katsura K., Ito Y., Yoshiwara K., Seki M., Shinozaki K. , Yamaguchi M., Shinozaki K., 2003. Monitoring expression profiles of rice genes under cold, drought, and high salinity stresses and abscisic acid application using cDNA microarray and RNA gel blot analyses. *Plant Physiol* 133, 1755-1767.

- Raissac, M.D.E., (1992). Mécanismes d'adaptation à la sécheresse et maintien de la productivité des plantes cultivées. *Agronomie Tropicale*, 46: 29-39.
- Rajaram S, Paulsen GM., 2004. Evaluation of selection strategies of wheat adaptation across water regimes. *Euphytica* 2004;135:361-71.
- Ram, H. H. and Singh B. P., 1991. Cultivar identification through seed protein electrophoresis in *Phaseolus vulgaris* *Vegetable Science*, 18: 41-42.
- Rashed, M.A.; Alia A. El-Meoudy; Eman M. Fahmy; T.Z. Salam; S.H. Abdel-Maziz and Abeer Abdel-Bary A.A. , 2004. Molecular genetic markers for salt tolerance in wheat. *Egypt. J. Genet. Cytol.* 33 (1): 163-183.
- Redaelli, R.; Pogna, N.E. and Biancardi A.M., 1993. Varietal identification in wheat by electrophoresis. *Sementi Elette.* 39:31, 27-29.
- Rejamia L., 2006. Accumulation de la proline comme indice moléculaire de la biodiversité et adaptation à la sécheresse chez les céréales. Cas de blé dur (*Triticum durum* Desf.). Thèse en langue Nationale. Université Constantine. 82p.
- Riazi.A., Kaoru. M et. Arslan A., 1985. Water stress induced changes in concentration of proline and other solute in growing regions of young barley leaves. *Exp Bot.* 36. N°172, 1716-1727.
- Roeder V. ,2006. Recherche et étude de marqueurs moléculaires de la réponse au stress chez l'algue brune *Laminaria digitata*. Thèse de doctorat. Biologie. Université de Rennes1. 237pp.
- Romagosa I. et Araus J.L., 1990. Acciones mitigantes de la sequia en la agricultura : la mejora genética vegetal. Jornadas sobre les sequias en Espana. Causas, efectos, remedios, y acciones mitigantes, Madrid, Espana (unpublished).
- Salma A, Bensalem M, Bennaceur M, Zid B., .2005. Les céréales en Tunisie : production, effet de la sécheresse et mécanismes de résistance. *Sécheresse* ; 15p.
- Saint pierre C. A., Monneveux Ph. et Comeau A.,1991. Tolérance génétique des céréales au VJNO et à la sécheresse. Ed AUPELF/REF. John libbery. Euro. text. Paris. 35-40.
- Salsac L. et Monneveux Ph. (1991). Relation entre la nutrition minérale et la tolérance au déficit hydrique, p: 49-56. In: Acevedo E. Conesa A. P. Monneveux Ph. Srivastava J. P. (Eds) *Physiology and breeding of winter cereals for stressed mediterranean environment.* Montpellier, France, 3-4 July 1989. Colloques INRA N° 55.
- Santarius K. A., 1973. The protective effect of sugars on chloroplast membranes during temperature and water stress and its relationship to frost, desiccation and heat resistance, 113, 23-36.
- Savistkaya N. N., 1967. Problem of accumulation of free proline in barley plant under conditions of soil water deficiency. *Fiziol. Rast.*, 14, 737-739.
- Sivolap, I.M. and D.I. Trebel'skii (2001). Identification of maize genotypes by PCR analysis. *Tsitol Genet.* 35 (3): 14-11.

- Sing T. N., Aspinall D. and Paleg L. G., 1972. Proline accumulation and varietal adaptability to drought in barley: a potential metabolic measure of drought resistance. *Nature, New Biol.*, 236, 188-189.
- Sing T. N., Aspinall D. and Paleg L. G., 1973a. Stress metabolism. Nitrogen metabolism and growth in the barley plant during water stress. *Aust. J. Biol. Sci.*, 26, 45-66.
- Sing T. N., Aspinall D. and Paleg L. G. 1973b. Stress metabolism. Variations in response to water deficit in the barley plant. *Aust. J. Biol. Sci.*, 26, 65-76.
- Sinka S.K. and Khana R., 1975. Physiological, biochemical and genetic basis of heterosis. *Adv. Agron.* 27:123-174.
- Stewart C. R., 1972. The effect of wilting on proline metabolism in excised bean leaves in the dark. *Plant Physiol.*, 51, 508-511.
- Stewart C. R. and Lee J. A., 1974. The role of proline accumulation in halophytes. *Planta.* 120, 279-289.
- Stewart C. R., Boggess S. F., Aspinall D. and Paleg L. G., 1977. Inhibition of proline oxidation by water stress. *Plant physiol.*, 59, 930-932.
- Stewart C. R. and Boggess S. F., 1978a. Role of carbohydrates in proline accumulation in wilted barley leaves. *Plant Physiol.*, 61, 775-778.
- Stewart C. R. and Boggess S. F., 1978b. Metabolism of [³H] proline by barley leaves and its use in measuring the effects of water stress on proline oxidation. *Plant Physiol.*, 61, 654-657.
- Stewart C. R., 1981. Proline accumulation biochemical aspects. In *Physiology and Biochemistry of drought resistance in plants.* (Paleg L. J. and Aspinall D. (eds.), Sydney, Academic Press., pp. 243-259.
- Stryer L. (1992). *La Biochimie de Lubert Stryer.* Ed. Medecine Science Flammarion: Paris, 1088p.
- Santarius K. A., (1973). The protective effect of sugars on chloroplast membranes during temperature and water stress and its relationship to frost. desiccation and heat resistance 113, 23-66.
- Savitskaya N.N., (1967). Problem of accumulation of free proline in Barley plant under condition of soil water deficiency. *Fisiol. Rast.*, 14, 737-739.
- Sharma S.S., Dietz K.J., (2006). The significance of amino acids and amino acid derived molecules in plant responses and adaptation to heavy metal stress. *J Exp Bot* 2006;57: 711-26
- Soltner D., (1980). *Les grandes productions végétales.* 11 Ed Masson P 20-100.
- Soltner D., 1990 *Phytotechnie spéciale, Les grandes productions végétales. Céréales, plantes sarclées, prairies.* Sciences et Technique Agricoles éd.
- Soltner D., 2005 *Les grandes productions végétales.* 20^{ème} Edition. Collection science et techniques agricoles. 472p.

- Stegemann, H, A. E. T. Shehata and Hamza M., 1980. Broad bean proteins (*Vicia faba*. L.). Electrophoretic studies on seeds of some German and Egyptian cultivars. *J. Agronomy and Crop. Sci.*, 149: 447-453.
- Stewart C.R., 1972. The effect of wilting on proline metabolism in excised bean leaves in the dark. *Plant physiol*; 51,508-511).
- Stewart C.R. Boggers S.F., Aspinall D and Paleg L.G., 1977. Inhibition of proline oxidation in by water stress. *Plant physiol*; 59,930-932.
- Stewart et Bogges ., 1978. Role of carbohydrate in proline accumulation in wilted barley leaves. *Plant Physiol*; 61.775-778.
- Stewart GR, Lahrer F., 1980. Accumulation of amino acids and related compounds in relation to environmental stress. In : *The biochemistry of plants*, vol. 5 : Amino acids and derivatives, Mifflin ed., Academic Press, 609-635.
- Seki M., Narusaka M., Ishida J., Nanjo T., Fujita M., Oono Y., Kamiya A., Nakajima M., Enju A., Sakurai T., Satou M., Akiyama K., Taji T., Yamaguchi-Shinozaki K., Carninci P., Kawai J., Hayashizaki Y., Shinozaki K. 2002. Monitoring the expression profiles of 7000 Arabidopsis genes under drought, cold and high salinity stresses using a full length cDNA microarray. *Plant Journal*, 31, 279-292
- Shao H.B., Liang Z.S., Shao M.A., 2005. LEA protein: structure, functions and gene expression, *Colloids Surf. B: Biointerfaces* 45 (3-4) (2005) 131-135.
- Shao H.B., Liang Z.S., Shao M.A., 2005. Dynamic changes of antioxidant enzymes of 10 wheat (*Triticum aestivum* L.) genotypes at soil water deficits, *Colloids Surf. B: Biointerfaces* 42 (3-4) (2005) 187-195.
- Shao H.B., Shao M.A., Liang Z.S., 2006. Osmotic adjustment comparison of 10 wheat (*Triticum aestivum* L) genotypes at soil water deficits, *Colloids Surf. B: Biointerfaces* 47 (2) (2006) 132-139.
- Sho Hang bo., Chen Xiaoyan., Chu Liwei., Zhao Ximing., Wu Gang., Yuan Yongbing., Zhao Changming., Hu Zhanmin. ,2006. Investigation on the relationship of proline with wheat anti drought under soil water deficits. *Colloids and surfaces B: Biointerfaces* 53. 113-119.
- Shull G.H., and East., 1908. The composition of a field of maize. *Ann. Br. Breeders Assoc Rep.*, 4, 296-301. Gallais A., 1990.
- Shull G.H., 1914. Duplicate genes for capsule form in *Bursa*. *Zeitschrift in Abst. U. Vererbgs.*, 12, 97-104. Gallais A., 1990.
- Summers, R.W., Koebner, R.M.D., Hollins, T.W., Forster, J., Macartmen, D.P., Miller, T.E. and Koebner R.M.d., 1988. The use of an isozyme marker in breeding wheat (*Triticum aestivum*) resistant to the eye spot pathogen (*Pseudocercospora herpotrichoides*). *Proceeding of the seventh International Symposium, held at Cambridge, UK*, 13-19, 1195-1197.

- Rentch D., Hirner B., Schmelzer E. and Frommer W. B., 1996 . Salt stress. Induced proline transporters and salt stress repressed broad specificity amino acid permeases identified by suppression of a yeast amino acid permease targeting mutant. *The plant cell*. 8, 1437-1446.
- Royapati P. J. and Stewart C. R., 1991. Solubilization of a proline dehydrogenase from maize (*Zea mays* L.) mitochondria. *Plant Physiol.*, 95, 787-791.
- Tall M. and Rosental I., 1979. Salt tolerance in *Simmondsia chinensis* : water balance and accumulation of chloride sodium and proline under low and high salinity. *Ann Bot.*, 43, 701-708.
- Tan B. H. and Halloran G. M., 1982. Variation and correlation of proline accumulation in spring wheat. *Crop Science*, 22, 459-463.
- Taylor C. B., 1996. Proline and water deficit. *The Plant Cell*, 8, 1221-1224.
- Troll W. and Lindsley J., 1995. A photometric method for the determination of proline. *J. Biol. Chem.*, 215, 655-660.
- Turner N. C., 1986. Adaptation to water deficits, A changing perspective. *Aust. J. Plant Physiol.*, 13, 175-190.
- Turner L. B., 1990. The extent and pattern of osmotic adjustment in white clover (*Trifolium repens* L.) during the development of water stress. *Ann. of Botany*. 66, 721-727.
- Tyankova L. A., 1967. Effects of I.A.A. and 2,4-D on free and bound amino acids in wheat plants recovering after brief drought treatments. *Field Crop Abstr.*, 1531 (20), 3.
- Tyankova L. A. 1967. Effects of LAA and 2,4-D on free and bound amino acids in wheat plants recovering after brief drought treatments . *Field crop Abstr* .1531 (20),3.
- Tan Y., Liang. Z.S., Shao H.B., 2006. Effect of water deficits on the activity of antioxidant enzymes and osmoregulation among 3 different genotypes of *Radix Astragali* at seeding stage, *Colloids Surf. B: Biointerfaces* 49 (1) 60-65.
- Todd G.W., 1972. Water deficits and enzymatic activity. In: Kozlowski T.T.(ed): *Water deficits and plant growth*. Academic Press. New York , 3, 177-186.
- Tomer, R.P.S.; Maguire, J.D. and M. Steen.1990. Identification of wheat cultivars by electrophoresis. *Seeds and Farms*, 16:11-14.
- Teshale, E.T.; S. Bansal; A. Mishra; Vijaipal; V.K. Khanna; S. Bansal and A. Mishra.,2003 Hernandez J.A., C. Escobar, G. Creissen, et al., (2004). Role of hydrogen peroxide and the redox state of ascorbate in the induction of antioxidant enzymes in pea leaves under excess light stress, *Funct. Plant Biol.* 31 (4) 359-368.
- Turner, N.C., 1979. Drought resistance and adaptation to water deficits in crops plants. Dans : *Stress Physiology in Crop Plants*, Mussell, H. et Staples, R.C. (éds). Wiley Intersciences, New York, pp. 303-372.

- U.P.O.V, 1994 . Principes directeurs pour la conduite de l'examen des caractères distinctifs, de l'homogénéité et de la stabilité. Blé dur (*Triticum durum* Desf.).
- Vansuyt G., Vallee J. C. and Prevost J., 1979. La pyrroline 5Mcarboxylate reductase et la proline deshydrogenase chez *Nicotiana tobacum* Var. Xanthin.C. en fonction de son developpement. *Physiol. Vég.*, 17(1), 95M05.
- Vavilov n. L., 1934. Studies on the origin of cultivated plants. *Bull. Appl. Bot and plant breed XVI*: 1M5.
- Venekamp J. H., Lampe J. E. M. and Koot J. T. M., 1988. Organic acids as sources for droughtM induced proline synthesis in field bean plants (*Vicia faba* L.). *J. Plant Physiol.*, 133, 654M59.
- Verma D. P. S. and Hong Z., 1996. Genetically engineered plants resistant to svil drying and salt stress: How to interpret osmotic relations?. *Plant Physiol.* 110, 1051M053.
- Vlasyuk P. A., Shmat'Koi G. and Rubanyuk E. A., 1968. Role of the trace elements Zinc and Boron in amino acid metabolism and drought resistance of winter wheat. *Fiziol. Rast.*, 15, 281M87.
- Vendruscolo E.C.G., Schuster I.,Pileggi M.,Scapim C.A.,Molinari H.B.C.,Marur C.J. and Vieira L.GE.,2007.StressMduced synthesis of proline confers tolerance to water deficit in transgenic wheat.*Journalof Plant Physiology* 164:1367M376.
- Vieira Da Silva J.B. ,1976. Water stress, ultrastructure and enzymatic activity, Pp :207M24. In « Water and plant life » edit. O.L . LANGE ; L. KAPPEN and END. SCHULZE. Ed. SpringMwerlag. Berlin Heidelberg, New York.
- Wang, H. et Clarke, J.M., 1993.Genotypic, intraplant and environmental variation in stomatal frequency and size in wheat. *Can. J. Plant Sci.*, 73: 671M78.
- Wang W.X., Brak.T., Vinocm B., Shoseryov et Altman A., 2003. Abiotic resistance and Chaptomes possible physiologicale role of SPI, a stable and stabilising protein from *Papulus* Lu: Vasil .IK(ed) plant biotechnology and beyoud kluwer Dordercht ,pp 439M43. Wang W.X.,
- Wang W.X., Vinocur P., Altman A., 2003. Plant responses to drought, salinity and extreme temperatures: towards genetic engineering for stress tolerance, *Planta* 218 (1) (2003) 1–14.
- Waldren R. P., Teare I. D. and Ehler S. W., 1974. Changes in free proline concentration in sorghum and soy bean plants under field conditions. *Crop Sci.*, 14, 447M50.
- Wardlaw IF., 2002. Interaction between drought and chronic high temperature during kernel filling in wheat in a controlled environment. *Annals of Botany*, 90, 469M76.
- Welsh, J. and M. McClelland (1990). Fingerprinting genomes using PCR with arbitrary primers. *Nucleic Acid Research*, 18, 24: 7213M218.
- William G .Hopkins.,2004. Revision scientifique de charle – Marie Evard : physiologie Végitale université catholique de louvains.

- Yang, X. and Quiros C.F. , 1993. Identification and classification of celery cultivars with RAPD markers. *Theor. Appl. Genet.*, 86:205-212.
- Yoshida Y., Kiyosue T., Katagiri T., Veda H., Mizoguchi T., Shinozaki K. Y., Wada K, Harada Y. and Shinozaki K., (1995). Correlation between the induction of a gene for ¹Myrroline-¹Carboxylate synthetase and the accumulation of proline in *Arabidopsis thaliana* under osmotic stress. *The Plant J.*, 7(5), 751-760.
- Yu L.X., Setter T.L., 2003. Comparative transcriptional profiling of placenta and endosperm in developing maize kernels in response to water deficit. *Plant Physiology*, 131, 568-572
- Zhang J., Nguyen HT., Blum A. ,1999. Genetic analysis of osmotic adjustment in crops plants. *J Exp Bot* 1999; 50: 291-302.
- Zheng, Y.L.; Y.Q. Chen; Y.M. Wei; Y.H. Zhou; Z.Q. Zhang; D.C. Liu; X.J. Lan; Z.H. Yan; Y.L. Zheng; Y.Q. Chen; Y.M. Wei; Y.H. Zhou; Z.Q. Zhang; D.C. Liu; X.J. Lan and Yan Z.H. ,2001. Esterase, gliadins and RAPD variations among Sichuan wheat cultivars. *Wheat Inf. Serv.* 92: 5-8.
- Zarafa C., 2006. Accumulation de la proline comme indice moléculaire de la biodiversité et adaptation à la sécheresse chez les céréales. Cas de blé dur de blé tendre (*Triticum aestivum*). Thèse de magister .Université Constantine. Algérie. 93 p.
- Zid I.I., Grignon C. , 1991. Les tests de sélection précoce pour la résistance des plantes aux stress. Cas des stress salin et hydrique. In : Chalbi N, Demarly Y, eds. *L'amélioration des plantes pour l'adaptation aux milieux arides*. Paris Aupelf/John Libbey Euretext : 91-108.
- Zhu X., Gong H., Chen G., Wang S., Zhang C. (2005). Different solute levels in two spring wheat cultivars induced by progressive field water stress at different developmental stages. *Journal of Arid Environments* .62 (2005) 1-4.
- Zhu X., Gong H., Chen G., Wang S., Zhang C., 2005. Different solute levels in two spring wheat cultivars induced by progressive field water stress at different developmental stages. *Journal of Arid Environments* .62 (2005) 1-4.
- Zahour A. et Hopf., 1994. *Éléments d'amélioration Génétique des plantes* : Actes ed. 230.P
- Zeller F. & Friebe B., 1991. Evolution and zuchtung des saatweizens (*Triticum aestivum* L) *Biologie in unserer zeit* 5: 248 – 254.
- Zoghalmi, N., A. Mliki and Ghorbel A., 2001. Evaluation of genetic diversity among Tunisian grapevines by RAPD markers. *Vitis*, 40: 31-37.

Q—II ان QUS9

شروط ومصير تراكم البرلين في الأنسجة النباتية تحت نقص لماء : انتقال صفة لتراكم لى الأجيال

لملخص

تمت دراسة خصائص مرفوفينلوجية ، وراثية و معايرة عنصر التعديل الأسموزي البرلين عند عشرة أصناف من القمح للصلب و لهجن الناتجة من التصليب بينها، فسمحت لنتائج الفينلوجية بتقسيم كل من الآباء و لهجن لى ثلاث مجموعات: لمبكرة، لنصف متأخرة وللمتأخرة . على أثرهذا، أمكن تفسير لتباين بنسبة 70% ، 60% و 50% عند الآباء و هجن 2004-2005 و هجن 2005-2006 على الترتيب.

يرتبط تراكم البرلين على مستوى الأنسجة النباتية مع نقص لماء في وسط النمو ، فيرتفع محتواه نسبيا في أوراق القمح للصلب مع انخفاض محتوى لماء في وسط النمو وتباين كل من درجات الحرارة و فترة الإضاءة . كما يبرز تباينا كبيرا بين مختلف الأصناف للشئ الذي يمكن توضحه بمدى تحمل للصنف للجفاف و مدى توريثه لأفراد F1 و F2.

يتبع تراكم البرلين عند أفراد F1 و F2 بقيمة 16 لى 175 و 19 مرة على الترتيب. بينما انفرد لهجين Dk x Hau برتبة تضاعف مثلى قدرت ب 597 مرة للقيمة الأصلية عند 40% من س.ح وقد أبدت كل هجن F1 تحسنا نموذجالقوة لهجين بلغ أقصاه 100% عند الجفاف الشديد جدا (6.5% من س.ح) . انخفضت قيمة قوة لهجين تدريجيا مرورا من الجيل الأول لى لجيل الثاني عند كل الأصناف. نلاحظ انخفاضا سريعا و شديدا في محتوى البرلين بعد إعادة السقي عند جميع الأصناف بلارجوع الفوري للمحتوى الأساسي عند 75% من س.ح.

أسفرت الدراسة للبيوكيميائية و الجزئية (المشابهات الأنزيمية ، التفريد الكهربي للبرلينات و PCR)، عن تقسيم الأصناف للمدرسة لى مجموعتين رئيسيتين: تضم المجموعة الأولى للصنف Dk يتميز بخصائص منفردة عن بقية الأصناف في حين تنقسم المجموعة الثانية لى مجموعة الأصناف الجزائرية المنشأ (Hed, OZ, GGR, MBB, Bi) و مجموعة الأصناف المستورة ((Vit, Kor, INRAT, Hau)). وقد كانت هذه لنتائج مطابقة لحد كبير مع الدراسة للمرفوفينلوجية. اعتمادا على تقسيم لهجن للمدرسة أمكننا إدراجها لى مجاميع يمكن أن تحمل صفات عنصر التعديل الأسموزي البرلين. مما يكسبها القدرة على التراكم عبر الأجيال بانتقال صفة لتراكم من الآباء لى أفراد F1 و F2.

لكلمات لمفتاحية : القمح للصلب *Triticum durum Desf* . البرلين، نقص لماء ، لهجن، مرفوفينلوجية، عنصر التعديل الأسموزي، وراثية.

لمقرر: بن لعربي مصطفى

للجنة: مرغم رشيد (رئيسا)

علي زين لعابدين عبد السلام (مساعد مقرر)

كاملي عبد كريم (عضوا)

أوجحيج بشير (عضوا)

حزمون الطاهر (عضوا)